Supplementary Material, Methods, and Results

Supplemental Material and Methods

Objectives and methods overview

Aim	Objective	Method
AIM1. Characterize the impact of gene dosage on connectivity for CNVs at the 16p11.2 and 22q11.2 genomic loci	1.1. Describe the effect of gene dosage at the 16p11.2 and 22q11.2 genomic loci on global FC.	Connectome Wide Association Study (CWAS): Linear model contrasting CNV carriers with respective controls.
	1.2 Test if deletions and duplications have mirror effects at the connection level.	
AIM2. Test if FC-signatures of deletions represent dimensions observed in idiopathic ASD, SZ, or ADHD.	2.1 Characterize the effect size of idiopathic Autism, Schizophrenia, and ADHD on FC.	Same as 1.1 CWAS: Linear model contrasting cases of each psychiatric groups with respective controls.
	2.2 Test similarities between whole-brain connectomes of CNVs and idiopathic psychiatric conditions.	Pearson correlation between beta maps obtained from each CWAS (case-control contrast) and individual connectomes of either cases or controls of each group.
	2.3 Investigate regions that contribute to similarities observed in 2.2	The same method used in 2.2 applied to each of the 64 regional FC patterns.
	2.4 Identify the relationship between regions identified in 2.3 and cognition	Pearson R computed in 2.3 was correlated to the cognitive measure of each individual
	2.5 Compare the co-expression anatomical patterns of genes within the 16p11.2 CNV and the 22q11.2 CNV	Co-expression matrices for each CNV were obtained by correlating normalized expression values of 22 + 35 genes across 34 brain regions.

Samples

16p11.2 cohort

Imaging data of 16p11.2 CNV carriers and typically developing controls were acquired by the Simons variation in individuals project (VIP) consortium [1] across 2 sites. We excluded 44 individuals from the analysis due to insufficient quality of the imaging data (cf. Supplementary Methods, quality control). The final 16p11.2 sample includes 122 individuals. Over 90% of the deletion carriers and 69% of the duplication carriers met criteria for at least one clinical psychiatric diagnosis (Table 1**)**. Control subjects were recruited from the general population (extra-familial subjects), and had no major DSM-V diagnosis. The duplication group includes 2 individuals with a triplication.

22q11.2 cohort

Imaging data of 22q11.2 CNV carriers and typically developing (TD) controls were acquired at the University of California, Los Angeles (UCLA). Patients were ascertained from the UCLA or Children's Hospital, Los Angeles Pediatric Genetics, Allergy/Immunology and/or Craniofacial Clinics. We excluded 16 individuals from the analysis due to insufficient quality of the imaging data (cf. Supplementary Methods, quality control). The final 22q11.2 sample includes 101 individuals. Demographically comparable TD comparison subjects were recruited from the same communities as patients via web-based advertisements and by posting flyers and brochures at local schools, pediatric clinics, and other community sites. Exclusion criteria for all study participants included significant neurological or medical conditions (unrelated to 22q11.2 mutation) that might affect brain structure, history of head injury with loss of consciousness, insufficient fluency in English, and/or substance or alcohol abuse or dependence within the past 6 months. The UCLA Institutional Review Board approved all study procedures and informed consent documents. Scanning was conducted on an identical 3 tesla Siemens Trio MRI scanner with a 12-channel head coil at the University of California at Los Angeles Brain Mapping Center or at the Center for Cognitive Neuroscience [2].

Idiopathic ASD dataset

The ABIDE dataset[3] is an aggregate sample of different studies including imaging and behavioural data for individuals with an ASD diagnosis and typically developing peers matched for age. Due to the small number of females in the ABIDE dataset, we excluded female individuals. To better account for biases in connectivity estimation due to differences in recording sites, subject age, and in scanner motion, we created age and motion-matched subsamples for each recording site in ABIDE of individuals that passed our quality control criteria. We then excluded recording sites with fewer than 20 individuals (10 ASD, 10 controls). Our final ABIDE sample thus includes 459 male individuals, 225 individuals with ASD and 234 healthy controls, from 10 recording sites.

Idiopathic schizophrenia

We used fMRI data retrospectively aggregated from 10 distinct sites and studies. Brain imaging multi-state data were obtained through either the SchizConnect and OpenfMRI data sharing platforms (http://schizconnect.org[4];https://openfmri.org[5]) or local scanning at the University of Montréal. All patients were diagnosed with SZ according to DSM-IV or DSM-V criteria, as a function of the time of study. Sites samples were obtained after subjects were selected in order to ensure even proportions of SZ patients and controls within each site (from N = 9 to N = 42 per group) and to reduce between-group differences with regards to gender ratio (74% vs. 75% males in patients and controls, respectively), age distribution (34 vs. 32 years old on average) and motion levels (averaged frame displacement: 0.16 vs. 0.14 mm). Such matching of SZ and controls subjects was achieved based on propensity scores. In total, we retained 242 SZ patients and 242 healthy controls in statistical analyses. Depending on the study, positive and negative symptoms were assessed with either with the Positive and negative syndrome scale (PANSS,[6]) or the Scales for the assessment of positive/negative symptoms (SAPS/SANS,[7]). In order to allow for group analyses, SAPS/SANS scores were converted into PANSS scores using published regression-based equations[8].

Idiopathic ADHD

We used data provided by the ADHD-200 Consortium and The Neuro Bureau ADHD-200 Preprocessed repository (8 cohorts http://fcon_1000.projects.nitrc.org/indi/adhd200/ [9]). Data from seven sites were retained after exclusion of 184 individuals. We included in our study a total of 763 subjects, 289 patients diagnosed with ADHD and 474 healthy controls.

This database provided child and adolescent data. Scores related to ADHD symptoms were measured using Conner's Parent Rating Scale-Revised, Long Version (CPRS-LV [10]).

Preprocessing

All datasets were preprocessed using the same parameters with the same Neuroimaging Analysis Kit (NIAK) version 0.12.4, an Octave-based open source processing and analysis pipeline [11]. The first four volumes of each rs-fMRI time series were discarded to allow for magnetization to reach a steady state. Each data set was corrected for differences in slice acquisition time. Head motion parameters were estimated by spatially re-aligning individual timepoints with the median volume in the time series. This reference median volume was then aligned with the individual anatomical T1 image, which in turn was co-registered onto the MNI152 template space using an initial affine transformation, followed by a nonlinear transformation. Finally, each individual timepoint was mapped to the MNI space [12] using the combined spatial transformations. Slow frequency drifts were modeled on the entire time series as discrete cosine basis functions with a 0.01 Hz high-pass cut-off. Timepoints with excessive in-scanner motion (greater than 0.5 mm framewise displacement) were then censored from the time series by removing the affected timepoint as well as the preceding and following two timepoints [13]. Nuisance covariates were regressed from the remaining time series: the previously estimated slow time drifts, the average signals in conservative masks of the white matter and lateral ventricles, and the first principal components (95% energy) of the estimated six rigid-body motion parameters and their squares. Data were then spatially smoothed with a 3D Gaussian kernel (FWHM = 6mm).

Quality Control

Preprocessed data were visually controlled for quality of the co-registration, head motion, and related artifacts by one rater. Not all six datasets were examined by the same raters, yet all raters followed the same standardized quality-control procedure [14]. If there was co-registration failure of either the functional image to individual T1 or individual T1 to MNI template registration, we attempted a manual fix by changing the parameters of the preprocessing pipeline. Individuals were excluded from the analysis if co-registration errors could not be fixed. Individuals were also excluded from the analysis if the average framewise displacement after motion censoring exceeded 0.5 mm or if fewer than 40 time frames remained (Supplementary Materials and Methods).

Gene expression preparation and analyses

Gene expression levels were initially computed for each of the 68 cortical regions of the Desikan Atlas, based on the Allen Brain Atlas [15] and accessed April 4th 2017 at https://figshare.com/articles/A_FreeSurfer_view_of_the_cortical_transcriptome_generated_from_the_Allen_Human_Brain_Atlas/1439749 [16]). Because right hemisphere data were available for only three of the six donor brains, normalization was calculated for each gene by Z-scoring the expression levels across the 34 cortical regions of only the left hemisphere [17] (data available at http://neanderthal.pasteur.fr, Supplemental Table S4.1).

Supplemental Results

Figure 1: Sensitivity analyses on age distribution in 16p11.2 deletion carriers

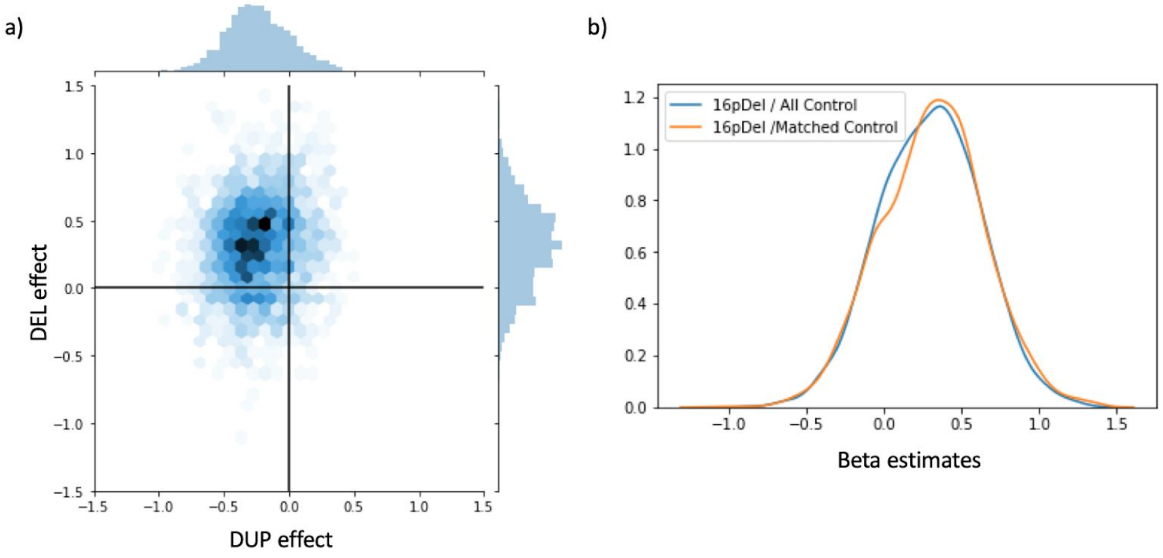

Legend: We performed a sensitivity analysis after excluding older controls to obtain identical age distributions (mean 12.7 and 13.0 years respectively) in the 16p11.2 deletions and control groups. The CWAS performed before and after excluding adults provides the same results albeit with decreased power: The 2 beta maps are highly correlated (r=0.967) and their distribution (b) overlaps perfectly.

(a): Scatterplot (*hexagonal plot*), showing estimates (beta values) from connectome-wide association studies (CWAS) performed between 16p11.2 CNVs and their respective controls excluding adults to obtain a matched age distribution. The scatterplot is identical to figure 1.a demonstrating that age distribution does not affect our results.

Figure 2: Mirror effects of gene dosage in 16p11.2 CNV are present at the network level

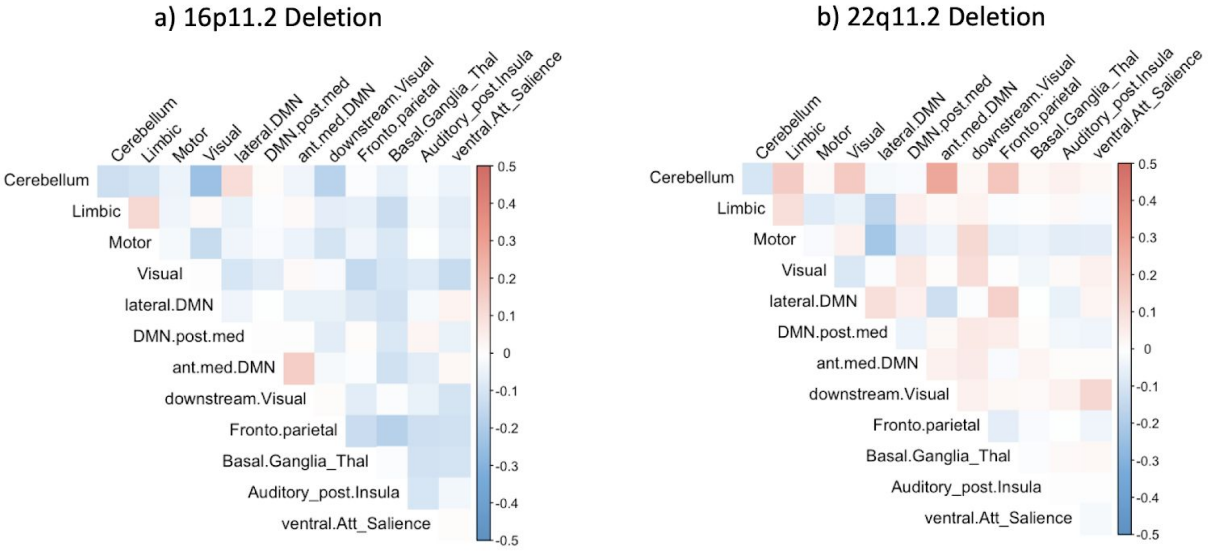

Legend:

We investigated how mirror effects of gene dosage at the individual network level follow the organization of the brain into canonical resting-state networks. Gene dosage effects at the connection level are shown broken down into the 12 corresponding functional brain networks (Supplementary Table S1.10) for the 16p11.2 (a) and 22q11.2 (b) genomic loci. Red colors reflect effects in the same direction for deletions and duplications. Blue colors reflect mirror effects for deletions and duplications (i.e. an increase in FC is associated with one, but a decrease is associated with the other). For the 16p11.2 CNVs, networks exhibited more mirror connectivity alterations than would be expected by chance ($p = 0.006$, two-sided). By contrast, 22q11.2 CNVs showed an equal number of connections with mirror and uni-directional alterations across networks.

Effect of Schizophrenia on FC

Idiopathic SZ showed overall underconnectivity affecting 835 connections, with the strongest alterations affecting the frontoparietal, auditory, ventral attention and limbic networks (dorsal anterior cingulate cortex, dorsal anterior and posterior insula, ventral posterior insula, and inferior marginal sulcus sulcus) (Figures 3a, c, Supplementary Tables S1.7 and S1.9). Over-connectivity was restricted to 24 connections (cerebello-motor and thalamo-auditory), in line with previous reports [18,19] (859 connections survived FDR correction in total, $q < 0.05$, p ranging from 0.02 to 1e-12).

Effect of ASD on FC

Underconnectivity in ASD was driven by seed regions in the limbic, lateral DMN, and cerebellar networks and over-connectivity was observed in the basal ganglia and motor networks, in accordance with previous reports [20] (anterior middle frontal gyrus, temporal pole, anterior middle temporal gyri, lateral fusiform gyrus, and cerebellum VIII-ab) (Figure 3b, c, Supplementary Tables S1.6 and S1.9). Seventy-five connections (73 under and 2 overconnected) survived FDR correction ($q < 0.05$), with p ranging from 0.01 to 1e-5.

Sensitivity analysis testing the effect of medication on FC alterations in autism

A sensitivity analysis testing the effect of medication was performed with excluding 55 individuals with autism and one control from the analysis. Connectome-wide analysis on the non-medicated subgroup showed overall underconnectivity. Underconnectivity was significant (FDR) in 28 connections. The beta map of this analysis was highly correlated (r= 0.96) with the initial CWAS performed on the full sample including ASD subjects with medication.

Effect of ADHD on FC

For ADHD, none of the individual connections survived FDR correction (nominally significant alterations were observed in the posterior middle temporal and lateral occipitotemporal gyri, posterior medial visual network, the cerebellum-VI and the left intraparietal sulcus) (Supplementary Tables S1.8 and S1.9).

Sensitivity analysis testing the effect of sex on FC alterations in SZ and ADHD

A sensitivity analysis was performed on 179 male participants with schizophrenia and 189 male controls. Males with idiopathic SZ also show overall underconnectivity with 472 connections surviving FDR. The beta map of this analysis excluding females was highly correlated (r= 0.95) with the initial CWAS performed on the full sample.

The same analysis was performed in the ADHD sample. The beta map of the analysis excluding females was highly correlated (r= 0.93) with the initial CWAS performed on the full ADHD sample.

Figure 3a: Seed regions showing significant similarity between 16p11.2 deletion and Schizophrenia

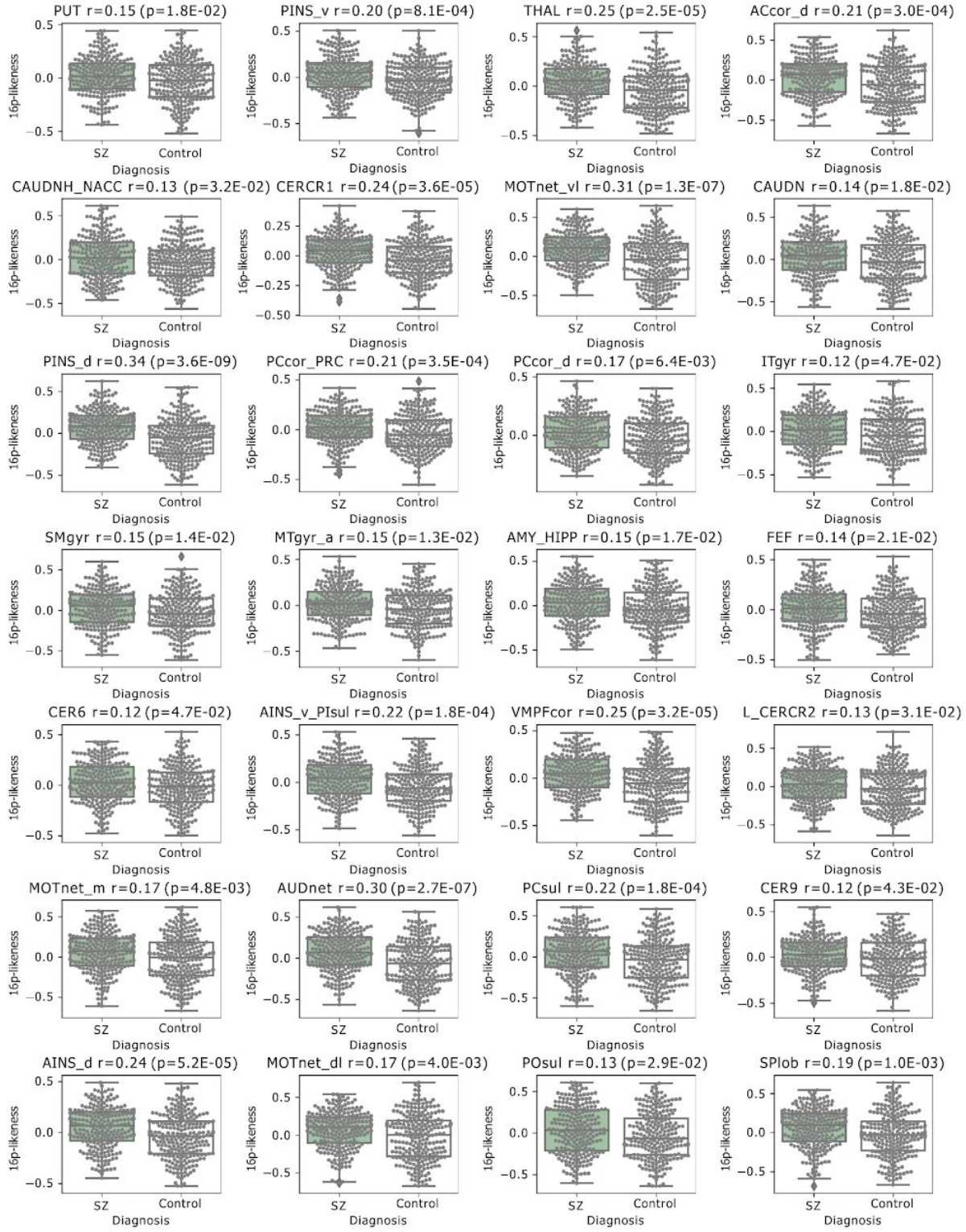

Legend: Similarities between regional FC of 16p11.2 deletions and individuals with idiopathic SZ compared to their respective controls. Grey dots correspond to individuals in either the SZ or control group. Boxplots for individuals with SZ (green) and their respective controls (white) illustrate the observed group differences in similarity values. Similarity values (Pearson's R, Grey dots) were derived by computing Pearson's correlations between the regional FC-signatures. Differences between SZ or controls are tested using a Mann-Whitney U test. We reported significant group differences after FDR correction accounting for the 64 regions ($q < 0.05$).

Figure 3b: Seed regions showing significant similarity between 22q11.2 deletion and Schizophrenia

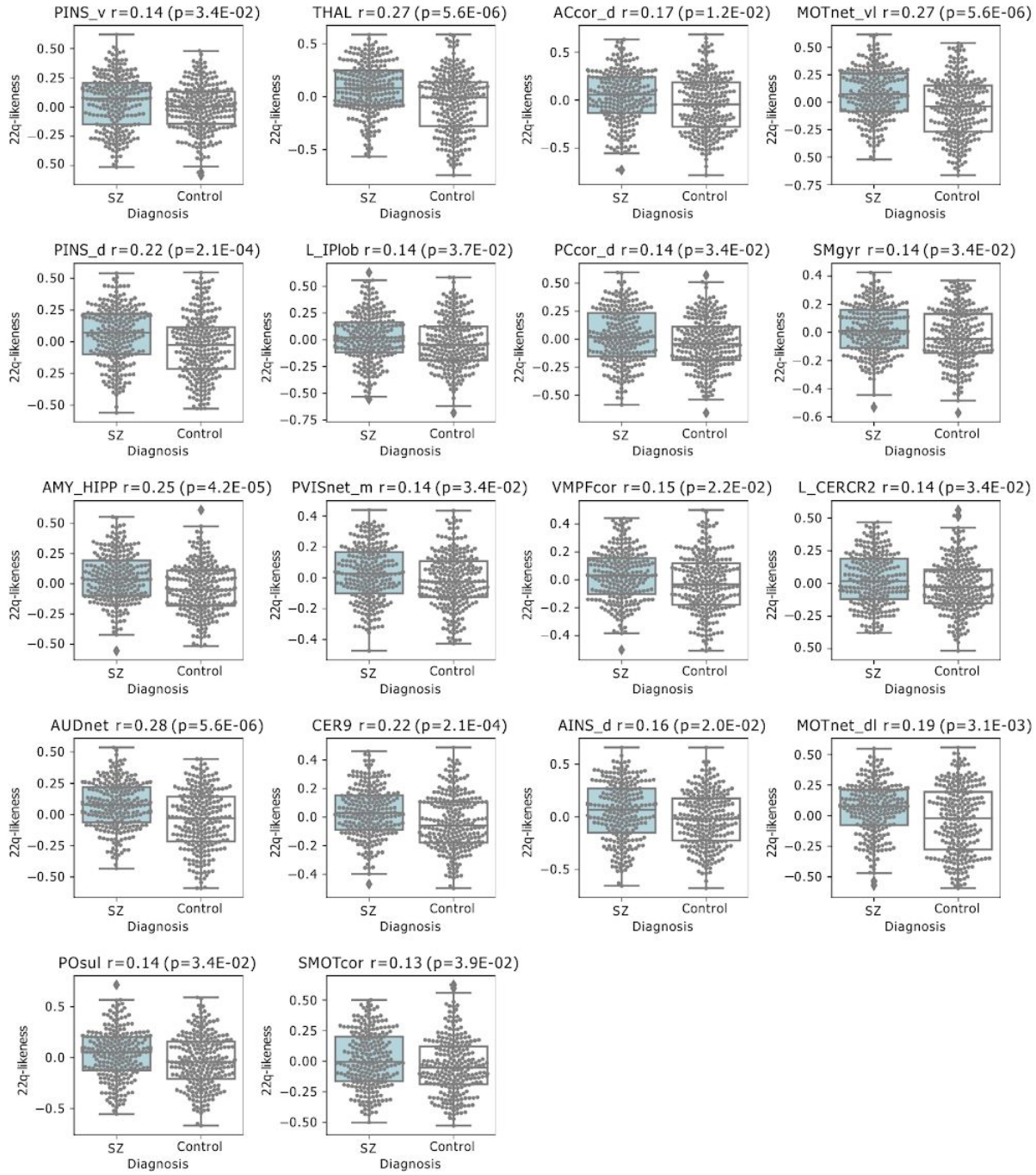

Legend: Similarities between regional FC of 22q11.2 deletions and individuals with SZ compared to controls. Grey dots correspond to individuals in either the SZ or control group. Box plots for

individuals with SZ (blue) and their respective controls (white) illustrate the observed group differences in similarity values.

Similarity values (Pearson's R, Grey dots) were derived by computing Pearson's correlations between the regional FC-signatures. Differences between SZ or controls are tested using a Mann-Whitney U test. We reported significant group differences after FDR correction accounting for the 64 regions ($q < 0.05$).

Figure 3c: Seed regions showing significant similarity between 16p11.2 deletion and Autism

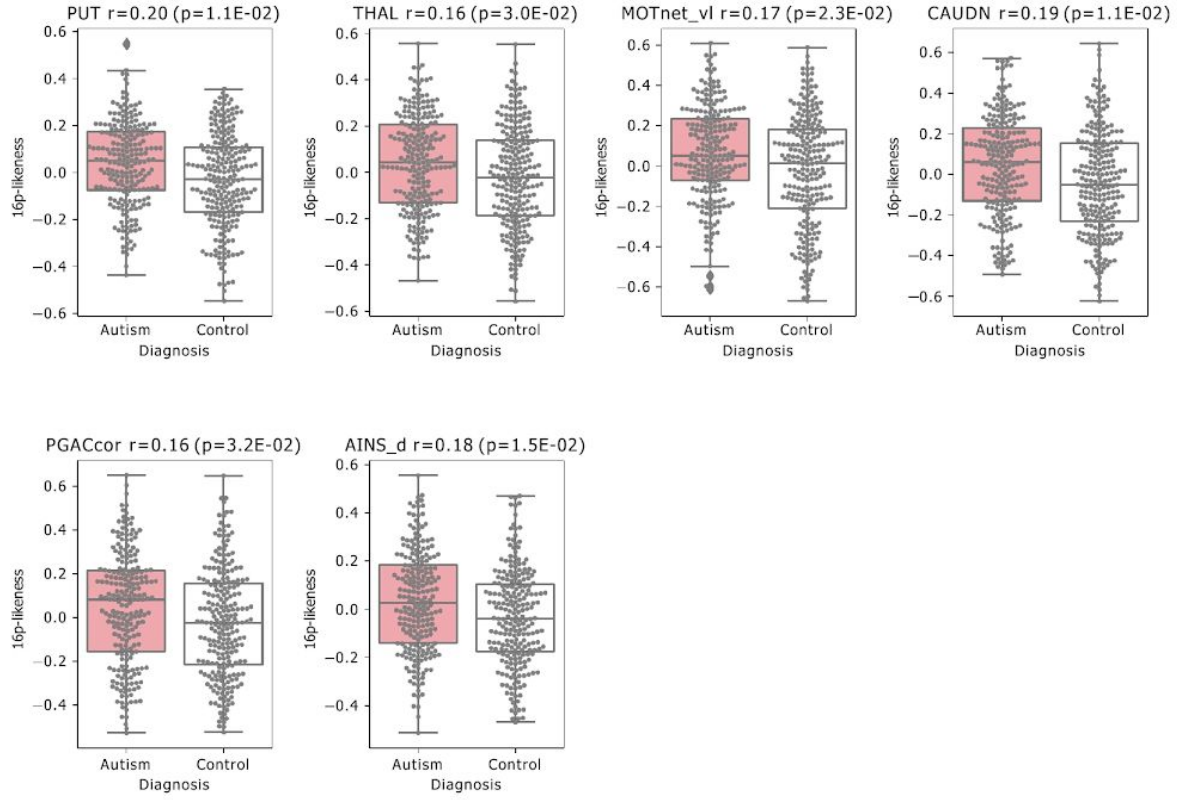

Legend: Similarities between regional FC of 16p11.2 deletions and individuals with ASD compared to controls are shown. Grey dots correspond to individuals in either the ASD or control group. Box plots for individuals with ASD (red) and their respective controls (white) illustrate the observed group differences in similarity values. Similarity values (Pearson's R, Grey dots) were derived by computing Pearson's correlations between the regional FC-signatures. Differences between SZ or controls are tested using a Mann-Whitney U test. We reported significant group differences after FDR correction accounting for the 64 regions ($q < 0.05$).

Figure 3d: Seed regions showing significant similarity between 22q11.2 deletion and Autism

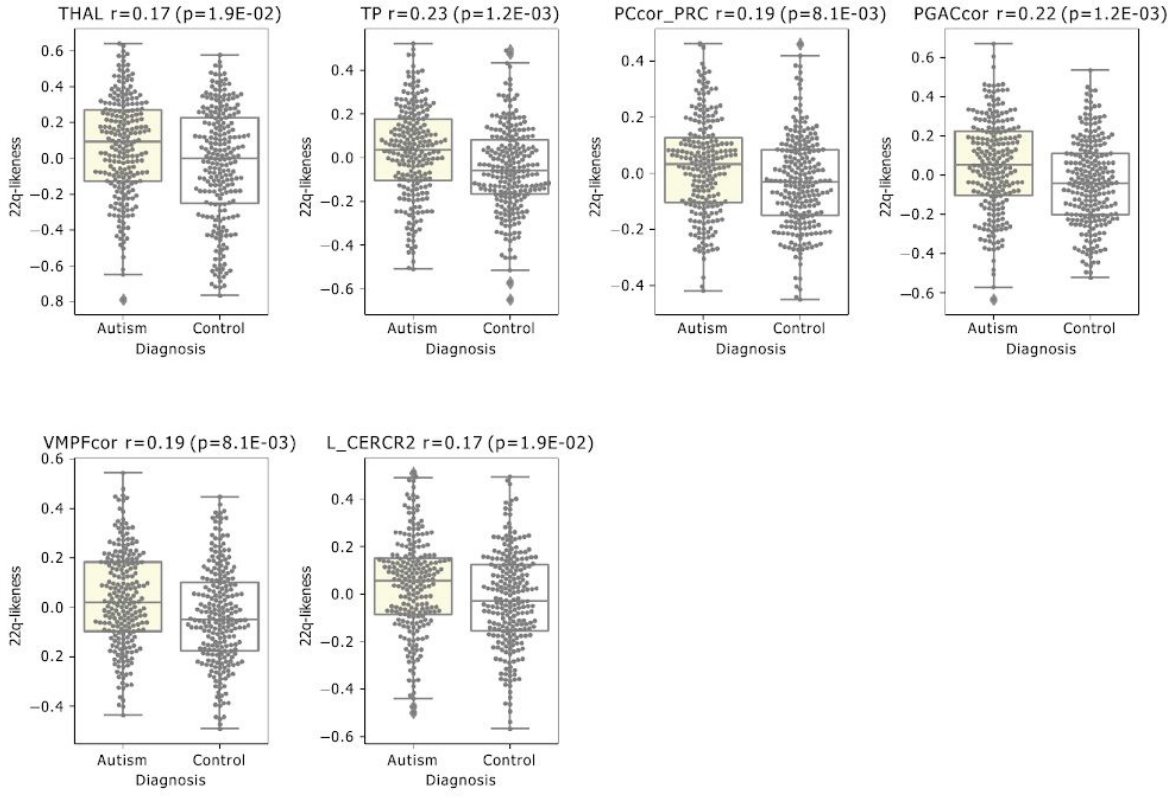

Legend: Similarities between regional FC of 22q11.2 deletions and individuals with ASD compared to controls are shown are shown. Grey dots correspond to individuals in either the ASD or control group. Box plots for individuals with ASD (yellow) and their respective controls (white) illustrate the observed group differences in similarity values. Similarity values (Pearson's R, Grey dots) were derived by computing Pearson's correlations between the regional FC-signatures. Differences between SZ or controls are tested using a Mann-Whitney U test. We reported significant group differences after FDR correction accounting for the 64 regions ($q < 0.05$).

Figure 4 Do the same seed regions contribute to the similarity between either 16p11.2 or 22q11.2 deletions and individuals with SZ and ASD?

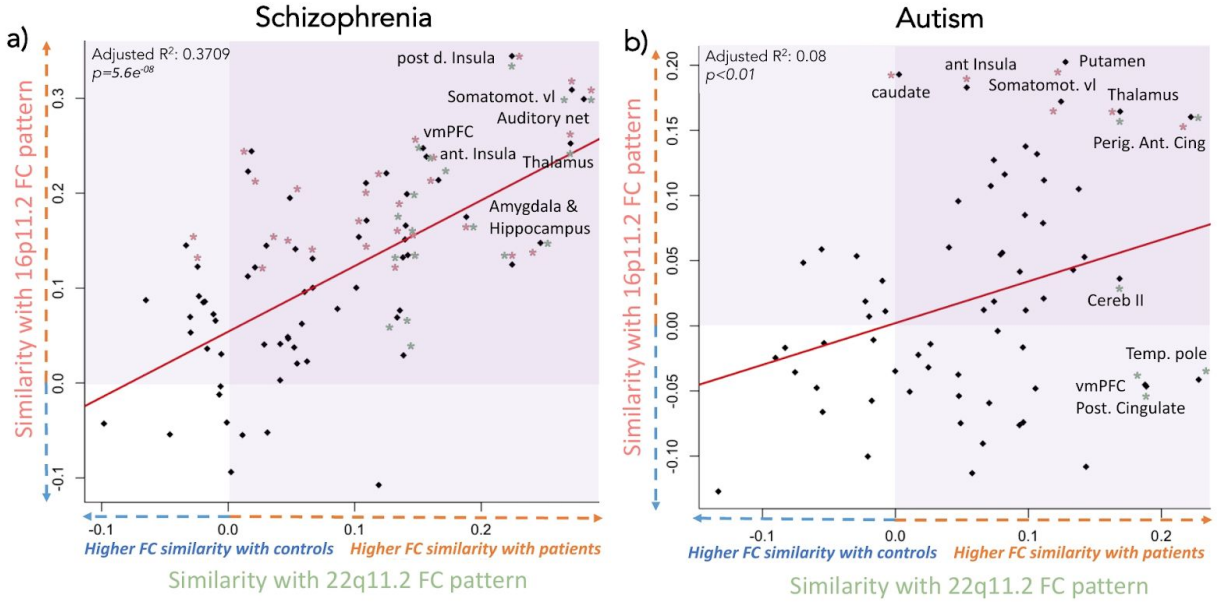

Legend: Many of the same seed regions contribute to the similarity between either 16p11.2 or 22q11.2 deletions and individuals with SZ (a). This is less the case for autism.

The horizontal axes show the Mann whitney effect size (rank biserial correlation) representing the connectivity similarity between the 22q11.2 deletion FC-signature and individuals with idiopathic SZ (a) or ASD (b) compared to controls. The vertical axes show values (biserial correlation) representing the connectivity similarity with the 16p11.2 deletion FC-signature and individuals with idiopathic ASD (a) or SZ (b) compared to controls. Positive values (orange arrows) on the horizontal and vertical axes represent higher connectivity similarity between the deletion FC-signatures and individuals with SZ (a) or ASD (b) compared to their respective controls. Negative values (blue arrows) represent a higher similarity with control individuals. Seed-based connectivity signatures that show significant (FDR corrected) connectivity similarity with deletions are colored (pink stars for 16p11.2 and green stars for 22q11.2).

Figure 5: Regional similarities between the individual FC profiles of subjects with a psychiatric diagnosis and FC-signatures of 16p11.2 and 22q11.2 duplications

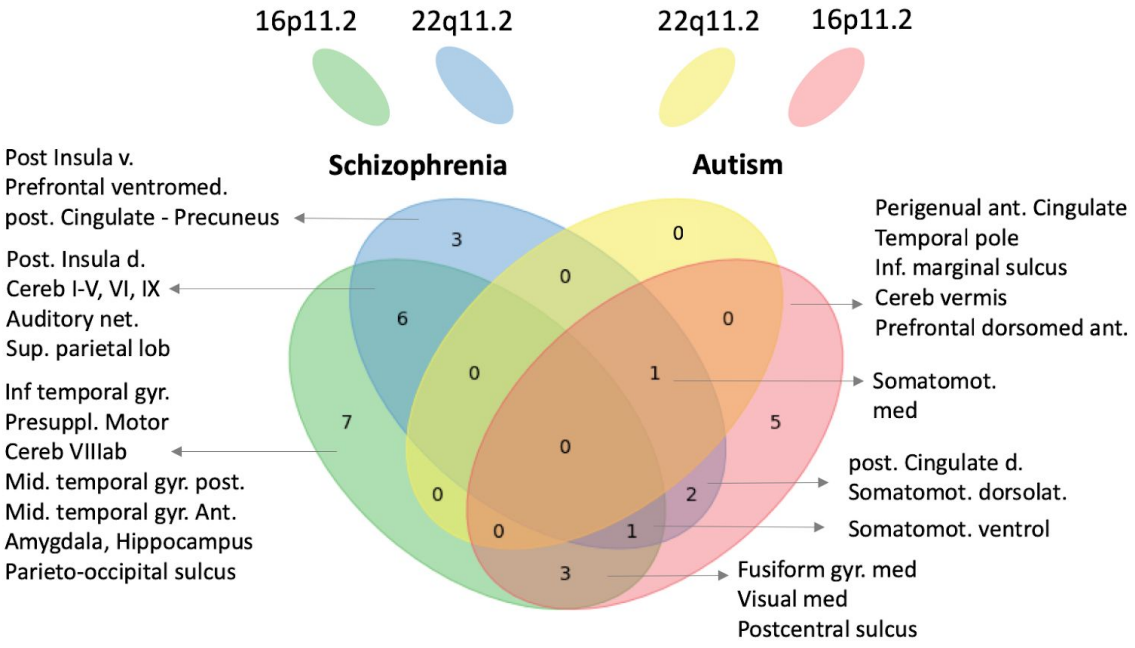

Legend: The FC-signatures of both duplications (group level) were decomposed into 64 seed-regions. Deletion FC-signatures are correlated to the individual connectomes of subjects with either ASD, SZ or control subjects. Of note, the correlation results in the mean centering of all region-based FC-signatures. Significantly increased similarities with either ASD and SZ are presented on the right and the left side of the diagram, respectively.

Some of these regions overlap with those identified in the same analysis using FC-signatures of both deletions: SZ individuals show similarities with both 16p11.2 deletion and duplication for 2 regions (Inferior and middle temporal gyrus)

SZ individuals show similarities with both 22q11.2 duplication and deletion for 6 regions (ventral / dorsal posterior insula, ventromedial prefrontal cortex, dorsolateral somatomotor cortex, cerebellum IX, auditory network) and with 16p11.2 duplication and deletions for 9 regions (parieto occipital

sulcus, amygdala/ hippocampus, inf & middle gyrus anterior and posterior temporal gyrus, superior parietal lobule, cerebellum VI, posterior insula, dorsal prefrontal ventro medial cortex). ASD individuals show similarities with both 16p11.2 deletion and duplication for 2 regions perigenual anterior cingulate cortex, ventrolateral somatomotor cortex.

For 11 regions, controls rather than individuals with ASD or SZ showed increased similarities with duplications. This increased similarity with controls was never observed for deletion FC-signatures.

Figure 6: Similarity between the individual FC profiles of subjects with a psychiatric diagnosis and the FC-signatures of the 16p11.2 and 22q11.2 deletions and duplications

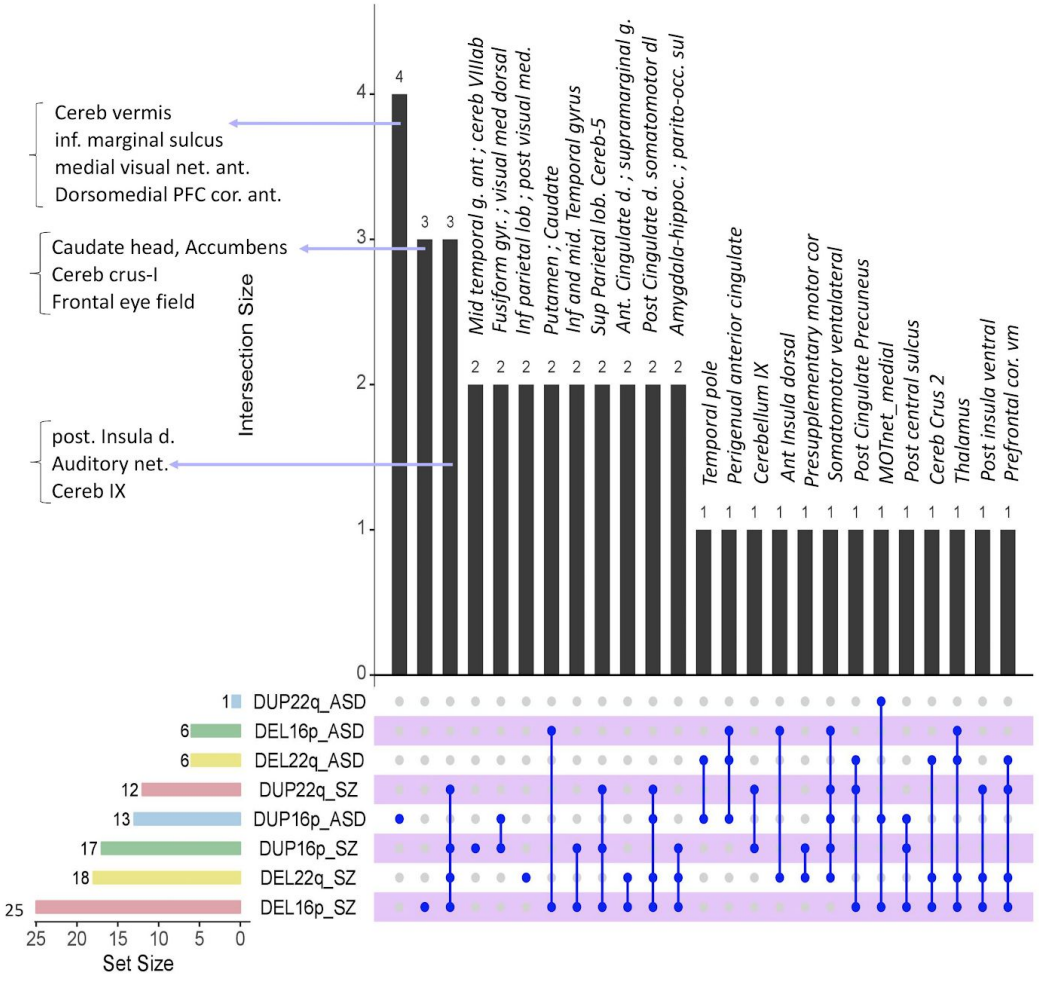

Legend: Because a Venn diagram showing overlapping brain regions across 8 comparisons (conditions, dels and dups) is impractical, we used the UpSet R package [21] to combine results from both Venn-Diagram (presented in Figure 4 (deletion) and in Supplementary Figure 6 (duplication)).

The dark blue lines and points show regions contributing to several similarities.

The 8 rows represent the 8 comparisons between the 4 CNVs and idiopathic ASD or SZ.

For example, the 23rd vertical black bar represents the thalamus which contributes to similarities across 4 comparisons (the 4 connected dark blue dots, representing the 16p11.2 and 22q11.2 deletion-FC-similarity with either ASD or SZ).

Horizontal bars on the bottom left represent the number of seed regions showing significant similarities for each comparison (eg. 6 regions showed similarity between 16p11.2 deletion-FC-signatures and ASD-FC-profiles). Y axis: number of regions showing similarities between CNV carriers and idiopathic SZ or ASD.

Figure 7: Loadings of 22q11.2 and 16p11.2 genes and brain regions on PC1

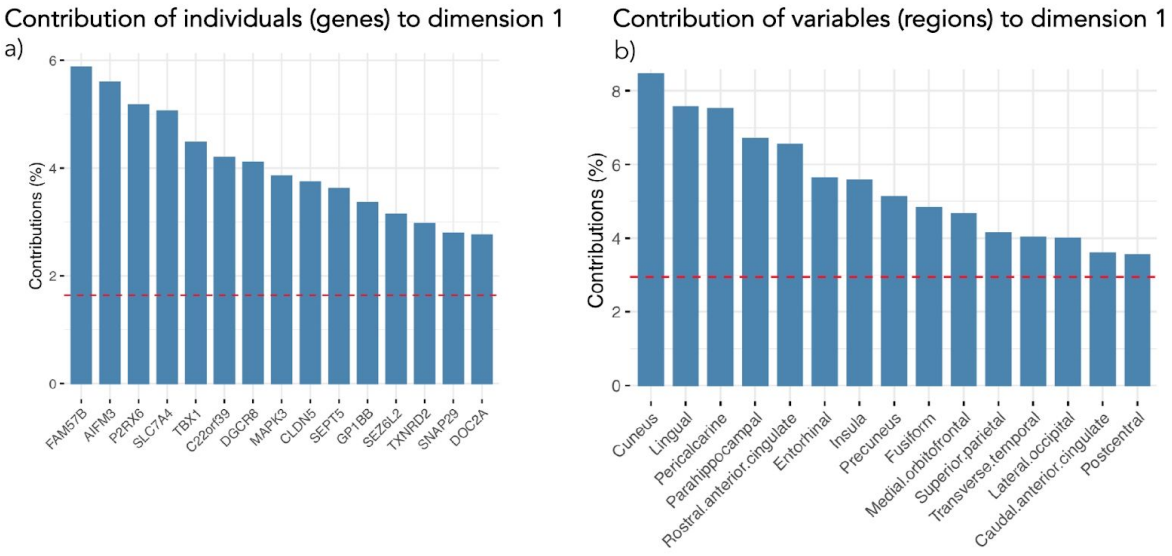

Legend: Contribution of top genes within 16p11.2 and 22q11.2 loci (a), and top neuroanatomical regions (b) to the first Principal Component. PCA was computed using expression values (individuals) of 57 genes encompassed in both genomic loci across 34 brain regions (variables). We used the R "psych" package [22].

Figure 8: Additional information on motion for each cohort after preprocessing

	ADHD	CON	SZ	CON	ASD	CON	16PDEL	16PDUP	16PCON	22QDEL	22QDUP	22QCON
Mean (frames)	160	159	152	166	139	153	83	83	85	110	121	126
Sd (frames)	53	59	50	49	52	49	18	23	20	42	34	30
Mean (% scrubbed)	0.13	0.25	*	*	0.24	0.16	0.26	0.25	0.23	0.25	0.18	0.14
Sd (% scrubbed)	0.15	0.26	*	*	0.23	0.18	0.15	0.2	0.16	0.28	0.22	0.2

Mean (frames): mean number of frames remaining after scrubbing per individual; Mean (% scrubbed): Mean percentage of frames excluded per individual; SD: Standard Deviation; 16PDEL: 16p11.2 deletion; 16PCON: 16p11.2 control; 16PDUP: 16p11.2 duplication; 22QDEL: 22QCON: 22q11.2 control; 22q11.2 deletion; 22QDUP: 22q11.2 duplication.

References

1. Simons Vip Consortium. Simons Variation in Individuals Project (Simons VIP): a genetics-first approach to studying autism spectrum and related neurodevelopmental disorders. *Neuron* **73**, 1063–1067 (2012).
2. Lin, A. *et al.* Mapping 22q11.2 Gene Dosage Effects on Brain Morphometry. *J. Neurosci.* **37**, 6183–6199 (2017).
3. Di Martino, A. *et al.* The autism brain imaging data exchange: towards a large-scale evaluation of the intrinsic brain architecture in autism. *Mol. Psychiatry* **19**, 659–667 (2014).
4. Wang, L. *et al.* SchizConnect: Mediating neuroimaging databases on schizophrenia and related disorders for large-scale integration. *Neuroimage* **124**, 1155–1167 (2016).
5. Poldrack, R. A. *et al.* Toward open sharing of task-based fMRI data: the OpenfMRI project. *Front. Neuroinform.* **7**, 12 (2013).
6. Kay, S. R., Fiszbein, A. & Opler, L. A. The positive and negative syndrome scale (PANSS) for schizophrenia. *Schizophr. Bull.* **13**, 261–276 (1987).
7. Andreasen, N. C. The Scale for the Assessment of Negative Symptoms (SANS): conceptual and theoretical foundations. *Br. J. Psychiatry Suppl.* 49–58 (1989). doi:10.1192/S0007125000291496
8. van Erp, T. G. M. *et al.* Converting positive and negative symptom scores between PANSS and SAPS/SANS. *Schizophr. Res.* **152**, 289–294 (2014).
9. ADHD-200 Consortium. The ADHD-200 Consortium: A Model to Advance the Translational Potential of Neuroimaging in Clinical Neuroscience. *Front. Syst. Neurosci.* **6**, 62 (2012).
10. Conners, C. K., Sitarenios, G., Parker, J. D. & Epstein, J. N. The revised Conners' Parent Rating Scale (CPRS-R): factor structure, reliability, and criterion validity. *J. Abnorm. Child Psychol.* **26**, 257–268 (1998).
11. Bellec, P. *et al.* A neuroimaging analysis kit for Matlab and Octave. in *Proceedings of the 17th International Conference on Functional Mapping of the Human Brain* 2735–2746 (2011).

12. Fonov, V. S., Evans, A. C., McKinstry, R. C., Almli, C. R. & Collins, D. L. Unbiased nonlinear average age-appropriate brain templates from birth to adulthood. *Neuroimage* **47**, S102 (2009).
13. Power, J. D., Barnes, K. A., Snyder, A. Z., Schlaggar, B. L. & Petersen, S. E. Spurious but systematic correlations in functional connectivity MRI networks arise from subject motion. *Neuroimage* **59**, 2142–2154 (2011).
14. Benhajali, Y. & Bellec, P. Quality Control and assessment of the NIAK functional MRI preprocessing pipeline. (2016). doi:10.6084/m9.figshare.4204845.v1
15. Hawrylycz, M. *et al.* Canonical genetic signatures of the adult human brain. *Nat. Neurosci.* **18**, 1832 (2015).
16. French, L. & Paus, T. A FreeSurfer view of the cortical transcriptome generated from the Allen Human Brain Atlas. *Front. Neurosci.* **9**, 323 (2015).
17. Dumas, G., Malesys, S. & Bourgeron, T. Systematic detection of divergent brain proteins in human evolution and their roles in cognition. *bioRxiv* 658658 (2019). doi:10.1101/658658
18. Ferri, J. *et al.* Resting-state thalamic dysconnectivity in schizophrenia and relationships with symptoms. *Psychol. Med.* **48**, 2492–2499 (2018).
19. Giraldo-Chica, M. & Woodward, N. D. Review of thalamocortical resting-state fMRI studies in schizophrenia. *Schizophr. Res.* **180**, 58–63 (2017).
20. Di Martino, A. *et al.* Aberrant striatal functional connectivity in children with autism. *Biol. Psychiatry* **69**, 847–856 (2011).
21. Conway, J. R., Lex, A. & Gehlenborg, N. UpSetR: an R package for the visualization of intersecting sets and their properties. *Bioinformatics* **33**, 2938–2940 (2017).
22. Revelle, W. R. psych: Procedures for Personality and Psychological Research. (2017).

Table S1.1 Effect of the 16p11.2 deletion on 2080 connections. Each value is the Beta estimate (z-scored) of the deletion control contrast.

	PUT	PINS_v	CERVM	THAL	CER7ab	CER5	ACcor_d	CAUDNH_N	TP	DMPFcor_p	R_CERCR2	CERCR1	L_IFsul	MOTnet_vl	CER7b	FUSgyr_m	CAUDN	PINS_d	PCcor_PRC	L_IPlob	PCcor_d	ITgyr	SMgyr
PUT	0,3465	0,5474	0,9772	1,1120	0,6679	0,9854	0,4687	0,7939	0,4357	0,4159	0,4372	0,4203	0,4217	0,7171	0,5974	0,7416	0,7482	0,6404	0,2066	0,2371	-0,0392	0,4238	0,2808
PINS_v	0,5474	-0,0294	0,3930	0,4411	0,2675	0,5616	0,1552	0,1959	-0,0461	0,4886	0,2901	0,0935	0,2776	0,0483	0,2357	-0,0923	0,5706	-0,1691	-0,3461	0,0114	-0,1729	-0,0832	-0,3433
CERVM	0,9772	0,3930	-0,1007	0,3012	-0,0293	0,0286	-0,0728	0,3086	0,1233	0,1305	0,2120	0,0894	0,2034	0,5296	0,0337	-0,1727	0,8750	0,6234	0,0692	0,6418	-0,2908	0,0318	0,3420
THAL	1,1120	0,4411	0,3012	0,0109	0,1825	0,5522	0,2726	0,5516	0,3661	0,1241	0,1488	0,0172	0,2871	0,6272	0,2303	0,3995	1,1752	0,7240	-0,2157	0,4736	-0,5489	0,2243	0,4157
CER7ab	0,6679	0,2675	-0,0293	0,1825	0,2915	-0,0710	0,0595	-0,1734	0,7548	0,2360	0,0483	-0,0222	0,1485	0,2643	0,3317	-0,2797	0,3880	0,2943	-0,4498	0,1979	-0,5598	0,6727	0,2819
CER5	0,9854	0,5616	0,0286	0,5522	-0,0710	0,2716	0,2094	0,2045	0,3871	0,3988	-0,0309	-0,0342	-0,1352	0,1653	-0,0765	0,3439	0,6503	0,4417	-0,2907	0,1117	0,0359	0,3147	0,1572
ACcor_d	0,4687	0,1552	-0,0728	0,2726	0,0595	0,2094	0,1301	-0,1454	0,1489	0,5232	0,2320	-0,1678	0,9243	0,8675	-0,0072	0,0288	0,5616	0,5033	-0,2458	-0,1889	-0,0661	0,3064	0,6312
CAUDNH_NACC	0,7939	0,1959	0,3086	0,5516	-0,1734	0,2045	-0,1454	0,5082	0,2435	0,1193	0,0408	-0,1739	0,0633	0,1660	0,0900	0,4824	0,4379	0,2108	0,2720	0,8456	-0,2753	0,1709	-0,0811
TP	0,4357	-0,0461	0,1233	0,3661	0,7548	0,3871	0,1489	0,2435	0,6199	0,0440	0,6396	0,4458	0,3119	-0,0413	0,6668	0,0276	0,6608	-0,0479	0,0283	0,0393	-0,0695	0,7848	0,1444
DMPFcor_p	0,4159	0,4886	0,1305	0,1241	0,2360	0,3988	0,5232	0,1193	0,0440	0,5091	-0,1152	-0,1453	0,4052	0,4393	-0,0853	0,5741	0,4864	0,5332	-0,2765	-0,7176	-0,0876	0,1854	0,7099
R_CERCR2	0,4372	0,2901	0,2120	0,1488	0,0483	-0,0309	0,2320	0,0408	0,6396	-0,1152	-0,2313	0,4343	0,3064	0,1750	-0,3692	0,5209	0,2047	0,1120	-0,1551	0,1052	-0,0518	0,5577	0,6564
CERCR1	0,4203	0,0935	0,0894	0,0172	-0,0222	-0,0342	-0,1678	-0,1739	0,4458	-0,1453	0,4343	0,0300	0,3171	0,2563	-0,1692	0,0298	0,0945	0,1415	0,0029	0,3164	-0,3783	0,1514	0,2186
L_IFsul	0,4217	0,2776	0,2034	0,2871	0,1485	-0,1352	0,9243	0,0633	0,3119	0,4052	0,3064	0,3171	0,3096	0,4320	0,2892	0,6177	0,6533	0,1854	0,1177	0,1472	0,4648	0,4182	0,7052
MOTnet_vl	0,7171	0,0483	0,5296	0,6272	0,2643	0,1653	0,8675	0,1660	-0,0413	0,4393	0,1750	0,2563	0,4320	-0,6449	0,2631	0,2332	0,9040	-0,1121	-0,2284	-0,1610	0,3223	-0,0251	0,0654
CER7b	0,5974	0,2357	0,0337	0,2303	0,3317	-0,0765	-0,0072	0,0900	0,6668	-0,0853	-0,3692	-0,1692	0,2892	0,2631	0,4045	-0,0129	0,4786	0,2882	-0,3091	0,1657	-0,4219	0,7050	0,5183
FUSgyr_m	0,7416	-0,0923	-0,1727	0,3995	-0,2797	0,3439	0,0288	0,4824	0,0276	0,5741	0,5209	0,0298	0,6177	0,2332	-0,0129	-0,0066	0,7009	0,0567	-0,0716	0,6570	-0,2396	-0,0437	-0,0225
CAUDN	0,7482	0,5706	0,8750	1,1752	0,3880	0,6503	0,5616	0,4379	0,6608	0,4864	0,2047	0,0945	0,6533	0,9040	0,4786	0,7009	0,6518	0,6590	0,5394	0,7667	0,3096	0,7191	0,5396
PINS_d	0,6404	-0,1691	0,6234	0,7240	0,2943	0,4417	0,5033	0,2108	-0,0479	0,5332	0,1120	0,1415	0,1854	-0,1121	0,2882	0,0567	0,6590	0,3125	-0,3513	-0,0428	0,1718	-0,1966	0,0024
PCcor_PRC	0,2066	-0,3461	0,0692	-0,2157	-0,4498	-0,2907	-0,2458	0,2720	0,0283	-0,2765	-0,1551	0,0029	0,1177	-0,2284	-0,3091	-0,0716	0,5394	-0,3513	-0,2367	0,7721	-0,1595	-0,2192	-0,3113
L_IPlob	0,2371	0,0114	0,6418	0,4736	0,1979	0,1117	-0,1889	0,8456	0,0393	-0,7176	0,1052	0,3164	0,1472	-0,1610	0,1657	0,6570	0,7667	-0,0428	0,7721	0,1679	0,1375	-0,1028	-0,0377
PCcor_d	-0,0392	-0,1729	-0,2908	-0,5489	-0,5598	0,0359	-0,0661	-0,2753	-0,0695	-0,0876	-0,0518	-0,3783	0,4648	0,3223	-0,4219	-0,2396	0,3096	0,1718	-0,1595	0,1375	-0,2416	-0,0035	0,0318
ITgyr	0,4238	-0,0832	0,0318	0,2243	0,6727	0,3147	0,3064	0,1709	0,7848	0,1854	0,5577	0,1514	0,4182	-0,0251	0,7050	-0,0437	0,7191	-0,1966	-0,2192	-0,1028	-0,0035	1,2123	0,1097
SMgyr	0,2808	-0,3433	0,3420	0,4157	0,2819	0,1572	0,6312	-0,0811	0,1444	0,7099	0,6564	0,2186	0,7052	0,0654	0,5183	-0,0225	0,5396	0,0024	-0,3113	-0,0377	0,0318	0,1097	0,6379
MTgyr_a	0,6029	0,0133	0,2244	0,3554	0,3902	0,6809	0,0994	0,6029	0,2375	0,2130	0,3795	0,2971	0,2356	-0,3794	0,2526	0,1637	0,9108	-0,3960	-0,2324	0,1520	0,0304	0,1472	-0,0957
AMY_HIPP	0,4582	-0,4001	-0,3277	0,0465	-0,6189	0,2329	-0,0692	0,3063	0,2198	0,5204	-0,1741	-0,2371	0,0329	-0,1799	-0,2229	0,0371	0,5681	-0,2337	0,0824	0,9632	-0,1471	0,0294	-0,3337
FEF	0,5446	0,2196	-0,1644	0,2919	0,3748	0,2468	0,7075	-0,0335	0,3146	0,7524	0,5630	0,2626	0,6840	0,1215	0,5716	0,1473	0,6051	0,2878	-0,1951	0,1516	0,0125	0,3333	1,0264
VISnet_md	0,6414	0,2088	-0,0654	0,6629	0,3527	0,4450	0,0897	0,1826	0,3568	0,7685	1,1945	0,3385	0,3435	0,2103	0,6910	0,0560	0,5404	0,1750	0,0970	0,2424	0,1549	0,4306	-0,0183
OCCTgyr_l	0,9897	0,1822	-0,0716	0,3994	0,3442	0,2053	0,4543	-0,0040	0,9507	0,4682	0,4012	0,2177	0,1263	0,2092	0,4570	0,0768	0,5582	0,0863	-0,0935	0,4201	-0,0425	0,9002	0,3385
CER6	0,8000	0,3223	0,0318	0,2925	-0,2005	0,2899	0,1418	-0,0969	0,5506	0,3890	0,0364	-0,1632	0,4721	0,3809	-0,1547	0,3888	0,4213	0,3112	-0,3438	0,2529	-0,1260	0,5965	0,3858
PVISnet_m	0,5121	-0,0832	0,5226	0,3130	0,5327	0,4791	0,3406	0,2706	0,5142	0,4877	0,9546	0,7211	0,1021	0,0454	0,5237	0,2963	0,3042	-0,0186	-0,1342	0,0676	-0,4259	0,4918	0,0202
R_IPlob	0,3789	-0,0409	0,6187	0,5255	0,0536	0,0114	-0,1790	0,3235	0,2741	-0,6308	0,2230	0,2860	0,3859	-0,0165	0,3012	0,7211	0,8188	0,0228	0,5312	-0,0320	-0,3993	0,0170	0,0979
IMsul	0,6985	-0,0811	-0,3513	0,4599	0,0016	0,1243	0,3460	0,0100	0,1732	0,6276	0,4861	0,1842	0,8429	0,1042	0,2424	-0,1577	0,9200	0,1207	-0,1048	0,4084	0,0597	0,3117	0,2408
MVISnet_p	0,6890	0,0746	-0,0301	0,4123	0,0959	0,5262	0,1761	0,3200	0,3782	0,5319	0,4328	-0,0221	0,4237	0,5101	0,0448	0,5116	0,4416	0,4081	-0,0114	0,0819	0,1595	0,3621	0,1554
PGACcor	0,9188	0,5697	1,0328	0,8372	0,3584	0,5254	-0,0741	0,4708	0,0771	0,1883	0,3347	0,1625	0,6189	0,5274	0,3454	0,7380	1,0257	0,4064	-0,1191	0,0987	-0,0334	0,1215	0,3294
MVISnet_a	0,8067	0,0487	0,0489	0,6939	-0,1988	0,5173	0,0127	0,4050	0,3112	0,6115	0,7056	0,1327	0,5754	0,2403	-0,0087	0,6973	0,8053	0,1541	0,3284	0,5986	0,2389	0,3133	-0,1173
AINS_v_PIsul	0,7981	-0,0584	0,0127	0,2414	0,3384	0,9284	0,1091	0,5794	0,2963	0,5041	0,4447	-0,0050	0,2022	0,1076	0,2924	-0,0426	0,7544	-0,1025	-0,0162	0,4258	-0,1273	0,4318	0,0276
PRC_d	0,3941	-0,3187	-0,3591	0,0223	-0,1213	-0,2013	-0,2091	-0,1746	0,3312	0,3794	0,8206	0,3222	0,4262	0,0946	0,4002	-0,5398	0,5623	0,0280	0,0503	0,6026	-0,4178	0,1811	-0,0059
LVISnet_a	0,8806	0,1749	0,1079	0,6688	-0,1360	0,4983	0,2926	0,3506	0,4080	0,7522	0,7204	0,2178	0,5105	0,2487	0,1359	-0,0350	0,6250	0,1930	0,1655	0,4395	0,0960	0,4002	0,0720
R_MFgyr_p	0,3453	0,1772	0,1019	0,1459	0,2180	0,1160	0,2246	0,0828	0,1989	0,0116	0,1503	0,1327	0,8091	0,0604	0,1718	0,5285	0,5979	0,1476	-0,2002	-0,0967	-0,3313	0,3654	0,5427
FUSgyr_l	0,7864	0,0165	-0,0511	0,6325	0,2983	0,5930	0,4910	-0,0434	0,5499	0,7737	0,7254	0,2401	0,3378	0,1534	0,6579	-0,0272	0,4487	-0,0332	-0,2394	0,3152	-0,0103	0,6568	0,2778
ORBcor	0,9197	0,4760	0,4159	0,3830	0,6331	0,7253	0,5927	-0,3366	0,6751	0,4295	0,5683	0,2251	0,2929	-0,0957	0,8511	0,3891	0,5971	-0,0036	-0,0035	0,1335	0,1972	0,7560	0,3047
VMPFcor	0,5693	-0,1210	0,5327	0,4569	0,1491	0,4535	-0,0320	0,1600	-0,0121	0,0326	0,2614	0,2509	-0,0138	-0,2175	0,2255	0,3429	0,8171	-0,2502	0,2780	0,6239	0,0016	-0,1669	-0,2193
PVISnet_l	0,6827	-0,1609	0,0446	0,3961	0,3036	0,4175	-0,0005	0,2850	0,5114	0,4486	0,7756	0,3792	0,2030	0,1471	0,1902	-0,0346	0,3754	0,0642	0,0205	0,1967	-0,1678	0,4024	-0,1126
L_CERCR2	0,4407	0,3004	0,3238	0,2616	0,0137	-0,0261	-0,0159	0,1448	0,6495	-0,4109	0,0061	0,4743	0,7320	0,3071	-0,1052	0,6347	0,2022	0,2153	0,0662	0,2647	-0,3423	0,5692	0,4201
MOTnet_m	0,6922	0,2030	0,2237	0,4071	0,2971	0,3994	0,8003	0,0635	0,2382	0,7807	0,1573	0,2675	0,2207	-0,3600	0,3316	0,0392	0,8401	0,0584	-0,2532	-0,0491	0,2138	0,0756	0,3318
AUDnet	0,8962	0,1573	0,6365	0,8232	0,2877	0,6210	0,2730	0,4995	0,5244	0,3694	0,5267	0,3087	0,1378	-0,4470	0,3778	0,3854	0,8994	-0,8880	0,0457	0,3279	0,0381	0,2575	-0,1324
PCsul	0,4167	0,0803	-0,1754	0,3205	0,3446	0,0810	0,9301	-0,2089	0,0447	0,7145	0,5449	0,3987	0,6065	-0,1111	0,5315	0,0179	0,5181	0,0239	-0,2095	0,1952	0,1557	0,3441	0,7549
CER9	0,6103	0,0637	0,3100	0,5158	-0,2151	-0,3195	-0,4066	0,1671	0,5858	0,0651	-0,1669	0,2224	0,0091	0,0836	0,0018	0,6666	0,6345	-0,1091	0,0882	0,5509	-0,1875	0,4186	-0,2020
R_IPsul_PORB	0,6111	0,2655	0,4153	0,4255	-0,0155	0,2603	0,3718	0,0860	0,4894	0,3433	0,7334	0,3036	0,7176	0,4355	0,5525	0,6460	0,4540	0,5618	0,3606	0,3774	-0,3170	0,5732	0,4750
VLPFcor	1,0223	0,8185	0,6281	0,5693	0,7995	0,6463	0,5100	0,4917	-0,0077	-0,0419	0,1061	0,1279	0,3202	0,5409	0,6604	0,7579	0,7378	0,5512	-0,1248	-0,6185	0,3124	0,0845	1,0328
AINS_d	0,7158	0,3597	0,5702	0,5521	0,3549	0,6072	0,1008	0,1261	0,2310	0,3282	0,4679	0,1401	0,2268	0,7326	0,5081	0,2643	0,4829	0,7573	-0,0867	-0,0957	-0,1070	0,1611	0,4738
DMPFcor_a	0,6144	0,2511	0,7080	0,4423	0,3865	0,5214	0,2992	0,4751	-0,2100	0,2398	0,3198	0,2561	0,5855	0,1136	0,3978	0,4597	1,0118	0,0055	-0,3795	-0,4394	-0,0125	-0,0843	0,1184
MFgyr_a	0,4395	0,4556	0,7061	0,5653	0,7063	0,4360	0,2315	0,1544	0,4274	0,3177	0,8729	0,4764	1,0983	0,5154	0,5286	0,5470	0,6696	0,4095	0,2065	-0,0588	-0,0216	0,4948	0,5109
R_IFsul	0,2574	0,1047	0,1760	0,1549	0,0763	0,0623	0,5818	0,0317	0,1541	0,0176	0,3145	0,0980	0,5249	0,3644	0,3596	0,6204	0,5084	0,3320	-0,1495	-0,2503	-0,0605	0,3436	0,4070
FP_l	0,7579	0,5216	1,3354	0,8043	0,6215	0,6154	0,3327	0,3188	0,3231	-0,0698	1,0293	0,8044	0,8349	0,3228	0,8460	1,1924	0,7163	0,3971	0,7393	0,4761	0,1671	0,5525	0,3019
MOTnet_dl	0,5710	0,2840	0,2236	0,4239	0,5634	0,5107	1,0678	0,1453	0,3643	0,8286	0,4109	0,3846	0,4644	-0,0733	0,4592	0,1431	0,9929	0,2062	-0,1256	0,1795	0,2656	0,3509	0,4228
DVIS	0,6993	0,2988	-0,0201	0,5927	0,2203	0,1526	0,2575	-0,1400	0,3003	0,5627	1,0716	0,4081	0,2874	0,1776	0,8320	-0,2703	0,4047	0,2091	-0,0992	0,3805	-0,1526	0,4509	0,2206
POsul	0,5761	-0,1891	0,0294	0,4445	-0,2694	-0,0001	-0,3287	0,4539	0,4137	0,2821	0,3857	0,1010	0,3040	-0,0894	0,1757	0,0321	0,7087	-0,1501	0,0911	1,0202	-0,0632	0,1855	-0,3269
LVISnet_p	0,7661	0,0852	0,1438	0,5691	0,3568	0,5921	0,3292	0,1733	0,5553	0,8673	1,2044	0,4642	0,4697	0,0356	0,6542	-0,0924	0,4390	-0,0034	-0,0636	0,2792	-0,1782	0,6382	-0,0168
SMOTcor	0,5039	0,0357	-0,0378	0,2141	-0,0038	0,5011	0,5595	0,0166	0,1763	0,7758	0,1698	-0,0979	0,3788	-0,0404	0,0748	0,0360	0,6181	0,1436	-0,1985	-0,1182	0,0018	0,1983	0,2968
L_SFgyr_a	0,4414	0,2270	0,0476	0,0739	0,2588	0,2898	0,3456	0,5018	0,0656	0,3347	-0,0941	0,0465	0,6095	0,0916	0,0303	0,2749	0,7700	0,0335	-0,4009	-0,5175	-0,1113	0,1185	0,4439
SPlob	0,6240	0,1279	-0,4237	0,3865	0,4935	0,2195	0,7884	-0,2706	0,0972	0,6769	0,4887	0,2822	0,3390	-0,2610	0,5164	-0,4451	0,6636	0,1730	-0,4179	-0,0740	-0,0091	0,0109	0,7283
L_IPsul_MFgyr_p	0,5904	0,5690	-0,1178	0,3079	0,2984	0,1063	0,7980	-0,0024	0,3767	0,1025	0,1535	-0,0022	0,6533	0,4411	0,4073	0,3814	0,4940	0,5586	-0,4380	-0,5062	0,0650	0,4201	1,2516
MTgyr_p	0,6151	0,0589	0,4529	0,5444	0,3916	0,5898	0,1275	0,4167	0,4071	-0,1308	0,3714	0,3207	0,2490	-0,3450	0,4412	0,4161	0,7780	-0,3857	-0,2222	-0,1396	-0,0812	0,2672	0,1464

	MTgyr_a	AMY_HIPP	FEF	VISnet_md	OCCTgyr_l	CER6	PVISnet_m	R_IPlob	IMsul	MVISnet_p	PGACcor	MVISnet_a	AINS_v_PIsu	PRC_d	LVISnet_a	R_MFgyr_p	FUSgyr_l	ORBcor	VMPFcor	PVISnet_l
PUT	0,6029	0,4582	0,5446	0,6414	0,9897	0,8000	0,5121	0,3789	0,6985	0,6890	0,9188	0,8067	0,7981	0,3941	0,8806	0,3453	0,7864	0,9197	0,5693	0,6827
PINS_v	0,0133	-0,4001	0,2196	0,2088	0,1822	0,3223	-0,0832	-0,0409	-0,0811	0,0746	0,5697	0,0487	-0,0584	-0,3187	0,1749	0,1772	0,0165	0,4760	-0,1210	-0,1609
CERVM	0,2244	-0,3277	-0,1644	-0,0654	-0,0716	0,0318	0,5226	0,6187	-0,3513	-0,0301	1,0328	0,0489	0,0127	-0,3591	0,1079	0,1019	-0,0511	0,4159	0,5327	0,0446
THAL	0,3554	0,0465	0,2919	0,6629	0,3994	0,2925	0,3130	0,5255	0,4599	0,4123	0,8372	0,6939	0,2414	0,0223	0,6688	0,1459	0,6325	0,3830	0,4569	0,3961
CER7ab	0,3902	-0,6189	0,3748	0,3527	0,3442	-0,2005	0,5327	0,0536	0,0016	0,0959	0,3584	-0,1988	0,3384	-0,1213	-0,1360	0,2180	0,2983	0,6331	0,1491	0,3036
CER5	0,6809	0,2329	0,2468	0,4450	0,2053	0,2899	0,4791	0,0114	0,1243	0,5262	0,5254	0,5173	0,9284	-0,2013	0,4983	0,1160	0,5930	0,7253	0,4535	0,4175
ACcor_d	0,0994	-0,0692	0,7075	0,0897	0,4543	0,1418	0,3406	-0,1790	0,3460	0,1761	-0,0741	0,0127	0,1091	-0,2091	0,2926	0,2246	0,4910	0,5927	-0,0320	-0,0005
CAUDNH_NACC	0,6029	0,3063	-0,0335	0,1826	-0,0040	-0,0969	0,2706	0,3235	0,0100	0,3200	0,4708	0,4050	0,5794	-0,1746	0,3506	0,0828	-0,0434	-0,3366	0,1600	0,2850
TP	0,2375	0,2198	0,3146	0,3568	0,9507	0,5506	0,5142	0,2741	0,1732	0,3782	0,0771	0,3112	0,2963	0,3312	0,4080	0,1989	0,5499	0,6751	-0,0121	0,5114
DMPFcor_p	0,2130	0,5204	0,7524	0,7685	0,4682	0,3890	0,4877	-0,6308	0,6276	0,5319	0,1883	0,6115	0,5041	0,3794	0,7522	0,0116	0,7737	0,4295	0,0326	0,4486
R_CERCR2	0,3795	-0,1741	0,5630	1,1945	0,4012	0,0364	0,9546	0,2230	0,4861	0,4328	0,3347	0,7056	0,4447	0,8206	0,7204	0,1503	0,7254	0,5683	0,2614	0,7756
CERCR1	0,2971	-0,2371	0,2626	0,3385	0,2177	-0,1632	0,7211	0,2860	0,1842	-0,0221	0,1625	0,1327	-0,0050	0,3222	0,2178	0,1327	0,2401	0,2251	0,2509	0,3792
L_IFsul	0,2356	0,0329	0,6840	0,3435	0,1263	0,4721	0,1021	0,3859	0,8429	0,4237	0,6189	0,5754	0,2022	0,4262	0,5105	0,8091	0,3378	0,2929	-0,0138	0,2030
MOTnet_vl	-0,3794	-0,1799	0,1215	0,2103	0,2092	0,3809	0,0454	-0,0165	0,1042	0,5101	0,5274	0,2403	0,1076	0,0946	0,2487	0,0604	0,1534	-0,0957	-0,2175	0,1471
CER7b	0,2526	-0,2229	0,5716	0,6910	0,4570	-0,1547	0,5237	0,3012	0,2424	0,0448	0,3454	-0,0087	0,2924	0,4002	0,1359	0,1718	0,6579	0,8511	0,2255	0,1902
FUSgyr_m	0,1637	0,0371	0,1473	0,0560	0,0768	0,3888	0,2963	0,7211	-0,1577	0,5116	0,7380	0,6973	-0,0426	-0,5398	-0,0350	0,5285	-0,0272	0,3891	0,3429	-0,0346
CAUDN	0,9108	0,5681	0,6051	0,5404	0,5582	0,4213	0,3042	0,8188	0,9200	0,4416	1,0257	0,8053	0,7544	0,5623	0,6250	0,5979	0,4487	0,5971	0,8171	0,3754
PINS_d	-0,3960	-0,2337	0,2878	0,1750	0,0863	0,3112	-0,0186	0,0228	0,1207	0,4081	0,4064	0,1541	-0,1025	0,0280	0,1930	0,1476	-0,0332	-0,0036	-0,2502	0,0642
PCcor_PRC	-0,2324	0,0824	-0,1951	0,0970	-0,0935	-0,3438	-0,1342	0,5312	-0,1048	-0,0114	-0,1191	0,3284	-0,0162	0,0503	0,1655	-0,2002	-0,2394	-0,0035	0,2780	0,0205
L_IPlob	0,1520	0,9632	0,1516	0,2424	0,4201	0,2529	0,0676	-0,0320	0,4084	0,0819	0,0987	0,5986	0,4258	0,6026	0,4395	-0,0967	0,3152	0,1335	0,6239	0,1967
PCcor_d	0,0304	-0,1471	0,0125	0,1549	-0,0425	-0,1260	-0,4259	-0,3993	0,0597	0,1595	-0,0334	0,2389	-0,1273	-0,4178	0,0960	-0,3313	-0,0103	0,1972	0,0016	-0,1678
ITgyr	0,1472	0,0294	0,3333	0,4306	0,9002	0,5965	0,4918	0,0170	0,3117	0,3621	0,1215	0,3133	0,4318	0,1811	0,4002	0,3654	0,6568	0,7560	-0,1669	0,4024
SMgyr	-0,0957	-0,3337	1,0264	-0,0183	0,3385	0,3858	0,0202	0,0979	0,2408	0,1554	0,3294	-0,1173	0,0276	-0,0059	0,0720	0,5427	0,2778	0,3047	-0,2193	-0,1126
MTgyr_a	0,0664	0,4868	0,1059	0,2445	0,5374	0,5711	0,1874	0,5587	0,1266	0,2456	0,1385	0,4368	0,8394	0,2054	0,3532	0,3439	0,1176	0,5791	0,1875	0,3018
AMY_HIPP	0,4868	0,3079	-0,0867	0,0021	-0,1156	-0,1859	-0,0578	0,8673	-0,2170	0,0954	0,6783	0,2879	0,0375	-0,3219	0,0130	0,4937	-0,2206	0,2630	0,2681	-0,0126
FEF	0,1059	-0,0867	0,5776	0,3575	0,5277	0,5194	0,4493	0,2532	0,6670	0,4745	0,4366	0,2764	0,3819	0,0363	0,1673	0,6926	0,8233	0,6119	-0,0464	0,3449
VISnet_md	0,2445	0,0021	0,3575	-0,4714	0,5505	0,6004	0,8926	0,2749	0,1177	-0,1570	0,7289	-0,6280	0,1992	-0,1262	-0,0641	0,5745	0,4468	0,3786	0,1910	-0,2926
OCCTgyr_l	0,5374	-0,1156	0,5277	0,5505	0,4414	0,6054	0,6929	0,5613	0,4050	0,2864	0,5130	0,2855	0,3823	0,2219	0,2235	0,8530	0,7485	0,7448	-0,0367	0,4136
CER6	0,5711	-0,1859	0,5194	0,6004	0,6054	0,2781	0,8425	0,2174	0,2320	0,4495	0,4618	0,3669	0,4039	-0,1200	0,3726	0,3053	0,9453	0,5230	0,2013	0,4536
PVISnet_m	0,1874	-0,0578	0,4493	0,8926	0,6929	0,8425	-0,5180	0,1806	0,1260	0,6069	0,1756	0,3126	0,0638	0,1409	0,8665	0,5515	0,2658	0,5193	0,2375	1,0006
R_IPlob	0,5587	0,8673	0,2532	0,2749	0,5613	0,2174	0,1806	0,4039	0,3452	0,2151	-0,0755	0,7162	0,4660	0,5380	0,4937	-0,2699	0,5677	0,2910	0,5947	0,3251
IMsul	0,1266	-0,2170	0,6670	0,1177	0,4050	0,2320	0,1260	0,3452	-0,0789	0,3561	0,4810	0,1047	0,2298	-0,1515	0,0860	0,6111	0,3837	0,3699	0,2653	0,0665
MVISnet_p	0,2456	0,0954	0,4745	-0,1570	0,2864	0,4495	0,6069	0,2151	0,3561	-0,3199	0,6501	-0,0541	0,1175	-0,2216	0,3359	0,4194	0,4870	0,2341	0,3064	-0,2245
PGACcor	0,1385	0,6783	0,4366	0,7289	0,5130	0,4618	0,1756	-0,0755	0,4810	0,6501	0,0199	1,0673	0,3628	0,3796	0,9375	-0,1499	0,2027	0,1269	0,1562	0,5214
MVISnet_a	0,4368	0,2879	0,2764	-0,6280	0,2855	0,3669	0,3126	0,7162	0,1047	-0,0541	1,0673	-0,0498	0,1823	-0,1090	0,2995	0,6852	0,2008	0,3719	0,7289	-0,2303
AINS_v_PIsul	0,8394	0,0375	0,3819	0,1992	0,3823	0,4039	0,0638	0,4660	0,2298	0,1175	0,3628	0,1823	0,9437	0,0620	0,2213	0,5302	0,0314	0,7508	0,2678	0,0828
PRC_d	0,2054	-0,3219	0,0363	-0,1262	0,2219	-0,1200	0,1409	0,5380	-0,1515	-0,2216	0,3796	-0,1090	0,0620	0,1436	-0,3295	0,3464	-0,0115	0,4297	0,3143	-0,1504
LVISnet_a	0,3532	0,0130	0,1673	-0,0641	0,2235	0,3726	0,8665	0,4937	0,0860	0,3359	0,9375	0,2995	0,2213	-0,3295	-0,0739	0,6363	-0,0249	0,5243	0,5530	-0,0149
R_MFgyr_p	0,3439	0,4937	0,6926	0,5745	0,8530	0,3053	0,5515	-0,2699	0,6111	0,4194	-0,1499	0,6852	0,5302	0,3464	0,6363	0,6919	1,0358	0,7158	0,3190	0,5863
FUSgyr_l	0,1176	-0,2206	0,8233	0,4468	0,7485	0,9453	0,2658	0,5677	0,3837	0,4870	0,2027	0,2008	0,0314	-0,0115	-0,0249	1,0358	0,1853	0,6010	-0,1534	0,1941
ORBcor	0,5791	0,2630	0,6119	0,3786	0,7448	0,5230	0,5193	0,2910	0,3699	0,2341	0,1269	0,3719	0,7508	0,4297	0,5243	0,7158	0,6010	-0,0014	-0,1871	0,3837
VMPFcor	0,1875	0,2681	-0,0464	0,1910	-0,0367	0,2013	0,2375	0,5947	0,2653	0,3064	0,1562	0,7289	0,2678	0,3143	0,5530	0,3190	-0,1534	-0,1871	0,6287	0,3801
PVISnet_l	0,3018	-0,0126	0,3449	-0,2926	0,4136	0,4536	1,0006	0,3251	0,0665	-0,2245	0,5214	-0,2303	0,0828	-0,1504	-0,0149	0,5863	0,1941	0,3837	0,3801	-0,1329
L_CERCR2	0,4953	0,3433	0,4587	1,0115	0,8439	0,0878	0,8633	0,1808	0,3715	0,3811	0,0067	0,6895	0,3198	0,7578	0,7141	0,0001	0,8976	0,6409	0,4835	0,7403
MOTnet_m	-0,0261	-0,2666	0,3138	0,2105	0,1631	0,4254	0,2158	0,2760	0,1401	0,5126	0,6516	0,1647	0,3815	0,1044	0,2184	0,6525	0,1631	0,2535	-0,0234	0,3175
AUDnet	0,5151	-0,0060	0,2041	0,3675	0,3055	0,4561	0,0575	0,4303	0,2050	0,3817	0,7841	0,3034	0,6738	0,2469	0,3496	0,2792	0,0504	0,4078	0,3126	0,1684
PCsul	-0,2648	-0,3531	0,7180	0,0711	0,4426	0,5388	0,2183	0,5412	0,3720	0,4851	0,5153	0,0131	-0,0442	0,3062	-0,0376	0,8139	0,3272	0,2303	-0,2455	0,1928
CER9	0,6320	0,0879	0,4210	0,9034	0,4953	-0,1878	0,7980	0,4957	0,2791	0,5846	0,3144	0,6827	0,2650	0,4358	0,7223	0,2436	0,7011	0,4393	0,4582	0,7610
R_IPsul_PORB	0,7541	0,5164	0,6454	0,3494	0,7231	0,3708	0,1824	0,5757	0,5847	0,2110	0,4117	0,3732	0,3750	0,6285	0,3271	0,5916	0,6465	0,5733	0,3068	0,1683
VLPFcor	-0,2066	0,2998	0,7323	0,8534	0,5808	0,8446	0,0944	-0,0182	0,8473	0,4747	0,1317	0,6631	0,3894	0,5224	0,8059	0,4101	0,4388	0,1396	-0,1221	0,3193
AINS_d	0,1838	-0,0760	0,4621	0,3380	0,3772	0,4915	0,0452	-0,2011	0,2623	0,2275	0,2951	0,0369	-0,0790	-0,0222	0,4015	0,0247	0,2204	0,3071	0,0474	-0,0081
DMPFcor_a	-0,1289	0,3648	0,3628	0,4362	0,3979	0,5009	0,2408	-0,1063	0,3889	0,3939	0,1194	0,7187	0,5216	0,2743	0,7751	0,1945	0,1742	0,0527	0,2018	0,4702
MFgyr_a	0,5172	0,3557	0,8273	0,3332	0,7979	0,5914	0,5132	-0,0928	0,5101	0,3949	0,4022	0,5573	0,5800	0,5705	0,6323	0,3912	0,6589	0,7997	0,5014	0,4933
R_IFsul	0,1543	0,3185	0,8188	0,5597	0,6958	0,3617	-0,0779	-0,0907	0,7957	0,5012	0,1806	0,6041	0,0917	0,4329	0,3948	0,5853	0,7641	0,2398	0,0173	0,2381
FP_l	0,6397	1,0437	0,5755	0,6530	1,2292	0,7418	0,5795	0,1611	0,7427	0,4760	0,4618	0,9782	0,5307	1,0793	0,9249	0,2661	0,8361	0,1772	0,6311	0,6349
MOTnet_dl	0,0042	-0,2151	0,4737	0,1828	0,5498	0,5833	0,1674	0,3975	0,4278	0,5340	0,7971	0,0985	0,3659	0,2781	0,2053	0,6789	0,3012	0,3874	0,0606	0,2814
DVIS	0,0979	-0,0587	0,3529	-0,0438	0,5204	0,4506	-0,0097	0,6403	0,3598	0,1056	0,4600	-0,0143	0,0894	0,1701	-0,4038	0,8579	0,1985	0,4468	-0,0101	-0,0928
POsul	0,3234	0,4267	-0,1010	-0,3614	0,1791	-0,1320	-0,0640	0,6584	-0,2523	-0,0542	0,5199	0,1498	0,1154	-0,3490	-0,0451	0,3652	-0,1922	0,3470	0,5983	-0,1633
LVISnet_p	0,2884	-0,0215	0,3094	0,6235	0,7297	0,8233	0,3305	0,5683	0,1368	0,5064	0,3760	0,0648	0,1613	0,0218	-0,1257	0,7814	0,1386	0,7265	0,1405	0,2438
SMOTcor	0,1465	-0,1395	0,3519	0,0422	0,2880	0,1229	0,3450	0,1387	0,2491	0,2277	0,5276	-0,1411	0,3109	-0,1134	0,0556	0,5817	0,3613	0,4555	0,0698	0,0792
L_SFgyr_a	0,1920	0,2978	0,6031	0,5686	0,3593	0,3544	0,3206	0,0823	0,6898	0,3366	0,1154	0,6337	0,7343	0,4584	0,5988	0,5689	0,5358	0,5136	0,2153	0,4130
SPlob	-0,3708	-0,6851	0,3735	0,0127	0,0926	0,3575	0,2017	0,3507	0,1500	0,2359	0,5599	-0,2160	0,0097	0,0552	-0,1799	0,5878	0,0077	0,1356	-0,2338	0,0445
L_IPsul_MFgyr_p	-0,1015	-0,0522	0,9285	0,6921	0,2286	0,4716	0,1119	-0,1688	1,2186	0,4148	0,4899	0,5551	0,4383	0,7262	0,3959	0,4218	0,6729	0,3211	-0,1384	0,1849
MTgyr_p	0,0910	0,3130	0,5521	0,2299	0,7168	0,7082	0,0661	0,5068	0,5293	0,1589	0,0631	0,3758	0,3678	0,5175	0,3341	0,4468	0,5191	0,5651	0,1439	0,1888

	L_CERCR2	MOTnet_m	AUDnet	PCsul	CER9	R_IPsul_POR	VLPFcor	AINS_d	DMPFcor_a	MFgyr_a	R_IFsul	FP_l	MOTnet_dl	DVIS	POsul	LVISnet_p	SMOTcor	L_SFgyr_a	SPlob	L_IPsul_MFg	MTgyr_p
PUT	0,4407	0,6922	0,8962	0,4167	0,6103	0,6111	1,0223	0,7158	0,6144	0,4395	0,2574	0,7579	0,5710	0,6993	0,5761	0,7661	0,5039	0,4414	0,6240	0,5904	0,6151
PINS_v	0,3004	0,2030	0,1573	0,0803	0,0637	0,2655	0,8185	0,3597	0,2511	0,4556	0,1047	0,5216	0,2840	0,2988	-0,1891	0,0852	0,0357	0,2270	0,1279	0,5690	0,0589
CERVM	0,3238	0,2237	0,6365	-0,1754	0,3100	0,4153	0,6281	0,5702	0,7080	0,7061	0,1760	1,3354	0,2236	-0,0201	0,0294	0,1438	-0,0378	0,0476	-0,4237	-0,1178	0,4529
THAL	0,2616	0,4071	0,8232	0,3205	0,5158	0,4255	0,5693	0,5521	0,4423	0,5653	0,1549	0,8043	0,4239	0,5927	0,4445	0,5691	0,2141	0,0739	0,3865	0,3079	0,5444
CER7ab	0,0137	0,2971	0,2877	0,3446	-0,2151	-0,0155	0,7995	0,3549	0,3865	0,7063	0,0763	0,6215	0,5634	0,2203	-0,2694	0,3568	-0,0038	0,2588	0,4935	0,2984	0,3916
CER5	-0,0261	0,3994	0,6210	0,0810	-0,3195	0,2603	0,6463	0,6072	0,5214	0,4360	0,0623	0,6154	0,5107	0,1526	-0,0001	0,5921	0,5011	0,2898	0,2195	0,1063	0,5898
ACcor_d	-0,0159	0,8003	0,2730	0,9301	-0,4066	0,3718	0,5100	0,1008	0,2992	0,2315	0,5818	0,3327	1,0678	0,2575	-0,3287	0,3292	0,5595	0,3456	0,7884	0,7980	0,1275
CAUDNH_NACC	0,1448	0,0635	0,4995	-0,2089	0,1671	0,0860	0,4917	0,1261	0,4751	0,1544	0,0317	0,3188	0,1453	-0,1400	0,4539	0,1733	0,0166	0,5018	-0,2706	-0,0024	0,4167
TP	0,6495	0,2382	0,5244	0,0447	0,5858	0,4894	-0,0077	0,2310	-0,2100	0,4274	0,1541	0,3231	0,3643	0,3003	0,4137	0,5553	0,1763	0,0656	0,0972	0,3767	0,4071
DMPFcor_p	-0,4109	0,7807	0,3694	0,7145	0,0651	0,3433	-0,0419	0,3282	0,2398	0,3177	0,0176	-0,0698	0,8286	0,5627	0,2821	0,8673	0,7758	0,3347	0,6769	0,1025	-0,1308
R_CERCR2	0,0061	0,1573	0,5267	0,5449	-0,1669	0,7334	0,1061	0,4679	0,3198	0,8729	0,3145	1,0293	0,4109	1,0716	0,3857	1,2044	0,1698	-0,0941	0,4887	0,1535	0,3714
CERCR1	0,4743	0,2675	0,3087	0,3987	0,2224	0,3036	0,1279	0,1401	0,2561	0,4764	0,0980	0,8044	0,3846	0,4081	0,1010	0,4642	-0,0979	0,0465	0,2822	-0,0022	0,3207
L_IFsul	0,7320	0,2207	0,1378	0,6065	0,0091	0,7176	0,3202	0,2268	0,5855	1,0983	0,5249	0,8349	0,4644	0,2874	0,3040	0,4697	0,3788	0,6095	0,3390	0,6533	0,2490
MOTnet_vl	0,3071	-0,3600	-0,4470	-0,1111	0,0836	0,4355	0,5409	0,7326	0,1136	0,5154	0,3644	0,3228	-0,0733	0,1776	-0,0894	0,0356	-0,0404	0,0916	-0,2610	0,4411	-0,3450
CER7b	-0,1052	0,3316	0,3778	0,5315	0,0018	0,5525	0,6604	0,5081	0,3978	0,5286	0,3596	0,8460	0,4592	0,8320	0,1757	0,6542	0,0748	0,0303	0,5164	0,4073	0,4412
FUSgyr_m	0,6347	0,0392	0,3854	0,0179	0,6666	0,6460	0,7579	0,2643	0,4597	0,5470	0,6204	1,1924	0,1431	-0,2703	0,0321	-0,0924	0,0360	0,2749	-0,4451	0,3814	0,4161
CAUDN	0,2022	0,8401	0,8994	0,5181	0,6345	0,4540	0,7378	0,4829	1,0118	0,6696	0,5084	0,7163	0,9929	0,4047	0,7087	0,4390	0,6181	0,7700	0,6636	0,4940	0,7780
PINS_d	0,2153	0,0584	-0,8880	0,0239	-0,1091	0,5618	0,5512	0,7573	0,0055	0,4095	0,3320	0,3971	0,2062	0,2091	-0,1501	-0,0034	0,1436	0,0335	0,1730	0,5586	-0,3857
PCcor_PRC	0,0662	-0,2532	0,0457	-0,2095	0,0882	0,3606	-0,1248	-0,0867	-0,3795	0,2065	-0,1495	0,7393	-0,1256	-0,0992	0,0911	-0,0636	-0,1985	-0,4009	-0,4179	-0,4380	-0,2222
L_IPlob	0,2647	-0,0491	0,3279	0,1952	0,5509	0,3774	-0,6185	-0,0957	-0,4394	-0,0588	-0,2503	0,4761	0,1795	0,3805	1,0202	0,2792	-0,1182	-0,5175	-0,0740	-0,5062	-0,1396
PCcor_d	-0,3423	0,2138	0,0381	0,1557	-0,1875	-0,3170	0,3124	-0,1070	-0,0125	-0,0216	-0,0605	0,1671	0,2656	-0,1526	-0,0632	-0,1782	0,0018	-0,1113	-0,0091	0,0650	-0,0812
ITgyr	0,5692	0,0756	0,2575	0,3441	0,4186	0,5732	0,0845	0,1611	-0,0843	0,4948	0,3436	0,5525	0,3509	0,4509	0,1855	0,6382	0,1983	0,1185	0,0109	0,4201	0,2672
SMgyr	0,4201	0,3318	-0,1324	0,7549	-0,2020	0,4750	1,0328	0,4738	0,1184	0,5109	0,4070	0,3019	0,4228	0,2206	-0,3269	-0,0168	0,2968	0,4439	0,7283	1,2516	0,1464
MTgyr_a	0,4953	-0,0261	0,5151	-0,2648	0,6320	0,7541	-0,2066	0,1838	-0,1289	0,5172	0,1543	0,6397	0,0042	0,0979	0,3234	0,2884	0,1465	0,1920	-0,3708	-0,1015	0,0910
AMY_HIPP	0,3433	-0,2666	-0,0060	-0,3531	0,0879	0,5164	0,2998	-0,0760	0,3648	0,3557	0,3185	1,0437	-0,2151	-0,0587	0,4267	-0,0215	-0,1395	0,2978	-0,6851	-0,0522	0,3130
FEF	0,4587	0,3138	0,2041	0,7180	0,4210	0,6454	0,7323	0,4621	0,3628	0,8273	0,8188	0,5755	0,4737	0,3529	-0,1010	0,3094	0,3519	0,6031	0,3735	0,9285	0,5521
VISnet_md	1,0115	0,2105	0,3675	0,0711	0,9034	0,3494	0,8534	0,3380	0,4362	0,3332	0,5597	0,6530	0,1828	-0,0438	-0,3614	0,6235	0,0422	0,5686	0,0127	0,6921	0,2299
OCCTgyr_l	0,8439	0,1631	0,3055	0,4426	0,4953	0,7231	0,5808	0,3772	0,3979	0,7979	0,6958	1,2292	0,5498	0,5204	0,1791	0,7297	0,2880	0,3593	0,0926	0,2286	0,7168
CER6	0,0878	0,4254	0,4561	0,5388	-0,1878	0,3708	0,8446	0,4915	0,5009	0,5914	0,3617	0,7418	0,5833	0,4506	-0,1320	0,8233	0,1229	0,3544	0,3575	0,4716	0,7082
PVISnet_m	0,8633	0,2158	0,0575	0,2183	0,7980	0,1824	0,0944	0,0452	0,2408	0,5132	-0,0779	0,5795	0,1674	-0,0097	-0,0640	0,3305	0,3450	0,3206	0,2017	0,1119	0,0661
R_IPlob	0,1808	0,2760	0,4303	0,5412	0,4957	0,5757	-0,0182	-0,2011	-0,1063	-0,0928	-0,0907	0,1611	0,3975	0,6403	0,6584	0,5683	0,1387	0,0823	0,3507	-0,1688	0,5068
IMsul	0,3715	0,1401	0,2050	0,3720	0,2791	0,5847	0,8473	0,2623	0,3889	0,5101	0,7957	0,7427	0,4278	0,3598	-0,2523	0,1368	0,2491	0,6898	0,1500	1,2186	0,5293
MVISnet_p	0,3811	0,5126	0,3817	0,4851	0,5846	0,2110	0,4747	0,2275	0,3939	0,3949	0,5012	0,4760	0,5340	0,1056	-0,0542	0,5064	0,2277	0,3366	0,2359	0,4148	0,1589
PGACcor	0,0067	0,6516	0,7841	0,5153	0,3144	0,4117	0,1317	0,2951	0,1194	0,4022	0,1806	0,4618	0,7971	0,4600	0,5199	0,3760	0,5276	0,1154	0,5599	0,4899	0,0631
MVISnet_a	0,6895	0,1647	0,3034	0,0131	0,6827	0,3732	0,6631	0,0369	0,7187	0,5573	0,6041	0,9782	0,0985	-0,0143	0,1498	0,0648	-0,1411	0,6337	-0,2160	0,5551	0,3758
AINS_v_PIsul	0,3198	0,3815	0,6738	-0,0442	0,2650	0,3750	0,3894	-0,0790	0,5216	0,5800	0,0917	0,5307	0,3659	0,0894	0,1154	0,1613	0,3109	0,7343	0,0097	0,4383	0,3678
PRC_d	0,7578	0,1044	0,2469	0,3062	0,4358	0,6285	0,5224	-0,0222	0,2743	0,5705	0,4329	1,0793	0,2781	0,1701	-0,3490	0,0218	-0,1134	0,4584	0,0552	0,7262	0,5175
LVISnet_a	0,7141	0,2184	0,3496	-0,0376	0,7223	0,3271	0,8059	0,4015	0,7751	0,6323	0,3948	0,9249	0,2053	-0,4038	-0,0451	-0,1257	0,0556	0,5988	-0,1799	0,3959	0,3341
R_MFgyr_p	0,0001	0,6525	0,2792	0,8139	0,2436	0,5916	0,4101	0,0247	0,1945	0,3912	0,5853	0,2661	0,6789	0,8579	0,3652	0,7814	0,5817	0,5689	0,5878	0,4218	0,4468
FUSgyr_l	0,8976	0,1631	0,0504	0,3272	0,7011	0,6465	0,4388	0,2204	0,1742	0,6589	0,7641	0,8361	0,3012	0,1985	-0,1922	0,1386	0,3613	0,5358	0,0077	0,6729	0,5191
ORBcor	0,6409	0,2535	0,4078	0,2303	0,4393	0,5733	0,1396	0,3071	0,0527	0,7997	0,2398	0,1772	0,3874	0,4468	0,3470	0,7265	0,4555	0,5136	0,1356	0,3211	0,5651
VMPFcor	0,4835	-0,0234	0,3126	-0,2455	0,4582	0,3068	-0,1221	0,0474	0,2018	0,5014	0,0173	0,6311	0,0606	-0,0101	0,5983	0,1405	0,0698	0,2153	-0,2338	-0,1384	0,1439
PVISnet_l	0,7403	0,3175	0,1684	0,1928	0,7610	0,1683	0,3193	-0,0081	0,4702	0,4933	0,2381	0,6349	0,2814	-0,0928	-0,1633	0,2438	0,0792	0,4130	0,0445	0,1849	0,1888
L_CERCR2	0,0795	0,3090	0,4911	0,5619	0,1757	0,4149	0,1546	0,2184	0,1480	0,5043	0,1244	0,5921	0,4568	1,1370	0,5572	1,0883	0,1477	0,0246	0,4727	0,3859	0,4385
MOTnet_m	0,3090	-0,5172	-0,1015	-0,3902	0,3454	0,4617	0,6862	0,6688	0,4877	0,8025	0,5433	0,5808	-0,0534	0,0347	-0,1263	0,1150	0,6780	0,5883	-0,4886	0,4982	0,2171
AUDnet	0,4911	-0,1015	-0,2835	-0,2017	0,2704	0,4164	0,9142	0,4509	0,5761	0,6312	0,1710	0,6700	-0,0194	0,2365	0,2047	0,2197	-0,0697	0,4201	-0,0274	0,4443	0,1350
PCsul	0,5619	-0,3902	-0,2017	0,1012	0,1721	0,7206	0,5885	0,4291	0,3089	0,8340	0,8231	0,6450	-0,1681	0,3712	-0,1341	-0,1138	0,0667	0,4865	-0,0868	0,9298	0,3985
CER9	0,1757	0,3454	0,2704	0,1721	-0,2407	0,2445	0,2345	-0,0320	0,3750	0,5142	0,0057	0,8391	0,3967	0,7556	0,5840	1,0820	-0,0049	0,3745	0,2845	0,4010	0,5709
R_IPsul_PORB	0,4149	0,4617	0,4164	0,7206	0,2445	0,8969	0,9026	-0,1380	0,6263	0,2961	0,3448	0,6803	0,5104	0,6988	0,3583	0,5730	0,3616	0,7860	0,4371	0,7193	0,9397
VLPFcor	0,1546	0,6862	0,9142	0,5885	0,2345	0,9026	0,0330	0,7405	-0,0570	0,4576	0,4553	0,1013	0,6759	0,5869	0,4435	0,6622	0,6210	-0,0634	0,6432	0,4564	-0,3660
AINS_d	0,2184	0,6688	0,4509	0,4291	-0,0320	-0,1380	0,7405	0,5008	0,3808	-0,1770	-0,0491	0,0549	0,7082	0,1839	-0,1723	0,3170	0,2838	0,3746	0,6619	0,5997	-0,0890
DMPFcor_a	0,1480	0,4877	0,5761	0,3089	0,3750	0,6263	-0,0570	0,3808	0,1973	0,6741	0,4144	0,4372	0,6026	0,1876	0,2495	0,3089	0,4806	-0,0399	0,1753	0,1842	-0,2398
MFgyr_a	0,5043	0,8025	0,6312	0,8340	0,5142	0,2961	0,4576	-0,1770	0,6741	0,7600	0,5661	0,3757	0,8373	0,5793	0,3241	0,6503	0,5384	0,7353	0,8093	0,8313	0,3806
R_IFsul	0,1244	0,5433	0,1710	0,8231	0,0057	0,3448	0,4553	-0,0491	0,4144	0,5661	0,3919	0,0551	0,4413	0,6900	0,1852	0,4936	0,4581	0,4573	0,5618	0,3241	0,1692
FP_l	0,5921	0,5808	0,6700	0,6450	0,8391	0,6803	0,1013	0,0549	0,4372	0,3757	0,0551	0,5494	0,5903	1,1113	1,0014	0,9601	0,4473	0,7538	0,5749	0,5210	0,4158
MOTnet_dl	0,4568	-0,0534	-0,0194	-0,1681	0,3967	0,5104	0,6759	0,7082	0,6026	0,8373	0,4413	0,5903	-0,3993	0,1632	-0,1026	0,0520	0,4471	0,6259	-0,1859	0,5206	0,0972
DVIS	1,1370	0,0347	0,2365	0,3712	0,7556	0,6988	0,5869	0,1839	0,1876	0,5793	0,6900	1,1113	0,1632	0,4541	-0,2933	-0,2037	0,0721	0,4275	0,0427	0,6462	0,6007
POsul	0,5572	-0,1263	0,2047	-0,1341	0,5840	0,3583	0,4435	-0,1723	0,2495	0,3241	0,1852	1,0014	-0,1026	-0,2933	-0,0294	-0,2201	-0,2029	0,3579	-0,4272	0,1911	0,2290
LVISnet_p	1,0883	0,1150	0,2197	-0,1138	1,0820	0,5730	0,6622	0,3170	0,3089	0,6503	0,4936	0,9601	0,0520	-0,2037	-0,2201	-0,4222	0,1763	0,4892	-0,2153	0,3995	0,3822
SMOTcor	0,1477	0,6780	-0,0697	0,0667	-0,0049	0,3616	0,6210	0,2838	0,4806	0,5384	0,4581	0,4473	0,4471	0,0721	-0,2029	0,1763	0,2038	0,5805	0,1585	0,5037	0,2338
L_SFgyr_a	0,0246	0,5883	0,4201	0,4865	0,3745	0,7860	-0,0634	0,3746	-0,0399	0,7353	0,4573	0,7538	0,6259	0,4275	0,3579	0,4892	0,5805	0,0536	0,2364	0,0683	0,0758
SPlob	0,4727	-0,4886	-0,0274	-0,0868	0,2845	0,4371	0,6432	0,6619	0,1753	0,8093	0,5618	0,5749	-0,1859	0,0427	-0,4272	-0,2153	0,1585	0,2364	-0,1149	0,6716	0,3622
L_IPsul_MFgyr_p	0,3859	0,4982	0,4443	0,9298	0,4010	0,7193	0,4564	0,5997	0,1842	0,8313	0,3241	0,5210	0,5206	0,6462	0,1911	0,3995	0,5037	0,0683	0,6716	0,4299	0,2063
MTgyr_p	0,4385	0,2171	0,1350	0,3985	0,5709	0,9397	-0,3660	-0,0890	-0,2398	0,3806	0,1692	0,4158	0,0972	0,6007	0,2290	0,3822	0,2338	0,0758	0,3622	0,2063	-0,6951

Table S1.2 Effect of the 16p11.2 duplication on 2080 connections. Each value is the Beta estimate (z-scored) of the duplication control contrast.

	PUT	PINS_v	CERVM	THAL	CER7ab	CER5	ACcor_d	CAUDNH_N	TP	DMPFcor_p	R_CERCR2	CERCR1	L_IFsul	MOTnet_vl	CER7b	FUSgyr_m	CAUDN	PINS_d	PCcor_PRC	L_IPlob	PCcor_d	ITgyr	SMgyr	MTgyr_a
PUT	-0,3797	-0,0808	0,2766	0,0469	-0,0946	-0,0543	-0,1057	-0,1651	0,0340	-0,5259	-0,0820	0,3900	-0,0207	0,0907	-0,0669	0,2390	-0,2995	-0,0887	-0,2725	-0,3456	-0,0857	-0,0488	-0,0356	-0,4401
PINS_v	-0,0808	0,0556	-0,4542	-0,2116	-0,3524	-0,1756	-0,4974	-0,2472	-0,1252	-0,5292	-0,0075	0,0818	-0,4542	-0,2961	-0,5136	-0,4029	-0,0556	-0,4020	-0,0396	-0,1455	0,0475	-0,2545	-0,3321	-0,0588
CERVM	0,2766	-0,4542	-0,0759	-0,2102	-0,4069	-0,7768	-0,5713	-0,4843	-0,4040	-0,6897	-0,2248	-0,2326	-0,4047	-0,1278	-0,4354	-0,1555	0,1304	-0,1650	-0,4275	-0,4551	-0,2789	-0,3203	-0,2600	-0,5101
THAL	0,0469	-0,2116	-0,2102	-0,4356	0,1727	-0,3821	-0,2942	-0,4891	-0,2108	-0,4612	0,1436	0,4052	0,0269	0,0488	0,1411	-0,0188	-0,1148	-0,1199	-0,2804	-0,2943	-0,3448	-0,2867	-0,2382	-0,3077
CER7ab	-0,0946	-0,3524	-0,4069	0,1727	-0,1368	-0,7593	-0,3978	-0,2231	-0,1402	-0,4411	0,4492	0,2161	-0,1527	-0,1079	0,0803	-0,0929	-0,1316	-0,3163	-0,2859	-0,3160	-0,2584	0,0337	-0,5168	-0,2303
CER5	-0,0543	-0,1756	-0,7768	-0,3821	-0,7593	-0,0157	-0,6679	-0,0388	-0,3994	-0,7704	-0,2593	-0,1728	-0,3748	-0,0767	-0,4591	-0,2742	-0,0500	-0,1685	-0,3902	-0,3621	-0,3130	-0,2694	-0,4833	-0,3774
ACcor_d	-0,1057	-0,4974	-0,5713	-0,2942	-0,3978	-0,6679	0,1566	-0,6385	-0,5036	-0,0715	-0,0374	0,0372	-0,1370	-0,2592	-0,2239	-0,5791	0,0105	-0,4776	-0,3786	-0,5430	-0,0230	-0,4979	-0,4144	-0,6483
CAUDNH_NACC	-0,1651	-0,2472	-0,4843	-0,4891	-0,2231	-0,0388	-0,6385	-0,7071	-0,4435	-0,5397	-0,3040	-0,1371	-0,2006	-0,2851	-0,2022	-0,2153	-0,2471	-0,3422	-0,4934	-0,1786	-0,6939	-0,4022	-0,3017	-0,3841
TP	0,0340	-0,1252	-0,4040	-0,2108	-0,1402	-0,3994	-0,5036	-0,4435	0,1963	-0,6081	-0,4248	-0,0222	-0,2006	-0,1693	-0,4277	-0,2616	-0,4335	-0,1388	-0,4241	-0,3377	-0,2950	0,0298	-0,3525	-0,0136
DMPFcor_p	-0,5259	-0,5292	-0,6897	-0,4612	-0,4411	-0,7704	-0,0715	-0,5397	-0,6081	0,3212	-0,1573	0,0264	0,1680	-0,4366	-0,2411	-0,3679	-0,2756	-0,5327	-0,4844	-0,3237	-0,2559	-0,4261	-0,3614	-0,5144
R_CERCR2	-0,0820	-0,0075	-0,2248	0,1436	0,4492	-0,2593	-0,0374	-0,3040	-0,4248	-0,1573	-0,2328	0,2022	0,2409	0,1612	0,1464	0,1725	-0,4075	0,0201	-0,8016	-0,3565	-0,1844	-0,1601	0,1641	-0,5140
CERCR1	0,3900	0,0818	-0,2326	0,4052	0,2161	-0,1728	0,0372	-0,1371	-0,0222	0,0264	0,2022	-0,3099	0,2844	0,2927	0,3310	0,2259	0,1326	0,1184	-0,2002	-0,2301	-0,1123	0,1538	0,1133	-0,0914
L_IFsul	-0,0207	-0,4542	-0,4047	0,0269	-0,1527	-0,3748	-0,1370	-0,2006	-0,2006	0,1680	0,2409	0,2844	-0,4412	-0,2699	-0,0743	-0,0196	0,1088	-0,3943	-0,0233	0,2528	-0,1171	-0,2533	-0,3442	-0,0889
MOTnet_vl	0,0907	-0,2961	-0,1278	0,0488	-0,1079	-0,0767	-0,2592	-0,2851	-0,1693	-0,4366	0,1612	0,2927	-0,2699	-0,2823	-0,0018	-0,1560	0,0210	-0,4216	0,0683	-0,0734	0,1291	-0,1488	-0,3069	-0,3397
CER7b	-0,0669	-0,5136	-0,4354	0,1411	0,0803	-0,4591	-0,2239	-0,2022	-0,4277	-0,2411	0,1464	0,3310	-0,0743	-0,0018	-0,1548	0,1241	-0,1654	-0,2455	-0,4442	-0,4875	-0,3163	-0,3416	-0,2912	-0,3927
FUSgyr_m	0,2390	-0,4029	-0,1555	-0,0188	-0,0929	-0,2742	-0,5791	-0,2153	-0,2616	-0,3679	0,1725	0,2259	-0,0196	-0,1560	0,1241	-0,1061	0,2711	-0,1788	0,0820	0,0187	-0,3117	-0,2916	-0,5187	-0,3439
CAUDN	-0,2995	-0,0556	0,1304	-0,1148	-0,1316	-0,0500	0,0105	-0,2471	-0,4335	-0,2756	-0,4075	0,1326	0,1088	0,0210	-0,1654	0,2711	-0,5205	-0,0544	-0,2799	-0,2577	-0,1985	-0,3413	-0,0078	-0,4837
PINS_d	-0,0887	-0,4020	-0,1650	-0,1199	-0,3163	-0,1685	-0,4776	-0,3422	-0,1388	-0,5327	0,0201	0,1184	-0,3943	-0,4216	-0,2455	-0,1788	-0,0544	-0,4725	0,1118	-0,1072	0,1911	-0,3244	-0,2230	-0,3389
PCcor_PRC	-0,2725	-0,0396	-0,4275	-0,2804	-0,2859	-0,3902	-0,3786	-0,4934	-0,4241	-0,4844	-0,8016	-0,2002	-0,0233	0,0683	-0,4442	0,0820	-0,2799	0,1118	-0,0660	-0,2235	-0,4559	-0,4684	0,0943	-0,4410
L_IPlob	-0,3456	-0,1455	-0,4551	-0,2943	-0,3160	-0,3621	-0,5430	-0,1786	-0,3377	-0,3237	-0,3565	-0,2301	0,2528	-0,0734	-0,4875	0,0187	-0,2577	-0,1072	-0,2235	-0,0258	-0,4220	-0,3744	-0,4193	-0,3908
PCcor_d	-0,0857	0,0475	-0,2789	-0,3448	-0,2584	-0,3130	-0,0230	-0,6939	-0,2950	-0,2559	-0,1844	-0,1123	-0,1171	0,1291	-0,3163	-0,3117	-0,1985	0,1911	-0,4559	-0,4220	-0,2245	-0,3807	0,0896	-0,2835
ITgyr	-0,0488	-0,2545	-0,3203	-0,2867	0,0337	-0,2694	-0,4979	-0,4022	0,0298	-0,4261	-0,1601	0,1538	-0,2533	-0,1488	-0,3416	-0,2916	-0,3413	-0,3244	-0,4684	-0,3744	-0,3807	-0,0042	-0,3901	0,1853
SMgyr	-0,0356	-0,3321	-0,2600	-0,2382	-0,5168	-0,4833	-0,4144	-0,3017	-0,3525	-0,3614	0,1641	0,1133	-0,3442	-0,3069	-0,2912	-0,5187	-0,0078	-0,2230	0,0943	-0,4193	0,0896	-0,3901	-0,1143	-0,3587
MTgyr_a	-0,4401	-0,0588	-0,5101	-0,3077	-0,2303	-0,3774	-0,6483	-0,3841	-0,0136	-0,5144	-0,5140	-0,0914	-0,0889	-0,3397	-0,3927	-0,3439	-0,4837	-0,3389	-0,4410	-0,3908	-0,2835	0,1853	-0,3587	-0,1906
AMY_HIPP	-0,2222	-0,1146	-0,4859	-0,1663	-0,1850	-0,2774	-0,7641	-0,7250	0,4818	-0,5396	-0,1248	0,1041	-0,3014	-0,2214	0,0191	-0,1053	-0,4601	-0,2497	-0,2203	0,2117	-0,3946	0,3502	-0,4156	0,0590
FEF	0,0522	-0,3466	-0,2727	-0,1826	-0,3495	-0,5243	-0,0241	-0,3249	-0,3173	-0,2603	-0,0616	-0,0216	-0,5395	-0,4155	-0,1502	-0,3812	0,0086	-0,4361	-0,2812	-0,5929	0,0143	-0,3191	-0,5901	-0,4205
VISnet_md	0,3756	-0,3045	0,0131	-0,0344	-0,3249	-0,4114	-0,3026	-0,0595	-0,1595	-0,3727	0,1634	0,2804	-0,3351	-0,2294	0,0032	-0,4845	0,3544	-0,2084	-0,0021	-0,2719	-0,3053	-0,0819	-0,2014	-0,2399
OCCTgyr_l	-0,1590	-0,4445	-0,8186	-0,2853	-0,1852	-0,5063	-0,5828	-0,5295	-0,3762	-0,2319	-0,0273	-0,0665	0,0960	-0,2064	-0,2783	-0,2886	-0,0473	-0,4661	-0,5172	-0,2562	-0,6321	-0,4163	-0,4444	-0,2951
CER6	-0,1814	-0,1068	-0,6784	-0,1927	-0,4061	-0,6688	-0,3830	-0,3357	-0,2388	-0,4914	0,2498	0,0464	-0,1552	0,1435	-0,0359	-0,1466	-0,2396	-0,0104	-0,3200	-0,2959	-0,1802	0,0165	-0,1613	-0,1859
PVISnet_m	0,0232	-0,2887	-0,3125	-0,0998	0,1815	-0,3623	-0,0263	0,0593	-0,3327	-0,1586	0,3014	0,2890	-0,1616	-0,3305	0,3220	-0,3138	0,2073	-0,4219	-0,2127	-0,5340	-0,1281	-0,3413	-0,3566	-0,3909
R_IPlob	-0,2180	-0,0836	-0,5566	-0,6019	-0,5935	-0,4375	-0,3384	-0,2282	-0,1397	0,0880	-0,3863	-0,2889	0,4029	-0,0038	-0,5164	-0,1265	-0,0616	-0,0083	0,1448	0,1305	-0,3691	-0,2021	-0,1960	-0,0407
IMsul	0,0651	-0,2278	-0,3721	-0,3289	-0,3330	-0,3794	-0,3218	-0,3180	-0,4456	-0,4365	-0,1498	0,0375	-0,4065	-0,3903	-0,2833	-0,5733	0,0962	-0,2180	-0,3966	-0,6733	-0,2896	-0,4865	-0,1629	-0,5751
MVISnet_p	0,2695	-0,3431	-0,1625	-0,1626	-0,1709	-0,4431	-0,1269	-0,0254	-0,1331	-0,3942	0,2161	0,3113	-0,2180	-0,2415	0,1014	-0,3872	0,3480	-0,3024	-0,1019	-0,2998	-0,2652	-0,0222	-0,1095	-0,3555
PGACcor	-0,3754	-0,3360	-0,3228	-0,4472	-0,5535	-0,3260	-0,2503	-0,5778	-0,4828	-0,2632	-0,5178	-0,2646	0,2545	-0,0313	-0,6057	-0,0975	-0,2454	-0,1808	-0,2511	-0,2218	-0,3166	-0,5334	-0,2868	-0,3920
MVISnet_a	0,3077	-0,5588	0,0256	-0,2193	-0,3225	-0,5555	-0,2653	-0,2070	-0,1840	-0,3476	0,0767	0,1195	-0,3786	-0,4136	0,0312	-0,5209	0,2951	-0,3043	-0,2285	-0,3854	-0,3783	-0,2237	-0,3655	-0,5050
AINS_v_PIsul	-0,0077	0,3477	-0,5640	-0,3435	-0,3054	-0,3557	-0,1096	-0,3777	0,0261	-0,4877	-0,4217	-0,1535	-0,3176	-0,3471	-0,3509	-0,4762	-0,3630	-0,1698	-0,6063	-0,7662	0,0206	-0,0172	-0,1113	-0,7591
PRC_d	0,3078	-0,0866	-0,3388	-0,2746	-0,6220	-0,5865	-0,2412	-0,1738	-0,3360	-0,5052	-0,4311	-0,4172	-0,4119	-0,0829	-0,4855	-0,1555	0,0464	0,0646	-0,4020	-0,6679	-0,4956	-0,4613	-0,0053	-0,4663
LVISnet_a	0,3264	-0,3878	-0,2150	0,0049	-0,2286	-0,4629	-0,1899	-0,0312	-0,2239	-0,3264	0,3323	0,5115	-0,1735	-0,2148	0,2725	-0,3762	0,3200	-0,2843	0,1190	-0,1264	-0,0794	-0,2109	-0,3339	-0,3510
R_MFgyr_p	-0,2788	-0,2931	-0,5524	-0,3011	-0,3856	-0,5339	0,2148	-0,5473	-0,4037	0,1925	-0,4403	-0,2029	0,1644	-0,0514	-0,3166	-0,2078	-0,0831	-0,2564	-0,3877	-0,5672	-0,3553	-0,4072	-0,1612	-0,4137
FUSgyr_l	-0,1115	-0,3067	-0,8397	-0,2605	-0,3350	-0,6382	-0,4338	-0,2794	-0,3711	-0,4126	0,0597	-0,1261	-0,2225	-0,2520	-0,2144	-0,6272	-0,0902	-0,3261	-0,3669	-0,4066	-0,1548	-0,4425	-0,1341	-0,4316
ORBcor	0,3219	0,2690	-0,0409	-0,2043	-0,1344	0,1291	-0,0545	0,0382	-0,3342	-0,1911	-0,5061	-0,2276	-0,1851	-0,1717	-0,2619	0,1225	0,0047	-0,0590	-0,1749	-0,2228	-0,1444	-0,1557	-0,2600	-0,1151
VMPFcor	-0,1989	-0,0713	-0,2009	-0,3036	-0,2401	-0,0548	-0,6134	-0,3832	-0,1437	-0,4787	-0,6708	-0,3071	0,1513	-0,2806	-0,4939	0,1903	-0,1527	-0,1428	-0,2600	0,0375	-0,4462	-0,3822	-0,2402	-0,2495
PVISnet_l	0,3393	-0,3512	-0,3118	0,0238	-0,0616	-0,4194	0,0328	-0,0360	-0,1619	-0,1736	0,2831	0,3634	-0,1676	-0,2546	0,1880	-0,3916	0,3801	-0,3380	-0,0049	-0,2687	-0,0924	-0,1489	-0,3031	-0,2560
L_CERCR2	0,0792	-0,0549	-0,3976	0,1409	0,3545	-0,3310	-0,1135	-0,1684	-0,4050	-0,0985	0,2194	0,1094	0,4044	0,3437	0,3811	0,1476	-0,2451	0,1862	-0,6651	-0,3419	-0,2442	-0,1687	0,0797	-0,3294
MOTnet_m	-0,1201	-0,4242	0,0418	-0,1438	-0,0795	0,0500	-0,1608	-0,3208	-0,2655	-0,2039	-0,0286	0,2487	-0,3853	-0,6620	-0,0896	-0,2569	0,0743	-0,6443	-0,2717	-0,4897	0,0012	-0,3104	-0,4400	-0,5248
AUDnet	-0,2105	-0,3001	-0,3487	-0,1683	-0,4079	-0,7012	-0,5511	-0,1930	-0,2390	-0,6172	-0,1781	0,0723	-0,3841	-0,4066	-0,3987	-0,1992	-0,1455	-0,3494	0,0605	-0,3211	-0,0140	-0,3434	-0,4600	-0,3186
PCsul	-0,0335	-0,3473	-0,5754	-0,1584	-0,3552	-0,4901	-0,0834	-0,3509	-0,3402	-0,2314	-0,1060	0,0032	-0,4833	-0,5384	-0,2676	-0,7959	0,0861	-0,5484	-0,2492	-0,5215	0,2198	-0,4217	-0,2754	-0,4462
CER9	-0,3983	-0,3561	-0,6449	-0,2319	-0,2294	-0,3927	-0,4789	0,0746	-0,1185	-0,5592	-0,0579	0,1886	-0,5032	-0,2590	-0,2877	-0,1913	-0,0881	-0,2809	-0,4618	-0,4983	-0,4529	0,0848	-0,4986	-0,2048
R_IPsul_PORB	0,0278	-0,3560	-0,4625	-0,3993	-0,5826	-0,4416	0,1050	-0,1670	-0,3496	0,1752	-0,0176	-0,1174	-0,0435	-0,1140	-0,4506	-0,2735	0,0277	-0,2597	-0,2040	-0,2523	-0,1052	-0,3865	-0,1871	-0,2642
VLPFcor	0,1624	0,1609	-0,2647	-0,0400	-0,1676	-0,0401	0,1437	0,1304	-0,2695	-0,0167	-0,3191	-0,0974	0,0481	-0,1549	-0,3745	-0,0185	-0,0419	0,0811	-0,2041	-0,3390	0,0528	-0,2796	0,0534	-0,2377
AINS_d	0,0194	-0,1513	-0,2077	-0,1966	-0,3194	-0,1791	0,0551	-0,0701	-0,1348	-0,4479	0,1093	0,1373	-0,2369	-0,2555	-0,1901	-0,2822	-0,0336	-0,0146	-0,1187	-0,2969	0,1484	-0,2688	-0,1726	-0,3388
DMPFcor_a	-0,2379	-0,1809	-0,3587	-0,2337	-0,3383	-0,2914	-0,1969	-0,5390	-0,3135	-0,2185	-0,5944	-0,1446	0,2125	-0,1263	-0,4010	-0,1302	-0,1237	-0,2054	-0,6583	-0,4355	-0,4815	-0,3279	-0,1431	-0,4906
MFgyr_a	-0,4160	-0,4069	-0,4576	-0,3171	-0,5340	-0,6249	-0,0076	-0,3252	-0,7119	-0,1399	-0,4300	-0,2714	0,0199	-0,3239	-0,4249	-0,4939	-0,1440	-0,4135	-0,2341	-0,3762	-0,0237	-0,4051	-0,3705	-0,5187
R_IFsul	-0,2295	-0,7669	-0,7212	-0,3577	-0,3786	-0,5577	-0,1351	-0,1092	-0,3071	0,0986	0,3031	0,2852	0,0001	-0,3268	0,1094	-0,5000	-0,0302	-0,5467	-0,1623	-0,1110	-0,1895	-0,3108	-0,6200	-0,1970
FP_l	0,1415	-0,0014	-0,1896	-0,1896	-0,2802	-0,3333	0,1552	0,0983	-0,2059	0,1635	-0,5310	-0,1337	0,3100	-0,0518	-0,3789	-0,0524	0,0835	-0,1643	-0,3937	-0,2437	-0,2310	-0,0804	-0,0772	-0,2793
MOTnet_dl	-0,2466	-0,6028	-0,2228	-0,2483	-0,0573	-0,1520	-0,2825	-0,3479	-0,1989	-0,3554	0,0296	0,2212	-0,4425	-0,6269	0,0158	-0,5154	-0,1299	-0,7962	-0,3819	-0,5352	-0,0283	-0,2675	-0,6044	-0,4478
DVIS	0,3936	-0,3154	-0,3850	-0,1000	-0,6009	-0,4436	-0,5723	-0,0258	-0,0991	-0,3774	-0,0769	-0,0328	-0,3874	-0,2238	-0,3501	0,0270	0,3413	-0,2102	0,0174	-0,2861	-0,5403	-0,2259	-0,5254	-0,1304
POsul	0,2060	-0,1702	-0,0410	-0,0758	-0,4176	-0,5811	-0,4468	-0,4260	-0,1013	-0,3086	-0,3751	0,0132	-0,0639	-0,0636	-0,0941	-0,0009	0,0137	0,0155	-0,0989	0,0107	-0,4719	-0,2010	-0,1078	-0,1957
LVISnet_p	0,2654	-0,2819	-0,3767	0,0626	-0,0934	-0,4142	-0,2732	-0,0058	-0,2136	-0,3442	0,2819	0,3171	-0,1996	-0,1936	0,1467	-0,2882	0,2260	-0,3057	-0,0223	-0,3481	-0,1903	-0,1825	-0,3371	-0,2167
SMOTcor	-0,0849	-0,4938	-0,2392	-0,0533	-0,2541	-0,4747	-0,0802	-0,5161	-0,3464	-0,1611	0,1679	0,1660	-0,0752	-0,4618	-0,1739	-0,3804	0,0504	-0,6077	-0,2218	-0,3796	0,1751	-0,3251	-0,4444	-0,5679
L_SFgyr_a	-0,4060	-0,3538	-0,6751	-0,2260	-0,1407	-0,5126	0,0325	-0,6655	-0,4574	-0,0796	-0,5339	-0,2353	0,1897	-0,2012	-0,3298	-0,2816	-0,2558	-0,4237	-0,6482	-0,6965	-0,3111	-0,4670	-0,2021	-0,6322
SPlob	0,0130	-0,4408	-0,3246	-0,0947	-0,4152	-0,3534	-0,3269	-0,2682	-0,3394	-0,2140	-0,0278	0,0168	-0,2873	-0,7339	-0,2935	-0,4698	0,2506	-0,6620	-0,1778	-0,4538	-0,0552	-0,3906	-0,3956	-0,6153
L_IPsul_MFgyr_p	-0,1632	-0,4027	-0,7916	-0,2628	-0,5884	-0,6269	-0,2889	-0,3942	-0,2349	-0,1538	-0,2491	-0,3021	0,0840	-0,2953	-0,5249	-0,3577	-0,1860	-0,4343	-0,1978	-0,0964	-0,3345	-0,3923	-0,4640	-0,3219
MTgyr_p	-0,3213	-0,3313	-0,5324	-0,2855	-0,2948	-0,5207	-0,6773	-0,3494	-0,4413	-0,4757	-0,1657	-0,0205	0,0901	-0,2357	-0,2635	-0,2579	-0,3748	-0,3364	-0,1803	-0,2225	-0,3569	-0,4775	-0,4406	-0,3169

	AMY_HIPP	FEF	VISnet_md	OCCTgyr_l	CER6	PVISnet_m	R_IPlob	IMsul	MVISnet_p	PGACcor	MVISnet_a	AINS_v_PIsu	PRC_d	LVISnet_a	R_MFgyr_p	FUSgyr_l	ORBcor	VMPFcor	PVISnet_l	L_CERCR2	MOTnet_m	AUDnet	PCsul
PUT	-0,2222	0,0522	0,3756	-0,1590	-0,1814	0,0232	-0,2180	0,0651	0,2695	-0,3754	0,3077	-0,0077	0,3078	0,3264	-0,2788	-0,1115	0,3219	-0,1989	0,3393	0,0792	-0,1201	-0,2105	-0,0335
PINS_v	-0,1146	-0,3466	-0,3045	-0,4445	-0,1068	-0,2887	-0,0836	-0,2278	-0,3431	-0,3360	-0,5588	0,3477	-0,0866	-0,3878	-0,2931	-0,3067	0,2690	-0,0713	-0,3512	-0,0549	-0,4242	-0,3001	-0,3473
CERVM	-0,4859	-0,2727	0,0131	-0,8186	-0,6784	-0,3125	-0,5566	-0,3721	-0,1625	-0,3228	0,0256	-0,5640	-0,3388	-0,2150	-0,5524	-0,8397	-0,0409	-0,2009	-0,3118	-0,3976	0,0418	-0,3487	-0,5754
THAL	-0,1663	-0,1826	-0,0344	-0,2853	-0,1927	-0,0998	-0,6019	-0,3289	-0,1626	-0,4472	-0,2193	-0,3435	-0,2746	0,0049	-0,3011	-0,2605	-0,2043	-0,3036	0,0238	0,1409	-0,1438	-0,1683	-0,1584
CER7ab	-0,1850	-0,3495	-0,3249	-0,1852	-0,4061	0,1815	-0,5935	-0,3330	-0,1709	-0,5535	-0,3225	-0,3054	-0,6220	-0,2286	-0,3856	-0,3350	-0,1344	-0,2401	-0,0616	0,3545	-0,0795	-0,4079	-0,3552
CER5	-0,2774	-0,5243	-0,4114	-0,5063	-0,6688	-0,3623	-0,4375	-0,3794	-0,4431	-0,3260	-0,5555	-0,3557	-0,5865	-0,4629	-0,5339	-0,6382	0,1291	-0,0548	-0,4194	-0,3310	0,0500	-0,7012	-0,4901
ACcor_d	-0,7641	-0,0241	-0,3026	-0,5828	-0,3830	-0,0263	-0,3384	-0,3218	-0,1269	-0,2503	-0,2653	-0,1096	-0,2412	-0,1899	0,2148	-0,4338	-0,0545	-0,6134	0,0328	-0,1135	-0,1608	-0,5511	-0,0834
CAUDNH_NACC	-0,7250	-0,3249	-0,0595	-0,5295	-0,3357	0,0593	-0,2282	-0,3180	-0,0254	-0,5778	-0,2070	-0,3777	-0,1738	-0,0312	-0,5473	-0,2794	0,0382	-0,3832	-0,0360	-0,1684	-0,3208	-0,1930	-0,3509
TP	0,4818	-0,3173	-0,1595	-0,3762	-0,2388	-0,3327	-0,1397	-0,4456	-0,1331	-0,4828	-0,1840	0,0261	-0,3360	-0,2239	-0,4037	-0,3711	-0,3342	-0,1437	-0,1619	-0,4050	-0,2655	-0,2390	-0,3402
DMPFcor_p	-0,5396	-0,2603	-0,3727	-0,2319	-0,4914	-0,1586	0,0880	-0,4365	-0,3942	-0,2632	-0,3476	-0,4877	-0,5052	-0,3264	0,1925	-0,4126	-0,1911	-0,4787	-0,1736	-0,0985	-0,2039	-0,6172	-0,2314
R_CERCR2	-0,1248	-0,0616	0,1634	-0,0273	0,2498	0,3014	-0,3863	-0,1498	0,2161	-0,5178	0,0767	-0,4217	-0,4311	0,3323	-0,4403	0,0597	-0,5061	-0,6708	0,2831	0,2194	-0,0286	-0,1781	-0,1060
CERCR1	0,1041	-0,0216	0,2804	-0,0665	0,0464	0,2890	-0,2889	0,0375	0,3113	-0,2646	0,1195	-0,1535	-0,4172	0,5115	-0,2029	-0,1261	-0,2276	-0,3071	0,3634	0,1094	0,2487	0,0723	0,0032
L_IFsul	-0,3014	-0,5395	-0,3351	0,0960	-0,1552	-0,1616	0,4029	-0,4065	-0,2180	0,2545	-0,3786	-0,3176	-0,4119	-0,1735	0,1644	-0,2225	-0,1851	0,1513	-0,1676	0,4044	-0,3853	-0,3841	-0,4833
MOTnet_vl	-0,2214	-0,4155	-0,2294	-0,2064	0,1435	-0,3305	-0,0038	-0,3903	-0,2415	-0,0313	-0,4136	-0,3471	-0,0829	-0,2148	-0,0514	-0,2520	-0,1717	-0,2806	-0,2546	0,3437	-0,6620	-0,4066	-0,5384
CER7b	0,0191	-0,1502	0,0032	-0,2783	-0,0359	0,3220	-0,5164	-0,2833	0,1014	-0,6057	0,0312	-0,3509	-0,4855	0,2725	-0,3166	-0,2144	-0,2619	-0,4939	0,1880	0,3811	-0,0896	-0,3987	-0,2676
FUSgyr_m	-0,1053	-0,3812	-0,4845	-0,2886	-0,1466	-0,3138	-0,1265	-0,5733	-0,3872	-0,0975	-0,5209	-0,4762	-0,1555	-0,3762	-0,2078	-0,6272	0,1225	0,1903	-0,3916	0,1476	-0,2569	-0,1992	-0,7959
CAUDN	-0,4601	0,0086	0,3544	-0,0473	-0,2396	0,2073	-0,0616	0,0962	0,3480	-0,2454	0,2951	-0,3630	0,0464	0,3200	-0,0831	-0,0902	0,0047	-0,1527	0,3801	-0,2451	0,0743	-0,1455	0,0861
PINS_d	-0,2497	-0,4361	-0,2084	-0,4661	-0,0104	-0,4219	-0,0083	-0,2180	-0,3024	-0,1808	-0,3043	-0,1698	0,0646	-0,2843	-0,2564	-0,3261	-0,0590	-0,1428	-0,3380	0,1862	-0,6443	-0,3494	-0,5484
PCcor_PRC	-0,2203	-0,2812	-0,0021	-0,5172	-0,3200	-0,2127	0,1448	-0,3966	-0,1019	-0,2511	-0,2285	-0,6063	-0,4020	0,1190	-0,3877	-0,3669	-0,1749	-0,2600	-0,0049	-0,6651	-0,2717	0,0605	-0,2492
L_IPlob	0,2117	-0,5929	-0,2719	-0,2562	-0,2959	-0,5340	0,1305	-0,6733	-0,2998	-0,2218	-0,3854	-0,7662	-0,6679	-0,1264	-0,5672	-0,4066	-0,2228	0,0375	-0,2687	-0,3419	-0,4897	-0,3211	-0,5215
PCcor_d	-0,3946	0,0143	-0,3053	-0,6321	-0,1802	-0,1281	-0,3691	-0,2896	-0,2652	-0,3166	-0,3783	0,0206	-0,4956	-0,0794	-0,3553	-0,1548	-0,1444	-0,4462	-0,0924	-0,2442	0,0012	-0,0140	0,2198
ITgyr	0,3502	-0,3191	-0,0819	-0,4163	0,0165	-0,3413	-0,2021	-0,4865	-0,0222	-0,5334	-0,2237	-0,0172	-0,4613	-0,2109	-0,4072	-0,4425	-0,1557	-0,3822	-0,1489	-0,1687	-0,3104	-0,3434	-0,4217
SMgyr	-0,4156	-0,5901	-0,2014	-0,4444	-0,1613	-0,3566	-0,1960	-0,1629	-0,1095	-0,2868	-0,3655	-0,1113	-0,0053	-0,3339	-0,1612	-0,1341	-0,2600	-0,2402	-0,3031	0,0797	-0,4400	-0,4600	-0,2754
MTgyr_a	0,0590	-0,4205	-0,2399	-0,2951	-0,1859	-0,3909	-0,0407	-0,5751	-0,3555	-0,3920	-0,5050	-0,7591	-0,4663	-0,3510	-0,4137	-0,4316	-0,1151	-0,2495	-0,2560	-0,3294	-0,5248	-0,3186	-0,4462
AMY_HIPP	-0,4782	-0,4119	-0,3249	-0,0238	-0,3020	-0,2499	0,1372	-0,5853	-0,5136	-0,3671	-0,7129	-0,1695	-0,2951	-0,2906	-0,2690	-0,5001	0,0995	0,0104	-0,3971	0,1475	-0,3866	-0,2213	-0,7148
FEF	-0,4119	-0,4452	-0,1165	-0,4902	-0,2860	-0,0716	-0,4979	-0,3050	-0,1255	0,0139	-0,2355	-0,1398	-0,5130	-0,3766	-0,0374	-0,4739	-0,2505	-0,2959	-0,1840	0,0481	-0,0097	-0,5764	-0,4679
VISnet_md	-0,3249	-0,1165	0,1842	-0,5535	0,0259	-0,3750	-0,4634	0,0046	0,2419	-0,2032	0,1729	-0,2031	0,1423	0,0171	-0,1698	-0,8750	0,2748	0,0437	-0,0780	-0,0369	0,0231	-0,2019	-0,3840
OCCTgyr_l	-0,0238	-0,4902	-0,5535	-0,4637	-0,3147	-0,2704	-0,1843	-0,6783	-0,3447	-0,5113	-0,7158	-0,4099	-0,7154	-0,4943	-0,2572	-0,5778	-0,2907	-0,1467	-0,4267	0,0291	-0,4874	-0,6302	-0,5069
CER6	-0,3020	-0,2860	0,0259	-0,3147	-0,2985	0,0994	-0,4972	-0,1894	0,0539	-0,4302	-0,3375	-0,2391	-0,6714	0,0855	-0,3445	-0,3301	-0,1647	-0,3621	0,1366	0,0468	0,0757	-0,3099	-0,3326
PVISnet_m	-0,2499	-0,0716	-0,3750	-0,2704	0,0994	-0,3023	-0,5044	-0,4301	0,0335	-0,0866	-0,4054	-0,2441	-0,1875	-0,1189	-0,1954	-0,4783	0,1072	0,0679	0,0857	0,2274	-0,3473	-0,2776	-0,4975
R_IPlob	0,1372	-0,4979	-0,4634	-0,1843	-0,4972	-0,5044	-0,2571	-0,6672	-0,6191	-0,2804	-0,6965	-0,4096	-0,8478	-0,2564	-0,6087	-0,3728	0,2212	0,2053	-0,4253	-0,5648	-0,2246	-0,1715	-0,2237
IMsul	-0,5853	-0,3050	0,0046	-0,6783	-0,1894	-0,4301	-0,6672	-0,0776	-0,0916	-0,5060	-0,1674	-0,2062	0,1146	-0,3173	-0,2922	-0,5153	-0,0944	-0,4640	-0,2299	-0,1901	-0,2590	-0,2420	-0,2302
MVISnet_p	-0,5136	-0,1255	0,2419	-0,3447	0,0539	0,0335	-0,6191	-0,0916	0,1665	-0,1912	-0,4303	-0,2594	0,0847	0,3055	-0,3446	-0,6163	0,3996	0,0201	0,3184	0,0971	-0,0564	-0,1806	-0,1990
PGACcor	-0,3671	0,0139	-0,2032	-0,5113	-0,4302	-0,0866	-0,2804	-0,5060	-0,1912	-0,3646	-0,1796	-0,5477	-0,3948	-0,0599	-0,1004	-0,4459	-0,0189	-0,3575	-0,0060	-0,7432	0,0824	-0,2091	-0,0983
MVISnet_a	-0,7129	-0,2355	0,1729	-0,7158	-0,3375	-0,4054	-0,6965	-0,1674	-0,4303	-0,1796	0,0879	-0,5332	-0,0722	-0,0096	-0,2945	-0,9674	0,2058	-0,1482	-0,3409	0,0016	-0,1074	-0,3229	-0,5271
AINS_v_PIsul	-0,1695	-0,1398	-0,2031	-0,4099	-0,2391	-0,2441	-0,4096	-0,2062	-0,2594	-0,5477	-0,5332	0,0751	-0,0368	-0,2968	-0,4048	-0,3676	0,1097	-0,5038	-0,1953	-0,4272	-0,5015	-0,0943	-0,2393
PRC_d	-0,2951	-0,5130	0,1423	-0,7154	-0,6714	-0,1875	-0,8478	0,1146	0,0847	-0,3948	-0,0722	-0,0368	-0,0098	-0,0177	-0,5917	-0,6862	-0,0630	-0,1907	-0,0656	-0,8300	-0,0310	-0,0995	-0,1263
LVISnet_a	-0,2906	-0,3766	0,0171	-0,4943	0,0855	-0,1189	-0,2564	-0,3173	0,3055	-0,0599	-0,0096	-0,2968	-0,0177	-0,1969	-0,2096	-0,8804	0,1717	-0,0745	0,0030	0,3776	-0,2545	-0,2864	-0,6169
R_MFgyr_p	-0,2690	-0,0374	-0,1698	-0,2572	-0,3445	-0,1954	-0,6087	-0,2922	-0,3446	-0,1004	-0,2945	-0,4048	-0,5917	-0,2096	-0,2650	-0,4580	-0,1670	-0,3748	-0,1330	-0,5053	0,1110	-0,4002	-0,0087
FUSgyr_l	-0,5001	-0,4739	-0,8750	-0,5778	-0,3301	-0,4783	-0,3728	-0,5153	-0,6163	-0,4459	-0,9674	-0,3676	-0,6862	-0,8804	-0,4580	-0,4109	-0,3286	-0,2737	-0,7721	0,0858	-0,4847	-0,4520	-0,5312
ORBcor	0,0995	-0,2505	0,2748	-0,2907	-0,1647	0,1072	0,2212	-0,0944	0,3996	-0,0189	0,2058	0,1097	-0,0630	0,1717	-0,1670	-0,3286	-0,2977	0,1106	0,1852	-0,2578	-0,1513	-0,0491	-0,2702
VMPFcor	0,0104	-0,2959	0,0437	-0,1467	-0,3621	0,0679	0,2053	-0,4640	0,0201	-0,3575	-0,1482	-0,5038	-0,1907	-0,0745	-0,3748	-0,2737	0,1106	-0,1892	0,0817	-0,6238	-0,3235	-0,0696	-0,2855
PVISnet_l	-0,3971	-0,1840	-0,0780	-0,4267	0,1366	0,0857	-0,4253	-0,2299	0,3184	-0,0060	-0,3409	-0,1953	-0,0656	0,0030	-0,1330	-0,7721	0,1852	0,0817	0,0681	0,1568	-0,1884	-0,2173	-0,4095
L_CERCR2	0,1475	0,0481	-0,0369	0,0291	0,0468	0,2274	-0,5648	-0,1901	0,0971	-0,7432	0,0016	-0,4272	-0,8300	0,3776	-0,5053	0,0858	-0,2578	-0,6238	0,1568	-0,1371	0,2332	0,0184	0,0345
MOTnet_m	-0,3866	-0,0097	0,0231	-0,4874	0,0757	-0,3473	-0,2246	-0,2590	-0,0564	0,0824	-0,1074	-0,5015	-0,0310	-0,2545	0,1110	-0,4847	-0,1513	-0,3235	-0,1884	0,2332	-0,5875	-0,5923	-0,6641
AUDnet	-0,2213	-0,5764	-0,2019	-0,6302	-0,3099	-0,2776	-0,1715	-0,2420	-0,1806	-0,2091	-0,3229	-0,0943	-0,0995	-0,2864	-0,4002	-0,4520	-0,0491	-0,0696	-0,2173	0,0184	-0,5923	-0,0854	-0,6761
PCsul	-0,7148	-0,4679	-0,3840	-0,5069	-0,3326	-0,4975	-0,2237	-0,2302	-0,1990	-0,0983	-0,5271	-0,2393	-0,1263	-0,6169	-0,0087	-0,5312	-0,2702	-0,2855	-0,4095	0,0345	-0,6641	-0,6761	-0,5989
CER9	-0,1947	-0,1958	-0,0482	-0,1461	-0,2037	0,1836	-0,7825	-0,3258	0,0102	-0,5021	-0,3115	-0,5302	-0,5980	0,0244	-0,4978	-0,2593	0,1529	-0,1068	0,1386	-0,0961	0,2366	-0,4020	-0,4055
R_IPsul_PORB	-0,3018	-0,3954	-0,5493	-0,2814	-0,4226	-0,2177	-0,1249	-0,2822	-0,4812	-0,2268	-0,6001	-0,0862	-0,6241	-0,3256	-0,1263	-0,3935	-0,1479	-0,1785	-0,3435	-0,2434	-0,0912	-0,5100	-0,0793
VLPFcor	-0,0319	-0,1136	0,1026	-0,3860	-0,1334	-0,3466	0,2275	-0,0675	0,0940	-0,0005	0,1468	-0,2611	-0,0914	-0,0315	0,0377	-0,3737	-0,0684	-0,1256	-0,0471	-0,1443	-0,1842	0,0275	-0,1862
AINS_d	-0,2310	-0,1804	-0,3083	-0,2818	-0,1588	-0,2737	-0,1701	-0,0872	-0,2450	-0,2888	-0,2373	0,0867	0,0311	-0,3297	-0,1285	-0,1928	0,0995	-0,2220	-0,2383	0,1069	-0,2754	-0,3389	-0,2038
DMPFcor_a	-0,1862	-0,1188	-0,0464	-0,3290	-0,2317	-0,0786	-0,1328	-0,4682	-0,0826	-0,3015	-0,2392	-0,5998	-0,3673	-0,0265	-0,2340	-0,3899	-0,2376	-0,4389	0,1444	-0,6539	-0,0567	-0,2206	-0,1615
MFgyr_a	-0,4321	-0,0405	-0,1778	-0,3012	-0,4784	-0,1137	-0,0676	-0,2660	0,0497	-0,3966	-0,2052	-0,4138	-0,0680	-0,1384	0,3061	-0,3822	-0,2336	-0,3932	0,1823	-0,5530	0,0103	-0,4073	-0,0323
R_IFsul	-0,3184	-0,4859	-0,7919	-0,1421	-0,3476	-0,2229	-0,0467	-0,5251	-0,4659	0,0228	-0,7585	-0,4194	-0,8137	-0,5361	0,1344	-0,5493	-0,1197	0,0620	-0,3282	0,2876	-0,3844	-0,6531	-0,5280
FP_l	0,0873	0,0028	0,0674	0,0141	-0,3739	-0,0171	0,2478	-0,0532	0,1159	-0,5939	0,0268	-0,1244	-0,2088	-0,0394	-0,1150	-0,2348	-0,0124	-0,1939	0,1127	-0,5766	0,2012	-0,1639	0,0490
MOTnet_dl	-0,5645	-0,1961	-0,2110	-0,4426	0,0288	-0,3740	-0,4125	-0,5436	-0,1587	-0,0743	-0,4344	-0,5160	-0,2916	-0,4691	-0,0098	-0,5784	-0,1947	-0,3565	-0,2465	0,2636	-0,6921	-0,6681	-0,6960
DVIS	-0,0133	-0,6034	-0,5706	-0,3549	-0,6080	-0,1967	-0,3594	-0,4595	-0,3100	-0,0994	-0,5487	-0,1351	-0,3130	-0,3441	-0,2919	-0,9814	0,0322	0,3671	-0,3481	-0,2245	-0,1744	-0,3243	-0,6483
POsul	-0,4465	-0,1954	0,1376	-0,4670	-0,4139	-0,4093	-0,1591	-0,1433	-0,0507	-0,3243	-0,0752	-0,5057	-0,1145	0,1747	-0,1599	-0,6803	0,0963	-0,1250	-0,1428	-0,2378	0,0568	0,0498	-0,3493
LVISnet_p	-0,1619	-0,1641	-0,6954	-0,3728	-0,0011	-0,0993	-0,3619	-0,3897	-0,1268	-0,0445	-0,4466	-0,2413	-0,0953	-0,6227	-0,0908	-0,5926	0,1523	0,1204	-0,3522	0,2639	-0,2516	-0,2987	-0,5545
SMOTcor	-0,5034	-0,0337	0,0652	-0,4347	-0,0923	-0,0316	-0,0871	-0,2726	0,0932	-0,0207	-0,1767	-0,3518	-0,1103	-0,1766	0,2249	-0,3045	-0,1710	-0,4308	0,0373	0,2747	-0,2326	-0,5930	-0,4341
L_SFgyr_a	-0,4130	-0,0277	-0,0904	-0,4655	-0,2428	-0,1786	-0,2410	-0,3940	-0,1766	-0,2230	-0,2165	-0,7560	-0,5263	-0,1646	0,0703	-0,4833	-0,3209	-0,5441	-0,0081	-0,3285	-0,1591	-0,4034	-0,1675
SPlob	-0,5130	-0,4701	-0,0050	-0,4904	-0,3362	-0,3358	-0,2905	-0,1846	-0,0297	-0,0322	-0,2718	-0,3820	0,2263	-0,4556	-0,0491	-0,5668	-0,1640	-0,2116	-0,2541	-0,1344	-0,6714	-0,6726	-0,6436
L_IPsul_MFgyr_p	-0,2818	-0,5799	-0,4215	-0,2398	-0,5641	-0,3876	0,1745	-0,5804	-0,4051	-0,0269	-0,6266	-0,4716	-0,7545	-0,4227	-0,0343	-0,4921	-0,3092	0,0568	-0,4155	-0,1215	-0,3819	-0,5465	-0,5948
MTgyr_p	-0,1695	-0,5996	-0,4553	-0,5728	-0,3111	-0,4335	-0,0777	-0,5944	-0,3398	-0,4399	-0,5133	-0,9854	-0,7024	-0,3921	-0,4785	-0,5243	-0,3820	-0,2004	-0,3548	-0,0700	-0,4004	-0,3277	-0,6162

	CER9	R_IPsul_POR	VLPFcor	AINS_d	DMPFcor_a	MFgyr_a	R_IFsul	FP_l	MOTnet_dl	DVIS	POsul	LVISnet_p	SMOTcor	L_SFgyr_a	SPlob	L_IPsul_MFg	MTgyr_p
PUT	-0,3983	0,0278	0,1624	0,0194	-0,2379	-0,4160	-0,2295	0,1415	-0,2466	0,3936	0,2060	0,2654	-0,0849	-0,4060	0,0130	-0,1632	-0,3213
PINS_v	-0,3561	-0,3560	0,1609	-0,1513	-0,1809	-0,4069	-0,7669	-0,0014	-0,6028	-0,3154	-0,1702	-0,2819	-0,4938	-0,3538	-0,4408	-0,4027	-0,3313
CERVM	-0,6449	-0,4625	-0,2647	-0,2077	-0,3587	-0,4576	-0,7212	-0,1896	-0,2228	-0,3850	-0,0410	-0,3767	-0,2392	-0,6751	-0,3246	-0,7916	-0,5324
THAL	-0,2319	-0,3993	-0,0400	-0,1966	-0,2337	-0,3171	-0,3577	-0,1896	-0,2483	-0,1000	-0,0758	0,0626	-0,0533	-0,2260	-0,0947	-0,2628	-0,2855
CER7ab	-0,2294	-0,5826	-0,1676	-0,3194	-0,3383	-0,5340	-0,3786	-0,2802	-0,0573	-0,6009	-0,4176	-0,0934	-0,2541	-0,1407	-0,4152	-0,5884	-0,2948
CER5	-0,3927	-0,4416	-0,0401	-0,1791	-0,2914	-0,6249	-0,5577	-0,3333	-0,1520	-0,4436	-0,5811	-0,4142	-0,4747	-0,5126	-0,3534	-0,6269	-0,5207
ACcor_d	-0,4789	0,1050	0,1437	0,0551	-0,1969	-0,0076	-0,1351	0,1552	-0,2825	-0,5723	-0,4468	-0,2732	-0,0802	0,0325	-0,3269	-0,2889	-0,6773
CAUDNH_NACC	0,0746	-0,1670	0,1304	-0,0701	-0,5390	-0,3252	-0,1092	0,0983	-0,3479	-0,0258	-0,4260	-0,0058	-0,5161	-0,6655	-0,2682	-0,3942	-0,3494
TP	-0,1185	-0,3496	-0,2695	-0,1348	-0,3135	-0,7119	-0,3071	-0,2059	-0,1989	-0,0991	-0,1013	-0,2136	-0,3464	-0,4574	-0,3394	-0,2349	-0,4413
DMPFcor_p	-0,5592	0,1752	-0,0167	-0,4479	-0,2185	-0,1399	0,0986	0,1635	-0,3554	-0,3774	-0,3086	-0,3442	-0,1611	-0,0796	-0,2140	-0,1538	-0,4757
R_CERCR2	-0,0579	-0,0176	-0,3191	0,1093	-0,5944	-0,4300	0,3031	-0,5310	0,0296	-0,0769	-0,3751	0,2819	0,1679	-0,5339	-0,0278	-0,2491	-0,1657
CERCR1	0,1886	-0,1174	-0,0974	0,1373	-0,1446	-0,2714	0,2852	-0,1337	0,2212	-0,0328	0,0132	0,3171	0,1660	-0,2353	0,0168	-0,3021	-0,0205
L_IFsul	-0,5032	-0,0435	0,0481	-0,2369	0,2125	0,0199	0,0001	0,3100	-0,4425	-0,3874	-0,0639	-0,1996	-0,0752	0,1897	-0,2873	0,0840	0,0901
MOTnet_vl	-0,2590	-0,1140	-0,1549	-0,2555	-0,1263	-0,3239	-0,3268	-0,0518	-0,6269	-0,2238	-0,0636	-0,1936	-0,4618	-0,2012	-0,7339	-0,2953	-0,2357
CER7b	-0,2877	-0,4506	-0,3745	-0,1901	-0,4010	-0,4249	0,1094	-0,3789	0,0158	-0,3501	-0,0941	0,1467	-0,1739	-0,3298	-0,2935	-0,5249	-0,2635
FUSgyr_m	-0,1913	-0,2735	-0,0185	-0,2822	-0,1302	-0,4939	-0,5000	-0,0524	-0,5154	0,0270	-0,0009	-0,2882	-0,3804	-0,2816	-0,4698	-0,3577	-0,2579
CAUDN	-0,0881	0,0277	-0,0419	-0,0336	-0,1237	-0,1440	-0,0302	0,0835	-0,1299	0,3413	0,0137	0,2260	0,0504	-0,2558	0,2506	-0,1860	-0,3748
PINS_d	-0,2809	-0,2597	0,0811	-0,0146	-0,2054	-0,4135	-0,5467	-0,1643	-0,7962	-0,2102	0,0155	-0,3057	-0,6077	-0,4237	-0,6620	-0,4343	-0,3364
PCcor_PRC	-0,4618	-0,2040	-0,2041	-0,1187	-0,6583	-0,2341	-0,1623	-0,3937	-0,3819	0,0174	-0,0989	-0,0223	-0,2218	-0,6482	-0,1778	-0,1978	-0,1803
L_IPlob	-0,4983	-0,2523	-0,3390	-0,2969	-0,4355	-0,3762	-0,1110	-0,2437	-0,5352	-0,2861	0,0107	-0,3481	-0,3796	-0,6965	-0,4538	-0,0964	-0,2225
PCcor_d	-0,4529	-0,1052	0,0528	0,1484	-0,4815	-0,0237	-0,1895	-0,2310	-0,0283	-0,5403	-0,4719	-0,1903	0,1751	-0,3111	-0,0552	-0,3345	-0,3569
ITgyr	0,0848	-0,3865	-0,2796	-0,2688	-0,3279	-0,4051	-0,3108	-0,0804	-0,2675	-0,2259	-0,2010	-0,1825	-0,3251	-0,4670	-0,3906	-0,3923	-0,4775
SMgyr	-0,4986	-0,1871	0,0534	-0,1726	-0,1431	-0,3705	-0,6200	-0,0772	-0,6044	-0,5254	-0,1078	-0,3371	-0,4444	-0,2021	-0,3956	-0,4640	-0,4406
MTgyr_a	-0,2048	-0,2642	-0,2377	-0,3388	-0,4906	-0,5187	-0,1970	-0,2793	-0,4478	-0,1304	-0,1957	-0,2167	-0,5679	-0,6322	-0,6153	-0,3219	-0,3169
AMY_HIPP	-0,1947	-0,3018	-0,0319	-0,2310	-0,1862	-0,4321	-0,3184	0,0873	-0,5645	-0,0133	-0,4465	-0,1619	-0,5034	-0,4130	-0,5130	-0,2818	-0,1695
FEF	-0,1958	-0,3954	-0,1136	-0,1804	-0,1188	-0,0405	-0,4859	0,0028	-0,1961	-0,6034	-0,1954	-0,1641	-0,0337	-0,0277	-0,4701	-0,5799	-0,5996
VISnet_md	-0,0482	-0,5493	0,1026	-0,3083	-0,0464	-0,1778	-0,7919	0,0674	-0,2110	-0,5706	0,1376	-0,6954	0,0652	-0,0904	-0,0050	-0,4215	-0,4553
OCCTgyr_l	-0,1461	-0,2814	-0,3860	-0,2818	-0,3290	-0,3012	-0,1421	0,0141	-0,4426	-0,3549	-0,4670	-0,3728	-0,4347	-0,4655	-0,4904	-0,2398	-0,5728
CER6	-0,2037	-0,4226	-0,1334	-0,1588	-0,2317	-0,4784	-0,3476	-0,3739	0,0288	-0,6080	-0,4139	-0,0011	-0,0923	-0,2428	-0,3362	-0,5641	-0,3111
PVISnet_m	0,1836	-0,2177	-0,3466	-0,2737	-0,0786	-0,1137	-0,2229	-0,0171	-0,3740	-0,1967	-0,4093	-0,0993	-0,0316	-0,1786	-0,3358	-0,3876	-0,4335
R_IPlob	-0,7825	-0,1249	0,2275	-0,1701	-0,1328	-0,0676	-0,0467	0,2478	-0,4125	-0,3594	-0,1591	-0,3619	-0,0871	-0,2410	-0,2905	0,1745	-0,0777
IMsul	-0,3258	-0,2822	-0,0675	-0,0872	-0,4682	-0,2660	-0,5251	-0,0532	-0,5436	-0,4595	-0,1433	-0,3897	-0,2726	-0,3940	-0,1846	-0,5804	-0,5944
MVISnet_p	0,0102	-0,4812	0,0940	-0,2450	-0,0826	0,0497	-0,4659	0,1159	-0,1587	-0,3100	-0,0507	-0,1268	0,0932	-0,1766	-0,0297	-0,4051	-0,3398
PGACcor	-0,5021	-0,2268	-0,0005	-0,2888	-0,3015	-0,3966	0,0228	-0,5939	-0,0743	-0,0994	-0,3243	-0,0445	-0,0207	-0,2230	-0,0322	-0,0269	-0,4399
MVISnet_a	-0,3115	-0,6001	0,1468	-0,2373	-0,2392	-0,2052	-0,7585	0,0268	-0,4344	-0,5487	-0,0752	-0,4466	-0,1767	-0,2165	-0,2718	-0,6266	-0,5133
AINS_v_PIsul	-0,5302	-0,0862	-0,2611	0,0867	-0,5998	-0,4138	-0,4194	-0,1244	-0,5160	-0,1351	-0,5057	-0,2413	-0,3518	-0,7560	-0,3820	-0,4716	-0,9854
PRC_d	-0,5980	-0,6241	-0,0914	0,0311	-0,3673	-0,0680	-0,8137	-0,2088	-0,2916	-0,3130	-0,1145	-0,0953	-0,1103	-0,5263	0,2263	-0,7545	-0,7024
LVISnet_a	0,0244	-0,3256	-0,0315	-0,3297	-0,0265	-0,1384	-0,5361	-0,0394	-0,4691	-0,3441	0,1747	-0,6227	-0,1766	-0,1646	-0,4556	-0,4227	-0,3921
R_MFgyr_p	-0,4978	-0,1263	0,0377	-0,1285	-0,2340	0,3061	0,1344	-0,1150	-0,0098	-0,2919	-0,1599	-0,0908	0,2249	0,0703	-0,0491	-0,0343	-0,4785
FUSgyr_l	-0,2593	-0,3935	-0,3737	-0,1928	-0,3899	-0,3822	-0,5493	-0,2348	-0,5784	-0,9814	-0,6803	-0,5926	-0,3045	-0,4833	-0,5668	-0,4921	-0,5243
ORBcor	0,1529	-0,1479	-0,0684	0,0995	-0,2376	-0,2336	-0,1197	-0,0124	-0,1947	0,0322	0,0963	0,1523	-0,1710	-0,3209	-0,1640	-0,3092	-0,3820
VMPFcor	-0,1068	-0,1785	-0,1256	-0,2220	-0,4389	-0,3932	0,0620	-0,1939	-0,3565	0,3671	-0,1250	0,1204	-0,4308	-0,5441	-0,2116	0,0568	-0,2004
PVISnet_l	0,1386	-0,3435	-0,0471	-0,2383	0,1444	0,1823	-0,3282	0,1127	-0,2465	-0,3481	-0,1428	-0,3522	0,0373	-0,0081	-0,2541	-0,4155	-0,3548
L_CERCR2	-0,0961	-0,2434	-0,1443	0,1069	-0,6539	-0,5530	0,2876	-0,5766	0,2636	-0,2245	-0,2378	0,2639	0,2747	-0,3285	-0,1344	-0,1215	-0,0700
MOTnet_m	0,2366	-0,0912	-0,1842	-0,2754	-0,0567	0,0103	-0,3844	0,2012	-0,6921	-0,1744	0,0568	-0,2516	-0,2326	-0,1591	-0,6714	-0,3819	-0,4004
AUDnet	-0,4020	-0,5100	0,0275	-0,3389	-0,2206	-0,4073	-0,6531	-0,1639	-0,6681	-0,3243	0,0498	-0,2987	-0,5930	-0,4034	-0,6726	-0,5465	-0,3277
PCsul	-0,4055	-0,0793	-0,1862	-0,2038	-0,1615	-0,0323	-0,5280	0,0490	-0,6960	-0,6483	-0,3493	-0,5545	-0,4341	-0,1675	-0,6436	-0,5948	-0,6162
CER9	-0,2481	-0,8075	-0,3461	-0,4963	-0,2874	-0,5935	-0,7496	-0,4770	-0,1417	-0,3977	-0,4614	0,1405	-0,1204	-0,2921	-0,1568	-0,6067	-0,3897
R_IPsul_PORB	-0,8075	-0,6554	-0,0400	-0,2127	-0,1195	0,2554	-0,7249	0,0968	-0,2786	-0,7503	-0,3304	-0,3796	0,0168	-0,0708	-0,0432	-0,2091	-0,4120
VLPFcor	-0,3461	-0,0400	-0,5067	0,0186	-0,1629	-0,3606	0,0843	0,0556	-0,3588	-0,1933	0,1643	-0,2381	0,1042	-0,3072	-0,0459	-0,1833	-0,0924
AINS_d	-0,4963	-0,2127	0,0186	-0,0836	-0,2837	-0,5050	-0,6424	-0,0778	-0,4813	-0,3788	-0,1863	-0,3636	-0,3079	-0,3063	-0,2630	-0,3462	-0,4793
DMPFcor_a	-0,2874	-0,1195	-0,1629	-0,2837	-0,4930	-0,2882	0,2026	-0,3488	-0,1591	-0,0023	-0,3652	0,0298	-0,0146	-0,5736	-0,0677	0,0145	-0,3693
MFgyr_a	-0,5935	0,2554	-0,3606	-0,5050	-0,2882	-0,1872	-0,0561	-0,0445	-0,2224	-0,2276	-0,1058	-0,2652	-0,0833	-0,0807	-0,0756	-0,0129	-0,6245
R_IFsul	-0,7496	-0,7249	0,0843	-0,6424	0,2026	-0,0561	-0,3814	0,0113	-0,4884	-0,7841	-0,3663	-0,4728	-0,0960	0,2680	-0,4810	-0,1408	-0,0086
FP_l	-0,4770	0,0968	0,0556	-0,0778	-0,3488	-0,0445	0,0113	-0,1045	-0,1461	0,2065	-0,1319	0,0108	0,1737	-0,1745	0,3275	0,0598	-0,4701
MOTnet_dl	-0,1417	-0,2786	-0,3588	-0,4813	-0,1591	-0,2224	-0,4884	-0,1461	-0,6923	-0,4574	-0,3298	-0,4385	-0,3702	-0,1634	-0,9116	-0,4097	-0,4899
DVIS	-0,3977	-0,7503	-0,1933	-0,3788	-0,0023	-0,2276	-0,7841	0,2065	-0,4574	-0,2224	-0,1411	-0,0826	-0,2676	-0,3049	-0,0770	-0,4464	-0,4316
POsul	-0,4614	-0,3304	0,1643	-0,1863	-0,3652	-0,1058	-0,3663	-0,1319	-0,3298	-0,1411	0,2620	-0,1244	0,0023	-0,2524	0,0172	-0,2899	-0,1998
LVISnet_p	0,1405	-0,3796	-0,2381	-0,3636	0,0298	-0,2652	-0,4728	0,0108	-0,4385	-0,0826	-0,1244	-0,5171	-0,1428	-0,1570	-0,3602	-0,3616	-0,3269
SMOTcor	-0,1204	0,0168	0,1042	-0,3079	-0,0146	-0,0833	-0,0960	0,1737	-0,3702	-0,2676	0,0023	-0,1428	-0,2733	0,0208	-0,5888	-0,1962	-0,4301
L_SFgyr_a	-0,2921	-0,0708	-0,3072	-0,3063	-0,5736	-0,0807	0,2680	-0,1745	-0,1634	-0,3049	-0,2524	-0,1570	0,0208	-0,7942	-0,2425	-0,1784	-0,4147
SPlob	-0,1568	-0,0432	-0,0459	-0,2630	-0,0677	-0,0756	-0,4810	0,3275	-0,9116	-0,0770	0,0172	-0,3602	-0,5888	-0,2425	-0,5276	-0,3871	-0,5910
L_IPsul_MFgyr_p	-0,6067	-0,2091	-0,1833	-0,3462	0,0145	-0,0129	-0,1408	0,0598	-0,4097	-0,4464	-0,2899	-0,3616	-0,1962	-0,1784	-0,3871	-0,6761	-0,2836
MTgyr_p	-0,3897	-0,4120	-0,0924	-0,4793	-0,3693	-0,6245	-0,0086	-0,4701	-0,4899	-0,4316	-0,1998	-0,3269	-0,4301	-0,4147	-0,5910	-0,2836	-0,1039

Table S1.3 Effect of the 22q11.2 deletion on 2080 connections. Each value is the Beta estimate (z-scored) of the deletion control contrast.

	PUT	PINS_v	CERVM	THAL	CER7ab	CER5	ACcor_d	CAUDNH_NACC	TP	DMPFcor_p	R_CERCR2	CERCR1	L_IFsul	MOTnet_vl	CER7b	FUSgyr_m	CAUDN	PINS_d	PCcor_PRC	L_IPlob	PCcor_d
PUT	-0,5879	-0,1378	-0,2208	0,2795	-0,2542	-0,3207	-0,2412	-0,8755	-0,1414	-0,1617	-0,3242	-0,2889	0,2798	0,4347	-0,1824	-0,3271	-0,7862	0,0274	-0,1192	-0,0768	-0,4158
PINS_v	-0,1378	-0,7495	-0,1872	0,2676	-0,3720	-0,1127	-0,5195	-0,9383	-0,4697	-0,2337	-0,4387	-0,3657	0,2019	-0,1796	-0,3588	-0,4027	-0,3372	-0,5374	-0,0447	-0,0471	-0,1848
CERVM	-0,2208	-0,1872	-0,7607	0,0415	-0,7025	-0,2292	-0,3653	-0,8895	-0,5102	-0,1218	-0,2410	-0,1147	0,0039	-0,3302	-0,6247	-1,0485	0,0186	-0,1985	-0,4128	0,0974	-0,8265
THAL	0,2795	0,2676	0,0415	-0,3207	-0,4416	-0,1384	-0,4046	-0,8658	-0,2597	-0,2791	-0,3722	-0,1434	0,4690	0,7652	-0,3284	-0,1899	-0,5127	0,3668	-0,0454	0,0975	-0,7555
CER7ab	-0,2542	-0,3720	-0,7025	-0,4416	-0,1169	-0,8847	-0,2032	-0,4029	-0,6888	0,0191	-0,5505	-0,4342	0,0978	0,0199	-0,0336	-0,7241	-0,1230	-0,1768	-0,2439	-0,1272	-0,2337
CER5	-0,3207	-0,1127	-0,2292	-0,1384	-0,8847	-0,5159	-0,3698	-0,6446	-0,5142	-0,3722	-0,0278	0,0020	-0,1494	-0,0577	-0,7383	-0,6287	-0,2297	0,1381	-0,3312	-0,1270	-0,5323
ACcor_d	-0,2412	-0,5195	-0,3653	-0,4046	-0,2032	-0,3698	-0,8806	-0,8557	-0,8194	-0,0681	-0,5335	-0,4849	0,3014	0,3135	-0,1341	-0,5975	-0,5783	-0,0599	-0,7226	-0,6326	-0,7326
CAUDNH_NACC	-0,8755	-0,9383	-0,8895	-0,8658	-0,4029	-0,6446	-0,8557	-0,3801	-0,5617	-0,3977	-0,5955	-0,2287	-0,0515	-0,4932	-0,3045	-0,7318	-0,4581	-0,7345	-0,4360	0,1897	-0,8933
TP	-0,1414	-0,4697	-0,5102	-0,2597	-0,6888	-0,5142	-0,8194	-0,5617	-0,0410	-0,8780	-0,7184	-0,4970	-0,5563	-0,4256	-0,6266	-0,4507	-0,5260	-0,5813	-0,2121	-0,4279	-0,3657
DMPFcor_p	-0,1617	-0,2337	-0,1218	-0,2791	0,0191	-0,3722	-0,0681	-0,3977	-0,8780	-0,4557	-0,5863	-0,3818	0,2258	0,2726	-0,1282	-0,3270	-0,1787	-0,0365	-0,5561	-0,7416	-0,2242
R_CERCR2	-0,3242	-0,4387	-0,2410	-0,3722	-0,5505	-0,0278	-0,5335	-0,5955	-0,7184	-0,5863	0,1574	-0,2674	-0,5025	-0,4369	-0,7471	-0,3403	-0,4349	-0,3870	-0,0993	-0,2373	-0,3163
CERCR1	-0,2889	-0,3657	-0,1147	-0,1434	-0,4342	0,0020	-0,4849	-0,2287	-0,4970	-0,3818	-0,2674	-0,3895	-0,0626	-0,2255	-0,4384	-0,1575	-0,0975	-0,3549	0,2219	0,2699	-0,2984
L_IFsul	0,2798	0,2019	0,0039	0,4690	0,0978	-0,1494	0,3014	-0,0515	-0,5563	0,2258	-0,5025	-0,0626	-0,5122	-0,1959	-0,2112	-0,0861	0,2149	-0,2505	-0,0751	-0,1712	0,1644
MOTnet_vl	0,4347	-0,1796	-0,3302	0,7652	0,0199	-0,0577	0,3135	-0,4932	-0,4256	0,2726	-0,4369	-0,2255	-0,1959	-0,3691	-0,1323	-0,6673	-0,0068	-0,2571	-0,3138	-0,6874	-0,1257
CER7b	-0,1824	-0,3588	-0,6247	-0,3284	-0,0336	-0,7383	-0,1341	-0,3045	-0,6266	-0,1282	-0,7471	-0,4384	-0,2112	-0,1323	-0,5836	-0,6500	-0,2058	-0,1600	-0,1714	-0,2759	-0,3213
FUSgyr_m	-0,3271	-0,4027	-1,0485	-0,1899	-0,7241	-0,6287	-0,5975	-0,7318	-0,4507	-0,3270	-0,3403	-0,1575	-0,0861	-0,6673	-0,6500	-0,5746	-0,3795	-0,6351	-0,0697	0,0002	-0,1989
CAUDN	-0,7862	-0,3372	0,0186	-0,5127	-0,1230	-0,2297	-0,5783	-0,4581	-0,5260	-0,1787	-0,4349	-0,0975	0,2149	-0,0068	-0,2058	-0,3795	-0,6679	-0,3169	-0,3334	-0,0600	-0,8747
PINS_d	0,0274	-0,5374	-0,1985	0,3668	-0,1768	0,1381	-0,0599	-0,7345	-0,5813	-0,0365	-0,3870	-0,3549	-0,2505	-0,2571	-0,1600	-0,6351	-0,3169	-0,4226	-0,2078	-0,3172	-0,2801
PCcor_PRC	-0,1192	-0,0447	-0,4128	-0,0454	-0,2439	-0,3312	-0,7226	-0,4360	-0,2121	-0,5561	-0,0993	0,2219	-0,0751	-0,3138	-0,1714	-0,0697	-0,3334	-0,2078	-0,2732	0,4226	-0,5075
L_IPlob	-0,0768	-0,0471	0,0974	0,0975	-0,1272	-0,1270	-0,6326	0,1897	-0,4279	-0,7416	-0,2373	0,2699	-0,1712	-0,6874	-0,2759	0,0002	-0,0600	-0,3172	0,4226	-0,2575	-0,1808
PCcor_d	-0,4158	-0,1848	-0,8265	-0,7555	-0,2337	-0,5323	-0,7326	-0,8933	-0,3657	-0,2242	-0,3163	-0,2984	0,1644	-0,1257	-0,3213	-0,1989	-0,8747	-0,2801	-0,5075	-0,1808	-0,9491
ITgyr	0,1569	-0,1756	-0,2337	0,0953	-0,1447	-0,3286	-0,4254	-0,5457	-0,1800	-0,7468	-0,8204	-0,5091	-0,2528	-0,3937	-0,2150	-0,2443	-0,1986	-0,3521	-0,0477	-0,4929	-0,2015
SMgyr	0,1514	-0,3484	-0,0695	0,4836	-0,1161	-0,1931	0,1781	-0,3160	-0,3078	0,2213	-0,3061	-0,2167	-0,1204	-0,0700	-0,2380	-0,5757	-0,0502	-0,1585	-0,0457	-0,1527	-0,0730
MTgyr_a	-0,1458	-0,3457	-0,2239	0,0765	-0,2624	-0,1024	-0,7026	-0,6455	-0,3932	-0,8946	-0,4664	-0,0295	-0,2520	-0,6806	-0,2228	-0,3028	-0,3634	-0,6009	0,1311	0,3274	-0,1070
AMY_HIPP	-0,1717	-0,5702	-0,3280	-0,1203	-0,7506	-0,1696	-0,8965	-1,6439	-0,4253	-0,6564	-0,4951	-0,4037	-0,1503	-0,7962	-0,5802	-0,2822	-0,4533	-0,6689	-0,0196	0,1664	-0,2637
FEF	0,2522	-0,0152	-0,6221	0,2509	0,0296	-0,4950	0,3146	-0,3126	-0,2529	0,4409	-0,7776	-0,3352	-0,3856	-0,1646	-0,0078	-0,7348	0,0543	-0,1611	-0,2446	-0,3937	0,1062
VISnet_md	-0,2817	-0,2188	-0,6175	-0,0260	-0,3597	-0,1793	-0,4041	-0,2726	-0,4287	0,1583	-0,0479	0,1375	0,2020	-0,2922	-0,2409	0,4001	-0,2704	-0,4576	-0,1747	-0,0023	-0,0952
OCCTgyr_l	0,1681	-0,2137	-0,2076	0,2286	-0,3625	-0,3628	-0,2981	-0,2222	-0,6944	-0,3435	-0,7272	-0,5027	-0,1065	-0,4206	-0,5147	-0,1741	0,2546	-0,3255	0,1137	0,0808	-0,1111
CER6	-0,4508	-0,4819	-0,4285	-0,2464	-1,0273	0,1277	-0,6078	-0,5442	-0,8582	-0,3497	-0,3420	-0,2194	0,0045	-0,0784	-0,9202	-0,3323	-0,3106	-0,2459	-0,3917	-0,0609	-0,5058
PVISnet_m	-0,0984	-0,6093	0,0295	0,1886	-0,1279	-0,0764	-0,5409	0,0076	-0,5204	-0,4137	-0,1733	-0,2960	-0,0810	-0,2806	-0,0109	-0,1687	-0,0588	-0,4500	-0,1191	0,0671	-0,0562
R_IPlob	0,1144	0,1697	0,1651	0,3512	0,2233	-0,1116	-0,3677	0,1035	-0,4479	-0,6302	-0,2410	0,0810	-0,0246	-0,3147	-0,1184	0,1466	-0,0566	0,0047	0,0676	-0,3486	-0,3515
IMsul	-0,0355	-0,1758	-0,6616	0,0434	-0,2125	-0,3455	-0,2296	-0,5078	-0,2169	0,0063	-0,3908	-0,1773	0,1662	-0,1390	-0,1325	-0,3776	-0,3131	-0,1729	-0,0528	-0,0370	-0,0520
MVISnet_p	-0,5679	-0,6569	-0,0084	-0,3179	0,0870	0,2554	-0,8897	0,0141	-0,4966	-0,0807	0,1866	0,4141	0,2617	-0,1250	0,2136	0,2680	-0,3198	-0,6346	0,0247	0,2815	-0,1455
PGACcor	-0,5675	-0,5374	-0,1316	-0,6132	-0,3384	-0,1130	-0,8040	-1,0107	-0,9385	-0,5731	-0,5202	-0,3461	0,2508	-0,3359	-0,4106	-0,3470	-0,4250	-0,4054	-0,9139	-0,4065	-0,9393
MVISnet_a	-0,3498	-0,4532	-0,6388	0,1731	-0,3392	0,0697	-0,5177	-0,3924	-0,4147	0,1066	-0,0674	0,1582	0,2046	-0,2517	-0,2950	0,1316	-0,4983	-0,6929	0,0194	0,1056	-0,0488
AINS_v_PIsul	-0,3948	-0,4248	-0,2958	-0,3204	-0,3384	-0,2993	-0,9731	-0,9783	-0,9290	-0,7766	-0,4705	-0,0913	-0,0420	-0,4488	-0,4297	-0,3266	-0,6066	-0,5458	-0,2511	-0,0455	-0,4335
PRC_d	0,0112	-0,0450	-0,4331	0,0244	-0,4160	-0,3252	-0,2819	-0,0547	-0,1628	-0,1323	-0,0992	-0,0902	0,0058	-0,3947	-0,0989	-0,2108	0,0374	-0,2396	0,3001	0,3648	-0,1796
LVISnet_a	-0,0862	-0,3198	-0,3215	0,1471	-0,4331	0,2297	-0,4747	-0,5475	-0,4625	-0,0219	-0,0119	-0,0787	0,1301	-0,0819	-0,3101	0,0605	-0,3109	-0,3951	0,0179	0,0708	-0,1177
R_MFgyr_p	-0,1501	-0,0115	-0,1384	-0,2296	-0,0641	-0,4104	-0,4488	-0,1734	-0,5281	-0,4646	-0,5466	-0,0176	0,1434	-0,3850	-0,1972	-0,1725	-0,1848	-0,2585	-0,0567	-0,2509	-0,2817
FUSgyr_l	0,1790	-0,0602	-0,0029	0,3025	-0,3778	-0,2188	-0,0885	-0,2070	-0,5812	-0,2297	-0,5986	-0,4098	-0,1622	-0,2107	-0,5355	0,3628	-0,0075	-0,1668	0,0256	-0,0833	0,0324
ORBcor	-0,3151	-0,5118	-0,4514	-0,1751	-0,6690	-0,5682	-0,4775	-0,2097	-0,5732	-0,7499	-0,8613	-0,4482	-0,1804	-0,5776	-0,6792	-0,1946	-0,0264	-0,5190	-0,4538	-0,1585	-0,7806
VMPFcor	-0,5830	-0,5615	-0,3646	-0,3949	-0,8774	-0,4206	-0,8005	-0,8487	-0,7471	-0,7071	-0,7504	-0,4316	-0,0934	-0,7627	-0,7217	-0,2775	-0,4596	-0,6844	-0,5372	0,1093	-0,9113
PVISnet_l	-0,3820	-0,6619	0,0824	0,0644	-0,1310	0,2265	-0,7519	-0,1000	-0,5652	-0,1789	0,1889	0,3039	0,2629	-0,3990	0,0313	0,1189	-0,0260	-0,6765	0,1186	0,4081	-0,0366
L_CERCR2	-0,3166	-0,2563	-0,2346	-0,3014	-0,2947	-0,3434	-0,4951	0,1143	-0,5397	-0,5814	-0,5924	-0,2080	-0,1193	-0,1468	-0,5150	-0,1687	-0,2493	-0,2283	0,1174	0,1394	-0,2914
MOTnet_m	0,3846	-0,1453	-0,8459	0,4964	0,0846	-0,3522	0,1428	-0,3742	-0,3024	0,2620	-0,4156	-0,0966	-0,2951	-0,3083	0,1562	-1,0509	0,1699	-0,0420	-0,0253	-0,1271	0,1091
AUDnet	0,0557	-0,2606	-0,2075	0,4415	-0,1307	-0,0959	-0,2611	-0,3498	-0,8141	-0,1866	-0,3961	-0,0121	-0,1305	-0,5145	-0,3503	-0,4547	0,0585	-0,5958	-0,0660	-0,1427	-0,2286
PCsul	0,3913	-0,1246	-0,5431	0,4046	0,2139	-0,3818	0,3320	-0,1607	-0,3306	0,2918	-0,3679	-0,2015	-0,2752	-0,2351	0,0256	-0,7323	0,2222	-0,1577	-0,1960	-0,3057	0,2443
CER9	-0,7028	-0,1153	-0,5529	-0,7477	-0,7967	-0,7534	-0,6278	-0,4179	-0,5925	-0,5963	-0,2620	0,1143	-0,0151	-0,2835	-0,7536	-0,1985	-0,5505	-0,2857	-0,2374	0,0374	-0,5723
R_IPsul_PORB	-0,1093	-0,0495	0,0224	0,0714	0,2137	-0,1543	0,0875	0,0764	-0,7408	-0,1034	-0,3961	-0,1482	0,0687	-0,0140	-0,3022	-0,0173	-0,0350	0,0173	-0,0131	-0,2029	-0,0131
VLPFcor	-0,2378	-0,3922	-0,1338	-0,0020	-0,1767	-0,0169	-0,3467	-0,1484	-0,9597	-0,5233	-0,3325	-0,0902	-0,0941	-0,4961	-0,3056	-0,2292	-0,0755	-0,4902	-0,1072	-0,0710	-0,1910
AINS_d	-0,4105	-1,0279	-0,0589	0,0628	-0,0783	0,0935	-0,0551	-0,7745	-0,8952	0,0171	-0,4333	-0,4324	0,0926	0,2750	-0,1223	-0,3915	-0,5256	-0,1385	-0,3002	-0,5088	-0,3141
DMPFcor_a	-0,5793	-0,5545	-0,2045	-0,3884	-0,5259	-0,3738	-0,5238	-0,5499	-1,0830	-0,6861	-0,7801	-0,3528	0,2011	-0,5543	-0,7130	-0,4350	-0,3257	-0,5437	-0,3921	-0,2321	-0,5224
MFgyr_a	-0,1907	-0,2030	-0,1391	-0,0687	-0,3466	-0,1618	-0,0015	-0,1950	-1,0321	-0,1603	-0,9147	-0,5769	0,2645	-0,0268	-0,6090	-0,3285	-0,2116	-0,1429	-0,4423	-0,7044	-0,5534
R_IFsul	-0,2134	0,0157	-0,3282	0,0826	-0,0286	-0,5772	-0,0400	-0,2862	-0,5801	-0,1483	-0,6197	-0,3854	0,0084	-0,0898	-0,2318	-0,1065	-0,3958	-0,1952	-0,3659	-0,5684	0,1069
FP_l	-0,3014	-0,3674	-0,0839	-0,0458	-0,5250	-0,2731	-0,1840	-0,6558	-0,9376	-0,4955	-1,0785	-0,6681	0,3045	-0,5605	-0,6334	-0,1707	-0,3759	-0,3152	-0,6346	-0,6010	-0,6727
MOTnet_dl	0,5058	-0,0759	-0,9044	0,4409	0,1646	-0,4886	0,2017	-0,4879	-0,2689	0,4440	-0,3739	-0,1040	-0,2444	-0,4059	0,2418	-0,9466	0,2312	-0,1966	-0,3227	-0,2342	-0,0897
DVIS	-0,0363	-0,0041	-0,5618	-0,0133	-0,3020	-0,5758	-0,0968	-0,2618	-0,6234	-0,1168	-0,5706	-0,3290	-0,3066	-0,4509	-0,4845	0,1346	-0,1878	-0,1805	-0,4377	-0,3505	-0,1618
POsul	-0,3150	-0,3615	-0,8998	-0,0724	-0,4998	-0,4907	-0,7142	-0,7048	-0,3955	-0,0697	-0,2403	0,1429	-0,0390	-0,4823	-0,3935	0,1619	-0,4259	-0,6124	-0,4473	0,0398	-0,4681
LVISnet_p	-0,1155	-0,4278	-0,2624	0,1127	-0,6217	-0,2200	-0,4051	-0,3363	-0,6534	-0,2749	-0,4226	-0,4499	-0,1355	-0,4431	-0,5651	0,3029	-0,3648	-0,4626	-0,2535	-0,0664	-0,0949
SMOTcor	-0,1286	-0,6150	-0,6730	0,0379	-0,1738	-0,5304	-0,1476	-0,6077	-0,5331	0,0472	-0,6787	-0,5190	-0,3720	-0,0974	-0,1150	-0,8678	-0,3896	-0,4591	-0,2890	-0,5602	-0,1300
L_SFgyr_a	-0,0218	-0,0824	-0,2386	0,0420	0,0074	-0,3898	-0,2888	-0,0883	-0,4823	-0,3189	-0,4886	0,1227	0,1866	-0,4452	0,0471	-0,2357	0,0388	-0,4448	0,0504	-0,2756	0,1087
SPlob	0,4052	0,0745	-0,8389	0,3712	0,1085	-0,3876	0,4876	-0,0369	-0,2602	0,3848	-0,3106	-0,3339	-0,0360	-0,2203	0,3144	-0,9717	0,3476	-0,0806	-0,2659	-0,2174	-0,0949
L_IPsul_MFgyr_p	0,1628	0,0836	-0,4680	0,1954	0,1593	-0,4516	-0,0207	-0,0050	-0,3022	-0,0763	-0,4765	0,0852	-0,1822	-0,4813	-0,0799	-0,0609	0,0964	-0,3943	-0,1202	-0,2295	0,2857
MTgyr_p	0,0807	-0,1376	-0,0490	0,3281	0,0736	-0,1458	-0,2775	-0,0606	-0,8664	-0,6036	-0,5777	-0,0775	-0,0785	-0,4692	-0,4119	-0,0845	-0,0100	-0,2813	-0,0707	-0,2757	-0,1631

	ITgyr	SMgyr	MTgyr_a	AMY_HIPP	FEF	VISnet_md	OCCTgyr_l	CER6	PVISnet_m	R_IPlob	IMsul	MVISnet_p	PGACcor	MVISnet_a	AINS_v_PIsul	PRC_d	LVISnet_a	R_MFgyr_p	FUSgyr_l	ORBcor	VMPFcor
PUT	0,1569	0,1514	-0,1458	-0,1717	0,2522	-0,2817	0,1681	-0,4508	-0,0984	0,1144	-0,0355	-0,5679	-0,5675	-0,3498	-0,3948	0,0112	-0,0862	-0,1501	0,1790	-0,3151	-0,5830
PINS_v	-0,1756	-0,3484	-0,3457	-0,5702	-0,0152	-0,2188	-0,2137	-0,4819	-0,6093	0,1697	-0,1758	-0,6569	-0,5374	-0,4532	-0,4248	-0,0450	-0,3198	-0,0115	-0,0602	-0,5118	-0,5615
CERVM	-0,2337	-0,0695	-0,2239	-0,3280	-0,6221	-0,6175	-0,2076	-0,4285	0,0295	0,1651	-0,6616	-0,0084	-0,1316	-0,6388	-0,2958	-0,4331	-0,3215	-0,1384	-0,0029	-0,4514	-0,3646
THAL	0,0953	0,4836	0,0765	-0,1203	0,2509	-0,0260	0,2286	-0,2464	0,1886	0,3512	0,0434	-0,3179	-0,6132	0,1731	-0,3204	0,0244	0,1471	-0,2296	0,3025	-0,1751	-0,3949
CER7ab	-0,1447	-0,1161	-0,2624	-0,7506	0,0296	-0,3597	-0,3625	-1,0273	-0,1279	0,2233	-0,2125	0,0870	-0,3384	-0,3392	-0,3384	-0,4160	-0,4331	-0,0641	-0,3778	-0,6690	-0,8774
CER5	-0,3286	-0,1931	-0,1024	-0,1696	-0,4950	-0,1793	-0,3628	0,1277	-0,0764	-0,1116	-0,3455	0,2554	-0,1130	0,0697	-0,2993	-0,3252	0,2297	-0,4104	-0,2188	-0,5682	-0,4206
ACcor_d	-0,4254	0,1781	-0,7026	-0,8965	0,3146	-0,4041	-0,2981	-0,6078	-0,5409	-0,3677	-0,2296	-0,8897	-0,8040	-0,5177	-0,9731	-0,2819	-0,4747	-0,4488	-0,0885	-0,4775	-0,8005
CAUDNH_NACC	-0,5457	-0,3160	-0,6455	-1,6439	-0,3126	-0,2726	-0,2222	-0,5442	0,0076	0,1035	-0,5078	0,0141	-1,0107	-0,3924	-0,9783	-0,0547	-0,5475	-0,1734	-0,2070	-0,2097	-0,8487
TP	-0,1800	-0,3078	-0,3932	-0,4253	-0,2529	-0,4287	-0,6944	-0,8582	-0,5204	-0,4479	-0,2169	-0,4966	-0,9385	-0,4147	-0,9290	-0,1628	-0,4625	-0,5281	-0,5812	-0,5732	-0,7471
DMPFcor_p	-0,7468	0,2213	-0,8946	-0,6564	0,4409	0,1583	-0,3435	-0,3497	-0,4137	-0,6302	0,0063	-0,0807	-0,5731	0,1066	-0,7766	-0,1323	-0,0219	-0,4646	-0,2297	-0,7499	-0,7071
R_CERCR2	-0,8204	-0,3061	-0,4664	-0,4951	-0,7776	-0,0479	-0,7272	-0,3420	-0,1733	-0,2410	-0,3908	0,1866	-0,5202	-0,0674	-0,4705	-0,0992	-0,0119	-0,5466	-0,5986	-0,8613	-0,7504
CERCR1	-0,5091	-0,2167	-0,0295	-0,4037	-0,3352	0,1375	-0,5027	-0,2194	-0,2960	0,0810	-0,1773	0,4141	-0,3461	0,1582	-0,0913	-0,0902	-0,0787	-0,0176	-0,4098	-0,4482	-0,4316
L_IFsul	-0,2528	-0,1204	-0,2520	-0,1503	-0,3856	0,2020	-0,1065	0,0045	-0,0810	-0,0246	0,1662	0,2617	0,2508	0,2046	-0,0420	0,0058	0,1301	0,1434	-0,1622	-0,1804	-0,0934
MOTnet_vl	-0,3937	-0,0700	-0,6806	-0,7962	-0,1646	-0,2922	-0,4206	-0,0784	-0,2806	-0,3147	-0,1390	-0,1250	-0,3359	-0,2517	-0,4488	-0,3947	-0,0819	-0,3850	-0,2107	-0,5776	-0,7627
CER7b	-0,2150	-0,2380	-0,2228	-0,5802	-0,0078	-0,2409	-0,5147	-0,9202	-0,0109	-0,1184	-0,1325	0,2136	-0,4106	-0,2950	-0,4297	-0,0989	-0,3101	-0,1972	-0,5355	-0,6792	-0,7217
FUSgyr_m	-0,2443	-0,5757	-0,3028	-0,2822	-0,7348	0,4001	-0,1741	-0,3323	-0,1687	0,1466	-0,3776	0,2680	-0,3470	0,1316	-0,3266	-0,2108	0,0605	-0,1725	0,3628	-0,1946	-0,2775
CAUDN	-0,1986	-0,0502	-0,3634	-0,4533	0,0543	-0,2704	0,2546	-0,3106	-0,0588	-0,0566	-0,3131	-0,3198	-0,4250	-0,4983	-0,6066	0,0374	-0,3109	-0,1848	-0,0075	-0,0264	-0,4596
PINS_d	-0,3521	-0,1585	-0,6009	-0,6689	-0,1611	-0,4576	-0,3255	-0,2459	-0,4500	0,0047	-0,1729	-0,6346	-0,4054	-0,6929	-0,5458	-0,2396	-0,3951	-0,2585	-0,1668	-0,5190	-0,6844
PCcor_PRC	-0,0477	-0,0457	0,1311	-0,0196	-0,2446	-0,1747	0,1137	-0,3917	-0,1191	0,0676	-0,0528	0,0247	-0,9139	0,0194	-0,2511	0,3001	0,0179	-0,0567	0,0256	-0,4538	-0,5372
L_IPlob	-0,4929	-0,1527	0,3274	0,1664	-0,3937	-0,0023	0,0808	-0,0609	0,0671	-0,3486	-0,0370	0,2815	-0,4065	0,1056	-0,0455	0,3648	0,0708	-0,2509	-0,0833	-0,1585	0,1093
PCcor_d	-0,2015	-0,0730	-0,1070	-0,2637	0,1062	-0,0952	-0,1111	-0,5058	-0,0562	-0,3515	-0,0520	-0,1455	-0,9393	-0,0488	-0,4335	-0,1796	-0,1177	-0,2817	0,0324	-0,7806	-0,9113
ITgyr	-0,2346	-0,2036	-0,4117	-0,1797	0,0436	-0,3749	-0,4427	-0,6937	-0,1989	-0,3209	-0,0985	-0,0986	-0,9931	-0,3778	-0,5464	0,0100	-0,2243	-0,4435	-0,4821	-0,6730	-0,7007
SMgyr	-0,2036	-0,6485	-0,1198	-0,4765	-0,1511	-0,2212	-0,3044	-0,2692	-0,1609	-0,0099	-0,0853	-0,1971	0,0149	-0,1939	-0,1371	-0,2533	-0,2400	-0,1291	-0,2924	-0,3321	-0,3787
MTgyr_a	-0,4117	-0,1198	-0,3163	-0,3766	-0,2835	-0,3060	-0,3468	-0,3266	-0,3297	0,0268	-0,0335	-0,0832	-0,9125	-0,3320	-0,5607	0,4280	-0,3434	-0,2913	-0,2491	-0,5027	-0,6453
AMY_HIPP	-0,1797	-0,4765	-0,3766	-0,4766	-0,2450	-0,4685	-0,4474	-0,6517	-0,3990	0,3037	-0,3817	-0,2403	-1,2547	-0,5911	-0,9878	-0,1898	-0,4039	-0,1869	-0,1215	-0,8782	-0,8820
FEF	0,0436	-0,1511	-0,2835	-0,2450	-0,6538	-0,1227	-0,5355	-0,4095	-0,2484	-0,1831	-0,2307	0,0085	-0,0182	-0,3416	-0,0382	-0,7498	-0,5520	-0,1787	-0,5191	-0,4387	-0,4620
VISnet_md	-0,3749	-0,2212	-0,3060	-0,4685	-0,1227	-0,5220	-0,0459	-0,1633	0,2867	0,1869	0,0016	0,0580	-0,2899	-0,1592	-0,1097	-0,0955	0,2706	0,0138	0,5747	-0,1177	-0,4505
OCCTgyr_l	-0,4427	-0,3044	-0,3468	-0,4474	-0,5355	-0,0459	-0,4596	-0,6337	-0,1960	0,1708	-0,0149	0,3473	-0,3451	-0,0530	-0,3633	-0,0573	-0,1871	-0,0382	-0,5196	-0,4856	-0,3942
CER6	-0,6937	-0,2692	-0,3266	-0,6517	-0,4095	-0,1633	-0,6337	-0,1479	-0,1325	0,0803	-0,4238	0,3312	-0,3003	-0,0124	-0,4534	-0,4540	0,0876	-0,2158	-0,3412	-0,6233	-0,6837
PVISnet_m	-0,1989	-0,1609	-0,3297	-0,3990	-0,2484	0,2867	-0,1960	-0,1325	-0,7964	0,0164	0,0081	-0,0219	-0,7152	0,0317	-0,2809	-0,0636	-0,3115	-0,1919	-0,0062	-0,3267	-0,4521
R_IPlob	-0,3209	-0,0099	0,0268	0,3037	-0,1831	0,1869	0,1708	0,0803	0,0164	-0,5148	0,0481	0,3291	-0,4497	0,3282	-0,0390	0,4378	0,2881	-0,2761	0,0451	-0,0253	-0,0464
IMsul	-0,0985	-0,0853	-0,0335	-0,3817	-0,2307	0,0016	-0,0149	-0,4238	0,0081	0,0481	-0,5535	0,0581	-0,6207	-0,1044	-0,1928	-0,3461	-0,2015	-0,1329	0,0449	-0,3960	-0,6593
MVISnet_p	-0,0986	-0,1971	-0,0832	-0,2403	0,0085	0,0580	0,3473	0,3312	-0,0219	0,3291	0,0581	-0,7801	-0,4680	0,2583	-0,0806	0,0788	0,0891	0,1747	0,2649	0,1039	-0,1590
PGACcor	-0,9931	0,0149	-0,9125	-1,2547	-0,0182	-0,2899	-0,3451	-0,3003	-0,7152	-0,4497	-0,6207	-0,4680	-1,5480	-0,1413	-1,2246	-0,0482	-0,3747	-0,4281	-0,1743	-0,5446	-1,1553
MVISnet_a	-0,3778	-0,1939	-0,3320	-0,5911	-0,3416	-0,1592	-0,0530	-0,0124	0,0317	0,3282	-0,1044	0,2583	-0,1413	-0,5886	-0,2678	-0,0208	0,0204	0,1031	0,2609	-0,0454	-0,2545
AINS_v_PIsul	-0,5464	-0,1371	-0,5607	-0,9878	-0,0382	-0,1097	-0,3633	-0,4534	-0,2809	-0,0390	-0,1928	-0,0806	-1,2246	-0,2678	-0,8196	0,2070	-0,3392	-0,2696	-0,1658	-0,7721	-1,0028
PRC_d	0,0100	-0,2533	0,4280	-0,1898	-0,7498	-0,0955	-0,0573	-0,4540	-0,0636	0,4378	-0,3461	0,0788	-0,0482	-0,0208	0,2070	-0,1571	-0,2687	0,1977	-0,3087	-0,1447	-0,1152
LVISnet_a	-0,2243	-0,2400	-0,3434	-0,4039	-0,5520	0,2706	-0,1871	0,0876	-0,3115	0,2881	-0,2015	0,0891	-0,3747	0,0204	-0,3392	-0,2687	-0,4195	-0,0670	0,0953	-0,1939	-0,4377
R_MFgyr_p	-0,4435	-0,1291	-0,2913	-0,1869	-0,1787	0,0138	-0,0382	-0,2158	-0,1919	-0,2761	-0,1329	0,1747	-0,4281	0,1031	-0,2696	0,1977	-0,0670	-0,4458	-0,0604	-0,2268	-0,1534
FUSgyr_l	-0,4821	-0,2924	-0,2491	-0,1215	-0,5191	0,5747	-0,5196	-0,3412	-0,0062	0,0451	0,0449	0,2649	-0,1743	0,2609	-0,1658	-0,3087	0,0953	-0,0604	-0,3976	-0,0900	-0,1532
ORBcor	-0,6730	-0,3321	-0,5027	-0,8782	-0,4387	-0,1177	-0,4856	-0,6233	-0,3267	-0,0253	-0,3960	0,1039	-0,5446	-0,0454	-0,7721	-0,1447	-0,1939	-0,2268	-0,0900	-0,3636	-0,2364
VMPFcor	-0,7007	-0,3787	-0,6453	-0,8820	-0,4620	-0,4505	-0,3942	-0,6837	-0,4521	-0,0464	-0,6593	-0,1590	-1,1553	-0,2545	-1,0028	-0,1152	-0,4377	-0,1534	-0,1532	-0,2364	-0,4329
PVISnet_l	-0,2173	-0,2965	-0,1037	-0,3370	-0,2313	0,3631	0,1920	0,3255	-0,4795	0,4796	0,0468	0,2371	-0,5403	0,2940	-0,1443	0,0476	-0,0029	0,1832	0,2015	-0,1561	-0,2210
L_CERCR2	-0,4239	-0,2316	0,0416	-0,2753	-0,2414	0,0302	-0,2031	-0,3940	0,0238	0,0289	-0,1024	0,3281	-0,2271	0,1233	-0,0304	0,1376	-0,1118	-0,1322	-0,2595	-0,1854	-0,1622
MOTnet_m	-0,0453	0,0474	-0,1820	-0,5929	0,1546	-0,6857	-0,2934	-0,2624	-0,2401	0,0289	-0,1921	-0,1628	-0,3476	-0,9747	-0,3082	-0,4027	-0,8255	-0,1092	-0,3375	-0,4072	-0,5518
AUDnet	-0,4855	-0,0245	-0,5595	-0,8038	-0,2317	-0,1841	-0,1065	-0,0197	-0,3247	0,2193	0,0939	-0,1907	-0,2139	-0,4041	-0,4681	0,3031	-0,3143	0,0051	-0,0167	-0,3102	-0,4967
PCsul	-0,0274	-0,2354	-0,1814	-0,3756	-0,2463	-0,1781	-0,4544	-0,2112	-0,0197	-0,2210	-0,0505	-0,0231	-0,0321	-0,4652	-0,0905	-0,4585	-0,4803	-0,2356	-0,7313	-0,1650	-0,4401
CER9	-0,0865	-0,2843	0,1138	0,0215	-0,2792	-0,0323	-0,1451	-0,3942	0,0533	-0,0279	-0,1802	0,3122	-0,6593	0,0189	-0,0368	-0,2281	0,0737	-0,3540	-0,1035	-0,4591	-0,6255
R_IPsul_PORB	-0,4365	0,0077	-0,2803	-0,3134	-0,1646	0,3261	-0,3584	0,0370	-0,0157	-0,2154	0,1646	0,2481	0,2077	0,2815	-0,2864	-0,0270	0,2029	0,0217	-0,3585	0,2374	0,2154
VLPFcor	-0,6396	0,0050	-0,6474	-0,5348	-0,4016	0,0781	-0,3151	0,0006	-0,2623	-0,0772	-0,2036	-0,0989	-0,1258	-0,0727	-0,7613	0,2817	-0,1743	0,0019	-0,3090	-0,2722	-0,1172
AINS_d	-0,4836	0,0825	-0,6853	-0,7576	-0,0360	0,0169	-0,4263	-0,1146	-0,5469	-0,1562	-0,1781	-0,5143	-0,3169	-0,2591	-0,7728	-0,2021	-0,2494	-0,2284	-0,2374	-0,6492	-0,5956
DMPFcor_a	-1,2645	-0,1375	-0,9516	-1,0905	-0,4055	-0,1295	-0,6171	-0,4658	-0,5163	-0,6426	-0,2639	-0,0832	-0,5465	-0,0918	-1,0281	0,1059	-0,3143	-0,3831	-0,4025	-0,5453	-0,6865
MFgyr_a	-0,8924	0,2196	-0,6602	-0,5405	-0,2764	-0,1482	-0,6263	-0,3873	-0,3815	-0,3637	-0,2386	-0,0568	0,1474	-0,0934	-0,6172	-0,2455	-0,2852	-0,2802	-0,3688	-0,3647	-0,2291
R_IFsul	-0,4315	-0,0771	-0,5455	-0,4941	-0,0148	0,1308	-0,3265	-0,1883	-0,1380	-0,3113	0,1384	0,1529	-0,2642	0,1246	-0,2994	-0,0936	0,1416	0,2222	-0,1133	-0,2869	-0,4127
FP_l	-0,9783	-0,1251	-0,9085	-0,5766	-0,2898	-0,0842	-0,8240	-0,5751	-0,4321	-0,5835	-0,3659	0,0859	-0,3096	0,1033	-0,7401	-0,3083	-0,2801	-0,5565	-0,2324	-0,7435	0,2082
MOTnet_dl	-0,0957	0,0398	-0,3036	-0,8152	0,0813	-0,6170	-0,4153	-0,1802	-0,0403	-0,0305	-0,0702	-0,0509	-0,3108	-0,7905	-0,2011	-0,2226	-0,4916	-0,2424	-0,1469	-0,3159	-0,7385
DVIS	-0,4520	-0,2626	-0,4008	-0,3842	-0,7270	0,6042	-0,5455	-0,4200	-0,1060	-0,1597	-0,1278	0,3320	-0,2286	0,3259	-0,2002	-0,7060	0,1192	-0,2690	-0,0691	-0,3526	-0,5227
POsul	-0,4109	-0,3265	-0,3538	-0,6854	-0,2426	0,0467	0,0330	-0,3051	-0,0341	0,1817	-0,3138	0,1912	-0,5781	0,1276	-0,3769	0,0417	0,1309	0,1213	0,3641	-0,3268	-0,5671
LVISnet_p	-0,5250	-0,3376	-0,5045	-0,4212	-0,6430	0,5589	-0,7504	-0,4283	-0,1419	-0,0777	-0,1376	0,0596	-0,5499	0,0961	-0,4892	-0,5502	-0,1491	-0,2711	-0,0138	-0,3200	-0,5063
SMOTcor	-0,2501	-0,3367	-0,5282	-0,7597	0,3216	-0,5173	-0,4959	-0,6396	-0,3871	-0,3063	-0,4555	-0,3934	-0,4954	-0,8597	-0,4790	-0,5470	-0,5727	-0,4012	-0,3844	-0,6378	-0,7339
L_SFgyr_a	-0,4848	0,0090	-0,4419	-0,3339	0,0568	0,0111	-0,0271	-0,2103	-0,2302	-0,2097	0,1402	0,2208	-0,6088	0,0504	-0,2548	0,5416	-0,0144	0,0758	-0,1853	-0,3990	-0,5864
SPlob	0,1621	0,1112	-0,2186	-0,4582	-0,1699	-0,5058	-0,1990	-0,2776	-0,2956	0,1594	-0,0904	-0,2056	-0,0747	-0,7639	-0,1492	-0,4376	-0,9831	-0,0359	-0,5637	-0,2427	-0,5559
L_IPsul_MFgyr_p	-0,1088	0,0242	0,1022	-0,0509	-0,5438	0,1870	-0,0787	-0,1273	0,0509	-0,0378	0,2485	0,3938	-0,0109	0,1962	0,1944	0,0735	0,1150	-0,0978	-0,2084	-0,0959	-0,1652
MTgyr_p	-1,0565	0,2101	-0,8691	-0,5358	-0,2567	0,1128	-0,0193	-0,0630	-0,1288	-0,0840	0,2261	0,0897	-0,3809	0,0205	-0,6579	0,4518	-0,0653	-0,1494	0,0514	-0,5024	-0,4160

	PVISnet_l	L_CERCR2	MOTnet_m	AUDnet	PCsul	CER9	R_IPsul_PORB	VLPFcor	AINS_d	DMPFcor_a	MFgyr_a	R_IFsul	FP_l	MOTnet_dl	DVIS	POsul	LVISnet_p	SMOTcor	L_SFgyr_a	SPlob	L_IPsul_MFgyr_p	MTgyr_p
PUT	-0,3820	-0,3166	0,3846	0,0557	0,3913	-0,7028	-0,1093	-0,2378	-0,4105	-0,5793	-0,1907	-0,2134	-0,3014	0,5058	-0,0363	-0,3150	-0,1155	-0,1286	-0,0218	0,4052	0,1628	0,0807
PINS_v	-0,6619	-0,2563	-0,1453	-0,2606	-0,1246	-0,1153	-0,0495	-0,3922	-1,0279	-0,5545	-0,2030	0,0157	-0,3674	-0,0759	-0,0041	-0,3615	-0,4278	-0,6150	-0,0824	0,0745	0,0836	-0,1376
CERVM	0,0824	-0,2346	-0,8459	-0,2075	-0,5431	-0,5529	0,0224	-0,1338	-0,0589	-0,2045	-0,1391	-0,3282	-0,0839	-0,9044	-0,5618	-0,8998	-0,2624	-0,6730	-0,2386	-0,8389	-0,4680	-0,0490
THAL	0,0644	-0,3014	0,4964	0,4415	0,4046	-0,7477	0,0714	-0,0020	0,0628	-0,3884	-0,0687	0,0826	-0,0458	0,4409	-0,0133	-0,0724	0,1127	0,0379	0,0420	0,3712	0,1954	0,3281
CER7ab	-0,1310	-0,2947	0,0846	-0,1307	0,2139	-0,7967	0,2137	-0,1767	-0,0783	-0,5259	-0,3466	-0,0286	-0,5250	0,1646	-0,3020	-0,4998	-0,6217	-0,1738	0,0074	0,1085	0,1593	0,0736
CER5	0,2265	-0,3434	-0,3522	-0,0959	-0,3818	-0,7534	-0,1543	-0,0169	0,0935	-0,3738	-0,1618	-0,5772	-0,2731	-0,4886	-0,5758	-0,4907	-0,2200	-0,5304	-0,3898	-0,3876	-0,4516	-0,1458
ACcor_d	-0,7519	-0,4951	0,1428	-0,2611	0,3320	-0,6278	0,0875	-0,3467	-0,0551	-0,5238	-0,0015	-0,0400	-0,1840	0,2017	-0,0968	-0,7142	-0,4051	-0,1476	-0,2888	0,4876	-0,0207	-0,2775
CAUDNH_NACC	-0,1000	0,1143	-0,3742	-0,3498	-0,1607	-0,4179	0,0764	-0,1484	-0,7745	-0,5499	-0,1950	-0,2862	-0,6558	-0,4879	-0,2618	-0,7048	-0,3363	-0,6077	-0,0883	-0,0369	-0,0050	-0,0606
TP	-0,5652	-0,5397	-0,3024	-0,8141	-0,3306	-0,5925	-0,7408	-0,9597	-0,8952	-1,0830	-1,0321	-0,5801	-0,9376	-0,2689	-0,6234	-0,3955	-0,6534	-0,5331	-0,4823	-0,2602	-0,3022	-0,8664
DMPFcor_p	-0,1789	-0,5814	0,2620	-0,1866	0,2918	-0,5963	-0,1034	-0,5233	0,0171	-0,6861	-0,1603	-0,1483	-0,4955	0,4440	-0,1168	-0,0697	-0,2749	0,0472	-0,3189	0,3848	-0,0763	-0,6036
R_CERCR2	0,1889	-0,5924	-0,4156	-0,3961	-0,3679	-0,2620	-0,3961	-0,3325	-0,4333	-0,7801	-0,9147	-0,6197	-1,0785	-0,3739	-0,5706	-0,2403	-0,4226	-0,6787	-0,4886	-0,3106	-0,4765	-0,5777
CERCR1	0,3039	-0,2080	-0,0966	-0,0121	-0,2015	0,1143	-0,1482	-0,0902	-0,4324	-0,3528	-0,5769	-0,3854	-0,6681	-0,1040	-0,3290	0,1429	-0,4499	-0,5190	0,1227	-0,3339	0,0852	-0,0775
L_IFsul	0,2629	-0,1193	-0,2951	-0,1305	-0,2752	-0,0151	0,0687	-0,0941	0,0926	0,2011	0,2645	0,0084	0,3045	-0,2444	-0,3066	-0,0390	-0,1355	-0,3720	0,1866	-0,0360	-0,1822	-0,0785
MOTnet_vl	-0,3990	-0,1468	-0,3083	-0,5145	-0,2351	-0,2835	-0,0140	-0,4961	0,2750	-0,5543	-0,0268	-0,0898	-0,5605	-0,4059	-0,4509	-0,4823	-0,4431	-0,0974	-0,4452	-0,2203	-0,4813	-0,4692
CER7b	0,0313	-0,5150	0,1562	-0,3503	0,0256	-0,7536	-0,3022	-0,3056	-0,1223	-0,7130	-0,6090	-0,2318	-0,6334	0,2418	-0,4845	-0,3935	-0,5651	-0,1150	0,0471	0,3144	-0,0799	-0,4119
FUSgyr_m	0,1189	-0,1687	-1,0509	-0,4547	-0,7323	-0,1985	-0,0173	-0,2292	-0,3915	-0,4350	-0,3285	-0,1065	-0,1707	-0,9466	0,1346	0,1619	0,3029	-0,8678	-0,2357	-0,9717	-0,0609	-0,0845
CAUDN	-0,0260	-0,2493	0,1699	0,0585	0,2222	-0,5505	-0,0350	-0,0755	-0,5256	-0,3257	-0,2116	-0,3958	-0,3759	0,2312	-0,1878	-0,4259	-0,3648	-0,3896	0,0388	0,3476	0,0964	-0,0100
PINS_d	-0,6765	-0,2283	-0,0420	-0,5958	-0,1577	-0,2857	0,0173	-0,4902	-0,1385	-0,5437	-0,1429	-0,1952	-0,3152	-0,1966	-0,1805	-0,6124	-0,4626	-0,4591	-0,4448	-0,0806	-0,3943	-0,2813
PCcor_PRC	0,1186	0,1174	-0,0253	-0,0660	-0,1960	-0,2374	-0,0131	-0,1072	-0,3002	-0,3921	-0,4423	-0,3659	-0,6346	-0,3227	-0,4377	-0,4473	-0,2535	-0,2890	0,0504	-0,2659	-0,1202	-0,0707
L_IPlob	0,4081	0,1394	-0,1271	-0,1427	-0,3057	0,0374	-0,2029	-0,0710	-0,5088	-0,2321	-0,7044	-0,5684	-0,6010	-0,2342	-0,3505	0,0398	-0,0664	-0,5602	-0,2756	-0,2174	-0,2295	-0,2757
PCcor_d	-0,0366	-0,2914	0,1091	-0,2286	0,2443	-0,5723	-0,0131	-0,1910	-0,3141	-0,5224	-0,5534	0,1069	-0,6727	-0,0897	-0,1618	-0,4681	-0,0949	-0,1300	0,1087	-0,0949	0,2857	-0,1631
ITgyr	-0,2173	-0,4239	-0,0453	-0,4855	-0,0274	-0,0865	-0,4365	-0,6396	-0,4836	-1,2645	-0,8924	-0,4315	-0,9783	-0,0957	-0,4520	-0,4109	-0,5250	-0,2501	-0,4848	0,1621	-0,1088	-1,0565
SMgyr	-0,2965	-0,2316	0,0474	-0,0245	-0,2354	-0,2843	0,0077	0,0050	0,0825	-0,1375	0,2196	-0,0771	-0,1251	0,0398	-0,2626	-0,3265	-0,3376	-0,3367	0,0090	0,1112	0,0242	0,2101
MTgyr_a	-0,1037	0,0416	-0,1820	-0,5595	-0,1814	0,1138	-0,2803	-0,6474	-0,6853	-0,9516	-0,6602	-0,5455	-0,9085	-0,3036	-0,4008	-0,3538	-0,5045	-0,5282	-0,4419	-0,2186	0,1022	-0,8691
AMY_HIPP	-0,3370	-0,2753	-0,5929	-0,8038	-0,3756	0,0215	-0,3134	-0,5348	-0,7576	-1,0905	-0,5405	-0,4941	-0,5766	-0,8152	-0,3842	-0,6854	-0,4212	-0,7597	-0,3339	-0,4582	-0,0509	-0,5358
FEF	-0,2313	-0,2414	0,1546	-0,2317	-0,2463	-0,2792	-0,1646	-0,4016	-0,0360	-0,4055	-0,2764	-0,0148	-0,2898	0,0813	-0,7270	-0,2426	-0,6430	0,3216	0,0568	-0,1699	-0,5438	-0,2567
VISnet_md	0,3631	0,0302	-0,6857	-0,1841	-0,1781	-0,0323	0,3261	0,0781	0,0169	-0,1295	-0,1482	0,1308	-0,0842	-0,6170	0,6042	0,0467	0,5589	-0,5173	0,0111	-0,5058	0,1870	0,1128
OCCTgyr_l	0,1920	-0,2031	-0,2934	-0,1065	-0,4544	-0,1451	-0,3584	-0,3151	-0,4263	-0,6171	-0,6263	-0,3265	-0,8240	-0,4153	-0,5455	0,0330	-0,7504	-0,4959	-0,0271	-0,1990	-0,0787	-0,0193
CER6	0,3255	-0,3940	-0,2624	-0,0197	-0,2112	-0,3942	0,0370	0,0006	-0,1146	-0,4658	-0,3873	-0,1883	-0,5751	-0,1802	-0,4200	-0,3051	-0,4283	-0,6396	-0,2103	-0,2776	-0,1273	-0,0630
PVISnet_m	-0,4795	0,0238	-0,2401	-0,3247	-0,0197	0,0533	-0,0157	-0,2623	-0,5469	-0,5163	-0,3815	-0,1380	-0,4321	-0,0403	-0,1060	-0,0341	-0,1419	-0,3871	-0,2302	-0,2956	0,0509	-0,1288
R_IPlob	0,4796	0,0289	0,0289	0,2193	-0,2210	-0,0279	-0,2154	-0,0772	-0,1562	-0,6426	-0,3637	-0,3113	-0,5835	-0,0305	-0,1597	0,1817	-0,0777	-0,3063	-0,2097	0,1594	-0,0378	-0,0840
IMsul	0,0468	-0,1024	-0,1921	0,0939	-0,0505	-0,1802	0,1646	-0,2036	-0,1781	-0,2639	-0,2386	0,1384	-0,3659	-0,0702	-0,1278	-0,3138	-0,1376	-0,4555	0,1402	-0,0904	0,2485	0,2261
MVISnet_p	0,2371	0,3281	-0,1628	-0,1907	-0,0231	0,3122	0,2481	-0,0989	-0,5143	-0,0832	-0,0568	0,1529	0,0859	-0,0509	0,3320	0,1912	0,0596	-0,3934	0,2208	-0,2056	0,3938	0,0897
PGACcor	-0,5403	-0,2271	-0,3476	-0,2139	-0,0321	-0,6593	0,2077	-0,1258	-0,3169	-0,5465	0,1474	-0,2642	-0,3096	-0,3108	-0,2286	-0,5781	-0,5499	-0,4954	-0,6088	-0,0747	-0,0109	-0,3809
MVISnet_a	0,2940	0,1233	-0,9747	-0,4041	-0,4652	0,0189	0,2815	-0,0727	-0,2591	-0,0918	-0,0934	0,1246	0,1033	-0,7905	0,3259	0,1276	0,0961	-0,8597	0,0504	-0,7639	0,1962	0,0205
AINS_v_PIsul	-0,1443	-0,0304	-0,3082	-0,4681	-0,0905	-0,0368	-0,2864	-0,7613	-0,7728	-1,0281	-0,6172	-0,2994	-0,7401	-0,2011	-0,2002	-0,3769	-0,4892	-0,4790	-0,2548	-0,1492	0,1944	-0,6579
PRC_d	0,0476	0,1376	-0,4027	0,3031	-0,4585	-0,2281	-0,0270	0,2817	-0,2021	0,1059	-0,2455	-0,0936	-0,3083	-0,2226	-0,7060	0,0417	-0,5502	-0,5470	0,5416	-0,4376	0,0735	0,4518
LVISnet_a	-0,0029	-0,1118	-0,8255	-0,3143	-0,4803	0,0737	0,2029	-0,1743	-0,2494	-0,3143	-0,2852	0,1416	-0,2801	-0,4916	0,1192	0,1309	-0,1491	-0,5727	-0,0144	-0,9831	0,1150	-0,0653
R_MFgyr_p	0,1832	-0,1322	-0,1092	0,0051	-0,2356	-0,3540	0,0217	0,0019	-0,2284	-0,3831	-0,2802	0,2222	-0,5565	-0,2424	-0,2690	0,1213	-0,2711	-0,4012	0,0758	-0,0359	-0,0978	-0,1494
FUSgyr_l	0,2015	-0,2595	-0,3375	-0,0167	-0,7313	-0,1035	-0,3585	-0,3090	-0,2374	-0,4025	-0,3688	-0,1133	-0,2324	-0,1469	-0,0691	0,3641	-0,0138	-0,3844	-0,1853	-0,5637	-0,2084	0,0514
ORBcor	-0,1561	-0,1854	-0,4072	-0,3102	-0,1650	-0,4591	0,2374	-0,2722	-0,6492	-0,5453	-0,3647	-0,2869	-0,7435	-0,3159	-0,3526	-0,3268	-0,3200	-0,6378	-0,3990	-0,2427	-0,0959	-0,5024
VMPFcor	-0,2210	-0,1622	-0,5518	-0,4967	-0,4401	-0,6255	0,2154	-0,1172	-0,5956	-0,6865	-0,2291	-0,4127	0,2082	-0,7385	-0,5227	-0,5671	-0,5063	-0,7339	-0,5864	-0,5559	-0,1652	-0,4160
PVISnet_l	-0,8696	0,3588	-0,3620	-0,1921	-0,1505	0,3484	0,3161	0,0018	-0,5778	-0,1310	-0,1662	0,0999	-0,1244	-0,3024	0,1766	0,1888	-0,1059	-0,5152	0,2094	-0,4022	0,4049	0,2364
L_CERCR2	0,3588	-0,2266	-0,0664	0,0112	-0,0712	-0,2739	-0,2823	-0,1708	-0,3740	-0,4550	-0,5440	-0,3810	-0,4666	0,0088	-0,2578	0,1544	-0,3075	-0,5026	0,0771	-0,0036	0,0855	-0,0231
MOTnet_m	-0,3620	-0,0664	-0,6145	-0,5097	-0,1660	-0,0781	0,0047	-0,7208	-0,0212	-0,4920	-0,1983	-0,1711	-0,2715	-0,4625	-0,5985	-0,6101	-0,6724	0,1816	-0,1091	-0,5946	-0,1812	-0,1645
AUDnet	-0,1921	0,0112	-0,5097	-0,6912	-0,3706	-0,0480	0,1626	-0,3698	-0,2644	-0,3835	0,0549	-0,2694	-0,1528	-0,6019	-0,0075	-0,2716	-0,3924	-0,7335	-0,3147	-0,1318	-0,1328	-0,0109
PCsul	-0,1505	-0,0712	-0,1660	-0,3706	-0,3975	-0,2025	-0,0811	-0,3336	-0,1017	-0,2547	-0,0598	-0,0367	-0,1793	-0,0554	-0,6953	-0,4143	-0,5975	-0,1703	0,0579	-0,0976	-0,2996	-0,2140
CER9	0,3484	-0,2739	-0,0781	-0,0480	-0,2025	-0,7415	0,0622	-0,0930	-0,2616	-0,5950	-0,3110	-0,3256	-0,3460	-0,2417	-0,3717	-0,3096	-0,0738	-0,5270	-0,3243	-0,1115	-0,2257	0,0031
R_IPsul_PORB	0,3161	-0,2823	0,0047	0,1626	-0,0811	0,0622	-0,4015	-0,0610	-0,2349	0,0192	0,1908	-0,1303	0,0534	0,1594	-0,2934	0,2006	-0,1194	-0,2425	0,2733	0,1886	-0,1462	-0,1849
VLPFcor	0,0018	-0,1708	-0,7208	-0,3698	-0,3336	-0,0930	-0,0610	-0,7013	-0,3924	-0,0676	-0,0720	-0,3879	0,1878	-0,4616	-0,1674	0,0198	-0,3634	-0,7459	-0,2151	-0,2923	-0,0496	-0,5033
AINS_d	-0,5778	-0,3740	-0,0212	-0,2644	-0,1017	-0,2616	-0,2349	-0,3924	-0,6356	-0,3587	-0,1039	-0,2980	-0,2515	0,1331	-0,0934	-0,2426	-0,4553	-0,4037	-0,1571	0,2625	-0,2151	-0,3229
DMPFcor_a	-0,1310	-0,4550	-0,4920	-0,3835	-0,2547	-0,5950	0,0192	-0,0676	-0,3587	-0,5888	0,0503	-0,4163	-0,1737	-0,3684	-0,4092	-0,3200	-0,6015	-0,6534	-0,6513	-0,2696	0,0299	-0,7019
MFgyr_a	-0,1662	-0,5440	-0,1983	0,0549	-0,0598	-0,3110	0,1908	-0,0720	-0,1039	0,0503	-0,2881	0,0015	-0,1587	-0,0631	-0,4113	-0,1768	-0,5976	-0,4745	-0,1558	0,1485	-0,2406	-0,4075
R_IFsul	0,0999	-0,3810	-0,1711	-0,2694	-0,0367	-0,3256	-0,1303	-0,3879	-0,2980	-0,4163	0,0015	-0,3205	-0,2514	0,0862	-0,1213	-0,0092	-0,0996	-0,3277	0,0366	0,0420	-0,2783	-0,3577
FP_l	-0,1244	-0,4666	-0,2715	-0,1528	-0,1793	-0,3460	0,0534	0,1878	-0,2515	-0,1737	-0,1587	-0,2514	0,3337	-0,2461	-0,3806	-0,0887	-0,4952	-0,3839	-0,2726	-0,1531	-0,3096	-0,6657
MOTnet_dl	-0,3024	0,0088	-0,4625	-0,6019	-0,0554	-0,2417	0,1594	-0,4616	0,1331	-0,3684	-0,0631	0,0862	-0,2461	-0,5202	-0,3698	-0,6386	-0,4929	0,0498	-0,0774	-0,3094	-0,0750	-0,1737
DVIS	0,1766	-0,2578	-0,5985	-0,0075	-0,6953	-0,3717	-0,2934	-0,1674	-0,0934	-0,4092	-0,4113	-0,1213	-0,3806	-0,3698	0,0496	0,2352	0,0440	-0,5460	-0,2366	-0,6480	-0,4838	-0,1093
POsul	0,1888	0,1544	-0,6101	-0,2716	-0,4143	-0,3096	0,2006	0,0198	-0,2426	-0,3200	-0,1768	-0,0092	-0,0887	-0,6386	0,2352	-0,4611	0,0753	-0,5855	0,0579	-0,5350	0,0409	0,0953
LVISnet_p	-0,1059	-0,3075	-0,6724	-0,3924	-0,5975	-0,0738	-0,1194	-0,3634	-0,4553	-0,6015	-0,5976	-0,0996	-0,4952	-0,4929	0,0440	0,0753	-0,3229	-0,6462	-0,3449	-0,9486	-0,1442	-0,3030
SMOTcor	-0,5152	-0,5026	0,1816	-0,7335	-0,1703	-0,5270	-0,2425	-0,7459	-0,4037	-0,6534	-0,4745	-0,3277	-0,3839	0,0498	-0,5460	-0,5855	-0,6462	-0,1968	-0,2731	-0,2448	-0,4056	-0,3921
L_SFgyr_a	0,2094	0,0771	-0,1091	-0,3147	0,0579	-0,3243	0,2733	-0,2151	-0,1571	-0,6513	-0,1558	0,0366	-0,2726	-0,0774	-0,2366	0,0579	-0,3449	-0,2731	-0,3768	-0,0025	0,3729	-0,4798
SPlob	-0,4022	-0,0036	-0,5946	-0,1318	-0,0976	-0,1115	0,1886	-0,2923	0,2625	-0,2696	0,1485	0,0420	-0,1531	-0,3094	-0,6480	-0,5350	-0,9486	-0,2448	-0,0025	-0,3394	-0,1618	0,0290
L_IPsul_MFgyr_p	0,4049	0,0855	-0,1812	-0,1328	-0,2996	-0,2257	-0,1462	-0,0496	-0,2151	0,0299	-0,2406	-0,2783	-0,3096	-0,0750	-0,4838	0,0409	-0,1442	-0,4056	0,3729	-0,1618	-0,3874	-0,0574
MTgyr_p	0,2364	-0,0231	-0,1645	-0,0109	-0,2140	0,0031	-0,1849	-0,5033	-0,3229	-0,7019	-0,4075	-0,3577	-0,6657	-0,1737	-0,1093	0,0953	-0,3030	-0,3921	-0,4798	0,0290	-0,0574	-0,6596

Table S1.4 Effect of the 22q11.2 duplication on 2080 connections. Each value is the Beta estimate (z-scored) of the duplication control contrast.

	PUT	PINS_v	CERVM	THAL	CER7ab	CER5	ACcor_d	CAUDNH_N	TP	DMPFcor_p	R_CERCR2	CERCR1	L_IFsul	MOTnet_vl	CER7b	FUSgyr_m	CAUDN	PINS_d	PCcor_PRC	L_IPlob	PCcor_d	ITgyr
PUT	-0,0803	-0,0972	-0,1035	-0,2118	-0,0083	0,4558	0,2766	-0,2181	0,2250	-0,1262	-0,3882	-0,5084	0,9090	0,7015	-0,0972	0,3507	0,2317	0,2061	-0,2404	0,1103	-0,0628	0,6941
PINS_v	-0,0972	-0,3606	0,0784	0,0194	0,4101	1,0014	-0,2529	0,1157	0,0290	-0,4199	0,2308	-0,1004	0,6733	-0,2459	0,5719	0,6846	0,3677	0,0975	-0,2865	-0,0582	-0,4680	0,7867
CERVM	-0,1035	0,0784	0,0196	0,5806	0,4087	1,1711	0,4263	0,5458	0,4476	-0,2448	0,5746	-0,1625	0,4777	0,5023	0,3177	0,1213	0,4041	0,4019	-0,2500	0,3082	-0,1093	0,8246
THAL	-0,2118	0,0194	0,5806	-0,3802	0,3666	0,5565	0,5986	0,3025	0,6934	-0,4092	-0,0808	-0,3144	0,7501	0,8749	0,4850	0,4762	0,1891	0,3936	-0,2432	0,2270	-0,0153	0,9046
CER7ab	-0,0083	0,4101	0,4087	0,3666	0,2229	0,4141	0,3188	-0,1474	-0,1154	-0,1120	-0,1703	-0,1299	0,3510	0,2324	0,4553	0,5723	0,1955	0,3543	-0,2161	-0,1544	-0,0813	0,8061
CER5	0,4558	1,0014	1,1711	0,5565	0,4141	0,4605	0,5913	0,5900	0,3650	-0,1772	0,3630	-0,0026	0,5659	0,9983	0,2806	0,9500	0,3129	1,3203	-0,1132	-0,0618	-0,1322	1,0053
ACcor_d	0,2766	-0,2529	0,4263	0,5986	0,3188	0,5913	-0,4309	-0,1472	0,5156	-0,1536	-0,2324	-0,4576	0,7119	0,3737	0,4777	0,5513	0,2373	0,0434	-0,2734	0,1546	-0,2177	0,7516
CAUDNH_NACC	-0,2181	0,1157	0,5458	0,3025	-0,1474	0,5900	-0,1472	-0,5720	0,0578	-0,3013	0,0491	-0,4122	0,3498	-0,0189	-0,0836	0,9035	-0,3829	0,0495	0,2187	0,5228	-0,0327	0,1848
TP	0,2250	0,0290	0,4476	0,6934	-0,1154	0,3650	0,5156	0,0578	-0,4636	-0,1224	-0,7171	-0,3543	0,6022	0,1429	-0,2777	0,6800	0,2167	0,2375	-0,2391	-0,1408	0,3957	-0,1281
DMPFcor_p	-0,1262	-0,4199	-0,2448	-0,4092	-0,1120	-0,1772	-0,1536	-0,3013	-0,1224	0,0407	-0,7389	-0,6830	0,4370	0,0814	-0,3189	-0,3725	0,0707	-0,1759	-0,4404	-0,1764	-0,2007	-0,1741
R_CERCR2	-0,3882	0,2308	0,5746	-0,0808	-0,1703	0,3630	-0,2324	0,0491	-0,7171	-0,7389	0,2198	0,3460	0,2163	0,0187	-0,3920	0,4828	-0,1617	0,0642	-0,4663	-0,6635	-0,0538	-0,2185
CERCR1	-0,5084	-0,1004	-0,1625	-0,3144	-0,1299	-0,0026	-0,4576	-0,4122	-0,3543	-0,6830	0,3460	-0,3278	0,1188	-0,2245	-0,0837	-0,0487	-0,4197	-0,1115	-0,3155	-0,1425	-0,3860	-0,2525
L_IFsul	0,9090	0,6733	0,4777	0,7501	0,3510	0,5659	0,7119	0,3498	0,6022	0,4370	0,2163	0,1188	-0,5124	0,0933	0,1018	0,1590	1,2274	0,3418	0,1329	0,3099	0,3320	0,4659
MOTnet_vl	0,7015	-0,2459	0,5023	0,8749	0,2324	0,9983	0,3737	-0,0189	0,1429	0,0814	0,0187	-0,2245	0,0933	-0,2037	-0,1188	-0,0196	0,7564	-0,4204	-0,3698	-0,2683	-0,1824	0,3892
CER7b	-0,0972	0,5719	0,3177	0,4850	0,4553	0,2806	0,4777	-0,0836	-0,2777	-0,3189	-0,3920	-0,0837	0,1018	-0,1188	-0,5794	0,5561	0,0252	0,2514	-0,5831	-0,6980	-0,1451	0,1520
FUSgyr_m	0,3507	0,6846	0,1213	0,4762	0,5723	0,9500	0,5513	0,9035	0,6800	-0,3725	0,4828	-0,0487	0,1590	-0,0196	0,5561	0,1152	0,4253	0,7435	-0,5503	0,0231	-0,2596	1,2203
CAUDN	0,2317	0,3677	0,4041	0,1891	0,1955	0,3129	0,2373	-0,3829	0,2167	0,0707	-0,1617	-0,4197	1,2274	0,7564	0,0252	0,4253	0,0917	0,3352	-0,0934	0,3146	0,0722	0,3440
PINS_d	0,2061	0,0975	0,4019	0,3936	0,3543	1,3203	0,0434	0,0495	0,2375	-0,1759	0,0642	-0,1115	0,3418	-0,4204	0,2514	0,7435	0,3352	-0,4650	-0,3362	-0,2132	-0,4949	0,7342
PCcor_PRC	-0,2404	-0,2865	-0,2500	-0,2432	-0,2161	-0,1132	-0,2734	0,2187	-0,2391	-0,4404	-0,4663	-0,3155	0,1329	-0,3698	-0,5831	-0,5503	-0,0934	-0,3362	0,2530	0,2219	0,3962	-0,3221
L_IPlob	0,1103	-0,0582	0,3082	0,2270	-0,1544	-0,0618	0,1546	0,5228	-0,1408	-0,1764	-0,6635	-0,1425	0,3099	-0,2683	-0,6980	0,0231	0,3146	-0,2132	0,2219	0,2694	0,4672	-0,4340
PCcor_d	-0,0628	-0,4680	-0,1093	-0,0153	-0,0813	-0,1322	-0,2177	-0,0327	0,3957	-0,2007	-0,0538	-0,3860	0,3320	-0,1824	-0,1451	-0,2596	0,0722	-0,4949	0,3962	0,4672	-0,1489	0,4258
ITgyr	0,6941	0,7867	0,8246	0,9046	0,8061	1,0053	0,7516	0,1848	-0,1281	-0,1741	-0,2185	-0,2525	0,4659	0,3892	0,1520	1,2203	0,3440	0,7342	-0,3221	-0,4340	0,4258	-0,2602
SMgyr	0,7331	0,2688	0,5122	0,9826	0,6369	0,8311	0,6690	0,0167	0,8261	-0,0066	0,1082	-0,1070	0,3095	-0,0154	0,5505	0,5562	0,8040	0,2314	-0,2105	-0,1496	-0,0554	1,1217
MTgyr_a	0,2067	0,1280	0,4553	0,6129	0,1495	0,6127	0,0555	0,3375	-0,5050	-0,4380	-0,5431	-0,1047	0,4426	-0,0247	-0,1971	0,4346	0,1620	0,1506	-0,0605	0,2217	0,3285	-0,5872
AMY_HIPP	-0,0928	-0,1885	-0,1874	0,2640	-0,2351	0,3638	0,0688	-0,0483	-0,1094	-0,5417	-0,1862	-0,5461	0,3391	-0,1757	-0,0639	0,5585	-0,2058	-0,0387	-0,2769	-0,0355	0,2040	0,8391
FEF	0,4474	0,3016	-0,0563	0,7958	0,2136	0,2483	0,5387	0,2118	0,4806	0,1945	-0,1372	-0,4322	0,2977	-0,3792	0,6402	-0,6073	0,7533	-0,2549	-0,2683	0,2119	0,1153	0,7813
VISnet_md	0,4785	0,3613	0,8535	0,6672	0,2457	0,8707	0,5808	0,8661	0,7152	0,4943	0,5665	0,0928	0,8266	0,1844	0,6281	0,6558	0,5993	0,1974	0,2637	0,6872	0,5192	1,0097
OCCTgyr_l	0,6912	0,6633	0,5656	0,9833	0,5430	0,5594	0,7366	0,3663	0,0867	-0,0295	0,0678	-0,2268	0,2312	-0,0400	-0,0245	0,5039	0,8195	0,4316	-0,0606	0,0906	0,5912	0,4704
CER6	-0,0331	1,0044	1,0638	0,3782	0,6522	1,0465	0,3585	0,3356	0,2371	-0,2854	0,0822	-0,4256	0,8793	0,7838	0,7537	1,1097	0,2254	0,9129	-0,2842	-0,0038	-0,0431	0,9962
PVISnet_m	0,8319	0,9048	0,8982	0,6420	0,6955	1,3502	0,6176	0,6031	0,3503	-0,1215	0,0490	-0,3404	0,1291	0,0906	0,6704	1,3323	0,5673	0,8029	-0,5859	-0,2250	-0,1178	1,0185
R_IPlob	0,4817	0,3076	0,6767	0,4238	0,4154	0,4358	0,5187	0,6791	0,6379	0,2005	0,0479	0,1820	0,8074	0,1135	-0,1520	0,1079	0,3968	0,2600	-0,3292	-0,2284	0,0634	0,1431
IMsul	0,4163	-0,0564	0,2641	0,5298	0,0440	0,5839	-0,0018	0,2358	0,5009	-0,2114	-0,0419	-0,6179	0,7686	-0,2838	0,2379	-0,1995	0,3819	-0,2957	-0,1647	0,6195	0,2611	0,7651
MVISnet_p	0,1081	0,5955	1,1524	0,2955	0,8251	1,4123	0,4009	0,8823	0,9514	0,5134	0,6462	0,3173	0,8764	0,5323	1,0230	0,9978	0,3364	0,5881	0,0819	0,8687	0,0288	1,6074
PGACcor	-0,1291	-0,2053	0,3980	-0,2357	-0,3453	0,6090	-0,5239	-0,1621	0,0389	-0,2494	-0,3492	-0,3381	0,7378	0,0829	-0,5783	0,3430	-0,1347	-0,0296	-0,1925	0,2119	-0,4096	-0,0663
MVISnet_a	0,4056	0,2966	0,8925	0,8776	0,5274	1,4446	0,7715	0,6383	0,7264	0,3016	0,6469	0,1173	0,8928	0,2682	0,8437	0,8249	0,6364	0,2364	0,0176	0,7184	0,4058	1,1367
AINS_v_PIsul	-0,0473	0,2407	-0,1686	0,1625	0,1058	0,2194	-0,1808	-0,2668	-1,0781	-0,3899	-0,3318	-0,3457	0,7575	-0,0603	0,0017	0,6831	0,1583	0,1471	-0,3837	-0,0537	0,1612	0,0051
PRC_d	0,5157	0,4533	0,4258	0,3738	0,2704	0,4673	0,0841	0,1632	0,3329	-0,4179	0,0222	-0,5544	0,7471	-0,2012	0,2054	-0,2487	0,3802	0,0823	-0,5948	0,4113	-0,0833	0,6836
LVISnet_a	0,5083	0,7883	1,0398	0,7201	0,9608	1,8763	0,6073	0,6626	0,9345	0,2065	1,1033	0,3346	0,6117	0,4249	1,3432	0,5749	0,7272	0,7134	-0,2037	0,4955	0,0677	1,4224
R_MFgyr_p	-0,0185	-0,1910	-0,0533	-0,0930	-0,1387	-0,0833	-0,1748	-0,0590	0,1013	-0,0931	-0,5060	-0,4873	0,4122	-0,5057	-0,5714	-0,5432	-0,0752	-0,3533	-0,0910	0,1503	-0,1682	-0,2931
FUSgyr_l	0,7043	1,0174	1,1323	0,9446	0,7221	1,3205	0,8051	0,5864	0,7550	-0,0882	0,6106	0,0915	0,2968	0,0082	0,5678	1,0813	0,8017	0,6558	-0,0580	0,0320	0,5346	1,2742
ORBcor	0,4058	0,3365	0,5942	0,8731	0,5490	0,7441	0,2137	-0,3183	0,1198	0,3509	0,3673	0,3357	0,8283	0,1011	0,2231	0,8064	0,3410	0,2221	0,3845	0,4024	0,5078	0,0403
VMPFcor	-0,4478	-0,4567	0,2311	-0,0885	-0,5005	0,2959	-0,3972	0,0318	-0,2090	-0,5086	-0,5047	-0,2245	0,1912	-0,3689	-0,6291	0,1767	-0,5860	-0,4297	-0,0486	0,0571	-0,3235	-0,5103
PVISnet_l	0,5043	0,6205	1,2138	0,8468	0,8306	1,7684	0,3117	0,6563	0,7976	0,1893	0,7015	0,3465	0,5430	0,2664	1,1158	1,2162	0,5077	0,5349	-0,1730	0,4576	0,0314	1,4463
L_CERCR2	-0,0749	0,6681	0,5677	0,1716	0,2517	0,3949	0,2380	-0,0388	-0,2289	-0,3015	-0,4148	-0,0569	0,7768	0,5493	-0,1697	0,6457	-0,1969	0,6423	-0,3549	-0,2902	0,0458	-0,0293
MOTnet_m	0,6903	-0,2871	-0,0536	0,8001	-0,1871	0,4114	0,0659	0,4375	0,6764	0,0549	-0,1184	-0,4377	0,2349	-0,5971	0,1320	-0,0273	0,5705	-0,6826	0,1687	0,6354	0,3167	0,8676
AUDnet	0,3928	-0,6292	0,5514	0,6761	0,4790	1,3519	-0,0756	0,3549	0,1980	-0,3377	0,1852	0,0318	0,5412	-0,3626	0,0546	0,5837	0,4916	-0,2467	-0,1150	0,0762	-0,0967	0,6634
PCsul	0,8867	0,5242	-0,0202	0,9114	0,2313	0,3900	0,8368	0,0384	0,6223	0,0377	0,1367	-0,2491	0,1423	-0,4939	0,5072	-0,2281	0,9556	0,1714	-0,4323	0,0642	-0,0586	1,0253
CER9	-0,2914	0,7904	0,5007	-0,1413	-0,1256	0,4154	0,0630	0,3757	-0,1918	-0,3917	0,1461	0,1550	0,4622	0,5082	-0,3415	0,7842	-0,0001	0,7052	0,0889	0,2330	-0,4278	0,7962
R_IPsul_PORB	0,8513	0,6243	0,3502	0,4122	0,6227	0,5731	0,6300	0,1150	0,6108	0,2205	0,3698	-0,1476	0,7306	0,0382	0,3305	-0,2004	0,7871	0,3696	-0,3400	0,0406	-0,0318	0,6356
VLPFcor	0,4152	0,1442	0,1518	0,3516	-0,0528	0,5600	0,0503	0,0656	-0,3208	0,1144	-0,2432	-0,0467	0,4735	-0,0296	-0,2774	0,3342	0,7341	0,1098	0,1204	0,0506	0,2632	-0,1421
AINS_d	0,0789	0,1114	0,1183	-0,0297	0,4542	0,8039	-0,4278	-0,0839	-0,0124	-0,4343	0,2234	-0,1264	0,5491	0,1931	0,6263	0,6152	0,2458	0,3252	-0,3293	-0,3115	-0,4162	0,6280
DMPFcor_a	-0,1008	-0,2570	0,3518	-0,0873	-0,5374	0,1661	-0,2384	0,0766	-0,2572	-0,1906	-0,5449	-0,2686	0,6774	-0,2147	-0,8582	0,0812	0,2123	-0,1831	-0,1054	0,0933	-0,0894	-0,7671
MFgyr_a	0,3501	0,1426	0,5989	0,4839	0,2126	0,5810	-0,0975	0,2108	0,2554	0,0608	-0,0916	-0,1266	0,8986	0,0027	-0,0471	0,2881	0,5687	-0,0687	0,1066	0,3576	0,1722	0,1438
R_IFsul	0,2447	0,2908	0,0172	0,3107	0,5876	0,0724	0,4071	-0,1234	0,4566	0,0530	0,1479	-0,2288	0,2565	0,0726	0,3040	-0,6916	0,5056	0,0643	-0,4222	-0,1753	-0,0662	0,2911
FP_l	0,3882	0,3372	0,7368	0,5073	0,2699	0,8309	0,0809	-0,0724	0,2692	-0,2532	0,1130	0,0805	1,2054	0,1153	-0,0951	0,3658	0,0089	0,2391	0,1796	0,2562	0,2086	-0,2416
MOTnet_dl	1,0443	0,3165	0,0342	0,8621	0,4457	0,6066	0,7412	0,0992	0,6725	0,4187	0,0675	-0,2484	0,1260	-0,3494	0,5625	0,1368	0,8281	0,0305	-0,3538	0,2765	0,0131	1,0156
DVIS	0,4473	0,6182	0,2641	0,5377	0,2750	0,2820	0,5601	0,4988	0,4671	-0,2245	0,1115	-0,3858	0,4090	-0,1842	0,2292	-0,5109	0,5016	0,2479	-0,4219	0,0911	0,0589	1,0233
POsul	0,0070	-0,1655	0,1503	0,2320	0,0316	0,2882	0,0070	0,4455	0,4284	-0,2392	0,0718	-0,3069	0,3854	-0,2816	0,0006	-0,2212	0,1977	-0,3512	0,0346	0,6997	0,3300	0,6240
LVISnet_p	0,6579	0,6465	1,1533	0,8049	0,5804	1,1426	0,5712	0,6286	0,7551	0,1188	0,5680	0,1594	0,3860	0,0045	0,7005	0,7609	0,6529	0,4318	-0,1590	0,0875	0,2306	1,2041
SMOTcor	0,5452	-0,3120	0,1456	0,8315	0,0500	0,4088	0,4172	0,1226	0,6155	0,1341	-0,2903	-0,6974	0,3395	-0,3087	0,4932	0,1946	0,5962	-0,5904	-0,2787	0,0344	0,0133	0,7969
L_SFgyr_a	-0,1415	-0,2085	0,0668	0,0921	-0,4450	-0,1971	0,0067	0,3583	-0,0754	-0,0313	-0,9792	-0,5989	0,4048	-0,3603	-0,8071	-0,2071	0,0947	-0,2871	-0,0253	0,0802	0,3540	-0,6259
SPlob	0,9012	0,4631	-0,1105	0,9067	0,2023	0,5433	0,4137	0,0903	0,3027	-0,0699	0,1489	-0,3446	0,5121	-0,3565	0,4956	-0,2796	0,7756	-0,0181	-0,4486	0,2503	-0,1291	0,7815
L_IPsul_MFgyr_p	0,3108	0,2398	-0,0952	0,4363	-0,0468	-0,1053	0,4279	0,1604	0,1581	0,3083	-0,3197	-0,3366	0,3509	-0,3802	-0,2836	-0,4697	0,6842	-0,2116	-0,1409	0,4406	0,4185	0,2678
MTgyr_p	0,1769	-0,1856	0,6552	0,4999	0,2088	0,7674	-0,0303	0,2533	-0,1262	-0,3821	-0,0476	-0,0107	0,5415	-0,2994	-0,4087	0,2665	0,2670	-0,1221	0,0863	0,1810	0,4469	-0,1405

	SMgyr	MTgyr_a	AMY_HIPP	FEF	VISnet_md	OCCTgyr_l	CER6	PVISnet_m	R_IPlob	IMsul	MVISnet_p	PGACcor	MVISnet_a	AINS_v_PIsu	PRC_d	LVISnet_a	R_MFgyr_p	FUSgyr_l	ORBcor	VMPFcor	PVISnet_l
PUT	0,7331	0,2067	-0,0928	0,4474	0,4785	0,6912	-0,0331	0,8319	0,4817	0,4163	0,1081	-0,1291	0,4056	-0,0473	0,5157	0,5083	-0,0185	0,7043	0,4058	-0,4478	0,5043
PINS_v	0,2688	0,1280	-0,1885	0,3016	0,3613	0,6633	1,0044	0,9048	0,3076	-0,0564	0,5955	-0,2053	0,2966	0,2407	0,4533	0,7883	-0,1910	1,0174	0,3365	-0,4567	0,6205
CERVM	0,5122	0,4553	-0,1874	-0,0563	0,8535	0,5656	1,0638	0,8982	0,6767	0,2641	1,1524	0,3980	0,8925	-0,1686	0,4258	1,0398	-0,0533	1,1323	0,5942	0,2311	1,2138
THAL	0,9826	0,6129	0,2640	0,7958	0,6672	0,9833	0,3782	0,6420	0,4238	0,5298	0,2955	-0,2357	0,8776	0,1625	0,3738	0,7201	-0,0930	0,9446	0,8731	-0,0885	0,8468
CER7ab	0,6369	0,1495	-0,2351	0,2136	0,2457	0,5430	0,6522	0,6955	0,4154	0,0440	0,8251	-0,3453	0,5274	0,1058	0,2704	0,9608	-0,1387	0,7221	0,5490	-0,5005	0,8306
CER5	0,8311	0,6127	0,3638	0,2483	0,8707	0,5594	1,0465	1,3502	0,4358	0,5839	1,4123	0,6090	1,4446	0,2194	0,4673	1,8763	-0,0833	1,3205	0,7441	0,2959	1,7684
ACcor_d	0,6690	0,0555	0,0688	0,5387	0,5808	0,7366	0,3585	0,6176	0,5187	-0,0018	0,4009	-0,5239	0,7715	-0,1808	0,0841	0,6073	-0,1748	0,8051	0,2137	-0,3972	0,3117
CAUDNH_NACC	0,0167	0,3375	-0,0483	0,2118	0,8661	0,3663	0,3356	0,6031	0,6791	0,2358	0,8823	-0,1621	0,6383	-0,2668	0,1632	0,6626	-0,0590	0,5864	-0,3183	0,0318	0,6563
TP	0,8261	-0,5050	-0,1094	0,4806	0,7152	0,0867	0,2371	0,3503	0,6379	0,5009	0,9514	0,0389	0,7264	-1,0781	0,3329	0,9345	0,1013	0,7550	0,1198	-0,2090	0,7976
DMPFcor_p	-0,0066	-0,4380	-0,5417	0,1945	0,4943	-0,0295	-0,2854	-0,1215	0,2005	-0,2114	0,5134	-0,2494	0,3016	-0,3899	-0,4179	0,2065	-0,0931	-0,0882	0,3509	-0,5086	0,1893
R_CERCR2	0,1082	-0,5431	-0,1862	-0,1372	0,5665	0,0678	0,0822	0,0490	0,0479	-0,0419	0,6462	-0,3492	0,6469	-0,3318	0,0222	1,1033	-0,5060	0,6106	0,3673	-0,5047	0,7015
CERCR1	-0,1070	-0,1047	-0,5461	-0,4322	0,0928	-0,2268	-0,4256	-0,3404	0,1820	-0,6179	0,3173	-0,3381	0,1173	-0,3457	-0,5544	0,3346	-0,4873	0,0915	0,3357	-0,2245	0,3465
L_IFsul	0,3095	0,4426	0,3391	0,2977	0,8266	0,2312	0,8793	0,1291	0,8074	0,7686	0,8764	0,7378	0,8928	0,7575	0,7471	0,6117	0,4122	0,2968	0,8283	0,1912	0,5430
MOTnet_vl	-0,0154	-0,0247	-0,1757	-0,3792	0,1844	-0,0400	0,7838	0,0906	0,1135	-0,2838	0,5323	0,0829	0,2682	-0,0603	-0,2012	0,4249	-0,5057	0,0082	0,1011	-0,3689	0,2664
CER7b	0,5505	-0,1971	-0,0639	0,6402	0,6281	-0,0245	0,7537	0,6704	-0,1520	0,2379	1,0230	-0,5783	0,8437	0,0017	0,2054	1,3432	-0,5714	0,5678	0,2231	-0,6291	1,1158
FUSgyr_m	0,5562	0,4346	0,5585	-0,6073	0,6558	0,5039	1,1097	1,3323	0,1079	-0,1995	0,9978	0,3430	0,8249	0,6831	-0,2487	0,5749	-0,5432	1,0813	0,8064	0,1767	1,2162
CAUDN	0,8040	0,1620	-0,2058	0,7533	0,5993	0,8195	0,2254	0,5673	0,3968	0,3819	0,3364	-0,1347	0,6364	0,1583	0,3802	0,7272	-0,0752	0,8017	0,3410	-0,5860	0,5077
PINS_d	0,2314	0,1506	-0,0387	-0,2549	0,1974	0,4316	0,9129	0,8029	0,2600	-0,2957	0,5881	-0,0296	0,2364	0,1471	0,0823	0,7134	-0,3533	0,6558	0,2221	-0,4297	0,5349
PCcor_PRC	-0,2105	-0,0605	-0,2769	-0,2683	0,2637	-0,0606	-0,2842	-0,5859	-0,3292	-0,1647	0,0819	-0,1925	0,0176	-0,3837	-0,5948	-0,2037	-0,0910	-0,0580	0,3845	-0,0486	-0,1730
L_IPlob	-0,1496	0,2217	-0,0355	0,2119	0,6872	0,0906	-0,0038	-0,2250	-0,2284	0,6195	0,8687	0,2119	0,7184	-0,0537	0,4113	0,4955	0,1503	0,0320	0,4024	0,0571	0,4576
PCcor_d	-0,0554	0,3285	0,2040	0,1153	0,5192	0,5912	-0,0431	-0,1178	0,0634	0,2611	0,0288	-0,4096	0,4058	0,1612	-0,0833	0,0677	-0,1682	0,5346	0,5078	-0,3235	0,0314
ITgyr	1,1217	-0,5872	0,8391	0,7813	1,0097	0,4704	0,9962	1,0185	0,1431	0,7651	1,6074	-0,0663	1,1367	0,0051	0,6836	1,4224	-0,2931	1,2742	0,0403	-0,5103	1,4463
SMgyr	0,5621	0,3575	0,2088	0,4769	0,3077	0,4019	0,7619	1,0174	-0,0324	0,2106	0,7082	0,2520	0,6983	0,4783	0,3102	1,0628	-0,4238	0,4384	0,3998	-0,2729	0,8999
MTgyr_a	0,3575	-0,7161	-0,3772	0,0882	0,8328	0,0756	0,2587	0,0048	0,4136	0,1284	1,0729	-0,0567	0,5235	-0,5758	0,1532	0,4265	-0,1024	0,4360	0,0761	-0,3147	0,7441
AMY_HIPP	0,2088	-0,3772	0,0517	-0,0402	0,5374	0,2559	0,0635	0,2715	0,3740	0,0744	0,7417	-0,2843	0,2643	-0,3293	-0,0192	0,2416	-0,2724	0,7394	0,1630	-0,4039	0,4190
FEF	0,4769	0,0882	-0,0402	-0,4320	0,5605	0,4739	0,1699	0,0897	0,2916	0,5453	0,6723	0,2941	0,3234	0,3207	0,5538	-0,1696	-0,1327	-0,1611	0,7015	-0,1032	0,2833
VISnet_md	0,3077	0,8328	0,5374	0,5605	-0,6993	0,9893	0,6594	0,5132	1,0324	0,6583	-0,0454	0,3697	0,3244	0,6505	0,7609	0,0379	0,6215	1,1315	0,9860	0,3707	-0,0696
OCCTgyr_l	0,4019	0,0756	0,2559	0,4739	0,9893	0,0851	0,8821	0,5215	0,4242	0,5505	1,5313	0,3344	1,0873	0,5053	0,4171	1,2938	-0,0619	0,5879	0,5860	-0,2887	1,3941
CER6	0,7619	0,2587	0,0635	0,1699	0,6594	0,8821	0,8413	0,8203	0,7076	0,2836	1,0834	0,0625	1,1415	0,1267	0,4498	1,5651	-0,1528	1,3536	0,8795	-0,1595	1,1423
PVISnet_m	1,0174	0,0048	0,2715	0,0897	0,5132	0,5215	0,8203	-0,4111	0,1061	0,2907	0,5851	0,2181	0,5478	0,2820	-0,1913	0,8036	-0,2397	0,9104	0,5279	-0,2878	0,6058
R_IPlob	-0,0324	0,4136	0,3740	0,2916	1,0324	0,4242	0,7076	0,1061	-0,4152	0,1664	1,1091	0,1534	1,0114	0,2105	0,3040	0,7378	0,0420	0,2932	1,1438	0,0993	0,8144
IMsul	0,2106	0,1284	0,0744	0,5453	0,6583	0,5505	0,2836	0,2907	0,1664	0,2855	0,6097	-0,1512	0,5016	0,2801	0,7209	0,2466	-0,2862	0,4884	0,5761	-0,5582	0,3001
MVISnet_p	0,7082	1,0729	0,7417	0,6723	-0,0454	1,5313	1,0834	0,5851	1,1091	0,6097	-0,9981	0,2574	0,4615	0,7352	0,5970	0,4944	0,7072	1,4384	1,4969	0,3749	-0,2602
PGACcor	0,2520	-0,0567	-0,2843	0,2941	0,3697	0,3344	0,0625	0,2181	0,1534	-0,1512	0,2574	-0,8534	0,3470	-0,5777	-0,2597	0,4159	-0,2713	0,5446	-0,0363	-0,2859	0,4658
MVISnet_a	0,6983	0,5235	0,2643	0,3234	0,3244	1,0873	1,1415	0,5478	1,0114	0,5016	0,4615	0,3470	-0,5329	0,3009	0,7672	0,4667	0,3918	1,3122	0,8816	0,0790	0,3540
AINS_v_PIsul	0,4783	-0,5758	-0,3293	0,3207	0,6505	0,5053	0,1267	0,2820	0,2105	0,2801	0,7352	-0,5777	0,3009	-0,5116	0,1855	0,4712	-0,2173	0,7121	-0,2326	-0,7469	0,4994
PRC_d	0,3102	0,1532	-0,0192	0,5538	0,7609	0,4171	0,4498	-0,1913	0,3040	0,7209	0,5970	-0,2597	0,7672	0,1855	0,1123	0,1722	-0,2464	0,4003	0,7510	-0,3322	-0,0716
LVISnet_a	1,0628	0,4265	0,2416	-0,1696	0,0379	1,2938	1,5651	0,8036	0,7378	0,2466	0,4944	0,4159	0,4667	0,4712	0,1722	0,2757	-0,1114	1,6143	1,1297	-0,0066	0,9014
R_MFgyr_p	-0,4238	-0,1024	-0,2724	-0,1327	0,6215	-0,0619	-0,1528	-0,2397	0,0420	-0,2862	0,7072	-0,2713	0,3918	-0,2173	-0,2464	-0,1114	-0,5437	-0,2339	0,4214	-0,1203	0,2920
FUSgyr_l	0,4384	0,4360	0,7394	-0,1611	1,1315	0,5879	1,3536	0,9104	0,2932	0,4884	1,4384	0,5446	1,3122	0,7121	0,4003	1,6143	-0,2339	0,5619	0,8687	0,0204	1,7365
ORBcor	0,3998	0,0761	0,1630	0,7015	0,9860	0,5860	0,8795	0,5279	1,1438	0,5761	1,4969	-0,0363	0,8816	-0,2326	0,7510	1,1297	0,4214	0,8687	-0,5992	-0,5277	1,3371
VMPFcor	-0,2729	-0,3147	-0,4039	-0,1032	0,3707	-0,2887	-0,1595	-0,2878	0,0993	-0,5582	0,3749	-0,2859	0,0790	-0,7469	-0,3322	-0,0066	-0,1203	0,0204	-0,5277	-0,2137	0,3069
PVISnet_l	0,8999	0,7441	0,4190	0,2833	-0,0696	1,3941	1,1423	0,6058	0,8144	0,3001	-0,2602	0,4658	0,3540	0,4994	-0,0716	0,9014	0,2920	1,7365	1,3371	0,3069	-0,2154
L_CERCR2	0,3189	-0,0711	-0,0453	-0,0037	0,6604	0,3060	0,4070	0,2441	-0,0395	-0,2052	1,0030	-0,3112	0,9902	0,0438	-0,0874	1,2817	-0,6110	0,5777	0,6479	-0,4048	0,9965
MOTnet_m	0,1592	0,6353	-0,0239	-0,5074	0,6346	0,3614	0,2076	0,2571	0,3722	0,1026	0,7791	0,2610	0,0657	0,4915	0,3965	0,1036	-0,0958	0,3608	0,5849	-0,0721	0,3687
AUDnet	0,2180	0,4343	-0,3013	-0,1873	0,5644	0,4704	0,9305	0,4115	0,4547	-0,0295	0,6613	0,1248	0,4686	-0,1240	0,3703	0,7188	-0,1687	0,5202	0,4545	-0,2750	0,5178
PCsul	0,6376	0,2283	-0,0347	0,3270	0,5696	0,0798	0,5032	0,3370	-0,1631	0,3767	0,8031	0,1494	0,5649	0,5969	0,4485	0,4101	-0,4694	-0,0623	0,5048	-0,4263	0,5110
CER9	0,4674	0,7375	0,5206	0,0647	0,5731	0,7716	0,9551	0,9772	0,6899	0,1840	1,0228	0,3520	0,7096	0,3161	0,3305	1,2854	-0,1405	0,9619	1,1293	0,3715	1,2715
R_IPsul_PORB	0,1780	0,2262	0,0562	0,6102	0,7089	0,3136	0,7648	-0,0506	0,0308	0,5174	0,8567	0,0376	0,7174	0,5878	0,9135	0,5829	-0,0174	0,0218	1,1422	-0,4269	0,5231
VLPFcor	0,2412	0,0845	-0,0079	0,1647	0,6360	0,2158	0,3940	0,1228	0,5764	0,2641	0,7199	0,2996	0,4116	0,1175	0,4900	0,4144	0,2588	0,4015	0,1087	-0,3677	0,5953
AINS_d	0,6078	0,0278	-0,0744	0,2116	0,4112	0,5094	0,6354	0,8494	0,1216	-0,0179	0,3172	-0,3511	0,2595	0,3734	0,3052	0,6049	-0,3456	0,6859	0,1862	-0,5137	0,4914
DMPFcor_a	-0,0941	-0,1388	-0,4015	0,0182	0,5520	-0,1180	-0,1473	-0,2088	0,0704	-0,1651	0,6057	0,1716	0,4210	-0,6747	-0,3768	0,3544	-0,1166	0,0554	-0,1736	-0,6155	0,4847
MFgyr_a	0,3101	0,1935	0,1130	0,3112	0,6148	0,5180	0,4134	0,2720	0,5573	0,4533	0,7864	0,0685	0,7414	0,0652	0,3655	0,6005	0,2575	0,3804	0,6195	-0,1364	0,7148
R_IFsul	0,0617	0,2896	-0,3482	0,2936	0,5266	-0,0069	0,3970	-0,1995	0,2811	0,1498	0,5218	-0,0409	0,3163	0,5079	0,5562	0,0498	0,0403	-0,2509	0,5714	-0,4520	0,1079
FP_l	0,2971	0,1027	-0,0001	0,3339	0,8237	0,2855	0,5694	0,1030	0,4435	0,3929	0,9817	-0,0989	0,9942	-0,1348	0,3178	0,6504	0,1895	0,4088	0,1113	-0,2054	0,7358
MOTnet_dl	0,6902	0,3207	-0,1143	-0,2015	0,8377	0,5260	0,6445	0,9680	0,3716	-0,0334	0,8011	0,0817	0,6394	0,3601	0,1796	0,5804	-0,1351	0,7330	0,3060	-0,5772	0,8034
DVIS	0,1421	0,4091	0,2048	0,2181	1,0639	0,0630	0,4244	-0,2809	0,2905	0,3125	0,8649	0,0911	0,8967	0,6208	0,5405	-0,2463	-0,1255	-0,1110	0,9765	-0,1886	0,0149
POsul	-0,1477	0,3893	0,2916	-0,0680	0,3585	0,5311	0,2237	-0,0026	0,4653	0,1468	0,0031	-0,0157	0,0328	0,2194	0,0005	-0,0893	0,1920	0,5217	0,7511	0,0328	-0,2410
LVISnet_p	0,6334	0,4178	0,5082	-0,3510	0,6734	0,6368	0,7995	0,6655	0,3543	0,0854	0,9663	0,3458	0,8828	0,5268	-0,1379	0,5434	-0,1131	0,6868	0,9663	0,0493	1,3400
SMOTcor	0,3313	0,2030	-0,0039	-0,2393	0,5463	0,3598	0,1683	0,5889	0,2698	-0,1544	0,7385	-0,0584	0,3114	0,2741	0,1323	0,2475	-0,1378	0,2750	0,3942	-0,3231	0,4666
L_SFgyr_a	-0,1555	-0,2743	-0,3361	-0,2143	0,6675	-0,1455	-0,4399	-0,4072	0,2333	-0,0524	0,7628	0,0609	0,3938	-0,4081	-0,2743	0,0741	0,2789	-0,1478	0,1474	-0,1324	0,3226
SPlob	0,8654	0,1683	-0,2355	0,4125	0,4637	0,2556	0,6028	0,1981	0,2127	0,1880	0,9526	-0,0181	0,2827	0,2068	0,6135	0,1311	-0,3996	0,3705	0,4503	-0,4754	0,4279
L_IPsul_MFgyr_p	-0,0187	0,3534	-0,1179	-0,0264	0,7230	-0,0471	0,1232	-0,3670	0,5237	0,6286	0,7714	0,3327	0,5755	0,5255	0,6339	0,1338	0,2324	-0,2078	0,8533	-0,1945	0,2179
MTgyr_p	-0,1373	0,2768	-0,1582	-0,0411	0,8273	0,1831	0,4921	-0,1040	0,2975	0,1444	0,9685	0,0722	0,6983	-0,5061	0,2342	0,5388	0,1131	-0,0622	0,5370	-0,2959	0,5969

	L_CERCR2	MOTnet_m	AUDnet	PCsul	CER9	R_IPsul_POR	VLPFcor	AINS_d	DMPFcor_a	MFgyr_a	R_IFsul	FP_l	MOTnet_dl	DVIS	POsul	LVISnet_p	SMOTcor	L_SFgyr_a	SPlob	L_IPsul_MFg	MTgyr_p
PUT	-0,0749	0,6903	0,3928	0,8867	-0,2914	0,8513	0,4152	0,0789	-0,1008	0,3501	0,2447	0,3882	1,0443	0,4473	0,0070	0,6579	0,5452	-0,1415	0,9012	0,3108	0,1769
PINS_v	0,6681	-0,2871	-0,6292	0,5242	0,7904	0,6243	0,1442	0,1114	-0,2570	0,1426	0,2908	0,3372	0,3165	0,6182	-0,1655	0,6465	-0,3120	-0,2085	0,4631	0,2398	-0,1856
CERVM	0,5677	-0,0536	0,5514	-0,0202	0,5007	0,3502	0,1518	0,1183	0,3518	0,5989	0,0172	0,7368	0,0342	0,2641	0,1503	1,1533	0,1456	0,0668	-0,1105	-0,0952	0,6552
THAL	0,1716	0,8001	0,6761	0,9114	-0,1413	0,4122	0,3516	-0,0297	-0,0873	0,4839	0,3107	0,5073	0,8621	0,5377	0,2320	0,8049	0,8315	0,0921	0,9067	0,4363	0,4999
CER7ab	0,2517	-0,1871	0,4790	0,2313	-0,1256	0,6227	-0,0528	0,4542	-0,5374	0,2126	0,5876	0,2699	0,4457	0,2750	0,0316	0,5804	0,0500	-0,4450	0,2023	-0,0468	0,2088
CER5	0,3949	0,4114	1,3519	0,3900	0,4154	0,5731	0,5600	0,8039	0,1661	0,5810	0,0724	0,8309	0,6066	0,2820	0,2882	1,1426	0,4088	-0,1971	0,5433	-0,1053	0,7674
ACcor_d	0,2380	0,0659	-0,0756	0,8368	0,0630	0,6300	0,0503	-0,4278	-0,2384	-0,0975	0,4071	0,0809	0,7412	0,5601	0,0070	0,5712	0,4172	0,0067	0,4137	0,4279	-0,0303
CAUDNH_NACC	-0,0388	0,4375	0,3549	0,0384	0,3757	0,1150	0,0656	-0,0839	0,0766	0,2108	-0,1234	-0,0724	0,0992	0,4988	0,4455	0,6286	0,1226	0,3583	0,0903	0,1604	0,2533
TP	-0,2289	0,6764	0,1980	0,6223	-0,1918	0,6108	-0,3208	-0,0124	-0,2572	0,2554	0,4566	0,2692	0,6725	0,4671	0,4284	0,7551	0,6155	-0,0754	0,3027	0,1581	-0,1262
DMPFcor_p	-0,3015	0,0549	-0,3377	0,0377	-0,3917	0,2205	0,1144	-0,4343	-0,1906	0,0608	0,0530	-0,2532	0,4187	-0,2245	-0,2392	0,1188	0,1341	-0,0313	-0,0699	0,3083	-0,3821
R_CERCR2	-0,4148	-0,1184	0,1852	0,1367	0,1461	0,3698	-0,2432	0,2234	-0,5449	-0,0916	0,1479	0,1130	0,0675	0,1115	0,0718	0,5680	-0,2903	-0,9792	0,1489	-0,3197	-0,0476
CERCR1	-0,0569	-0,4377	0,0318	-0,2491	0,1550	-0,1476	-0,0467	-0,1264	-0,2686	-0,1266	-0,2288	0,0805	-0,2484	-0,3858	-0,3069	0,1594	-0,6974	-0,5989	-0,3446	-0,3366	-0,0107
L_IFsul	0,7768	0,2349	0,5412	0,1423	0,4622	0,7306	0,4735	0,5491	0,6774	0,8986	0,2565	1,2054	0,1260	0,4090	0,3854	0,3860	0,3395	0,4048	0,5121	0,3509	0,5415
MOTnet_vl	0,5493	-0,5971	-0,3626	-0,4939	0,5082	0,0382	-0,0296	0,1931	-0,2147	0,0027	0,0726	0,1153	-0,3494	-0,1842	-0,2816	0,0045	-0,3087	-0,3603	-0,3565	-0,3802	-0,2994
CER7b	-0,1697	0,1320	0,0546	0,5072	-0,3415	0,3305	-0,2774	0,6263	-0,8582	-0,0471	0,3040	-0,0951	0,5625	0,2292	0,0006	0,7005	0,4932	-0,8071	0,4956	-0,2836	-0,4087
FUSgyr_m	0,6457	-0,0273	0,5837	-0,2281	0,7842	-0,2004	0,3342	0,6152	0,0812	0,2881	-0,6916	0,3658	0,1368	-0,5109	-0,2212	0,7609	0,1946	-0,2071	-0,2796	-0,4697	0,2665
CAUDN	-0,1969	0,5705	0,4916	0,9556	-0,0001	0,7871	0,7341	0,2458	0,2123	0,5687	0,5056	0,0089	0,8281	0,5016	0,1977	0,6529	0,5962	0,0947	0,7756	0,6842	0,2670
PINS_d	0,6423	-0,6826	-0,2467	0,1714	0,7052	0,3696	0,1098	0,3252	-0,1831	-0,0687	0,0643	0,2391	0,0305	0,2479	-0,3512	0,4318	-0,5904	-0,2871	-0,0181	-0,2116	-0,1221
PCcor_PRC	-0,3549	0,1687	-0,1150	-0,4323	0,0889	-0,3400	0,1204	-0,3293	-0,1054	0,1066	-0,4222	0,1796	-0,3538	-0,4219	0,0346	-0,1590	-0,2787	-0,0253	-0,4486	-0,1409	0,0863
L_IPlob	-0,2902	0,6354	0,0762	0,0642	0,2330	0,0406	0,0506	-0,3115	0,0933	0,3576	-0,1753	0,2562	0,2765	0,0911	0,6997	0,0875	0,0344	0,0802	0,2503	0,4406	0,1810
PCcor_d	0,0458	0,3167	-0,0967	-0,0586	-0,4278	-0,0318	0,2632	-0,4162	-0,0894	0,1722	-0,0662	0,2086	0,0131	0,0589	0,3300	0,2306	0,0133	0,3540	-0,1291	0,4185	0,4469
ITgyr	-0,0293	0,8676	0,6634	1,0253	0,7962	0,6356	-0,1421	0,6280	-0,7671	0,1438	0,2911	-0,2416	1,0156	1,0233	0,6240	1,2041	0,7969	-0,6259	0,7815	0,2678	-0,1405
SMgyr	0,3189	0,1592	0,2180	0,6376	0,4674	0,1780	0,2412	0,6078	-0,0941	0,3101	0,0617	0,2971	0,6902	0,1421	-0,1477	0,6334	0,3313	-0,1555	0,8654	-0,0187	-0,1373
MTgyr_a	-0,0711	0,6353	0,4343	0,2283	0,7375	0,2262	0,0845	0,0278	-0,1388	0,1935	0,2896	0,1027	0,3207	0,4091	0,3893	0,4178	0,2030	-0,2743	0,1683	0,3534	0,2768
AMY_HIPP	-0,0453	-0,0239	-0,3013	-0,0347	0,5206	0,0562	-0,0079	-0,0744	-0,4015	0,1130	-0,3482	-0,0001	-0,1143	0,2048	0,2916	0,5082	-0,0039	-0,3361	-0,2355	-0,1179	-0,1582
FEF	-0,0037	-0,5074	-0,1873	0,3270	0,0647	0,6102	0,1647	0,2116	0,0182	0,3112	0,2936	0,3339	-0,2015	0,2181	-0,0680	-0,3510	-0,2393	-0,2143	0,4125	-0,0264	-0,0411
VISnet_md	0,6604	0,6346	0,5644	0,5696	0,5731	0,7089	0,6360	0,4112	0,5520	0,6148	0,5266	0,8237	0,8377	1,0639	0,3585	0,6734	0,5463	0,6675	0,4637	0,7230	0,8273
OCCTgyr_l	0,3060	0,3614	0,4704	0,0798	0,7716	0,3136	0,2158	0,5094	-0,1180	0,5180	-0,0069	0,2855	0,5260	0,0630	0,5311	0,6368	0,3598	-0,1455	0,2556	-0,0471	0,1831
CER6	0,4070	0,2076	0,9305	0,5032	0,9551	0,7648	0,3940	0,6354	-0,1473	0,4134	0,3970	0,5694	0,6445	0,4244	0,2237	0,7995	0,1683	-0,4399	0,6028	0,1232	0,4921
PVISnet_m	0,2441	0,2571	0,4115	0,3370	0,9772	-0,0506	0,1228	0,8494	-0,2088	0,2720	-0,1995	0,1030	0,9680	-0,2809	-0,0026	0,6655	0,5889	-0,4072	0,1981	-0,3670	-0,1040
R_IPlob	-0,0395	0,3722	0,4547	-0,1631	0,6899	0,0308	0,5764	0,1216	0,0704	0,5573	0,2811	0,4435	0,3716	0,2905	0,4653	0,3543	0,2698	0,2333	0,2127	0,5237	0,2975
IMsul	-0,2052	0,1026	-0,0295	0,3767	0,1840	0,5174	0,2641	-0,0179	-0,1651	0,4533	0,1498	0,3929	-0,0334	0,3125	0,1468	0,0854	-0,1544	-0,0524	0,1880	0,6286	0,1444
MVISnet_p	1,0030	0,7791	0,6613	0,8031	1,0228	0,8567	0,7199	0,3172	0,6057	0,7864	0,5218	0,9817	0,8011	0,8649	0,0031	0,9663	0,7385	0,7628	0,9526	0,7714	0,9685
PGACcor	-0,3112	0,2610	0,1248	0,1494	0,3520	0,0376	0,2996	-0,3511	0,1716	0,0685	-0,0409	-0,0989	0,0817	0,0911	-0,0157	0,3458	-0,0584	0,0609	-0,0181	0,3327	0,0722
MVISnet_a	0,9902	0,0657	0,4686	0,5649	0,7096	0,7174	0,4116	0,2595	0,4210	0,7414	0,3163	0,9942	0,6394	0,8967	0,0328	0,8828	0,3114	0,3938	0,2827	0,5755	0,6983
AINS_v_PIsul	0,0438	0,4915	-0,1240	0,5969	0,3161	0,5878	0,1175	0,3734	-0,6747	0,0652	0,5079	-0,1348	0,3601	0,6208	0,2194	0,5268	0,2741	-0,4081	0,2068	0,5255	-0,5061
PRC_d	-0,0874	0,3965	0,3703	0,4485	0,3305	0,9135	0,4900	0,3052	-0,3768	0,3655	0,5562	0,3178	0,1796	0,5405	0,0005	-0,1379	0,1323	-0,2743	0,6135	0,6339	0,2342
LVISnet_a	1,2817	0,1036	0,7188	0,4101	1,2854	0,5829	0,4144	0,6049	0,3544	0,6005	0,0498	0,6504	0,5804	-0,2463	-0,0893	0,5434	0,2475	0,0741	0,1311	0,1338	0,5388
R_MFgyr_p	-0,6110	-0,0958	-0,1687	-0,4694	-0,1405	-0,0174	0,2588	-0,3456	-0,1166	0,2575	0,0403	0,1895	-0,1351	-0,1255	0,1920	-0,1131	-0,1378	0,2789	-0,3996	0,2324	0,1131
FUSgyr_l	0,5777	0,3608	0,5202	-0,0623	0,9619	0,0218	0,4015	0,6859	0,0554	0,3804	-0,2509	0,4088	0,7330	-0,1110	0,5217	0,6868	0,2750	-0,1478	0,3705	-0,2078	-0,0622
ORBcor	0,6479	0,5849	0,4545	0,5048	1,1293	1,1422	0,1087	0,1862	-0,1736	0,6195	0,5714	0,1113	0,3060	0,9765	0,7511	0,9663	0,3942	0,1474	0,4503	0,8533	0,5370
VMPFcor	-0,4048	-0,0721	-0,2750	-0,4263	0,3715	-0,4269	-0,3677	-0,5137	-0,6155	-0,1364	-0,4520	-0,2054	-0,5772	-0,1886	0,0328	0,0493	-0,3231	-0,1324	-0,4754	-0,1945	-0,2959
PVISnet_l	0,9965	0,3687	0,5178	0,5110	1,2715	0,5231	0,5953	0,4914	0,4847	0,7148	0,1079	0,7358	0,8034	0,0149	-0,2410	1,3400	0,4666	0,3226	0,4279	0,2179	0,5969
L_CERCR2	-0,1920	-0,0029	0,5108	0,1736	0,0619	0,1010	0,3020	0,3956	-0,5369	0,0278	0,1892	0,0549	0,6199	0,0968	0,2135	0,5792	0,1505	-0,5650	-0,0097	0,1091	0,1494
MOTnet_m	-0,0029	-0,8077	0,0218	-0,2240	0,2901	0,3530	0,4075	0,0204	0,2385	0,1467	0,2030	0,2529	-0,7115	0,1658	0,0755	0,0853	-0,6565	-0,0402	-0,5349	0,1063	0,4747
AUDnet	0,5108	0,0218	-0,6165	-0,0151	1,1332	0,3864	0,2185	-0,2844	-0,0190	0,2410	0,3808	0,5536	0,0202	0,2894	0,0646	0,3685	-0,3682	-0,1739	0,1545	0,0890	0,0546
PCsul	0,1736	-0,2240	-0,0151	0,1745	0,0862	0,0613	0,3586	0,8844	-0,1335	0,2356	-0,1587	0,0828	0,0384	-0,1111	-0,0818	-0,0913	0,1368	-0,1823	0,7882	-0,2314	0,0421
CER9	0,0619	0,2901	1,1332	0,0862	-0,2122	0,4837	0,4861	0,4293	0,1915	0,4812	0,3602	0,8738	0,0932	0,2065	0,1317	1,0004	-0,1126	-0,2744	0,2614	-0,1274	1,0659
R_IPsul_PORB	0,1010	0,3530	0,3864	0,0613	0,4837	0,3829	0,5409	0,3821	-0,1241	0,5217	0,1674	0,2788	0,5716	0,2268	0,0229	-0,0169	0,3767	0,1119	0,7540	0,6925	0,2291
VLPFcor	0,3020	0,4075	0,2185	0,3586	0,4861	0,5409	-0,0625	0,0040	0,1828	0,4225	0,3507	0,2949	0,2017	0,3894	0,3802	0,3916	-0,0762	-0,1111	0,2694	0,4987	0,1280
AINS_d	0,3956	0,0204	-0,2844	0,8844	0,4293	0,3821	0,0040	-0,0004	-0,3279	-0,2651	0,0718	0,0577	0,5811	0,4165	-0,2291	0,6544	-0,1019	-0,3510	0,7555	0,0848	-0,4303
DMPFcor_a	-0,5369	0,2385	-0,0190	-0,1335	0,1915	-0,1241	0,1828	-0,3279	-0,3768	0,2138	-0,1081	-0,1484	-0,1548	-0,1218	0,1882	0,1304	-0,1888	0,2002	-0,2386	0,2825	-0,1463
MFgyr_a	0,0278	0,1467	0,2410	0,2356	0,4812	0,5217	0,4225	-0,2651	0,2138	-0,2289	0,6045	0,3742	0,3299	0,3276	0,4433	0,4302	0,0711	0,2074	0,2551	0,4418	0,0719
R_IFsul	0,1892	0,2030	0,3808	-0,1587	0,3602	0,1674	0,3507	0,0718	-0,1081	0,6045	-0,1369	0,2153	0,2219	-0,1082	-0,2180	-0,3020	0,1810	-0,0053	0,4506	0,1999	0,1105
FP_l	0,0549	0,2529	0,5536	0,0828	0,8738	0,2788	0,2949	0,0577	-0,1484	0,3742	0,2153	-0,5390	0,1987	0,3546	0,5660	0,5011	0,1153	0,2149	0,0980	0,4521	0,2175
MOTnet_dl	0,6199	-0,7115	0,0202	0,0384	0,0932	0,5716	0,2017	0,5811	-0,1548	0,3299	0,2219	0,1987	-0,8107	0,3478	0,0355	0,5471	0,1389	-0,0804	-0,0187	-0,0099	0,3470
DVIS	0,0968	0,1658	0,2894	-0,1111	0,2065	0,2268	0,3894	0,4165	-0,1218	0,3276	-0,1082	0,3546	0,3478	0,0143	0,2918	-0,8361	0,1564	-0,0856	0,2480	-0,1376	0,2169
POsul	0,2135	0,0755	0,0646	-0,0818	0,1317	0,0229	0,3802	-0,2291	0,1882	0,4433	-0,2180	0,5660	0,0355	0,2918	-0,2103	0,2403	-0,2312	0,3504	-0,2536	0,2723	0,4160
LVISnet_p	0,5792	0,0853	0,3685	-0,0913	1,0004	-0,0169	0,3916	0,6544	0,1304	0,4302	-0,3020	0,5011	0,5471	-0,8361	0,2403	-0,2973	0,2924	-0,0090	-0,1490	-0,2138	-0,0074
SMOTcor	0,1505	-0,6565	-0,3682	0,1368	-0,1126	0,3767	-0,0762	-0,1019	-0,1888	0,0711	0,1810	0,1153	0,1389	0,1564	-0,2312	0,2924	-0,5098	-0,2438	-0,0428	-0,0621	-0,2157
L_SFgyr_a	-0,5650	-0,0402	-0,1739	-0,1823	-0,2744	0,1119	-0,1111	-0,3510	0,2002	0,2074	-0,0053	0,2149	-0,0804	-0,0856	0,3504	-0,0090	-0,2438	-0,4609	-0,3008	0,1941	0,0262
SPlob	-0,0097	-0,5349	0,1545	0,7882	0,2614	0,7540	0,2694	0,7555	-0,2386	0,2551	0,4506	0,0980	-0,0187	0,2480	-0,2536	-0,1490	-0,0428	-0,3008	-0,3449	0,0611	0,1501
L_IPsul_MFgyr_p	0,1091	0,1063	0,0890	-0,2314	-0,1274	0,6925	0,4987	0,0848	0,2825	0,4418	0,1999	0,4521	-0,0099	-0,1376	0,2723	-0,2138	-0,0621	0,1941	0,0611	0,0505	0,7186
MTgyr_p	0,1494	0,4747	0,0546	0,0421	1,0659	0,2291	0,1280	-0,4303	-0,1463	0,0719	0,1105	0,2175	0,3470	0,2169	0,4160	-0,0074	-0,2157	0,0262	0,1501	0,7186	-0,0229

Table S1.5 Effect of ASD on 2080 connections. Each value is the Beta estimate (z-scored) of the ASD control contrast.

	PUT	PINS_v	CERVM	THAL	CER7ab	CER5	ACcor_d	CAUDNH_NACC	TP	DMPFcor_p	R_CERCR2	CERCR1	L_IFsul	MOTnet_vl	CER7b	FUSgyr_m	CAUDN	PINS_d	PCcor_PRC	L_IPlob	PCcor_d	ITgyr	SMgyr
PUT	-0,1519	0,0248	0,0284	0,0214	-0,1213	-0,0530	-0,1660	-0,0238	0,0691	-0,1919	-0,1334	-0,0825	-0,1091	0,0952	-0,1726	-0,0566	-0,0454	0,1345	-0,0123	-0,1085	-0,0867	0,0589	-0,0951
PINS_v	0,0248	-0,2391	-0,1159	0,0959	-0,2456	-0,0545	-0,0949	-0,1064	-0,1608	-0,2550	-0,1139	-0,1601	-0,1881	-0,0082	-0,1803	-0,0300	-0,0124	0,0025	-0,1758	-0,0918	-0,1672	-0,1273	-0,1825
CERVM	0,0284	-0,1159	-0,1247	0,0916	0,0258	-0,0847	-0,0756	-0,1682	0,0099	-0,0952	-0,0065	-0,1421	-0,1418	-0,0327	-0,0258	-0,0597	0,0850	0,0637	-0,1683	-0,1307	-0,0072	-0,1513	-0,0174
THAL	0,0214	0,0959	0,0916	-0,1900	0,0093	0,0892	-0,1226	-0,0164	0,1509	-0,1550	-0,0179	0,0615	-0,1016	0,2410	-0,0612	-0,0076	0,0043	0,2438	0,0414	-0,0063	-0,0844	0,1125	0,0775
CER7ab	-0,1213	-0,2456	0,0258	0,0093	-0,1640	0,0184	-0,0992	-0,2838	-0,2503	-0,1765	-0,1927	-0,2638	-0,1691	-0,1076	-0,2044	0,0216	-0,1748	-0,0059	-0,0248	-0,1645	-0,0102	-0,3806	-0,0269
CER5	-0,0530	-0,0545	-0,0847	0,0892	0,0184	-0,0546	-0,0916	-0,0247	0,0156	-0,1762	0,0099	0,0810	-0,1283	-0,1193	-0,0795	-0,0246	0,0588	-0,0046	-0,0355	-0,0604	0,0040	-0,0649	-0,0739
ACcor_d	-0,1660	-0,0949	-0,0756	-0,1226	-0,0992	-0,0916	-0,0540	-0,1600	-0,1796	-0,1636	-0,0681	-0,1424	-0,1575	0,0758	-0,1346	-0,2181	-0,0117	0,0160	-0,1506	-0,0968	-0,0742	-0,1973	-0,1195
CAUDNH_NACC	-0,0238	-0,1064	-0,1682	-0,0164	-0,2838	-0,0247	-0,1600	-0,0764	-0,1217	-0,1134	-0,1394	-0,0810	-0,0346	0,0236	-0,1610	0,0060	-0,1356	-0,0831	-0,1906	0,0006	-0,2468	-0,0248	-0,1006
TP	0,0691	-0,1608	0,0099	0,1509	-0,2503	0,0156	-0,1796	-0,1217	0,0978	-0,2575	-0,2449	-0,2011	-0,2549	-0,1527	-0,3992	-0,1032	0,0190	0,0585	0,0657	-0,3028	-0,1019	-0,1155	-0,1390
DMPFcor_p	-0,1919	-0,2550	-0,0952	-0,1550	-0,1765	-0,1762	-0,1636	-0,1134	-0,2575	-0,1411	-0,1375	-0,1005	-0,1896	-0,0803	-0,1963	-0,1584	-0,0820	-0,1066	0,0645	-0,1430	-0,0109	-0,2480	-0,1609
R_CERCR2	-0,1334	-0,1139	-0,0065	-0,0179	-0,1927	0,0099	-0,0681	-0,1394	-0,2449	-0,1375	-0,1712	0,0431	-0,0395	-0,0254	-0,1290	0,1141	-0,2323	-0,0157	-0,1395	-0,0423	-0,0385	-0,2375	0,0130
CERCR1	-0,0825	-0,1601	-0,1421	0,0615	-0,2638	0,0810	-0,1424	-0,0810	-0,2011	-0,1005	0,0431	-0,2108	-0,1035	0,0381	-0,1399	-0,0746	-0,1402	-0,0250	0,0130	0,0595	-0,0655	-0,1288	-0,1105
L_IFsul	-0,1091	-0,1881	-0,1418	-0,1016	-0,1691	-0,1283	-0,1575	-0,0346	-0,2549	-0,1896	-0,0395	-0,1035	-0,1721	-0,1061	-0,0434	-0,1186	-0,2184	-0,2186	0,0445	-0,0887	-0,0207	-0,1375	-0,2598
MOTnet_vl	0,0952	-0,0082	-0,0327	0,2410	-0,1076	-0,1193	0,0758	0,0236	-0,1527	-0,0803	-0,0254	0,0381	-0,1061	-0,2019	-0,1247	-0,0214	0,0343	-0,2284	-0,0284	-0,0785	0,0065	-0,1249	-0,2163
CER7b	-0,1726	-0,1803	-0,0258	-0,0612	-0,2044	-0,0795	-0,1346	-0,1610	-0,3992	-0,1963	-0,1290	-0,1399	-0,0434	-0,1247	-0,2093	-0,0099	-0,2220	-0,1165	0,0078	-0,1617	-0,1465	-0,2775	-0,1574
FUSgyr_m	-0,0566	-0,0300	-0,0597	-0,0076	0,0216	-0,0246	-0,2181	0,0060	-0,1032	-0,1584	0,1141	-0,0746	-0,1186	-0,0214	-0,0099	-0,1603	-0,0333	-0,0829	-0,1237	0,0112	-0,1963	-0,1060	-0,1598
CAUDN	-0,0454	-0,0124	0,0850	0,0043	-0,1748	0,0588	-0,0117	-0,1356	0,0190	-0,0820	-0,2323	-0,1402	-0,2184	0,0343	-0,2220	-0,0333	-0,1822	0,0910	-0,0995	-0,1384	-0,0596	-0,0230	-0,0763
PINS_d	0,1345	0,0025	0,0637	0,2438	-0,0059	-0,0046	0,0160	-0,0831	0,0585	-0,1066	-0,0157	-0,0250	-0,2186	-0,2284	-0,1165	-0,0829	0,0910	-0,2299	-0,0514	-0,1342	0,0316	-0,0611	-0,2003
PCcor_PRC	-0,0123	-0,1758	-0,1683	0,0414	-0,0248	-0,0355	-0,1506	-0,1906	0,0657	0,0645	-0,1395	0,0130	0,0445	-0,0284	0,0078	-0,1237	-0,0995	-0,0514	-0,2382	-0,0886	-0,1094	0,0556	0,0067
L_IPlob	-0,1085	-0,0918	-0,1307	-0,0063	-0,1645	-0,0604	-0,0968	0,0006	-0,3028	-0,1430	-0,0423	0,0595	-0,0887	-0,0785	-0,1617	0,0112	-0,1384	-0,1342	-0,0886	-0,0917	-0,0940	-0,1504	-0,0601
PCcor_d	-0,0867	-0,1672	-0,0072	-0,0844	-0,0102	0,0040	-0,0742	-0,2468	-0,1019	-0,0109	-0,0385	-0,0655	-0,0207	0,0065	-0,1465	-0,1963	-0,0596	0,0316	-0,1094	-0,0940	-0,1255	-0,1297	0,0195
ITgyr	0,0589	-0,1273	-0,1513	0,1125	-0,3806	-0,0649	-0,1973	-0,0248	-0,1155	-0,2480	-0,2375	-0,1288	-0,1375	-0,1249	-0,2775	-0,1060	-0,0230	-0,0611	0,0556	-0,1504	-0,1297	-0,0984	-0,2268
SMgyr	-0,0951	-0,1825	-0,0174	0,0775	-0,0269	-0,0739	-0,1195	-0,1006	-0,1390	-0,1609	0,0130	-0,1105	-0,2598	-0,2163	-0,1574	-0,1598	-0,0763	-0,2003	0,0067	-0,0601	0,0195	-0,2268	-0,2952
MTgyr_a	0,1212	-0,1408	-0,1899	0,2274	-0,2405	-0,0611	-0,1454	-0,1496	-0,0799	-0,2146	-0,1738	-0,0198	-0,1004	-0,1485	-0,2151	-0,0733	-0,0374	-0,0729	-0,2375	-0,3561	-0,2411	-0,0956	-0,1587
AMY_HIPP	0,0512	-0,1217	-0,0828	0,0635	-0,1740	-0,0500	-0,2522	-0,1688	0,0379	-0,1940	-0,1560	-0,1776	-0,1393	-0,0452	-0,1593	0,0061	-0,0577	0,0199	-0,1314	-0,1319	-0,1715	-0,0113	-0,1715
FEF	-0,0074	-0,1419	0,0106	0,1744	0,0420	0,0299	-0,1063	-0,0916	-0,0807	-0,1316	0,0946	0,0432	-0,1629	-0,2055	-0,1031	-0,0895	-0,0404	-0,0420	0,0754	0,0147	0,0513	-0,2012	-0,0215
VISnet_md	-0,0939	-0,2218	0,0165	0,1065	-0,0070	-0,0437	-0,0703	-0,0895	-0,1155	-0,0156	0,0051	-0,1920	-0,1754	-0,1752	-0,1803	-0,2741	-0,1480	-0,1906	0,0445	-0,0609	0,0243	-0,2314	-0,1182
OCCTgyr_l	-0,0081	-0,2261	-0,1833	0,1058	-0,3196	0,0300	-0,1940	-0,0383	-0,1766	-0,2344	-0,0986	-0,1237	-0,1295	-0,1627	-0,2743	-0,1085	-0,1158	-0,1353	0,1080	0,0467	-0,0693	-0,1418	-0,2130
CER6	-0,1838	-0,1384	-0,0137	0,0441	-0,2479	0,0358	-0,1786	-0,0830	-0,2045	-0,2103	-0,0850	-0,0607	-0,1918	0,0590	-0,2047	0,0790	-0,1235	-0,0385	-0,0841	-0,0285	-0,1041	-0,2173	-0,1225
PVISnet_m	-0,0232	-0,1599	-0,1142	0,0290	-0,1556	-0,0044	-0,1019	-0,1083	-0,1330	-0,0564	0,0075	-0,0972	-0,0045	0,0378	-0,1571	-0,0643	-0,1825	-0,0713	0,0513	0,0525	-0,0873	-0,0780	-0,1372
R_IPlob	-0,1661	-0,1976	-0,1839	-0,1018	-0,1541	-0,1054	-0,3089	-0,0539	-0,1119	-0,2210	-0,1379	-0,0202	-0,1198	-0,0701	-0,1546	-0,0768	-0,2037	-0,0901	0,0563	-0,2344	-0,1652	-0,0024	-0,1271
IMsul	0,0058	-0,1722	-0,0623	0,0978	-0,0407	-0,0096	-0,1086	-0,1607	-0,1436	-0,1955	-0,0476	-0,0802	-0,1278	-0,1479	-0,1665	-0,1449	0,0379	-0,0477	-0,0966	-0,1421	-0,0414	-0,2407	-0,0725
MVISnet_p	-0,1568	-0,1818	-0,0183	-0,0974	-0,0286	-0,0608	-0,1711	-0,2181	0,0319	-0,1420	-0,1517	-0,3251	-0,2158	0,0146	-0,1594	-0,1898	-0,2825	0,0234	0,0184	-0,1336	-0,0472	-0,1354	-0,0313
PGACcor	-0,0817	-0,0811	-0,0933	-0,1018	-0,1152	-0,0359	-0,0352	-0,0962	-0,2642	-0,0416	-0,0164	0,0144	0,0512	0,0803	-0,0107	0,0008	0,0070	-0,1054	-0,4463	-0,0910	-0,2128	-0,1287	-0,0746
MVISnet_a	-0,0108	-0,1696	-0,0638	0,0361	-0,0722	-0,0942	-0,0729	-0,1037	-0,1033	-0,0453	0,0275	-0,1595	-0,1811	-0,0462	-0,0948	-0,2388	-0,0692	-0,1455	-0,0918	-0,0793	-0,0851	-0,1486	-0,1073
AINS_v_PIsul	0,1224	-0,1089	-0,2182	0,1609	-0,3118	-0,1182	-0,1301	-0,1221	-0,2212	-0,2335	-0,1179	-0,1110	-0,0887	0,0089	-0,2147	-0,0835	0,0357	-0,0262	-0,1217	-0,1365	-0,1733	-0,0815	-0,1646
PRC_d	-0,1519	-0,1549	-0,2245	0,0048	-0,1410	-0,0799	-0,1997	-0,0945	-0,2465	-0,1739	-0,1475	-0,1442	-0,0852	-0,0955	-0,1997	-0,2221	-0,1532	-0,0457	-0,0055	-0,0567	0,0091	-0,2755	-0,0409
LVISnet_a	-0,0337	-0,0962	0,0546	0,0558	-0,0246	0,0363	-0,0676	-0,0996	-0,0753	-0,0417	0,0312	-0,1546	-0,1646	-0,0359	-0,1025	-0,2484	-0,0900	-0,0263	-0,0127	-0,0810	-0,0197	-0,1679	-0,0909
R_MFgyr_p	-0,2041	-0,1717	-0,1615	-0,1504	-0,0076	-0,1176	-0,2053	-0,1618	-0,1723	-0,1041	-0,0883	0,0293	-0,1223	-0,0647	-0,0789	-0,1076	-0,1810	-0,0574	0,0785	-0,1553	-0,1108	-0,1458	-0,0847
FUSgyr_l	-0,0344	-0,2175	-0,1074	0,0499	-0,2390	-0,0289	-0,1684	-0,0614	-0,1509	-0,2316	-0,0037	-0,1339	-0,1513	-0,1046	-0,2416	-0,1985	-0,1806	-0,1439	-0,0014	0,0298	-0,1247	-0,1996	-0,1911
ORBcor	-0,1080	-0,1186	-0,2519	-0,1358	-0,2521	-0,0839	-0,1638	0,0042	-0,3873	-0,1758	-0,1406	-0,0690	-0,0518	-0,0392	-0,1179	-0,0277	-0,0788	-0,1322	-0,1369	-0,1065	-0,2416	-0,1697	-0,1024
VMPFcor	-0,0918	-0,1725	-0,2914	-0,1285	-0,1850	-0,1087	-0,1313	-0,1103	-0,1582	-0,1370	-0,1482	-0,0084	0,0044	-0,0243	-0,0642	-0,0145	-0,0650	-0,1498	-0,4604	-0,1252	-0,3530	-0,0775	-0,0874
PVISnet_l	-0,0522	-0,1455	-0,0239	0,0431	-0,1128	0,0184	-0,1084	-0,1419	-0,0987	-0,1036	-0,0606	-0,2637	-0,1575	-0,0013	-0,1975	-0,2097	-0,1916	0,0426	0,0444	-0,0203	-0,0115	-0,1813	-0,0721
L_CERCR2	-0,2661	-0,2003	-0,0514	-0,0870	-0,3685	-0,0348	-0,2647	-0,0780	-0,2279	-0,1434	-0,1696	-0,0093	-0,1304	0,0325	-0,3585	0,1366	-0,2685	-0,0905	-0,0091	0,0109	-0,1748	-0,1617	-0,1851
MOTnet_m	0,2217	-0,0342	0,0642	0,3178	0,0869	0,1042	0,1295	-0,0128	-0,0129	-0,0435	0,0914	0,1318	-0,0544	-0,2832	-0,0386	0,0028	0,1481	-0,0403	-0,0124	0,0337	0,0673	-0,0932	-0,0458
AUDnet	0,1073	-0,0397	-0,0747	0,2866	-0,1346	-0,0540	0,0547	-0,0629	-0,1473	-0,1359	0,0400	0,0539	-0,1713	-0,1623	-0,1196	-0,1033	0,0188	-0,2266	-0,1377	-0,0387	-0,0642	-0,1278	-0,1713
PCsul	0,0546	-0,1826	-0,0286	0,1526	0,0512	0,0460	-0,0643	-0,0457	-0,1676	-0,1523	0,1244	0,0812	-0,1782	-0,3060	-0,0922	-0,1781	-0,0050	-0,1947	0,0797	0,0034	0,0340	-0,1585	-0,2334
CER9	-0,2506	-0,1557	-0,0946	-0,1798	-0,1441	-0,0290	-0,2259	-0,2795	-0,1500	-0,2066	-0,2686	-0,1874	-0,1251	-0,1255	-0,2846	0,0442	-0,1907	-0,0383	-0,2438	-0,2474	-0,1352	-0,2397	-0,0715
R_IPsul_PORB	-0,2884	-0,2088	-0,1140	-0,1815	-0,2034	-0,0756	-0,3211	-0,0580	-0,1440	-0,1067	-0,0793	-0,0887	-0,1918	-0,0458	-0,1384	-0,0832	-0,2689	-0,1015	0,2073	0,0298	-0,1199	-0,0498	-0,2696
VLPFcor	-0,0025	-0,1586	-0,0909	0,0028	-0,2496	-0,0117	-0,1354	-0,0279	-0,3412	-0,2046	0,0062	-0,0778	-0,1027	0,0604	-0,0711	-0,0373	-0,0561	-0,0713	0,0076	-0,0549	-0,2017	-0,1082	-0,1975
AINS_d	-0,0210	-0,0984	-0,0254	0,0480	-0,1436	-0,0123	-0,0910	-0,0661	-0,1581	-0,1667	-0,0112	-0,1576	-0,2503	0,0872	-0,1512	-0,0926	-0,0255	0,0338	-0,0590	-0,0670	-0,0997	-0,1429	-0,2211
DMPFcor_a	-0,0636	-0,0979	-0,1453	-0,0103	-0,3093	-0,1095	-0,1334	-0,1366	-0,2936	-0,1393	-0,1375	-0,0418	-0,0182	-0,0427	-0,1874	-0,1067	-0,1433	-0,0906	-0,3071	-0,2533	-0,2851	-0,1172	-0,1416
MFgyr_a	-0,3637	-0,1345	-0,1761	-0,1699	-0,3395	-0,1833	-0,1813	-0,0738	-0,4568	-0,1113	-0,1456	-0,2036	-0,1210	-0,0451	-0,2503	-0,0625	-0,3357	-0,1663	-0,0563	-0,0357	-0,1403	-0,2983	-0,2359
R_IFsul	-0,2095	-0,1875	-0,0164	-0,0707	-0,1140	0,0159	-0,2971	-0,0763	-0,1062	-0,2333	-0,0311	-0,0342	-0,2203	-0,0028	-0,1293	-0,0782	-0,1690	-0,0944	0,1867	-0,0066	-0,1112	-0,0481	-0,2849
FP_l	-0,2844	-0,1805	-0,2317	-0,1967	-0,2928	-0,1956	-0,1576	-0,0453	-0,2933	-0,1058	-0,1842	-0,1833	-0,1081	-0,0369	-0,1358	-0,0832	-0,2836	-0,1638	-0,1527	-0,0578	-0,2286	-0,1358	-0,1288
MOTnet_dl	0,1614	-0,0616	-0,0012	0,2216	0,0368	0,0215	0,0942	-0,0174	-0,1244	-0,1084	0,1176	0,1150	-0,1400	-0,2829	-0,0976	-0,0981	0,0806	-0,0651	0,0567	-0,0269	0,0937	-0,1809	-0,1333
DVIS	-0,1499	-0,2434	-0,1292	0,0410	-0,0853	0,0089	-0,2910	-0,0816	-0,1426	-0,2098	-0,0669	-0,2076	-0,1968	-0,1193	-0,2059	-0,2651	-0,2189	-0,1068	0,1716	-0,0063	-0,0449	-0,1720	-0,1110
POsul	-0,0582	-0,1368	-0,1395	0,0000	0,0383	-0,1343	-0,1300	-0,1144	-0,0958	0,0036	-0,0253	-0,0664	-0,0578	-0,0302	-0,0071	-0,2056	-0,1082	-0,1229	-0,1928	-0,1217	-0,0956	-0,1104	-0,0434
LVISnet_p	-0,0244	-0,1973	0,0238	0,2005	-0,0750	0,0628	-0,1019	-0,1136	-0,0825	-0,0805	0,0153	-0,1974	-0,0821	-0,1043	-0,2139	-0,2007	-0,1450	-0,0803	0,0774	-0,0180	0,0347	-0,2036	-0,0921
SMOTcor	0,0396	-0,1810	0,0108	0,1497	-0,0725	-0,0348	0,0108	-0,1501	-0,1819	-0,1330	0,0017	-0,0011	-0,2311	-0,2108	-0,2074	-0,1521	0,0756	-0,0298	0,0136	-0,1031	0,0646	-0,2348	-0,1343
L_SFgyr_a	-0,0281	-0,1531	-0,1955	-0,0217	-0,3117	-0,1799	-0,0781	-0,1230	-0,3915	-0,0206	-0,1547	0,0293	0,0401	-0,0855	-0,2458	-0,0884	-0,0268	-0,0789	0,0393	-0,0482	-0,0611	-0,1998	-0,0906
SPlob	0,0337	-0,2101	-0,0465	0,1911	-0,0693	0,0406	-0,0502	-0,0234	-0,2352	-0,2149	-0,0224	-0,0117	-0,1545	-0,2650	-0,1962	-0,0569	-0,0454	-0,1389	-0,1018	-0,0548	-0,0936	-0,2419	-0,1275
L_IPsul_MFgyr_p	-0,1079	-0,2097	-0,2159	-0,0855	-0,2359	-0,1246	-0,1649	-0,0362	-0,3420	-0,2796	-0,0237	-0,0399	-0,1260	-0,0641	-0,1874	-0,1612	-0,2015	-0,1359	0,0830	0,0334	-0,0202	-0,2102	-0,1390
MTgyr_p	0,0131	-0,2042	-0,1386	0,1643	-0,2772	-0,0420	-0,1363	-0,0792	-0,2362	-0,2276	-0,0303	-0,0064	-0,1443	-0,1392	-0,1937	-0,0870	-0,0572	-0,2355	-0,0431	-0,0746	-0,2035	-0,1809	-0,2262

	MTgyr_a	AMY_HIPP	FEF	VISnet_md	OCCTgyr_l	CER6	PVISnet_m	R_IPlob	IMsul	MVISnet_p	PGACcor	MVISnet_a	AINS_v_PIsul	PRC_d	LVISnet_a	R_MFgyr_p	FUSgyr_l	ORBcor	VMPFcor	PVISnet_l
PUT	0,1212	0,0512	-0,0074	-0,0939	-0,0081	-0,1838	-0,0232	-0,1661	0,0058	-0,1568	-0,0817	-0,0108	0,1224	-0,1519	-0,0337	-0,2041	-0,0344	-0,1080	-0,0918	-0,0522
PINS_v	-0,1408	-0,1217	-0,1419	-0,2218	-0,2261	-0,1384	-0,1599	-0,1976	-0,1722	-0,1818	-0,0811	-0,1696	-0,1089	-0,1549	-0,0962	-0,1717	-0,2175	-0,1186	-0,1725	-0,1455
CERVM	-0,1899	-0,0828	0,0106	0,0165	-0,1833	-0,0137	-0,1142	-0,1839	-0,0623	-0,0183	-0,0933	-0,0638	-0,2182	-0,2245	0,0546	-0,1615	-0,1074	-0,2519	-0,2914	-0,0239
THAL	0,2274	0,0635	0,1744	0,1065	0,1058	0,0441	0,0290	-0,1018	0,0978	-0,0974	-0,1018	0,0361	0,1609	0,0048	0,0558	-0,1504	0,0499	-0,1358	-0,1285	0,0431
CER7ab	-0,2405	-0,1740	0,0420	-0,0070	-0,3196	-0,2479	-0,1556	-0,1541	-0,0407	-0,0286	-0,1152	-0,0722	-0,3118	-0,1410	-0,0246	-0,0076	-0,2390	-0,2521	-0,1850	-0,1128
CER5	-0,0611	-0,0500	0,0299	-0,0437	0,0300	0,0358	-0,0044	-0,1054	-0,0096	-0,0608	-0,0359	-0,0942	-0,1182	-0,0799	0,0363	-0,1176	-0,0289	-0,0839	-0,1087	0,0184
ACcor_d	-0,1454	-0,2522	-0,1063	-0,0703	-0,1940	-0,1786	-0,1019	-0,3089	-0,1086	-0,1711	-0,0352	-0,0729	-0,1301	-0,1997	-0,0676	-0,2053	-0,1684	-0,1638	-0,1313	-0,1084
CAUDNH_NACC	-0,1496	-0,1688	-0,0916	-0,0895	-0,0383	-0,0830	-0,1083	-0,0539	-0,1607	-0,2181	-0,0962	-0,1037	-0,1221	-0,0945	-0,0996	-0,1618	-0,0614	0,0042	-0,1103	-0,1419
TP	-0,0799	0,0379	-0,0807	-0,1155	-0,1766	-0,2045	-0,1330	-0,1119	-0,1436	0,0319	-0,2642	-0,1033	-0,2212	-0,2465	-0,0753	-0,1723	-0,1509	-0,3873	-0,1582	-0,0987
DMPFcor_p	-0,2146	-0,1940	-0,1316	-0,0156	-0,2344	-0,2103	-0,0564	-0,2210	-0,1955	-0,1420	-0,0416	-0,0453	-0,2335	-0,1739	-0,0417	-0,1041	-0,2316	-0,1758	-0,1370	-0,1036
R_CERCR2	-0,1738	-0,1560	0,0946	0,0051	-0,0986	-0,0850	0,0075	-0,1379	-0,0476	-0,1517	-0,0164	0,0275	-0,1179	-0,1475	0,0312	-0,0883	-0,0037	-0,1406	-0,1482	-0,0606
CERCR1	-0,0198	-0,1776	0,0432	-0,1920	-0,1237	-0,0607	-0,0972	-0,0202	-0,0802	-0,3251	0,0144	-0,1595	-0,1110	-0,1442	-0,1546	0,0293	-0,1339	-0,0690	-0,0084	-0,2637
L_IFsul	-0,1004	-0,1393	-0,1629	-0,1754	-0,1295	-0,1918	-0,0045	-0,1198	-0,1278	-0,2158	0,0512	-0,1811	-0,0887	-0,0852	-0,1646	-0,1223	-0,1513	-0,0518	0,0044	-0,1575
MOTnet_vl	-0,1485	-0,0452	-0,2055	-0,1752	-0,1627	0,0590	0,0378	-0,0701	-0,1479	0,0146	0,0803	-0,0462	0,0089	-0,0955	-0,0359	-0,0647	-0,1046	-0,0392	-0,0243	-0,0013
CER7b	-0,2151	-0,1593	-0,1031	-0,1803	-0,2743	-0,2047	-0,1571	-0,1546	-0,1665	-0,1594	-0,0107	-0,0948	-0,2147	-0,1997	-0,1025	-0,0789	-0,2416	-0,1179	-0,0642	-0,1975
FUSgyr_m	-0,0733	0,0061	-0,0895	-0,2741	-0,1085	0,0790	-0,0643	-0,0768	-0,1449	-0,1898	0,0008	-0,2388	-0,0835	-0,2221	-0,2484	-0,1076	-0,1985	-0,0277	-0,0145	-0,2097
CAUDN	-0,0374	-0,0577	-0,0404	-0,1480	-0,1158	-0,1235	-0,1825	-0,2037	0,0379	-0,2825	0,0070	-0,0692	0,0357	-0,1532	-0,0900	-0,1810	-0,1806	-0,0788	-0,0650	-0,1916
PINS_d	-0,0729	0,0199	-0,0420	-0,1906	-0,1353	-0,0385	-0,0713	-0,0901	-0,0477	0,0234	-0,1054	-0,1455	-0,0262	-0,0457	-0,0263	-0,0574	-0,1439	-0,1322	-0,1498	0,0426
PCcor_PRC	-0,2375	-0,1314	0,0754	0,0445	0,1080	-0,0841	0,0513	0,0563	-0,0966	0,0184	-0,4463	-0,0918	-0,1217	-0,0055	-0,0127	0,0785	-0,0014	-0,1369	-0,4604	0,0444
L_IPlob	-0,3561	-0,1319	0,0147	-0,0609	0,0467	-0,0285	0,0525	-0,2344	-0,1421	-0,1336	-0,0910	-0,0793	-0,1365	-0,0567	-0,0810	-0,1553	0,0298	-0,1065	-0,1252	-0,0203
PCcor_d	-0,2411	-0,1715	0,0513	0,0243	-0,0693	-0,1041	-0,0873	-0,1652	-0,0414	-0,0472	-0,2128	-0,0851	-0,1733	0,0091	-0,0197	-0,1108	-0,1247	-0,2416	-0,3530	-0,0115
ITgyr	-0,0956	-0,0113	-0,2012	-0,2314	-0,1418	-0,2173	-0,0780	-0,0024	-0,2407	-0,1354	-0,1287	-0,1486	-0,0815	-0,2755	-0,1679	-0,1458	-0,1996	-0,1697	-0,0775	-0,1813
SMgyr	-0,1587	-0,1715	-0,0215	-0,1182	-0,2130	-0,1225	-0,1372	-0,1271	-0,0725	-0,0313	-0,0746	-0,1073	-0,1646	-0,0409	-0,0909	-0,0847	-0,1911	-0,1024	-0,0874	-0,0721
MTgyr_a	-0,1365	-0,0180	-0,0829	-0,2246	-0,0692	-0,0581	-0,0165	-0,0738	-0,3413	-0,0836	-0,3238	-0,2153	-0,1397	-0,3293	-0,1591	-0,1270	-0,1136	-0,2993	-0,3879	-0,0913
AMY_HIPP	-0,0180	-0,0591	0,0190	-0,0630	-0,1130	-0,1790	-0,1292	-0,0180	-0,1424	-0,0882	-0,2878	-0,0607	-0,1138	-0,2266	-0,0237	-0,0878	-0,0885	-0,2105	-0,2874	-0,1720
FEF	-0,0829	0,0190	-0,1085	-0,0222	-0,1147	0,0084	0,0181	-0,0415	-0,0281	-0,0237	-0,0291	-0,1044	-0,0720	0,0867	-0,0283	-0,1121	-0,1011	-0,0961	-0,0866	-0,0013
VISnet_md	-0,2246	-0,0630	-0,0222	-0,1155	-0,3074	-0,0691	-0,1217	-0,0736	0,0455	0,1269	-0,0353	-0,1039	-0,1233	-0,0501	-0,1904	0,0167	-0,3238	-0,1740	-0,1323	-0,0551
OCCTgyr_l	-0,0692	-0,1130	-0,1147	-0,3074	-0,1782	-0,1621	-0,2140	0,0872	-0,1602	-0,3033	0,0062	-0,2695	-0,1548	-0,2118	-0,3143	-0,0252	-0,2555	-0,0814	0,0501	-0,3113
CER6	-0,0581	-0,1790	0,0084	-0,0691	-0,1621	-0,0624	-0,0178	-0,0898	-0,0448	-0,1806	0,0178	-0,0350	-0,1127	-0,1518	0,0070	-0,1706	-0,0711	-0,0987	-0,0175	-0,0550
PVISnet_m	-0,0165	-0,1292	0,0181	-0,1217	-0,2140	-0,0178	-0,2556	0,0196	-0,0804	-0,1485	-0,0090	-0,1100	-0,0299	-0,0794	-0,0659	0,0033	-0,1192	-0,0202	-0,0039	-0,1373
R_IPlob	-0,0738	-0,0180	-0,0415	-0,0736	0,0872	-0,0898	0,0196	-0,0240	-0,1751	-0,1731	-0,2863	-0,0758	-0,0820	-0,1546	-0,0867	-0,1371	-0,0127	-0,0484	-0,0570	-0,0868
IMsul	-0,3413	-0,1424	-0,0281	0,0455	-0,1602	-0,0448	-0,0804	-0,1751	-0,0539	0,0254	-0,1316	-0,1110	-0,1719	-0,0251	-0,0240	-0,1854	-0,1155	-0,1716	-0,2016	-0,0328
MVISnet_p	-0,0836	-0,0882	-0,0237	0,1269	-0,3033	-0,1806	-0,1485	-0,1731	0,0254	-0,1036	-0,1331	0,0355	-0,0804	-0,1430	0,0098	-0,1238	-0,1933	-0,2816	-0,1962	-0,1036
PGACcor	-0,3238	-0,2878	-0,0291	-0,0353	0,0062	0,0178	-0,0090	-0,2863	-0,1316	-0,1331	-0,1396	0,0399	-0,0942	-0,1530	0,0517	-0,1431	-0,0132	0,0009	-0,2474	-0,0360
MVISnet_a	-0,2153	-0,0607	-0,1044	-0,1039	-0,2695	-0,0350	-0,1100	-0,0758	-0,1110	0,0355	0,0399	-0,1050	-0,1139	-0,1488	-0,1375	-0,1127	-0,2541	-0,1646	-0,1385	-0,0676
AINS_v_PIsul	-0,1397	-0,1138	-0,0720	-0,1233	-0,1548	-0,1127	-0,0299	-0,0820	-0,1719	-0,0804	-0,0942	-0,1139	-0,2303	-0,1681	-0,1132	-0,1287	-0,1446	-0,2082	-0,2327	-0,0728
PRC_d	-0,3293	-0,2266	0,0867	-0,0501	-0,2118	-0,1518	-0,0794	-0,1546	-0,0251	-0,1430	-0,1530	-0,1488	-0,1681	-0,0201	-0,1384	-0,0656	-0,2080	-0,1669	-0,2077	-0,1292
LVISnet_a	-0,1591	-0,0237	-0,0283	-0,1904	-0,3143	0,0070	-0,0659	-0,0867	-0,0240	0,0098	0,0517	-0,1375	-0,1132	-0,1384	-0,2892	-0,0185	-0,3070	-0,1728	-0,0621	-0,0852
R_MFgyr_p	-0,1270	-0,0878	-0,1121	0,0167	-0,0252	-0,1706	0,0033	-0,1371	-0,1854	-0,1238	-0,1431	-0,1127	-0,1287	-0,0656	-0,0185	-0,0537	-0,0789	-0,0956	-0,0943	-0,0410
FUSgyr_l	-0,1136	-0,0885	-0,1011	-0,3238	-0,2555	-0,0711	-0,1192	-0,0127	-0,1155	-0,1933	-0,0132	-0,2541	-0,1446	-0,2080	-0,3070	-0,0789	-0,2241	-0,0334	0,0307	-0,2292
ORBcor	-0,2993	-0,2105	-0,0961	-0,1740	-0,0814	-0,0987	-0,0202	-0,0484	-0,1716	-0,2816	0,0009	-0,1646	-0,2082	-0,1669	-0,1728	-0,0956	-0,0334	-0,0704	0,1066	-0,1556
VMPFcor	-0,3879	-0,2874	-0,0866	-0,1323	0,0501	-0,0175	-0,0039	-0,0570	-0,2016	-0,1962	-0,2474	-0,1385	-0,2327	-0,2077	-0,0621	-0,0943	0,0307	0,1066	-0,1626	-0,0955
PVISnet_l	-0,0913	-0,1720	-0,0013	-0,0551	-0,3113	-0,0550	-0,1373	-0,0868	-0,0328	-0,1036	-0,0360	-0,0676	-0,0728	-0,1292	-0,0852	-0,0410	-0,2292	-0,1556	-0,0955	-0,1980
L_CERCR2	0,0486	-0,0928	-0,0033	-0,1443	-0,1341	-0,1691	-0,0595	0,0360	-0,1381	-0,3140	-0,0387	-0,0168	-0,0942	-0,1287	-0,0572	0,0313	-0,0288	-0,0399	0,0762	-0,1737
MOTnet_m	-0,1077	0,1082	-0,0792	-0,0438	-0,0635	0,1708	-0,0279	0,0593	-0,0156	0,1235	0,0144	-0,0771	0,0014	0,0627	-0,0177	-0,0535	-0,0731	-0,0021	-0,0742	0,0471
AUDnet	-0,1712	-0,0780	-0,1119	-0,2838	-0,1907	0,0010	-0,0623	-0,1333	-0,1526	-0,1020	-0,0149	-0,2209	-0,0483	-0,0714	-0,1545	-0,1643	-0,1788	-0,0645	-0,1288	-0,0705
PCsul	-0,0863	-0,0862	-0,1235	-0,1561	-0,1652	0,0709	0,0307	0,0322	-0,1486	-0,0167	0,0076	-0,2055	-0,0912	-0,0405	-0,1508	-0,0907	-0,2776	-0,0017	-0,0013	-0,0456
CER9	-0,1786	-0,0840	0,0558	0,0332	-0,1136	-0,1567	-0,1182	-0,2340	-0,0583	-0,1030	-0,1764	-0,0733	-0,1996	-0,1453	-0,0061	-0,1759	-0,0471	-0,2136	-0,2294	-0,1114
R_IPsul_PORB	0,0317	-0,1255	-0,1004	-0,0906	-0,1000	-0,2052	-0,1449	0,0386	-0,0938	-0,1808	0,0055	-0,0111	-0,1085	0,0112	-0,0941	0,0191	-0,2015	0,0257	0,1069	-0,1584
VLPFcor	-0,1559	-0,1149	-0,1579	-0,1935	-0,1087	-0,0281	-0,0836	-0,0330	-0,2019	-0,2541	0,0647	-0,1232	-0,1885	-0,1617	-0,1385	-0,0407	-0,1736	-0,1240	-0,0677	-0,1363
AINS_d	-0,0693	-0,1203	-0,0710	-0,1573	-0,2244	-0,1028	-0,1383	-0,2182	-0,0283	-0,1536	0,0017	-0,0812	-0,0715	-0,1024	-0,0659	-0,1017	-0,2158	-0,1793	-0,1083	-0,1024
DMPFcor_a	-0,3332	-0,2024	-0,1189	-0,1615	-0,0791	-0,1031	0,0078	-0,1627	-0,2315	-0,1768	-0,3082	-0,1057	-0,2116	-0,3008	-0,0844	-0,0464	-0,0689	-0,1037	-0,2153	-0,0962
MFgyr_a	-0,2583	-0,2961	-0,1723	-0,1219	-0,2650	-0,2766	-0,0959	-0,2543	-0,1551	-0,2721	0,1489	-0,0749	-0,2518	-0,1274	-0,1190	-0,1726	-0,2001	-0,0887	0,0149	-0,1557
R_IFsul	0,1216	-0,0230	-0,1628	-0,0954	-0,0677	-0,0745	-0,0299	-0,0303	-0,1867	-0,1529	-0,0150	-0,0343	-0,0081	-0,0708	-0,0783	-0,0123	-0,1296	0,0069	0,0792	-0,1056
FP_l	-0,3126	-0,3056	-0,0972	-0,1377	-0,1952	-0,1675	-0,1288	-0,1718	-0,1366	-0,2418	0,0314	-0,0816	-0,3180	-0,1174	-0,1320	-0,1083	-0,1968	-0,0135	-0,0376	-0,1955
MOTnet_dl	-0,1178	-0,0307	-0,1495	-0,2155	-0,1746	0,1381	0,0063	0,0207	-0,1254	0,0367	0,0738	-0,1371	-0,0140	-0,0487	-0,1188	-0,0931	-0,2062	-0,0682	-0,0187	0,0007
DVIS	-0,0881	-0,0321	-0,0475	-0,1552	-0,1769	-0,1499	-0,0502	-0,0354	0,0026	-0,1530	-0,0834	-0,2077	-0,1162	-0,0768	-0,2557	-0,0232	-0,3105	-0,0510	-0,0220	-0,1891
POsul	-0,3520	-0,1590	0,0164	0,0128	-0,0916	-0,0485	-0,0368	-0,0749	-0,0978	0,0181	-0,2450	-0,0762	-0,1420	-0,0268	-0,0790	0,0154	-0,1666	-0,1418	-0,3789	-0,0013
LVISnet_p	-0,1620	-0,0173	0,0055	-0,1423	-0,2809	-0,0200	-0,0582	-0,0254	0,0704	-0,0025	-0,0281	-0,1527	-0,1420	-0,0689	-0,2107	0,0186	-0,3054	-0,1218	-0,0936	-0,1380
SMOTcor	-0,1210	-0,0830	-0,2104	-0,0624	-0,2368	-0,0550	-0,0738	-0,1500	-0,0882	-0,0072	-0,0388	-0,1351	-0,1208	-0,0882	-0,0134	-0,1292	-0,2462	-0,2387	-0,1692	-0,0076
L_SFgyr_a	-0,3407	-0,2282	-0,0532	-0,0472	-0,0516	-0,1532	0,0166	-0,0378	-0,1575	-0,1129	0,0256	-0,0682	-0,2083	-0,1121	-0,0633	-0,0371	-0,1045	-0,0923	-0,1145	-0,0408
SPlob	-0,1904	-0,1134	-0,0914	-0,0973	-0,2454	0,1114	-0,0862	-0,0809	-0,1651	-0,0322	-0,0884	-0,1142	-0,1329	-0,0876	-0,0782	-0,1723	-0,2047	-0,0262	-0,0566	-0,0800
L_IPsul_MFgyr_p	-0,2329	-0,1767	-0,1816	-0,1019	-0,1482	-0,1536	0,0040	-0,1475	-0,1418	-0,1872	0,0372	-0,1713	-0,1678	-0,0918	-0,2116	-0,2346	-0,1707	-0,1305	-0,0393	-0,1379
MTgyr_p	-0,1812	-0,0809	-0,1373	-0,3448	-0,1538	-0,0800	-0,0859	-0,0809	-0,3384	-0,2065	-0,0688	-0,2549	-0,1182	-0,2710	-0,2605	-0,1392	-0,1300	-0,1602	-0,1599	-0,1758

	L_CERCR2	MOTnet_m	AUDnet	PCsul	CER9	R_IPsul_PORB	VLPFcor	AINS_d	DMPFcor_a	MFgyr_a	R_IFsul	FP_l	MOTnet_dl	DVIS	POsul	LVISnet_p	SMOTcor	L_SFgyr_a	SPlob	L_IPsul_MFgyr_p	MTgyr_p
PUT	-0,2661	0,2217	0,1073	0,0546	-0,2506	-0,2884	-0,0025	-0,0210	-0,0636	-0,3637	-0,2095	-0,2844	0,1614	-0,1499	-0,0582	-0,0244	0,0396	-0,0281	0,0337	-0,1079	0,0131
PINS_v	-0,2003	-0,0342	-0,0397	-0,1826	-0,1557	-0,2088	-0,1586	-0,0984	-0,0979	-0,1345	-0,1875	-0,1805	-0,0616	-0,2434	-0,1368	-0,1973	-0,1810	-0,1531	-0,2101	-0,2097	-0,2042
CERVM	-0,0514	0,0642	-0,0747	-0,0286	-0,0946	-0,1140	-0,0909	-0,0254	-0,1453	-0,1761	-0,0164	-0,2317	-0,0012	-0,1292	-0,1395	0,0238	0,0108	-0,1955	-0,0465	-0,2159	-0,1386
THAL	-0,0870	0,3178	0,2866	0,1526	-0,1798	-0,1815	0,0028	0,0480	-0,0103	-0,1699	-0,0707	-0,1967	0,2216	0,0410	0,0000	0,2005	0,1497	-0,0217	0,1911	-0,0855	0,1643
CER7ab	-0,3685	0,0869	-0,1346	0,0512	-0,1441	-0,2034	-0,2496	-0,1436	-0,3093	-0,3395	-0,1140	-0,2928	0,0368	-0,0853	0,0383	-0,0750	-0,0725	-0,3117	-0,0693	-0,2359	-0,2772
CER5	-0,0348	0,1042	-0,0540	0,0460	-0,0290	-0,0756	-0,0117	-0,0123	-0,1095	-0,1833	0,0159	-0,1956	0,0215	0,0089	-0,1343	0,0628	-0,0348	-0,1799	0,0406	-0,1246	-0,0420
ACcor_d	-0,2647	0,1295	0,0547	-0,0643	-0,2259	-0,3211	-0,1354	-0,0910	-0,1334	-0,1813	-0,2971	-0,1576	0,0942	-0,2910	-0,1300	-0,1019	0,0108	-0,0781	-0,0502	-0,1649	-0,1363
CAUDNH_NACC	-0,0780	-0,0128	-0,0629	-0,0457	-0,2795	-0,0580	-0,0279	-0,0661	-0,1366	-0,0738	-0,0763	-0,0453	-0,0174	-0,0816	-0,1144	-0,1136	-0,1501	-0,1230	-0,0234	-0,0362	-0,0792
TP	-0,2279	-0,0129	-0,1473	-0,1676	-0,1500	-0,1440	-0,3412	-0,1581	-0,2936	-0,4568	-0,1062	-0,2933	-0,1244	-0,1426	-0,0958	-0,0825	-0,1819	-0,3915	-0,2352	-0,3420	-0,2362
DMPFcor_p	-0,1434	-0,0435	-0,1359	-0,1523	-0,2066	-0,1067	-0,2046	-0,1667	-0,1393	-0,1113	-0,2333	-0,1058	-0,1084	-0,2098	0,0036	-0,0805	-0,1330	-0,0206	-0,2149	-0,2796	-0,2276
R_CERCR2	-0,1696	0,0914	0,0400	0,1244	-0,2686	-0,0793	0,0062	-0,0112	-0,1375	-0,1456	-0,0311	-0,1842	0,1176	-0,0669	-0,0253	0,0153	0,0017	-0,1547	-0,0224	-0,0237	-0,0303
CERCR1	-0,0093	0,1318	0,0539	0,0812	-0,1874	-0,0887	-0,0778	-0,1576	-0,0418	-0,2036	-0,0342	-0,1833	0,1150	-0,2076	-0,0664	-0,1974	-0,0011	0,0293	-0,0117	-0,0399	-0,0064
L_IFsul	-0,1304	-0,0544	-0,1713	-0,1782	-0,1251	-0,1918	-0,1027	-0,2503	-0,0182	-0,1210	-0,2203	-0,1081	-0,1400	-0,1968	-0,0578	-0,0821	-0,2311	0,0401	-0,1545	-0,1260	-0,1443
MOTnet_vl	0,0325	-0,2832	-0,1623	-0,3060	-0,1255	-0,0458	0,0604	0,0872	-0,0427	-0,0451	-0,0028	-0,0369	-0,2829	-0,1193	-0,0302	-0,1043	-0,2108	-0,0855	-0,2650	-0,0641	-0,1392
CER7b	-0,3585	-0,0386	-0,1196	-0,0922	-0,2846	-0,1384	-0,0711	-0,1512	-0,1874	-0,2503	-0,1293	-0,1358	-0,0976	-0,2059	-0,0071	-0,2139	-0,2074	-0,2458	-0,1962	-0,1874	-0,1937
FUSgyr_m	0,1366	0,0028	-0,1033	-0,1781	0,0442	-0,0832	-0,0373	-0,0926	-0,1067	-0,0625	-0,0782	-0,0832	-0,0981	-0,2651	-0,2056	-0,2007	-0,1521	-0,0884	-0,0569	-0,1612	-0,0870
CAUDN	-0,2685	0,1481	0,0188	-0,0050	-0,1907	-0,2689	-0,0561	-0,0255	-0,1433	-0,3357	-0,1690	-0,2836	0,0806	-0,2189	-0,1082	-0,1450	0,0756	-0,0268	-0,0454	-0,2015	-0,0572
PINS_d	-0,0905	-0,0403	-0,2266	-0,1947	-0,0383	-0,1015	-0,0713	0,0338	-0,0906	-0,1663	-0,0944	-0,1638	-0,0651	-0,1068	-0,1229	-0,0803	-0,0298	-0,0789	-0,1389	-0,1359	-0,2355
PCcor_PRC	-0,0091	-0,0124	-0,1377	0,0797	-0,2438	0,2073	0,0076	-0,0590	-0,3071	-0,0563	0,1867	-0,1527	0,0567	0,1716	-0,1928	0,0774	0,0136	0,0393	-0,1018	0,0830	-0,0431
L_IPlob	0,0109	0,0337	-0,0387	0,0034	-0,2474	0,0298	-0,0549	-0,0670	-0,2533	-0,0357	-0,0066	-0,0578	-0,0269	-0,0063	-0,1217	-0,0180	-0,1031	-0,0482	-0,0548	0,0334	-0,0746
PCcor_d	-0,1748	0,0673	-0,0642	0,0340	-0,1352	-0,1199	-0,2017	-0,0997	-0,2851	-0,1403	-0,1112	-0,2286	0,0937	-0,0449	-0,0956	0,0347	0,0646	-0,0611	-0,0936	-0,0202	-0,2035
ITgyr	-0,1617	-0,0932	-0,1278	-0,1585	-0,2397	-0,0498	-0,1082	-0,1429	-0,1172	-0,2983	-0,0481	-0,1358	-0,1809	-0,1720	-0,1104	-0,2036	-0,2348	-0,1998	-0,2419	-0,2102	-0,1809
SMgyr	-0,1851	-0,0458	-0,1713	-0,2334	-0,0715	-0,2696	-0,1975	-0,2211	-0,1416	-0,2359	-0,2849	-0,1288	-0,1333	-0,1110	-0,0434	-0,0921	-0,1343	-0,0906	-0,1275	-0,1390	-0,2262
MTgyr_a	0,0486	-0,1077	-0,1712	-0,0863	-0,1786	0,0317	-0,1559	-0,0693	-0,3332	-0,2583	0,1216	-0,3126	-0,1178	-0,0881	-0,3520	-0,1620	-0,1210	-0,3407	-0,1904	-0,2329	-0,1812
AMY_HIPP	-0,0928	0,1082	-0,0780	-0,0862	-0,0840	-0,1255	-0,1149	-0,1203	-0,2024	-0,2961	-0,0230	-0,3056	-0,0307	-0,0321	-0,1590	-0,0173	-0,0830	-0,2282	-0,1134	-0,1767	-0,0809
FEF	-0,0033	-0,0792	-0,1119	-0,1235	0,0558	-0,1004	-0,1579	-0,0710	-0,1189	-0,1723	-0,1628	-0,0972	-0,1495	-0,0475	0,0164	0,0055	-0,2104	-0,0532	-0,0914	-0,1816	-0,1373
VISnet_md	-0,1443	-0,0438	-0,2838	-0,1561	0,0332	-0,0906	-0,1935	-0,1573	-0,1615	-0,1219	-0,0954	-0,1377	-0,2155	-0,1552	0,0128	-0,1423	-0,0624	-0,0472	-0,0973	-0,1019	-0,3448
OCCTgyr_l	-0,1341	-0,0635	-0,1907	-0,1652	-0,1136	-0,1000	-0,1087	-0,2244	-0,0791	-0,2650	-0,0677	-0,1952	-0,1746	-0,1769	-0,0916	-0,2809	-0,2368	-0,0516	-0,2454	-0,1482	-0,1538
CER6	-0,1691	0,1708	0,0010	0,0709	-0,1567	-0,2052	-0,0281	-0,1028	-0,1031	-0,2766	-0,0745	-0,1675	0,1381	-0,1499	-0,0485	-0,0200	-0,0550	-0,1532	0,1114	-0,1536	-0,0800
PVISnet_m	-0,0595	-0,0279	-0,0623	0,0307	-0,1182	-0,1449	-0,0836	-0,1383	0,0078	-0,0959	-0,0299	-0,1288	0,0063	-0,0502	-0,0368	-0,0582	-0,0738	0,0166	-0,0862	0,0040	-0,0859
R_IPlob	0,0360	0,0593	-0,1333	0,0322	-0,2340	0,0386	-0,0330	-0,2182	-0,1627	-0,2543	-0,0303	-0,1718	0,0207	-0,0354	-0,0749	-0,0254	-0,1500	-0,0378	-0,0809	-0,1475	-0,0809
IMsul	-0,1381	-0,0156	-0,1526	-0,1486	-0,0583	-0,0938	-0,2019	-0,0283	-0,2315	-0,1551	-0,1867	-0,1366	-0,1254	0,0026	-0,0978	0,0704	-0,0882	-0,1575	-0,1651	-0,1418	-0,3384
MVISnet_p	-0,3140	0,1235	-0,1020	-0,0167	-0,1030	-0,1808	-0,2541	-0,1536	-0,1768	-0,2721	-0,1529	-0,2418	0,0367	-0,1530	0,0181	-0,0025	-0,0072	-0,1129	-0,0322	-0,1872	-0,2065
PGACcor	-0,0387	0,0144	-0,0149	0,0076	-0,1764	0,0055	0,0647	0,0017	-0,3082	0,1489	-0,0150	0,0314	0,0738	-0,0834	-0,2450	-0,0281	-0,0388	0,0256	-0,0884	0,0372	-0,0688
MVISnet_a	-0,0168	-0,0771	-0,2209	-0,2055	-0,0733	-0,0111	-0,1232	-0,0812	-0,1057	-0,0749	-0,0343	-0,0816	-0,1371	-0,2077	-0,0762	-0,1527	-0,1351	-0,0682	-0,1142	-0,1713	-0,2549
AINS_v_PIsul	-0,0942	0,0014	-0,0483	-0,0912	-0,1996	-0,1085	-0,1885	-0,0715	-0,2116	-0,2518	-0,0081	-0,3180	-0,0140	-0,1162	-0,1420	-0,1420	-0,1208	-0,2083	-0,1329	-0,1678	-0,1182
PRC_d	-0,1287	0,0627	-0,0714	-0,0405	-0,1453	0,0112	-0,1617	-0,1024	-0,3008	-0,1274	-0,0708	-0,1174	-0,0487	-0,0768	-0,0268	-0,0689	-0,0882	-0,1121	-0,0876	-0,0918	-0,2710
LVISnet_a	-0,0572	-0,0177	-0,1545	-0,1508	-0,0061	-0,0941	-0,1385	-0,0659	-0,0844	-0,1190	-0,0783	-0,1320	-0,1188	-0,2557	-0,0790	-0,2107	-0,0134	-0,0633	-0,0782	-0,2116	-0,2605
R_MFgyr_p	0,0313	-0,0535	-0,1643	-0,0907	-0,1759	0,0191	-0,0407	-0,1017	-0,0464	-0,1726	-0,0123	-0,1083	-0,0931	-0,0232	0,0154	0,0186	-0,1292	-0,0371	-0,1723	-0,2346	-0,1392
FUSgyr_l	-0,0288	-0,0731	-0,1788	-0,2776	-0,0471	-0,2015	-0,1736	-0,2158	-0,0689	-0,2001	-0,1296	-0,1968	-0,2062	-0,3105	-0,1666	-0,3054	-0,2462	-0,1045	-0,2047	-0,1707	-0,1300
ORBcor	-0,0399	-0,0021	-0,0645	-0,0017	-0,2136	0,0257	-0,1240	-0,1793	-0,1037	-0,0887	0,0069	-0,0135	-0,0682	-0,0510	-0,1418	-0,1218	-0,2387	-0,0923	-0,0262	-0,1305	-0,1602
VMPFcor	0,0762	-0,0742	-0,1288	-0,0013	-0,2294	0,1069	-0,0677	-0,1083	-0,2153	0,0149	0,0792	-0,0376	-0,0187	-0,0220	-0,3789	-0,0936	-0,1692	-0,1145	-0,0566	-0,0393	-0,1599
PVISnet_l	-0,1737	0,0471	-0,0705	-0,0456	-0,1114	-0,1584	-0,1363	-0,1024	-0,0962	-0,1557	-0,1056	-0,1955	0,0007	-0,1891	-0,0013	-0,1380	-0,0076	-0,0408	-0,0800	-0,1379	-0,1758
L_CERCR2	-0,1576	0,1422	0,0202	0,0349	-0,3168	-0,1507	-0,0071	-0,2213	-0,0440	-0,2893	-0,1031	-0,1403	0,0897	-0,0971	-0,0078	-0,0867	-0,1260	-0,0334	-0,0027	-0,0816	0,0484
MOTnet_m	0,1422	-0,1895	-0,1642	-0,1192	0,1346	0,0610	0,0238	0,1405	-0,0335	0,0148	0,0131	0,0444	-0,2698	0,0291	-0,0309	-0,0577	-0,1019	-0,0890	-0,1281	-0,0698	-0,1797
AUDnet	0,0202	-0,1642	-0,2770	-0,2399	-0,1212	-0,1041	-0,0262	0,0773	-0,1226	-0,0979	-0,0674	-0,1748	-0,1859	-0,1747	-0,1655	-0,1976	-0,1307	-0,1224	-0,2075	-0,1190	-0,2304
PCsul	0,0349	-0,1192	-0,2399	-0,2596	0,0363	-0,0561	-0,0760	-0,1201	-0,0493	-0,1533	-0,1555	-0,0103	-0,1861	-0,0814	-0,0616	-0,1019	-0,2542	-0,0625	-0,1548	-0,1282	-0,2040
CER9	-0,3168	0,1346	-0,1212	0,0363	-0,1406	-0,1232	-0,1132	-0,0995	-0,2614	-0,2811	-0,0705	-0,2913	-0,0155	-0,0180	-0,1264	0,0056	-0,0705	-0,3659	-0,0167	-0,2338	-0,1547
R_IPsul_PORB	-0,1507	0,0610	-0,1041	-0,0561	-0,1232	-0,1356	-0,0788	-0,3407	0,0398	-0,2736	-0,3492	-0,0215	-0,0344	-0,1200	0,1112	-0,1391	-0,1950	0,1082	-0,0840	-0,1001	-0,1108
VLPFcor	-0,0071	0,0238	-0,0262	-0,0760	-0,1132	-0,0788	-0,2270	-0,2285	-0,0239	-0,1213	-0,1339	-0,1592	0,0300	-0,2060	-0,0812	-0,2265	-0,1577	0,0225	-0,1332	-0,1812	-0,1635
AINS_d	-0,2213	0,1405	0,0773	-0,1201	-0,0995	-0,3407	-0,2285	-0,2954	-0,0758	-0,2252	-0,3522	-0,2197	0,0475	-0,2673	-0,0526	-0,1839	0,0072	-0,0451	-0,0405	-0,1834	-0,1920
DMPFcor_a	-0,0440	-0,0335	-0,1226	-0,0493	-0,2614	0,0398	-0,0239	-0,0758	-0,1988	-0,0132	0,0335	-0,0912	-0,0237	-0,1606	-0,3589	-0,1216	-0,1338	-0,1056	-0,2013	-0,1210	-0,0870
MFgyr_a	-0,2893	0,0148	-0,0979	-0,1533	-0,2811	-0,2736	-0,1213	-0,2252	-0,0132	-0,0315	-0,3113	0,0010	-0,0532	-0,2522	-0,0200	-0,1614	-0,2102	0,0263	-0,1484	-0,1080	-0,2359
R_IFsul	-0,1031	0,0131	-0,0674	-0,1555	-0,0705	-0,3492	-0,1339	-0,3522	0,0335	-0,3113	-0,2739	-0,1816	-0,0484	-0,1852	0,0238	-0,0867	-0,1947	0,0619	-0,0972	-0,2177	0,0007
FP_l	-0,1403	0,0444	-0,1748	-0,0103	-0,2913	-0,0215	-0,1592	-0,2197	-0,0912	0,0010	-0,1816	-0,0085	-0,0208	-0,2302	-0,1024	-0,2190	-0,1252	-0,0180	-0,0514	-0,0997	-0,3107
MOTnet_dl	0,0897	-0,2698	-0,1859	-0,1861	-0,0155	-0,0344	0,0300	0,0475	-0,0237	-0,0532	-0,0484	-0,0208	-0,2374	-0,1324	-0,0311	-0,1696	-0,1266	-0,0925	-0,2362	-0,1173	-0,1975
DVIS	-0,0971	0,0291	-0,1747	-0,0814	-0,0180	-0,1200	-0,2060	-0,2673	-0,1606	-0,2522	-0,1852	-0,2302	-0,1324	-0,1696	0,0130	-0,0981	-0,2053	-0,0336	-0,0044	-0,1790	-0,2020
POsul	-0,0078	-0,0309	-0,1655	-0,0616	-0,1264	0,1112	-0,0812	-0,0526	-0,3589	-0,0200	0,0238	-0,1024	-0,0311	0,0130	-0,1275	-0,0255	-0,0871	-0,0543	-0,0648	-0,0289	-0,3003
LVISnet_p	-0,0867	-0,0577	-0,1976	-0,1019	0,0056	-0,1391	-0,2265	-0,1839	-0,1216	-0,1614	-0,0867	-0,2190	-0,1696	-0,0981	-0,0255	-0,2822	-0,0897	-0,0725	-0,1104	-0,0968	-0,2692
SMOTcor	-0,1260	-0,1019	-0,1307	-0,2542	-0,0705	-0,1950	-0,1577	0,0072	-0,1338	-0,2102	-0,1947	-0,1252	-0,1266	-0,2053	-0,0871	-0,0897	-0,2135	-0,0948	-0,2420	-0,2849	-0,2370
L_SFgyr_a	-0,0334	-0,0890	-0,1224	-0,0625	-0,3659	0,1082	0,0225	-0,0451	-0,1056	0,0263	0,0619	-0,0180	-0,0925	-0,0336	-0,0543	-0,0725	-0,0948	-0,1695	-0,2126	-0,0383	-0,0927
SPlob	-0,0027	-0,1281	-0,2075	-0,1548	-0,0167	-0,0840	-0,1332	-0,0405	-0,2013	-0,1484	-0,0972	-0,0514	-0,2362	-0,0044	-0,0648	-0,1104	-0,2420	-0,2126	-0,1296	-0,1459	-0,2841
L_IPsul_MFgyr_p	-0,0816	-0,0698	-0,1190	-0,1282	-0,2338	-0,1001	-0,1812	-0,1834	-0,1210	-0,1080	-0,2177	-0,0997	-0,1173	-0,1790	-0,0289	-0,0968	-0,2849	-0,0383	-0,1459	-0,1881	-0,2022
MTgyr_p	0,0484	-0,1797	-0,2304	-0,2040	-0,1547	-0,1108	-0,1635	-0,1920	-0,0870	-0,2359	0,0007	-0,3107	-0,1975	-0,2020	-0,3003	-0,2692	-0,2370	-0,0927	-0,2841	-0,2022	-0,1638

Table S1.6 Effect of SZ on 2080 connections. Each value is the Beta estimate (z-scored) of the SZ control contrast.

	PUT	PINS_v	CERVM	THAL	CER7ab	CER5	ACcor_d	CAUDNH_NACC	TP	DMPFcor_p	R_CERCR2	CERCR1	L_IFsul	MOTnet_vl	CER7b	FUSgyr_m	CAUDN	PINS_d	PCcor_PRC	L_IPlob	PCcor_d	ITgyr
PUT	-0,1506	0,0019	-0,2727	-0,1826	-0,4169	-0,3385	-0,3529	0,1211	-0,0500	-0,3483	-0,2978	-0,1974	-0,2394	-0,0027	-0,3988	-0,0837	0,0738	-0,0580	-0,1106	-0,1526	-0,2415	-0,2150
PINS_v	0,0019	-0,4110	-0,1179	0,0846	-0,2504	-0,0607	-0,4297	-0,2719	-0,2857	-0,2586	-0,0297	-0,0196	-0,3100	-0,3740	-0,2895	-0,1721	0,0592	-0,5513	-0,4314	-0,3310	-0,3500	-0,3212
CERVM	-0,2727	-0,1179	-0,0667	-0,1015	-0,3145	-0,1861	-0,4425	-0,0895	-0,2483	-0,4686	-0,1450	-0,0448	-0,3020	-0,0874	-0,2980	0,0005	-0,2036	-0,2341	-0,3554	-0,1853	-0,3830	-0,2110
THAL	-0,1826	0,0846	-0,1015	-0,2803	-0,3013	-0,3008	-0,3089	0,0247	0,0409	-0,3832	-0,3130	-0,3344	-0,0718	0,2796	-0,1998	0,1898	-0,2036	0,2113	-0,2885	-0,1180	-0,2654	-0,1033
CER7ab	-0,4169	-0,2504	-0,3145	-0,3013	-0,1432	-0,1460	-0,4341	-0,1363	-0,1442	-0,3952	0,0655	-0,0207	-0,3068	-0,0146	-0,0546	-0,2402	-0,2196	-0,3137	-0,3736	-0,2809	-0,3789	-0,1175
CER5	-0,3385	-0,0607	-0,1861	-0,3008	-0,1460	-0,1972	-0,4294	0,0501	-0,0820	-0,4694	-0,0432	0,0381	-0,3707	-0,0498	-0,1460	0,0668	-0,3324	-0,1134	-0,3366	-0,2801	-0,3712	-0,0361
ACcor_d	-0,3529	-0,4297	-0,4425	-0,3089	-0,4341	-0,4294	-0,2920	-0,2720	-0,4282	-0,2295	-0,3137	-0,2350	-0,2345	0,0262	-0,5246	-0,3359	-0,1123	-0,2633	-0,4955	-0,3612	-0,3251	-0,4603
CAUDNH_NACC	0,1211	-0,2719	-0,0895	0,0247	-0,1363	0,0501	-0,2720	-0,3302	-0,2827	-0,1249	0,1472	0,0225	-0,2209	-0,2531	-0,0035	-0,0804	0,1072	-0,3976	-0,0750	0,0101	-0,1662	-0,0310
TP	-0,0500	-0,2857	-0,2483	0,0409	-0,1442	-0,0820	-0,4282	-0,2827	0,0831	-0,3580	0,0013	-0,0343	-0,3047	-0,2191	-0,1809	-0,1901	-0,1415	-0,3675	-0,1177	-0,1672	-0,2355	-0,0980
DMPFcor_p	-0,3483	-0,2586	-0,4686	-0,3832	-0,3952	-0,4694	-0,2295	-0,1249	-0,3580	-0,1394	-0,2598	-0,1588	-0,0748	-0,0199	-0,2526	-0,2493	-0,2635	-0,2103	-0,3034	-0,2711	-0,1638	-0,3016
R_CERCR2	-0,2978	-0,0297	-0,1450	-0,3130	0,0655	-0,0432	-0,3137	0,1472	0,0013	-0,2598	-0,1292	0,1781	-0,0739	0,0763	0,0737	0,0914	-0,3396	-0,1150	-0,1331	-0,0958	-0,2703	0,0880
CERCR1	-0,1974	-0,0196	-0,0448	-0,3344	-0,0207	0,0381	-0,2350	0,0225	-0,0343	-0,1588	0,1781	-0,1931	-0,0158	0,2845	0,1974	0,1166	-0,2803	0,0240	-0,0750	0,0591	-0,1969	0,1334
L_IFsul	-0,2394	-0,3100	-0,3020	-0,0718	-0,3068	-0,3707	-0,2345	-0,2209	-0,3047	-0,0748	-0,0739	-0,0158	-0,1139	-0,1214	-0,3567	-0,2543	-0,2286	-0,2345	-0,2855	-0,1890	-0,0904	-0,4487
MOTnet_vl	-0,0027	-0,3740	-0,0874	0,2796	-0,0146	-0,0498	0,0262	-0,2531	-0,2191	-0,0199	0,0763	0,2845	-0,1214	-0,5537	-0,1323	-0,1826	0,0913	-0,4187	-0,1702	-0,1858	0,0282	-0,2984
CER7b	-0,3988	-0,2895	-0,2980	-0,1998	-0,0546	-0,1460	-0,5246	-0,0035	-0,1809	-0,2526	0,0737	0,1974	-0,3567	-0,1323	0,0098	-0,1535	-0,1924	-0,3395	-0,2819	-0,2650	-0,2324	-0,0596
FUSgyr_m	-0,0837	-0,1721	0,0005	0,1898	-0,2402	0,0668	-0,3359	-0,0804	-0,1901	-0,2493	0,0914	0,1166	-0,2543	-0,1826	-0,1535	-0,0807	-0,0067	-0,2916	-0,1493	-0,0836	-0,1677	-0,1505
CAUDN	0,0738	0,0592	-0,2036	-0,2036	-0,2196	-0,3324	-0,1123	0,1072	-0,1415	-0,2635	-0,3396	-0,2803	-0,2286	0,0913	-0,1924	-0,0067	0,2452	-0,0144	-0,0313	-0,2304	-0,1210	-0,1670
PINS_d	-0,0580	-0,5513	-0,2341	0,2113	-0,3137	-0,1134	-0,2633	-0,3976	-0,3675	-0,2103	-0,1150	0,0240	-0,2345	-0,4187	-0,3395	-0,2916	-0,0144	-0,4202	-0,3159	-0,3021	-0,1511	-0,4634
PCcor_PRC	-0,1106	-0,4314	-0,3554	-0,2885	-0,3736	-0,3366	-0,4955	-0,0750	-0,1177	-0,3034	-0,1331	-0,0750	-0,2855	-0,1702	-0,2819	-0,1493	-0,0313	-0,3159	-0,0579	-0,0015	-0,1850	-0,2142
L_IPlob	-0,1526	-0,3310	-0,1853	-0,1180	-0,2809	-0,2801	-0,3612	0,0101	-0,1672	-0,2711	-0,0958	0,0591	-0,1890	-0,1858	-0,2650	-0,0836	-0,2304	-0,3021	-0,0015	-0,0237	-0,0195	-0,2707
PCcor_d	-0,2415	-0,3500	-0,3830	-0,2654	-0,3789	-0,3712	-0,3251	-0,1662	-0,2355	-0,1638	-0,2703	-0,1969	-0,0904	0,0282	-0,2324	-0,1677	-0,1210	-0,1511	-0,1850	-0,0195	-0,1088	-0,2051
ITgyr	-0,2150	-0,3212	-0,2110	-0,1033	-0,1175	-0,0361	-0,4603	-0,0310	-0,0980	-0,3016	0,0880	0,1334	-0,4487	-0,2984	-0,0596	-0,1505	-0,1670	-0,4634	-0,2142	-0,2707	-0,2051	0,0363
SMgyr	-0,2377	-0,3738	-0,3183	0,0225	-0,3887	-0,2969	-0,2387	-0,4018	-0,4011	-0,1112	-0,1378	-0,0340	-0,0739	-0,1217	-0,4059	-0,2920	-0,0796	-0,2847	-0,3142	-0,1807	-0,1080	-0,4405
MTgyr_a	0,0008	-0,3853	-0,1833	-0,0133	-0,1957	-0,0594	-0,4949	-0,0457	-0,0662	-0,4101	0,1272	0,1342	-0,3906	-0,4528	-0,2503	-0,1714	0,0335	-0,5364	-0,0783	-0,1503	-0,2672	-0,1888
AMY_HIPP	0,0375	-0,3317	0,0642	0,2460	-0,2158	0,1000	-0,4521	-0,1560	-0,0215	-0,2447	0,0945	0,0064	-0,3457	-0,3714	-0,1957	-0,1505	-0,0013	-0,5129	-0,0350	-0,0958	-0,1498	-0,1587
FEF	-0,3572	-0,2813	-0,3708	-0,0185	-0,1851	-0,2657	-0,0732	-0,3009	-0,2849	0,0643	-0,1078	0,1536	-0,1200	-0,1506	-0,1278	-0,1960	-0,2333	-0,2994	-0,2856	-0,2117	-0,0968	-0,2780
VISnet_md	-0,1304	-0,3246	-0,2621	0,1018	-0,1582	-0,1579	-0,2504	-0,2142	-0,3808	-0,2443	0,0168	0,1011	-0,3081	-0,1453	-0,2202	-0,2684	-0,0479	-0,2254	0,0171	-0,0071	-0,0907	-0,3320
OCCTgyr_l	-0,1142	-0,1777	-0,1494	0,0299	-0,1182	0,0087	-0,3807	-0,0627	-0,1353	-0,2871	0,1703	0,0735	-0,2522	-0,2268	-0,0587	-0,1024	-0,1673	-0,4109	-0,2918	-0,2184	-0,2404	-0,0469
CER6	-0,4382	-0,0738	-0,1731	-0,3890	-0,1133	-0,1017	-0,3778	0,0817	-0,1336	-0,3713	-0,0327	0,0797	-0,1735	0,1785	-0,0638	0,0441	-0,3537	-0,0378	-0,3351	-0,2069	-0,3720	-0,0722
PVISnet_m	-0,2725	-0,1754	-0,0856	-0,0889	-0,1507	-0,1010	-0,2533	0,0084	-0,2833	-0,2760	0,0162	0,1092	-0,1826	0,0666	-0,1289	-0,1506	-0,1550	-0,2062	-0,1204	-0,0605	-0,1618	-0,0729
R_IPlob	-0,2403	-0,3142	-0,2833	-0,2955	-0,3928	-0,3622	-0,5043	-0,0183	-0,2762	-0,3219	-0,2626	-0,0742	-0,3287	-0,1722	-0,2767	-0,1770	-0,1710	-0,2624	-0,0026	-0,0429	0,0017	-0,3212
IMsul	-0,2762	-0,5204	-0,3977	-0,1410	-0,2846	-0,2942	-0,2666	-0,3814	-0,3544	-0,1887	-0,1456	0,0580	-0,2575	-0,2270	-0,2882	-0,2440	-0,0936	-0,4279	-0,2478	-0,1451	-0,1456	-0,3451
MVISnet_p	-0,1839	-0,1045	-0,0818	-0,1009	-0,1222	-0,1413	-0,1565	-0,0680	-0,2091	-0,3293	-0,0593	-0,1435	-0,1815	0,2111	-0,0958	-0,0575	-0,1713	0,0528	-0,1143	-0,0265	-0,1454	-0,1553
PGACcor	-0,1141	-0,3561	-0,3140	-0,3785	-0,3706	-0,2804	-0,4659	-0,1650	-0,1645	-0,3197	-0,1677	-0,1394	-0,2798	-0,1956	-0,2856	-0,2366	-0,0313	-0,3342	-0,2652	-0,1444	-0,2944	-0,2024
MVISnet_a	-0,1523	-0,3779	-0,1292	0,1311	-0,2374	-0,0957	-0,3507	-0,2405	-0,3388	-0,3694	-0,0060	0,0235	-0,3291	-0,1455	-0,3087	-0,3266	-0,1414	-0,2634	-0,1947	-0,1241	-0,1877	-0,3774
AINS_v_PIsul	0,0822	-0,3163	-0,1975	0,1102	-0,2415	-0,0849	-0,4671	-0,1623	-0,0810	-0,2740	0,0864	-0,0870	-0,2666	-0,2873	-0,2097	-0,3164	0,0565	-0,4717	-0,2366	-0,1338	-0,2939	-0,2363
PRC_d	-0,3263	-0,4062	-0,3078	-0,2281	-0,2385	-0,2960	-0,3757	-0,2788	-0,3080	-0,2190	-0,0905	-0,0221	-0,2444	-0,0405	-0,1721	-0,1251	-0,1633	-0,2835	-0,2717	-0,1037	-0,1637	-0,3240
LVISnet_a	-0,1410	-0,2087	-0,1042	0,0908	-0,1795	-0,0500	-0,2312	-0,1515	-0,3329	-0,2622	0,0143	-0,0046	-0,2188	-0,0219	-0,1814	-0,3003	-0,1195	-0,1514	-0,1274	-0,0801	-0,1295	-0,2962
R_MFgyr_p	-0,2638	-0,2708	-0,3652	-0,2132	-0,2784	-0,4380	-0,1829	0,0172	-0,1876	0,0049	-0,1891	0,0522	-0,0920	-0,0279	-0,1840	-0,1106	-0,1722	-0,2863	-0,1339	-0,1066	-0,0147	-0,1388
FUSgyr_l	-0,0252	-0,1358	0,0179	0,3007	-0,1013	0,0571	-0,2142	-0,0458	-0,1899	-0,1294	0,1865	0,2825	-0,1757	-0,1541	-0,0756	-0,1322	0,0506	-0,2657	-0,1446	-0,1232	-0,0959	-0,1449
ORBcor	-0,1940	-0,2770	-0,1516	-0,1039	-0,0987	0,0046	-0,2915	-0,3648	-0,3471	-0,0691	0,1809	-0,0079	-0,2136	-0,3515	-0,0157	-0,1155	-0,2145	-0,5310	-0,0651	0,0786	-0,1796	-0,0960
VMPFcor	-0,0210	-0,3919	-0,1580	-0,1078	-0,2476	-0,0310	-0,3376	-0,1911	-0,2513	-0,1883	0,0563	0,0861	-0,2842	-0,4141	-0,1895	-0,1399	-0,0034	-0,4807	-0,0416	-0,0285	-0,2685	-0,1938
PVISnet_l	-0,1782	-0,1141	-0,0871	-0,0860	-0,0580	-0,0634	-0,1582	-0,0316	-0,2208	-0,2618	0,0559	0,0144	-0,1575	0,1516	-0,0222	-0,0640	-0,1592	-0,0595	-0,0779	-0,0002	-0,1206	-0,0982
L_CERCR2	-0,3372	-0,0591	-0,2303	-0,4519	-0,1164	-0,1471	-0,4461	0,1748	-0,0030	-0,1741	-0,0642	0,0937	-0,1273	0,0781	-0,0264	0,0641	-0,3236	-0,1126	-0,0392	-0,0141	-0,1880	0,1236
MOTnet_m	-0,1443	-0,3959	-0,2039	0,1696	0,0378	0,0254	-0,0909	-0,2054	-0,1296	0,0309	0,1415	0,3894	-0,1172	-0,4378	0,0387	-0,2209	-0,0423	-0,5405	-0,1106	-0,1384	0,0420	-0,1916
AUDnet	0,1816	-0,4369	-0,1236	0,3380	-0,2385	-0,0142	-0,1694	-0,1574	-0,3114	-0,1315	0,0579	0,2051	-0,2113	-0,3440	-0,3308	-0,1881	0,2770	-0,5658	-0,2329	-0,2118	-0,1283	-0,3227
PCsul	-0,2793	-0,4056	-0,3202	0,0702	-0,1022	-0,2338	-0,1255	-0,4015	-0,3470	-0,0358	0,0402	0,2494	-0,1291	-0,3702	-0,0582	-0,3553	-0,1157	-0,4732	-0,3222	-0,1933	-0,0865	-0,3416
CER9	-0,4323	-0,1777	-0,2466	-0,3994	-0,1201	-0,2321	-0,5549	-0,0943	-0,0759	-0,4964	0,0031	-0,0540	-0,3187	0,0820	-0,0799	-0,0524	-0,4148	-0,1116	-0,2243	-0,1576	-0,2394	-0,0692
R_IPsul_PORB	-0,4102	-0,3170	-0,4152	-0,3387	-0,3871	-0,4344	-0,4506	-0,2210	-0,4073	-0,2561	-0,2417	-0,1267	-0,1366	-0,0034	-0,2175	-0,2851	-0,2316	-0,2468	-0,2898	-0,1278	-0,1575	-0,3435
VLPFcor	-0,1491	-0,3858	-0,2765	-0,0855	-0,2273	-0,1862	-0,4608	-0,0536	-0,2146	-0,2628	0,0747	-0,0044	-0,3006	-0,1597	-0,2499	-0,3134	-0,1259	-0,3325	0,0285	0,1022	-0,1519	-0,3941
AINS_d	-0,2602	-0,4858	-0,3517	-0,1034	-0,2943	-0,2274	-0,4298	-0,3390	-0,3477	-0,2481	-0,1080	-0,1052	-0,1946	0,0038	-0,3196	-0,3928	-0,1034	-0,0702	-0,3779	-0,2589	-0,3360	-0,4824
DMPFcor_a	-0,0970	-0,3410	-0,2799	-0,2171	-0,2280	-0,2403	-0,3102	-0,0605	-0,1174	-0,3533	0,0417	0,0800	-0,2231	-0,1868	-0,1742	-0,2127	-0,1288	-0,3457	-0,0658	-0,0728	-0,1201	-0,1798
MFgyr_a	-0,3629	-0,2366	-0,3013	-0,3090	-0,3049	-0,3028	-0,2251	-0,1809	-0,3057	-0,0618	-0,1828	-0,0734	-0,1876	-0,0285	-0,1823	-0,2308	-0,2740	-0,2352	-0,3222	-0,1885	-0,1280	-0,3060
R_IFsul	-0,3455	-0,3071	-0,3962	-0,2174	-0,3084	-0,4691	-0,3452	-0,0990	-0,2386	-0,1172	-0,1569	-0,0642	-0,1136	0,0342	-0,2098	-0,2989	-0,1635	-0,2141	-0,2399	-0,1469	-0,1339	-0,2640
FP_l	-0,2681	-0,2282	-0,2288	-0,2919	-0,2664	-0,1022	-0,3369	-0,1482	-0,4020	-0,1318	-0,0778	-0,0566	-0,1954	-0,0785	-0,1630	-0,1078	-0,2813	-0,2802	-0,1638	-0,0534	-0,1130	-0,2210
MOTnet_dl	-0,1205	-0,4187	-0,2353	0,2045	0,0781	-0,0180	-0,0467	-0,2427	-0,1732	-0,0131	0,1250	0,3527	-0,1624	-0,4590	0,0687	-0,2382	-0,0036	-0,5557	-0,1730	-0,1654	-0,0441	-0,1664
DVIS	-0,2389	-0,3072	-0,3084	0,0926	-0,1368	-0,2611	-0,2677	-0,2002	-0,3717	-0,1290	0,0298	0,1494	-0,1713	-0,1228	-0,1013	-0,2792	-0,0760	-0,2766	-0,1402	-0,0308	-0,0563	-0,3285
POsul	-0,2348	-0,5315	-0,3930	-0,0947	-0,4055	-0,2595	-0,5460	-0,2846	-0,2884	-0,3162	-0,0373	-0,0032	-0,3908	-0,2605	-0,3188	-0,2625	-0,1145	-0,4297	0,0624	-0,0328	-0,1227	-0,3471
LVISnet_p	-0,0738	-0,1534	-0,0740	0,2373	-0,0729	0,0177	-0,1670	-0,0482	-0,2452	-0,1245	0,1585	0,2482	-0,1167	-0,0494	-0,0457	-0,1730	0,0205	-0,2166	-0,0472	-0,0117	-0,0543	-0,1046
SMOTcor	-0,3908	-0,4227	-0,4361	-0,0736	-0,2639	-0,2938	-0,1531	-0,3259	-0,3459	-0,0484	-0,0948	0,0895	-0,2237	-0,2631	-0,2072	-0,2870	-0,1918	-0,4776	-0,3465	-0,2891	-0,1887	-0,3363
L_SFgyr_a	-0,1497	-0,3064	-0,3195	-0,1546	-0,2437	-0,3636	-0,1288	-0,0013	-0,1342	-0,1438	-0,0791	0,0860	-0,1679	-0,1730	-0,1949	-0,1574	-0,1208	-0,3810	-0,0338	-0,1686	-0,0726	-0,1288
SPlob	-0,1768	-0,3486	-0,2383	0,2136	0,0870	-0,0751	-0,0401	-0,2883	-0,2500	-0,0097	0,1836	0,3674	-0,0787	-0,2940	0,0787	-0,2799	-0,0249	-0,4666	-0,2482	-0,1167	-0,0261	-0,2215
L_IPsul_MFgyr_p	-0,2858	-0,2485	-0,2930	-0,1132	-0,2822	-0,4276	-0,2567	-0,1429	-0,2790	-0,1512	-0,1210	0,0514	-0,0227	-0,0339	-0,1722	-0,1104	-0,2884	-0,2435	-0,2554	-0,2363	-0,1241	-0,2828
MTgyr_p	-0,0448	-0,4172	-0,1927	0,0438	-0,3020	-0,1403	-0,4704	-0,0197	-0,1406	-0,3438	0,1138	0,2403	-0,3595	-0,3212	-0,3594	-0,2088	0,0657	-0,4783	-0,0017	-0,0357	-0,1711	-0,3250

	SMgyr	MTgyr_a	AMY_HIPP	FEF	VISnet_md	OCCTgyr_l	CER6	PVISnet_m	R_IPlob	IMsul	MVISnet_p	PGACcor	MVISnet_a	AINS_v_PIsul	PRC_d	LVISnet_a	R_MFgyr_p	FUSgyr_l	ORBcor	VMPFcor
PUT	-0,2377	0,0008	0,0375	-0,3572	-0,1304	-0,1142	-0,4382	-0,2725	-0,2403	-0,2762	-0,1839	-0,1141	-0,1523	0,0822	-0,3263	-0,1410	-0,2638	-0,0252	-0,1940	-0,0210
PINS_v	-0,3738	-0,3853	-0,3317	-0,2813	-0,3246	-0,1777	-0,0738	-0,1754	-0,3142	-0,5204	-0,1045	-0,3561	-0,3779	-0,3163	-0,4062	-0,2087	-0,2708	-0,1358	-0,2770	-0,3919
CERVM	-0,3183	-0,1833	0,0642	-0,3708	-0,2621	-0,1494	-0,1731	-0,0856	-0,2833	-0,3977	-0,0818	-0,3140	-0,1292	-0,1975	-0,3078	-0,1042	-0,3652	0,0179	-0,1516	-0,1580
THAL	0,0225	-0,0133	0,2460	-0,0185	0,1018	0,0299	-0,3890	-0,0889	-0,2955	-0,1410	-0,1009	-0,3785	0,1311	0,1102	-0,2281	0,0908	-0,2132	0,3007	-0,1039	-0,1078
CER7ab	-0,3887	-0,1957	-0,2158	-0,1851	-0,1582	-0,1182	-0,1133	-0,1507	-0,3928	-0,2846	-0,1222	-0,3706	-0,2374	-0,2415	-0,2385	-0,1795	-0,2784	-0,1013	-0,0987	-0,2476
CER5	-0,2969	-0,0594	0,1000	-0,2657	-0,1579	0,0087	-0,1017	-0,1010	-0,3622	-0,2942	-0,1413	-0,2804	-0,0957	-0,0849	-0,2960	-0,0500	-0,4380	0,0571	0,0046	-0,0310
ACcor_d	-0,2387	-0,4949	-0,4521	-0,0732	-0,2504	-0,3807	-0,3778	-0,2533	-0,5043	-0,2666	-0,1565	-0,4659	-0,3507	-0,4671	-0,3757	-0,2312	-0,1829	-0,2142	-0,2915	-0,3376
CAUDNH_NACC	-0,4018	-0,0457	-0,1560	-0,3009	-0,2142	-0,0627	0,0817	0,0084	-0,0183	-0,3814	-0,0680	-0,1650	-0,2405	-0,1623	-0,2788	-0,1515	0,0172	-0,0458	-0,3648	-0,1911
TP	-0,4011	-0,0662	-0,0215	-0,2849	-0,3808	-0,1353	-0,1336	-0,2833	-0,2762	-0,3544	-0,2091	-0,1645	-0,3388	-0,0810	-0,3080	-0,3329	-0,1876	-0,1899	-0,3471	-0,2513
DMPFcor_p	-0,1112	-0,4101	-0,2447	0,0643	-0,2443	-0,2871	-0,3713	-0,2760	-0,3219	-0,1887	-0,3293	-0,3197	-0,3694	-0,2740	-0,2190	-0,2622	0,0049	-0,1294	-0,0691	-0,1883
R_CERCR2	-0,1378	0,1272	0,0945	-0,1078	0,0168	0,1703	-0,0327	0,0162	-0,2626	-0,1456	-0,0593	-0,1677	-0,0060	0,0864	-0,0905	0,0143	-0,1891	0,1865	0,1809	0,0563
CERCR1	-0,0340	0,1342	0,0064	0,1536	0,1011	0,0735	0,0797	0,1092	-0,0742	0,0580	-0,1435	-0,1394	0,0235	-0,0870	-0,0221	-0,0046	0,0522	0,2825	-0,0079	0,0861
L_IFsul	-0,0739	-0,3906	-0,3457	-0,1200	-0,3081	-0,2522	-0,1735	-0,1826	-0,3287	-0,2575	-0,1815	-0,2798	-0,3291	-0,2666	-0,2444	-0,2188	-0,0920	-0,1757	-0,2136	-0,2842
MOTnet_vl	-0,1217	-0,4528	-0,3714	-0,1506	-0,1453	-0,2268	0,1785	0,0666	-0,1722	-0,2270	0,2111	-0,1956	-0,1455	-0,2873	-0,0405	-0,0219	-0,0279	-0,1541	-0,3515	-0,4141
CER7b	-0,4059	-0,2503	-0,1957	-0,1278	-0,2202	-0,0587	-0,0638	-0,1289	-0,2767	-0,2882	-0,0958	-0,2856	-0,3087	-0,2097	-0,1721	-0,1814	-0,1840	-0,0756	-0,0157	-0,1895
FUSgyr_m	-0,2920	-0,1714	-0,1505	-0,1960	-0,2684	-0,1024	0,0441	-0,1506	-0,1770	-0,2440	-0,0575	-0,2366	-0,3266	-0,3164	-0,1251	-0,3003	-0,1106	-0,1322	-0,1155	-0,1399
CAUDN	-0,0796	0,0335	-0,0013	-0,2333	-0,0479	-0,1673	-0,3537	-0,1550	-0,1710	-0,0936	-0,1713	-0,0313	-0,1414	0,0565	-0,1633	-0,1195	-0,1722	0,0506	-0,2145	-0,0034
PINS_d	-0,2847	-0,5364	-0,5129	-0,2994	-0,2254	-0,4109	-0,0378	-0,2062	-0,2624	-0,4279	0,0528	-0,3342	-0,2634	-0,4717	-0,2835	-0,1514	-0,2863	-0,2657	-0,5310	-0,4807
PCcor_PRC	-0,3142	-0,0783	-0,0350	-0,2856	0,0171	-0,2918	-0,3351	-0,1204	-0,0026	-0,2478	-0,1143	-0,2652	-0,1947	-0,2366	-0,2717	-0,1274	-0,1339	-0,1446	-0,0651	-0,0416
L_IPlob	-0,1807	-0,1503	-0,0958	-0,2117	-0,0071	-0,2184	-0,2069	-0,0605	-0,0429	-0,1451	-0,0265	-0,1444	-0,1241	-0,1338	-0,1037	-0,0801	-0,1066	-0,1232	0,0786	-0,0285
PCcor_d	-0,1080	-0,2672	-0,1498	-0,0968	-0,0907	-0,2404	-0,3720	-0,1618	0,0017	-0,1456	-0,1454	-0,2944	-0,1877	-0,2939	-0,1637	-0,1295	-0,0147	-0,0959	-0,1796	-0,2685
ITgyr	-0,4405	-0,1888	-0,1587	-0,2780	-0,3320	-0,0469	-0,0722	-0,0729	-0,3212	-0,3451	-0,1553	-0,2024	-0,3774	-0,2363	-0,3240	-0,2962	-0,1388	-0,1449	-0,0960	-0,1938
SMgyr	-0,2387	-0,4498	-0,4340	-0,1002	-0,1636	-0,3309	-0,1685	-0,1303	-0,3026	-0,2741	0,0307	-0,3085	-0,2414	-0,3824	-0,2341	-0,1001	-0,2314	-0,1616	-0,4095	-0,4003
MTgyr_a	-0,4498	-0,0058	-0,1484	-0,4777	-0,3139	-0,1991	-0,1188	-0,1441	-0,2489	-0,4799	-0,1001	-0,0505	-0,3724	-0,2204	-0,3401	-0,3049	-0,2317	-0,2204	-0,1033	-0,0237
AMY_HIPP	-0,4340	-0,1484	-0,0956	-0,3781	-0,3538	-0,1796	-0,0329	-0,2206	-0,0950	-0,3737	-0,0752	-0,2471	-0,2836	-0,2207	-0,1875	-0,3068	-0,0657	-0,1376	-0,2612	-0,2543
FEF	-0,1002	-0,4777	-0,3781	-0,0671	-0,0928	-0,1760	-0,0189	-0,0061	-0,2466	-0,2243	0,1627	-0,3365	-0,1771	-0,3707	-0,1229	0,0460	-0,1507	-0,0972	-0,3196	-0,4198
VISnet_md	-0,1636	-0,3139	-0,3538	-0,0928	-0,3011	-0,3003	-0,0360	-0,0340	-0,0451	-0,1275	0,0703	-0,1698	-0,2983	-0,4165	-0,0225	-0,1996	-0,1068	-0,2784	-0,2186	-0,1877
OCCTgyr_l	-0,3309	-0,1991	-0,1796	-0,1760	-0,3003	-0,0619	0,1045	-0,0410	-0,3160	-0,3347	-0,1191	-0,2685	-0,2727	-0,2190	-0,2511	-0,2560	-0,1121	-0,0495	-0,0592	-0,2313
CER6	-0,1685	-0,1188	-0,0329	-0,0189	-0,0360	0,1045	-0,1931	-0,0386	-0,3601	-0,1624	-0,0801	-0,3089	-0,0218	-0,1737	-0,1876	0,0821	-0,2750	0,1745	0,0179	-0,0371
PVISnet_m	-0,1303	-0,1441	-0,2206	-0,0061	-0,0340	-0,0410	-0,0386	-0,2159	-0,1650	-0,0894	-0,1772	-0,2043	-0,0622	-0,2416	-0,0465	-0,2151	-0,0679	-0,0191	-0,0184	-0,0798
R_IPlob	-0,3026	-0,2489	-0,0950	-0,2466	-0,0451	-0,3160	-0,3601	-0,1650	-0,0495	-0,1374	-0,1412	-0,0989	-0,2569	-0,2451	-0,2768	-0,1445	-0,1261	-0,1904	-0,0140	-0,0189
IMsul	-0,2741	-0,4799	-0,3737	-0,2243	-0,1275	-0,3347	-0,1624	-0,0894	-0,1374	-0,2962	0,0013	-0,3480	-0,3096	-0,4804	-0,0748	-0,1307	-0,2064	-0,2178	-0,3838	-0,4419
MVISnet_p	0,0307	-0,1001	-0,0752	0,1627	0,0703	-0,1191	-0,0801	-0,1772	-0,1412	0,0013	-0,3967	-0,2137	0,0492	-0,2214	-0,0578	-0,0349	-0,1019	0,0433	-0,0817	-0,0984
PGACcor	-0,3085	-0,0505	-0,2471	-0,3365	-0,1698	-0,2685	-0,3089	-0,2043	-0,0989	-0,3480	-0,2137	-0,1629	-0,3375	-0,1916	-0,2801	-0,2593	-0,1089	-0,1981	-0,1396	-0,1001
MVISnet_a	-0,2414	-0,3724	-0,2836	-0,1771	-0,2983	-0,2727	-0,0218	-0,0622	-0,2569	-0,3096	0,0492	-0,3375	-0,3920	-0,4538	-0,2339	-0,1272	-0,2270	-0,1810	-0,2322	-0,2625
AINS_v_PIsul	-0,3824	-0,2204	-0,2207	-0,3707	-0,4165	-0,2190	-0,1737	-0,2416	-0,2451	-0,4804	-0,2214	-0,1916	-0,4538	-0,2858	-0,3695	-0,4057	-0,1370	-0,1989	-0,1739	-0,2014
PRC_d	-0,2341	-0,3401	-0,1875	-0,1229	-0,0225	-0,2511	-0,1876	-0,0465	-0,2768	-0,0748	-0,0578	-0,2801	-0,2339	-0,3695	-0,2571	-0,0691	-0,1378	-0,1101	-0,2376	-0,2090
LVISnet_a	-0,1001	-0,3049	-0,3068	0,0460	-0,1996	-0,2560	0,0821	-0,2151	-0,1445	-0,1307	-0,0349	-0,2593	-0,1272	-0,4057	-0,0691	-0,2099	-0,0678	-0,1421	-0,2167	-0,1764
R_MFgyr_p	-0,2314	-0,2317	-0,0657	-0,1507	-0,1068	-0,1121	-0,2750	-0,0679	-0,1261	-0,2064	-0,1019	-0,1089	-0,2270	-0,1370	-0,1378	-0,0678	0,0424	-0,0876	0,0455	-0,0358
FUSgyr_l	-0,1616	-0,2204	-0,1376	-0,0972	-0,2784	-0,0495	0,1745	-0,0191	-0,1904	-0,2178	0,0433	-0,1981	-0,1810	-0,1989	-0,1101	-0,1421	-0,0876	-0,2541	-0,1370	-0,2171
ORBcor	-0,4095	-0,1033	-0,2612	-0,3196	-0,2186	-0,0592	0,0179	-0,0184	-0,0140	-0,3838	-0,0817	-0,1396	-0,2322	-0,1739	-0,2376	-0,2167	0,0455	-0,1370	-0,1443	-0,1433
VMPFcor	-0,4003	-0,0237	-0,2543	-0,4198	-0,1877	-0,2313	-0,0371	-0,0798	-0,0189	-0,4419	-0,0984	-0,1001	-0,2625	-0,2014	-0,2090	-0,1764	-0,0358	-0,2171	-0,1433	-0,0843
PVISnet_l	-0,0267	-0,0948	-0,1134	0,1469	0,0102	-0,0722	0,0292	-0,1554	-0,1069	-0,0012	-0,2904	-0,1757	-0,0368	-0,2448	-0,0054	-0,1220	-0,0428	0,0557	-0,0596	-0,0607
L_CERCR2	-0,2717	0,1278	0,0554	-0,0650	-0,0126	0,1339	-0,2031	-0,0967	-0,0381	-0,1067	-0,1706	-0,0831	-0,1247	0,0350	-0,0839	-0,0675	-0,0469	0,0961	0,1570	0,1347
MOTnet_m	-0,2529	-0,4086	-0,4399	-0,0990	-0,1154	-0,1083	0,2163	0,1075	-0,0120	-0,1363	0,2932	-0,2527	-0,1537	-0,3547	0,1576	-0,0098	-0,0123	-0,1117	-0,2349	-0,4246
AUDnet	-0,2748	-0,4116	-0,3007	-0,2554	-0,2409	-0,1853	0,0960	-0,0710	-0,2211	-0,3987	0,0725	-0,1538	-0,2269	-0,2832	-0,1878	-0,1453	-0,1281	-0,1293	-0,2743	-0,2835
PCsul	-0,2314	-0,5345	-0,5208	-0,0484	-0,2548	-0,2216	0,0597	0,0091	-0,1904	-0,2681	0,0750	-0,4090	-0,3407	-0,4554	-0,0830	-0,1090	-0,1397	-0,2302	-0,3898	-0,5502
CER9	-0,3362	-0,0060	0,0574	-0,2724	-0,0653	-0,0979	-0,2533	-0,2402	-0,2697	-0,1956	-0,1823	-0,3295	-0,1012	-0,1243	-0,2362	-0,0349	-0,3106	0,0175	0,0090	-0,0173
R_IPsul_PORB	-0,2445	-0,3987	-0,2858	-0,1409	-0,2118	-0,2390	-0,3411	-0,1930	-0,2271	-0,2567	-0,2551	-0,2974	-0,3699	-0,3423	-0,4161	-0,2010	-0,1307	-0,1620	-0,1952	-0,2495
VLPFcor	-0,1857	-0,0771	-0,2502	-0,2740	-0,2400	-0,2265	-0,1533	-0,2308	-0,0839	-0,3129	-0,2831	-0,0524	-0,3377	-0,2255	-0,1948	-0,3662	-0,0063	-0,1966	0,0097	0,0288
AINS_d	-0,0859	-0,4228	-0,4546	-0,1960	-0,3210	-0,3643	-0,1830	-0,2713	-0,3645	-0,4334	-0,1738	-0,3045	-0,3968	-0,4869	-0,4132	-0,2609	-0,2722	-0,2080	-0,3547	-0,2805
DMPFcor_a	-0,3027	-0,0168	-0,2055	-0,2564	-0,2252	-0,2940	-0,2011	-0,2052	-0,1093	-0,2752	-0,1575	-0,1025	-0,2797	-0,1348	-0,1703	-0,2475	-0,1462	-0,2045	-0,0462	-0,0034
MFgyr_a	-0,2386	-0,3380	-0,2837	-0,1747	-0,2399	-0,3018	-0,2571	-0,1858	-0,2899	-0,1840	-0,1516	-0,1519	-0,2605	-0,2013	-0,3465	-0,1688	-0,0361	-0,1691	-0,1015	-0,1635
R_IFsul	-0,1633	-0,3298	-0,2716	-0,0438	-0,2859	-0,2184	-0,3132	-0,2382	-0,2725	-0,2702	-0,3152	-0,2646	-0,4053	-0,2623	-0,3237	-0,2930	-0,0450	-0,2003	-0,1178	-0,1679
FP_l	-0,2781	-0,2165	-0,2008	-0,1946	-0,2381	-0,1773	-0,1093	-0,1233	0,0030	-0,2657	-0,2550	-0,1100	-0,2423	-0,1925	-0,2859	-0,1994	0,0554	-0,1349	-0,0855	-0,1114
MOTnet_dl	-0,2311	-0,4163	-0,4438	-0,0297	-0,2268	-0,1091	0,1998	0,1112	-0,0765	-0,2774	0,2048	-0,2677	-0,2317	-0,3635	0,0312	-0,0504	-0,0161	-0,1355	-0,2579	-0,4618
DVIS	-0,1687	-0,4115	-0,2892	-0,0666	-0,1322	-0,1325	-0,0254	-0,0206	-0,1010	-0,1224	-0,0068	-0,2967	-0,3286	-0,4127	0,0148	-0,1467	-0,0705	-0,2414	-0,2533	-0,3627
POsul	-0,4286	-0,3007	-0,2095	-0,3569	-0,1541	-0,3438	-0,2234	-0,0863	-0,1506	-0,3936	-0,0826	-0,2738	-0,4201	-0,4586	-0,2376	-0,1878	-0,1449	-0,2501	-0,2268	-0,1792
LVISnet_p	-0,1144	-0,2085	-0,2150	0,0354	-0,1948	-0,0128	0,1654	-0,0007	-0,0504	-0,1196	0,0014	-0,1916	-0,1213	-0,2751	-0,0062	-0,2028	0,0338	-0,0963	-0,0663	-0,1591
SMOTcor	-0,2418	-0,4967	-0,4980	-0,0539	-0,2660	-0,3144	-0,0653	-0,0750	-0,3128	-0,3721	0,0515	-0,3914	-0,3185	-0,4557	-0,2296	-0,1028	-0,1229	-0,1505	-0,3644	-0,4616
L_SFgyr_a	-0,2264	-0,1117	-0,1080	-0,1288	-0,1741	-0,2272	-0,2482	-0,1620	-0,1091	-0,2399	-0,1207	-0,1185	-0,2517	-0,0824	-0,0628	-0,1969	0,0645	-0,1434	0,0264	-0,0098
SPlob	-0,2403	-0,3829	-0,4054	-0,0397	-0,1382	-0,0896	0,2196	0,0964	-0,1137	-0,1795	0,2026	-0,2760	-0,2376	-0,3048	0,2225	-0,0395	-0,0568	-0,1352	-0,2306	-0,3869
L_IPsul_MFgyr_p	-0,1197	-0,3971	-0,1758	-0,0307	-0,1423	-0,1867	-0,1553	-0,0781	-0,3376	-0,1791	-0,1202	-0,2647	-0,2565	-0,2545	-0,1995	-0,1019	-0,1092	-0,0772	-0,1043	-0,2284
MTgyr_p	-0,3591	-0,1582	-0,1827	-0,3515	-0,2854	-0,3041	-0,0696	-0,0630	-0,2407	-0,4352	-0,0576	-0,1084	-0,3380	-0,2100	-0,3270	-0,2326	-0,1610	-0,2473	-0,0478	0,0335

	PVISnet_l	L_CERCR2	MOTnet_m	AUDnet	PCsul	CER9	R_IPsul_PORB	VLPFcor	AINS_d	DMPFcor_a	MFgyr_a	R_IFsul	FP_l	MOTnet_dl	DVIS	POsul	LVISnet_p	SMOTcor	L_SFgyr_a	SPlob	L_IPsul_MFgyr_p	MTgyr_p
PUT	-0,1782	-0,3372	-0,1443	0,1816	-0,2793	-0,4323	-0,4102	-0,1491	-0,2602	-0,0970	-0,3629	-0,3455	-0,2681	-0,1205	-0,2389	-0,2348	-0,0738	-0,3908	-0,1497	-0,1768	-0,2858	-0,0448
PINS_v	-0,1141	-0,0591	-0,3959	-0,4369	-0,4056	-0,1777	-0,3170	-0,3858	-0,4858	-0,3410	-0,2366	-0,3071	-0,2282	-0,4187	-0,3072	-0,5315	-0,1534	-0,4227	-0,3064	-0,3486	-0,2485	-0,4172
CERVM	-0,0871	-0,2303	-0,2039	-0,1236	-0,3202	-0,2466	-0,4152	-0,2765	-0,3517	-0,2799	-0,3013	-0,3962	-0,2288	-0,2353	-0,3084	-0,3930	-0,0740	-0,4361	-0,3195	-0,2383	-0,2930	-0,1927
THAL	-0,0860	-0,4519	0,1696	0,3380	0,0702	-0,3994	-0,3387	-0,0855	-0,1034	-0,2171	-0,3090	-0,2174	-0,2919	0,2045	0,0926	-0,0947	0,2373	-0,0736	-0,1546	0,2136	-0,1132	0,0438
CER7ab	-0,0580	-0,1164	0,0378	-0,2385	-0,1022	-0,1201	-0,3871	-0,2273	-0,2943	-0,2280	-0,3049	-0,3084	-0,2664	0,0781	-0,1368	-0,4055	-0,0729	-0,2639	-0,2437	0,0870	-0,2822	-0,3020
CER5	-0,0634	-0,1471	0,0254	-0,0142	-0,2338	-0,2321	-0,4344	-0,1862	-0,2274	-0,2403	-0,3028	-0,4691	-0,1022	-0,0180	-0,2611	-0,2595	0,0177	-0,2938	-0,3636	-0,0751	-0,4276	-0,1403
ACcor_d	-0,1582	-0,4461	-0,0909	-0,1694	-0,1255	-0,5549	-0,4506	-0,4608	-0,4298	-0,3102	-0,2251	-0,3452	-0,3369	-0,0467	-0,2677	-0,5460	-0,1670	-0,1531	-0,1288	-0,0401	-0,2567	-0,4704
CAUDNH_NACC	-0,0316	0,1748	-0,2054	-0,1574	-0,4015	-0,0943	-0,2210	-0,0536	-0,3390	-0,0605	-0,1809	-0,0990	-0,1482	-0,2427	-0,2002	-0,2846	-0,0482	-0,3259	-0,0013	-0,2883	-0,1429	-0,0197
TP	-0,2208	-0,0030	-0,1296	-0,3114	-0,3470	-0,0759	-0,4073	-0,2146	-0,3477	-0,1174	-0,3057	-0,2386	-0,4020	-0,1732	-0,3717	-0,2884	-0,2452	-0,3459	-0,1342	-0,2500	-0,2790	-0,1406
DMPFcor_p	-0,2618	-0,1741	0,0309	-0,1315	-0,0358	-0,4964	-0,2561	-0,2628	-0,2481	-0,3533	-0,0618	-0,1172	-0,1318	-0,0131	-0,1290	-0,3162	-0,1245	-0,0484	-0,1438	-0,0097	-0,1512	-0,3438
R_CERCR2	0,0559	-0,0642	0,1415	0,0579	0,0402	0,0031	-0,2417	0,0747	-0,1080	0,0417	-0,1828	-0,1569	-0,0778	0,1250	0,0298	-0,0373	0,1585	-0,0948	-0,0791	0,1836	-0,1210	0,1138
CERCR1	0,0144	0,0937	0,3894	0,2051	0,2494	-0,0540	-0,1267	-0,0044	-0,1052	0,0800	-0,0734	-0,0642	-0,0566	0,3527	0,1494	-0,0032	0,2482	0,0895	0,0860	0,3674	0,0514	0,2403
L_IFsul	-0,1575	-0,1273	-0,1172	-0,2113	-0,1291	-0,3187	-0,1366	-0,3006	-0,1946	-0,2231	-0,1876	-0,1136	-0,1954	-0,1624	-0,1713	-0,3908	-0,1167	-0,2237	-0,1679	-0,0787	-0,0227	-0,3595
MOTnet_vl	0,1516	0,0781	-0,4378	-0,3440	-0,3702	0,0820	-0,0034	-0,1597	0,0038	-0,1868	-0,0285	0,0342	-0,0785	-0,4590	-0,1228	-0,2605	-0,0494	-0,2631	-0,1730	-0,2940	-0,0339	-0,3212
CER7b	-0,0222	-0,0264	0,0387	-0,3308	-0,0582	-0,0799	-0,2175	-0,2499	-0,3196	-0,1742	-0,1823	-0,2098	-0,1630	0,0687	-0,1013	-0,3188	-0,0457	-0,2072	-0,1949	0,0787	-0,1722	-0,3594
FUSgyr_m	-0,0640	0,0641	-0,2209	-0,1881	-0,3553	-0,0524	-0,2851	-0,3134	-0,3928	-0,2127	-0,2308	-0,2989	-0,1078	-0,2382	-0,2792	-0,2625	-0,1730	-0,2870	-0,1574	-0,2799	-0,1104	-0,2088
CAUDN	-0,1592	-0,3236	-0,0423	0,2770	-0,1157	-0,4148	-0,2316	-0,1259	-0,1034	-0,1288	-0,2740	-0,1635	-0,2813	-0,0036	-0,0760	-0,1145	0,0205	-0,1918	-0,1208	-0,0249	-0,2884	0,0657
PINS_d	-0,0595	-0,1126	-0,5405	-0,5658	-0,4732	-0,1116	-0,2468	-0,3325	-0,0702	-0,3457	-0,2352	-0,2141	-0,2802	-0,5557	-0,2766	-0,4297	-0,2166	-0,4776	-0,3810	-0,4666	-0,2435	-0,4783
PCcor_PRC	-0,0779	-0,0392	-0,1106	-0,2329	-0,3222	-0,2243	-0,2898	0,0285	-0,3779	-0,0658	-0,3222	-0,2399	-0,1638	-0,1730	-0,1402	0,0624	-0,0472	-0,3465	-0,0338	-0,2482	-0,2554	-0,0017
L_IPlob	-0,0002	-0,0141	-0,1384	-0,2118	-0,1933	-0,1576	-0,1278	0,1022	-0,2589	-0,0728	-0,1885	-0,1469	-0,0534	-0,1654	-0,0308	-0,0328	-0,0117	-0,2891	-0,1686	-0,1167	-0,2363	-0,0357
PCcor_d	-0,1206	-0,1880	0,0420	-0,1283	-0,0865	-0,2394	-0,1575	-0,1519	-0,3360	-0,1201	-0,1280	-0,1339	-0,1130	-0,0441	-0,0563	-0,1227	-0,0543	-0,1887	-0,0726	-0,0261	-0,1241	-0,1711
ITgyr	-0,0982	0,1236	-0,1916	-0,3227	-0,3416	-0,0692	-0,3435	-0,3941	-0,4824	-0,1798	-0,3060	-0,2640	-0,2210	-0,1664	-0,3285	-0,3471	-0,1046	-0,3363	-0,1288	-0,2215	-0,2828	-0,3250
SMgyr	-0,0267	-0,2717	-0,2529	-0,2748	-0,2314	-0,3362	-0,2445	-0,1857	-0,0859	-0,3027	-0,2386	-0,1633	-0,2781	-0,2311	-0,1687	-0,4286	-0,1144	-0,2418	-0,2264	-0,2403	-0,1197	-0,3591
MTgyr_a	-0,0948	0,1278	-0,4086	-0,4116	-0,5345	-0,0060	-0,3987	-0,0771	-0,4228	-0,0168	-0,3380	-0,3298	-0,2165	-0,4163	-0,4115	-0,3007	-0,2085	-0,4967	-0,1117	-0,3829	-0,3971	-0,1582
AMY_HIPP	-0,1134	0,0554	-0,4399	-0,3007	-0,5208	0,0574	-0,2858	-0,2502	-0,4546	-0,2055	-0,2837	-0,2716	-0,2008	-0,4438	-0,2892	-0,2095	-0,2150	-0,4980	-0,1080	-0,4054	-0,1758	-0,1827
FEF	0,1469	-0,0650	-0,0990	-0,2554	-0,0484	-0,2724	-0,1409	-0,2740	-0,1960	-0,2564	-0,1747	-0,0438	-0,1946	-0,0297	-0,0666	-0,3569	0,0354	-0,0539	-0,1288	-0,0397	-0,0307	-0,3515
VISnet_md	0,0102	-0,0126	-0,1154	-0,2409	-0,2548	-0,0653	-0,2118	-0,2400	-0,3210	-0,2252	-0,2399	-0,2859	-0,2381	-0,2268	-0,1322	-0,1541	-0,1948	-0,2660	-0,1741	-0,1382	-0,1423	-0,2854
OCCTgyr_l	-0,0722	0,1339	-0,1083	-0,1853	-0,2216	-0,0979	-0,2390	-0,2265	-0,3643	-0,2940	-0,3018	-0,2184	-0,1773	-0,1091	-0,1325	-0,3438	-0,0128	-0,3144	-0,2272	-0,0896	-0,1867	-0,3041
CER6	0,0292	-0,2031	0,2163	0,0960	0,0597	-0,2533	-0,3411	-0,1533	-0,1830	-0,2011	-0,2571	-0,3132	-0,1093	0,1998	-0,0254	-0,2234	0,1654	-0,0653	-0,2482	0,2196	-0,1553	-0,0696
PVISnet_m	-0,1554	-0,0967	0,1075	-0,0710	0,0091	-0,2402	-0,1930	-0,2308	-0,2713	-0,2052	-0,1858	-0,2382	-0,1233	0,1112	-0,0206	-0,0863	-0,0007	-0,0750	-0,1620	0,0964	-0,0781	-0,0630
R_IPlob	-0,1069	-0,0381	-0,0120	-0,2211	-0,1904	-0,2697	-0,2271	-0,0839	-0,3645	-0,1093	-0,2899	-0,2725	0,0030	-0,0765	-0,1010	-0,1506	-0,0504	-0,3128	-0,1091	-0,1137	-0,3376	-0,2407
IMsul	-0,0012	-0,1067	-0,1363	-0,3987	-0,2681	-0,1956	-0,2567	-0,3129	-0,4334	-0,2752	-0,1840	-0,2702	-0,2657	-0,2774	-0,1224	-0,3936	-0,1196	-0,3721	-0,2399	-0,1795	-0,1791	-0,4352
MVISnet_p	-0,2904	-0,1706	0,2932	0,0725	0,0750	-0,1823	-0,2551	-0,2831	-0,1738	-0,1575	-0,1516	-0,3152	-0,2550	0,2048	-0,0068	-0,0826	0,0014	0,0515	-0,1207	0,2026	-0,1202	-0,0576
PGACcor	-0,1757	-0,0831	-0,2527	-0,1538	-0,4090	-0,3295	-0,2974	-0,0524	-0,3045	-0,1025	-0,1519	-0,2646	-0,1100	-0,2677	-0,2967	-0,2738	-0,1916	-0,3914	-0,1185	-0,2760	-0,2647	-0,1084
MVISnet_a	-0,0368	-0,1247	-0,1537	-0,2269	-0,3407	-0,1012	-0,3699	-0,3377	-0,3968	-0,2797	-0,2605	-0,4053	-0,2423	-0,2317	-0,3286	-0,4201	-0,1213	-0,3185	-0,2517	-0,2376	-0,2565	-0,3380
AINS_v_PIsul	-0,2448	0,0350	-0,3547	-0,2832	-0,4554	-0,1243	-0,3423	-0,2255	-0,4869	-0,1348	-0,2013	-0,2623	-0,1925	-0,3635	-0,4127	-0,4586	-0,2751	-0,4557	-0,0824	-0,3048	-0,2545	-0,2100
PRC_d	-0,0054	-0,0839	0,1576	-0,1878	-0,0830	-0,2362	-0,4161	-0,1948	-0,4132	-0,1703	-0,3465	-0,3237	-0,2859	0,0312	0,0148	-0,2376	-0,0062	-0,2296	-0,0628	0,2225	-0,1995	-0,3270
LVISnet_a	-0,1220	-0,0675	-0,0098	-0,1453	-0,1090	-0,0349	-0,2010	-0,3662	-0,2609	-0,2475	-0,1688	-0,2930	-0,1994	-0,0504	-0,1467	-0,1878	-0,2028	-0,1028	-0,1969	-0,0395	-0,1019	-0,2326
R_MFgyr_p	-0,0428	-0,0469	-0,0123	-0,1281	-0,1397	-0,3106	-0,1307	-0,0063	-0,2722	-0,1462	-0,0361	-0,0450	0,0554	-0,0161	-0,0705	-0,1449	0,0338	-0,1229	0,0645	-0,0568	-0,1092	-0,1610
FUSgyr_l	0,0557	0,0961	-0,1117	-0,1293	-0,2302	0,0175	-0,1620	-0,1966	-0,2080	-0,2045	-0,1691	-0,2003	-0,1349	-0,1355	-0,2414	-0,2501	-0,0963	-0,1505	-0,1434	-0,1352	-0,0772	-0,2473
ORBcor	-0,0596	0,1570	-0,2349	-0,2743	-0,3898	0,0090	-0,1952	0,0097	-0,3547	-0,0462	-0,1015	-0,1178	-0,0855	-0,2579	-0,2533	-0,2268	-0,0663	-0,3644	0,0264	-0,2306	-0,1043	-0,0478
VMPFcor	-0,0607	0,1347	-0,4246	-0,2835	-0,5502	-0,0173	-0,2495	0,0288	-0,2805	-0,0034	-0,1635	-0,1679	-0,1114	-0,4618	-0,3627	-0,1792	-0,1591	-0,4616	-0,0098	-0,3869	-0,2284	0,0335
PVISnet_l	-0,2482	-0,0771	0,2261	0,0035	0,0948	-0,1099	-0,1874	-0,2307	-0,1965	-0,1356	-0,1282	-0,2584	-0,1827	0,1803	0,0521	-0,0620	0,0300	0,0327	-0,0822	0,1913	-0,0499	-0,0283
L_CERCR2	-0,0771	-0,1031	0,2504	0,0516	0,0409	-0,1566	-0,1694	0,0348	-0,2573	0,0642	-0,1843	-0,1047	0,0355	0,1880	0,0372	-0,0245	0,1209	-0,0787	0,0183	0,1991	-0,0396	0,0628
MOTnet_m	0,2261	0,2504	-0,3133	-0,4255	-0,2837	0,1036	0,0269	-0,2055	-0,2282	-0,2322	-0,0554	0,0218	-0,0587	-0,3322	-0,0740	-0,2452	-0,0306	-0,2362	-0,1303	-0,2869	0,0499	-0,2980
AUDnet	0,0035	0,0516	-0,4255	-0,4425	-0,4669	-0,0545	-0,2017	-0,1209	-0,1618	-0,2073	-0,1042	-0,1815	-0,0867	-0,4550	-0,2462	-0,3432	-0,1121	-0,3584	-0,2059	-0,3842	-0,1760	-0,2890
PCsul	0,0948	0,0409	-0,2837	-0,4669	-0,2132	-0,1277	0,0422	-0,3011	-0,1971	-0,3741	-0,0986	-0,0063	-0,1627	-0,2696	-0,1169	-0,4231	-0,0937	-0,2264	-0,2887	-0,2990	0,0351	-0,4428
CER9	-0,1099	-0,1566	0,1036	-0,0545	-0,1277	-0,1638	-0,3914	-0,1110	-0,3161	-0,1279	-0,3416	-0,3568	-0,1349	0,0384	-0,1100	-0,1933	0,0185	-0,3431	-0,2700	0,0845	-0,2531	-0,0970
R_IPsul_PORB	-0,1874	-0,1694	0,0269	-0,2017	0,0422	-0,3914	-0,0582	-0,2582	-0,4320	-0,2438	-0,2555	-0,1394	-0,1075	-0,0102	-0,1039	-0,3811	-0,0725	-0,3119	-0,2070	-0,0248	-0,1221	-0,4073
VLPFcor	-0,2307	0,0348	-0,2055	-0,1209	-0,3011	-0,1110	-0,2582	-0,1789	-0,4235	0,0476	-0,1723	-0,1970	-0,1512	-0,2440	-0,2714	-0,1613	-0,2005	-0,3565	-0,0182	-0,1523	-0,2088	-0,0930
AINS_d	-0,1965	-0,2573	-0,2282	-0,1618	-0,1971	-0,3161	-0,4320	-0,4235	-0,4251	-0,2305	-0,2064	-0,3283	-0,3156	-0,1938	-0,3456	-0,5205	-0,2031	-0,3160	-0,2598	-0,1350	-0,2506	-0,4674
DMPFcor_a	-0,1356	0,0642	-0,2322	-0,2073	-0,3741	-0,1279	-0,2438	0,0476	-0,2305	0,0127	-0,1182	-0,1867	-0,1385	-0,2399	-0,3026	-0,1745	-0,1781	-0,3103	-0,2491	-0,2860	-0,2068	-0,0048
MFgyr_a	-0,1282	-0,1843	-0,0554	-0,1042	-0,0986	-0,3416	-0,2555	-0,1723	-0,2064	-0,1182	-0,0581	-0,2181	-0,0689	-0,0575	-0,2099	-0,3999	-0,1033	-0,1668	-0,0745	-0,0649	-0,1886	-0,3392
R_IFsul	-0,2584	-0,1047	0,0218	-0,1815	-0,0063	-0,3568	-0,1394	-0,1970	-0,3283	-0,1867	-0,2181	-0,1141	-0,1040	0,0132	-0,1623	-0,3460	-0,1077	-0,1972	-0,1309	-0,0239	-0,0456	-0,3164
FP_l	-0,1827	0,0355	-0,0587	-0,0867	-0,1627	-0,1349	-0,1075	-0,1512	-0,3156	-0,1385	-0,0689	-0,1040	0,1150	-0,1057	-0,1768	-0,1660	-0,0748	-0,3105	-0,1062	-0,0899	-0,1504	-0,1862
MOTnet_dl	0,1803	0,1880	-0,3322	-0,4550	-0,2696	0,0384	-0,0102	-0,2440	-0,1938	-0,2399	-0,0575	0,0132	-0,1057	-0,4629	-0,1435	-0,3320	-0,0642	-0,1597	-0,1701	-0,2782	0,0216	-0,3199
DVIS	0,0521	0,0372	-0,0740	-0,2462	-0,1169	-0,1100	-0,1039	-0,2714	-0,3456	-0,3026	-0,2099	-0,1623	-0,1768	-0,1435	-0,1840	-0,2421	-0,0800	-0,2422	-0,1573	-0,0559	0,0304	-0,3076
POsul	-0,0620	-0,0245	-0,2452	-0,3432	-0,4231	-0,1933	-0,3811	-0,1613	-0,5205	-0,1745	-0,3999	-0,3460	-0,1660	-0,3320	-0,2421	-0,3378	-0,1078	-0,4955	-0,1210	-0,3574	-0,2581	-0,2948
LVISnet_p	0,0300	0,1209	-0,0306	-0,1121	-0,0937	0,0185	-0,0725	-0,2005	-0,2031	-0,1781	-0,1033	-0,1077	-0,0748	-0,0642	-0,0800	-0,1078	-0,2119	-0,0853	-0,1029	-0,0426	-0,0031	-0,1250
SMOTcor	0,0327	-0,0787	-0,2362	-0,3584	-0,2264	-0,3431	-0,3119	-0,3565	-0,3160	-0,3103	-0,1668	-0,1972	-0,3105	-0,1597	-0,2422	-0,4955	-0,0853	-0,1334	-0,1199	-0,1383	-0,1818	-0,4149
L_SFgyr_a	-0,0822	0,0183	-0,1303	-0,2059	-0,2887	-0,2700	-0,2070	-0,0182	-0,2598	-0,2491	-0,0745	-0,1309	-0,1062	-0,1701	-0,1573	-0,1210	-0,1029	-0,1199	0,0525	-0,1706	-0,1995	-0,0570
SPlob	0,1913	0,1991	-0,2869	-0,3842	-0,2990	0,0845	-0,0248	-0,1523	-0,1350	-0,2860	-0,0649	-0,0239	-0,0899	-0,2782	-0,0559	-0,3574	-0,0426	-0,1383	-0,1706	-0,2619	0,0681	-0,3028
L_IPsul_MFgyr_p	-0,0499	-0,0396	0,0499	-0,1760	0,0351	-0,2531	-0,1221	-0,2088	-0,2506	-0,2068	-0,1886	-0,0456	-0,1504	0,0216	0,0304	-0,2581	-0,0031	-0,1818	-0,1995	0,0681	-0,1211	-0,3312
MTgyr_p	-0,0283	0,0628	-0,2980	-0,2890	-0,4428	-0,0970	-0,4073	-0,0930	-0,4674	-0,0048	-0,3392	-0,3164	-0,1862	-0,3199	-0,3076	-0,2948	-0,1250	-0,4149	-0,0570	-0,3028	-0,3312	-0,2067

Table S1.7 Effect of ADHD on 2080 connections. Each value is the Beta estimate (z-scored) of the ADHD control contrast.

	PUT	PINS_v	CERVM	THAL	CER7ab	CER5	ACcor_d	CAUDNH_NACC	TP	DMPFcor_p	R_CERCR2	CERCR1	L_IFsul	MOTnet_vl	CER7b	FUSgyr_m	CAUDN	PINS_d	PCcor_PRC	L_IPlob	PCcor_d	ITgyr	SMgyr	MTgyr_a	AMY_HIPP	FEF	VISnet_md	OCCTgyr_l	CER6	PVISnet_m	R_IPlob	IMsul	MVISnet_p	PGACcor	MVISnet_a	AINS_v_PIsul	PRC_d	LVISnet_a	R_MFgyr_p	FUSgyr_l	ORBcor	VMPFcor	PVISnet_l	L_CERCR2	MOTnet_m	AUDnet	PCsul	CER9	R_IPsul_PORB	VLPFcor	AINS_d	DMPFcor_a	MFgyr_a	R_IFsul	FP_l	MOTnet_dl	DVIS	POsul	LVISnet_p	SMOTcor	L_SFgyr_a	SPlob	L_IPsul_MFgyr_p	MTgyr_p
PUT	0,1511	0,1097	-0,0175	0,1827	0,0879	0,1058	0,1420	0,0125	0,1126	0,1976	0,0900	0,1433	0,1182	0,0569	0,1892	0,0277	0,2351	0,0346	0,1891	0,1681	0,2702	0,1293	0,1730	0,1452	0,0353	0,1481	0,0119	0,1513	0,1711	0,1510	0,1878	0,2736	0,0580	0,1264	0,0801	0,0595	0,2670	0,0676	0,1908	0,1513	-0,0369	0,0952	0,0934	0,0963	0,0623	0,2184	0,1578	0,1787	0,2240	0,1063	0,2067	0,2096	0,1575	0,1243	0,1760	0,0886	0,2143	0,1254	0,1697	0,0963	0,0602	0,1896	0,1505	0,2961
PINS_v	0,1097	0,0781	-0,0165	0,0229	0,1337	0,0672	0,0407	0,0586	0,2087	0,1493	0,0863	0,0957	0,0516	0,1155	0,1509	0,1184	0,1650	0,0388	0,1386	0,1319	0,1668	0,1703	0,0688	0,2130	0,0279	0,0254	-0,0085	0,1377	0,1954	0,2717	0,1452	0,2173	-0,0441	0,1159	0,0555	0,1514	0,1750	0,1511	0,1390	0,1247	-0,0213	0,0094	0,1058	0,1078	0,0772	0,0807	0,1584	0,0094	0,2796	0,0816	0,2539	0,1622	0,2271	0,1863	0,0872	0,0461	0,1469	0,0154	0,2245	0,0473	0,0785	0,2168	0,0848	0,2062
CERVM	-0,0175	-0,0165	-0,0603	0,0084	0,1030	-0,0324	-0,0084	0,1630	0,2292	0,1208	0,0938	0,1097	0,0854	0,0367	0,1757	0,0468	0,0912	-0,0726	0,1776	0,0766	0,1419	0,1862	0,0144	0,2449	0,1295	0,0182	-0,1146	0,1356	0,0687	0,1252	0,0738	0,0209	0,0040	0,1124	0,0438	0,1758	0,0495	0,1542	-0,0057	0,0866	0,0360	0,1862	0,0917	0,1198	0,0204	0,1032	0,1020	0,1014	0,2099	0,1136	0,0207	0,1177	0,0588	0,1338	0,0510	0,0013	0,1165	0,0655	0,1787	-0,0300	0,0496	0,0920	0,0946	0,1538
THAL	0,1827	0,0229	0,0084	0,1863	0,1112	0,1604	0,1819	0,1014	0,1444	0,3071	0,1511	0,1361	0,1351	0,0282	0,2142	-0,0434	0,2953	0,0351	0,1842	0,1206	0,1240	0,0961	0,0994	0,1602	0,0193	0,1191	-0,1002	0,1461	0,2045	0,1107	0,2436	0,0953	0,0593	0,1846	-0,0360	0,0305	0,1807	0,0539	0,3262	0,1369	0,0210	0,1059	0,1071	0,1348	-0,0083	0,1380	0,1047	0,1206	0,3014	0,1670	0,1271	0,2222	0,1909	0,3017	0,2705	0,0284	0,1903	0,0188	0,1172	0,1089	0,1342	0,0981	0,1490	0,2343
CER7ab	0,0879	0,1337	0,1030	0,1112	0,0463	0,1135	0,2568	0,0203	0,0656	0,1806	0,0941	0,0396	0,1980	0,1825	0,0821	0,0861	0,0956	0,2298	0,0765	-0,0707	0,0976	0,1216	0,1266	0,0939	0,0961	0,1957	-0,0154	0,1272	0,1144	0,1269	0,1638	0,1595	-0,0585	0,2903	-0,0527	0,2281	0,0756	0,0829	0,1601	0,1777	0,0184	0,1957	0,0548	0,0449	0,1453	0,2031	0,1075	-0,1139	0,3344	0,1918	0,2748	0,2116	0,2051	0,3581	0,1177	0,1018	0,1812	0,0785	0,1933	0,2014	0,0652	0,0945	0,0687	0,1239
CER5	0,1058	0,0672	-0,0324	0,1604	0,1135	0,0345	0,2021	0,2236	0,2728	0,2790	0,1568	0,1665	0,1820	0,2557	0,3078	0,0324	0,2528	0,1580	0,2126	0,2013	0,1745	0,2979	0,2242	0,2672	0,0970	0,2147	-0,0778	0,2807	0,2055	0,1453	0,2090	0,2034	0,0000	0,2550	-0,0363	0,2816	0,2451	0,0798	0,2427	0,2240	0,1229	0,3276	0,1258	0,2222	0,2276	0,2715	0,3006	0,0834	0,3731	0,2605	0,1569	0,2627	0,1933	0,2702	0,2980	0,2226	0,1933	0,0578	0,2092	0,1959	0,1980	0,3036	0,2365	0,3133
ACcor_d	0,1420	0,0407	-0,0084	0,1819	0,2568	0,2021	0,1615	0,0800	0,2259	0,2185	0,2206	0,1511	0,1746	0,1181	0,3242	0,0026	0,1889	0,0754	0,1931	0,1512	0,2236	0,1867	0,1353	0,1609	-0,0419	0,1339	0,0606	0,1961	0,2241	0,1957	0,2806	0,3151	0,0912	0,0057	0,0672	0,1115	0,3303	0,1318	0,3009	0,1613	0,0593	0,0232	0,1740	0,2037	0,1571	0,1502	0,1790	0,1599	0,2828	0,1608	0,0994	0,2024	0,3548	0,1771	0,1621	0,1121	0,2435	0,1341	0,2089	0,1456	0,1568	0,1971	0,2635	0,2432
CAUDNH_NACC	0,0125	0,0586	0,1630	0,1014	0,0203	0,2236	0,0800	0,2750	0,2341	0,0614	0,0722	0,1545	0,0885	0,0859	0,1892	0,2069	-0,0265	-0,0119	0,1602	0,1036	0,1282	0,3307	0,0286	0,2933	0,2305	0,0955	0,0859	0,2628	0,2585	0,2851	0,0972	0,1802	0,1674	0,1723	0,2369	0,2881	0,1335	0,2301	0,0863	0,1833	0,1588	0,3036	0,2234	0,1109	0,1092	0,1367	0,1475	0,0714	0,1733	0,1733	0,0898	0,1742	0,1448	0,1049	0,1626	0,1582	0,1492	0,1119	0,2148	0,0974	0,1766	0,1597	0,1724	0,3464
TP	0,1126	0,2087	0,2292	0,1444	0,0656	0,2728	0,2259	0,2341	0,1549	0,2226	0,1556	0,1198	0,1304	0,3263	0,1499	0,2438	0,1778	0,1785	0,2475	0,3535	0,1084	0,1605	0,0402	0,4198	0,3625	0,0639	0,0435	0,2172	0,2295	0,3222	0,2971	0,2036	0,0694	0,3084	0,0835	0,3945	0,1598	0,1533	0,2136	0,1534	0,0819	0,3625	0,2048	0,0776	0,1783	0,2014	0,1395	0,1140	0,1691	0,1911	0,1788	0,3660	0,2075	0,1681	0,2080	0,2525	0,0660	0,0882	0,1900	0,1990	0,3478	0,2077	0,1785	0,3124
DMPFcor_p	0,1976	0,1493	0,1208	0,3071	0,1806	0,2790	0,2185	0,0614	0,2226	0,1289	0,1546	0,1417	0,1187	0,1585	0,2331	0,0148	0,2272	0,1643	0,1000	0,1382	0,1663	0,2019	0,1887	0,0803	0,0719	0,0889	0,1036	0,1455	0,2805	0,1965	0,1970	0,2605	0,1910	0,1291	0,1481	0,1613	0,1796	0,1369	0,0838	0,0922	-0,0064	0,0562	0,1917	0,1626	0,2285	0,2094	0,1260	0,1843	0,2303	0,0798	0,1508	0,1834	0,1661	0,1276	0,1219	0,1132	0,1026	0,1265	0,1697	0,1935	0,0438	0,1754	0,1756	0,1881
R_CERCR2	0,0900	0,0863	0,0938	0,1511	0,0941	0,1568	0,2206	0,0722	0,1556	0,1546	0,0005	0,1206	0,2057	0,1856	0,2178	0,0589	0,1249	0,1341	0,0449	0,0537	0,1479	0,1077	0,1411	0,0984	0,0642	0,1580	0,0465	0,0575	0,0486	0,1889	0,2161	0,1414	0,0200	0,3261	0,0526	0,2095	0,1532	0,0830	0,0625	0,0495	-0,0161	0,2278	0,1497	0,0750	0,2307	0,1512	0,0771	-0,0127	0,1850	0,0793	0,1964	0,3237	0,2700	0,1823	0,1757	0,1536	0,0209	0,0657	0,1229	0,2019	0,1555	0,1291	0,1500	0,0724
CERCR1	0,1433	0,0957	0,1097	0,1361	0,0396	0,1665	0,1511	0,1545	0,1198	0,1417	0,1206	0,0888	0,1806	0,1092	0,0150	0,0352	0,1125	0,1144	0,1753	0,0338	0,1888	0,0669	0,1314	0,2057	0,1723	0,0708	-0,1097	-0,0301	0,0681	0,0424	0,0878	0,0805	-0,0699	0,3518	-0,0013	0,1965	0,1036	-0,0333	0,0318	-0,0158	-0,0791	0,2271	0,0008	0,0736	0,1209	0,1301	0,0602	0,1875	0,1243	0,0853	0,1528	0,3229	0,1433	0,0880	0,1233	0,0517	-0,0842	0,0794	-0,0043	0,0663	0,2081	0,0967	0,0383	0,0907
L_IFsul	0,1182	0,0516	0,0854	0,1351	0,1980	0,1820	0,1746	0,0885	0,1304	0,1187	0,2057	0,1806	0,1242	0,2127	0,2635	0,0650	0,1020	0,0989	0,1047	0,1114	0,1269	0,1281	0,1205	0,0943	-0,0282	0,1301	0,0374	0,1429	0,2262	0,2154	0,1265	0,2015	-0,0044	0,1096	0,0493	0,0542	0,2071	0,1518	0,1015	0,1206	0,0832	0,1507	0,1809	0,1157	0,2017	0,1251	0,2286	0,1565	0,1729	0,1115	0,0513	0,0831	0,2559	0,0700	0,1519	0,0914	0,2016	0,1052	0,2299	0,1407	0,0104	0,2072	0,2347	0,1444
MOTnet_vl	0,0569	0,1155	0,0367	0,0282	0,1825	0,2557	0,1181	0,0859	0,3263	0,1585	0,1856	0,1092	0,2127	0,1557	0,2432	0,0483	0,1558	0,1302	0,0737	0,1695	0,0732	0,2089	0,1653	0,2365	0,0564	0,2319	0,0061	0,1870	0,1755	0,2858	0,1698	0,2554	-0,0134	0,0914	0,0195	0,1632	0,1351	0,1177	0,2063	0,2169	0,0747	0,1306	0,1236	0,0519	0,2836	0,2612	0,3013	0,0898	0,3919	0,2568	0,2061	0,1600	0,2128	0,2350	0,1726	0,2691	0,1770	0,0399	0,2108	0,2145	0,1189	0,2957	0,1759	0,2987
CER7b	0,1892	0,1509	0,1757	0,2142	0,0821	0,3078	0,3242	0,1892	0,1499	0,2331	0,2178	0,0150	0,2635	0,2432	0,1917	0,2122	0,2054	0,2505	0,1025	0,0700	0,1184	0,2307	0,1950	0,2366	0,1561	0,2164	0,1077	0,2262	0,2606	0,2275	0,1788	0,1985	0,0423	0,3530	0,1563	0,3286	0,1969	0,1885	0,1211	0,2327	0,0299	0,2426	0,1644	0,0093	0,2206	0,2914	0,2127	-0,0562	0,3364	0,1983	0,2762	0,2962	0,2441	0,3261	0,1845	0,2368	0,2484	0,1952	0,2710	0,2844	0,1824	0,1386	0,2015	0,2387
FUSgyr_m	0,0277	0,1184	0,0468	-0,0434	0,0861	0,0324	0,0026	0,2069	0,2438	0,0148	0,0589	0,0352	0,0650	0,0483	0,2122	0,0997	0,0418	0,1252	0,0955	-0,0064	0,0122	0,2001	0,0966	0,1934	0,1943	-0,0710	-0,2195	0,1146	0,1587	0,1006	0,0328	0,0406	-0,0791	0,1099	-0,0489	0,1221	0,0314	-0,0002	0,0474	0,1131	0,0829	0,1826	-0,0211	0,1532	0,0629	0,1321	0,0375	0,0826	0,1876	0,1251	0,1198	0,0361	-0,0080	0,0255	0,0901	-0,0440	0,0153	-0,0274	-0,0214	0,0119	-0,0046	0,1035	-0,0159	0,1483
CAUDN	0,2351	0,1650	0,0912	0,2953	0,0956	0,2528	0,1889	-0,0265	0,1778	0,2272	0,1249	0,1125	0,1020	0,1558	0,2054	0,0418	0,2323	0,0872	0,1947	0,1886	0,3050	0,2224	0,1101	0,2165	0,0496	0,0086	-0,0583	0,2154	0,2370	0,1405	0,2086	0,1738	0,1328	0,2060	0,0748	0,1594	0,1521	0,0784	0,1617	0,0825	0,0729	0,2069	0,1218	0,1150	0,1139	0,1912	0,0962	0,1663	0,1576	0,1559	0,1211	0,2452	0,1343	0,1058	0,1760	0,0750	0,0854	0,0666	0,1245	0,1135	0,1440	0,1531	0,1187	0,3379
PINS_d	0,0346	0,0388	-0,0726	0,0351	0,2298	0,1580	0,0754	-0,0119	0,1785	0,1643	0,1341	0,1144	0,0989	0,1302	0,2505	0,1252	0,0872	0,1821	0,0894	0,1260	0,0678	0,0752	0,2373	0,1301	-0,0083	0,2047	0,0223	0,1207	0,1814	0,2391	0,1671	0,3224	-0,0064	0,0205	0,0520	0,0558	0,2367	0,1881	0,1557	0,1306	-0,0657	-0,0454	0,1892	0,0865	0,1478	0,1147	0,2757	0,1017	0,3644	0,1182	0,2298	0,0957	0,2177	0,1971	0,1334	0,1685	0,2079	0,0260	0,1946	0,2085	0,0206	0,2371	0,1360	0,2009
PCcor_PRC	0,1891	0,1386	0,1776	0,1842	0,0765	0,2126	0,1931	0,1602	0,2475	0,1000	0,0449	0,1753	0,1047	0,0737	0,1025	0,0955	0,1947	0,0894	0,1533	0,0335	-0,0047	0,0890	0,0991	0,1191	0,2059	0,0490	0,0730	0,0944	0,1715	0,1141	-0,0258	0,0824	0,1652	0,1308	0,1307	0,1961	0,1511	0,1372	0,1343	0,0760	0,0056	0,0289	0,1894	0,1230	0,1478	0,0780	0,0324	0,1190	0,1479	0,1264	0,1923	0,0209	0,1262	0,1129	0,0903	0,1128	0,0893	0,0529	0,1184	0,1363	0,0872	0,1362	0,0720	0,0421
L_IPlob	0,1681	0,1319	0,0766	0,1206	-0,0707	0,2013	0,1512	0,1036	0,3535	0,1382	0,0537	0,0338	0,1114	0,1695	0,0700	-0,0064	0,1886	0,1260	0,0335	0,2047	0,0857	0,1690	0,0515	0,2557	0,1119	-0,0343	0,0620	0,0468	0,0199	0,2752	0,0836	0,1738	0,0505	0,2824	0,0236	0,2713	0,0503	0,0223	-0,0446	0,0511	0,0248	0,1330	0,1303	-0,0434	0,1948	0,1347	0,0845	0,0178	0,0644	0,2292	0,2128	0,2580	0,1444	0,0262	0,1111	0,1197	0,0417	0,0208	0,1496	0,0750	0,1799	0,1718	0,1102	0,1556
PCcor_d	0,2702	0,1668	0,1419	0,1240	0,0976	0,1745	0,2236	0,1282	0,1084	0,1663	0,1479	0,1888	0,1269	0,0732	0,1184	0,0122	0,3050	0,0678	-0,0047	0,0857	0,1856	0,0454	0,1480	0,0281	0,1657	0,1547	0,0371	0,1329	0,1680	0,0317	0,0716	0,2639	0,0566	0,0940	0,1737	0,0812	0,1851	0,0878	0,1897	0,1476	-0,0552	0,0373	0,0603	0,1761	0,1369	0,0918	0,1096	0,0294	0,1955	0,1405	0,1672	0,0361	0,1503	0,2398	0,1170	0,1261	0,1543	0,0559	0,1242	0,2087	0,0877	0,1975	0,1849	0,1609
ITgyr	0,1293	0,1703	0,1862	0,0961	0,1216	0,2979	0,1867	0,3307	0,1605	0,2019	0,1077	0,0669	0,1281	0,2089	0,2307	0,2001	0,2224	0,0752	0,0890	0,1690	0,0454	0,0379	0,0406	0,3263	0,1563	0,0938	0,0241	0,1339	0,2410	0,2070	0,0959	0,1010	0,0955	0,2697	0,1231	0,3634	0,1179	0,1279	0,1241	0,1087	0,0728	0,2487	0,1419	0,1218	0,1752	0,1654	0,1846	0,1552	0,1927	0,2178	0,2174	0,2492	0,1771	0,0757	0,1847	0,2164	0,0559	-0,0070	0,1373	0,2105	0,2219	0,2018	0,2017	0,2660
SMgyr	0,1730	0,0688	0,0144	0,0994	0,1266	0,2242	0,1353	0,0286	0,0402	0,1887	0,1411	0,1314	0,1205	0,1653	0,1950	0,0966	0,1101	0,2373	0,0991	0,0515	0,1480	0,0406	0,1735	0,1095	-0,0454	0,2298	-0,0259	0,0871	0,2525	0,2522	0,1214	0,3518	-0,0802	0,0653	0,0154	0,0558	0,1657	0,1926	0,1604	0,1714	0,0374	0,0446	0,1355	0,0559	0,2640	0,1580	0,3472	0,0904	0,4019	0,1457	0,3178	0,0779	0,3095	0,2194	0,1984	0,2553	0,1083	0,0449	0,2103	0,2635	0,0168	0,2267	0,0902	0,1578
MTgyr_a	0,1452	0,2130	0,2449	0,1602	0,0939	0,2672	0,1609	0,2933	0,4198	0,0803	0,0984	0,2057	0,0943	0,2365	0,2366	0,1934	0,2165	0,1301	0,1191	0,2557	0,0281	0,3263	0,1095	0,1866	0,2709	0,0694	0,0467	0,1962	0,2198	0,2485	0,1083	0,1453	0,1262	0,1724	0,0968	0,2772	0,1512	0,1178	0,1815	0,1388	0,1358	0,2808	0,2097	0,1144	0,1469	0,1689	0,1616	0,1710	0,2277	0,1529	0,2198	0,1354	0,1991	0,1259	0,2281	0,2153	0,0974	0,0299	0,1699	0,1847	0,1521	0,2427	0,1917	0,1427
AMY_HIPP	0,0353	0,0279	0,1295	0,0193	0,0961	0,0970	-0,0419	0,2305	0,3625	0,0719	0,0642	0,1723	-0,0282	0,0564	0,1561	0,1943	0,0496	-0,0083	0,2059	0,1119	0,1657	0,1563	-0,0454	0,2709	0,1259	0,0460	-0,0213	0,1399	0,1814	0,3138	0,1388	0,1581	0,1056	0,0722	0,1427	0,1889	0,0875	0,1870	0,1396	0,0661	0,0919	0,1316	0,1761	0,1241	0,0891	0,0539	0,0677	0,0782	0,2282	0,1715	0,0586	0,1072	0,0652	0,0666	0,1339	0,0467	0,0740	0,0076	0,1754	0,0529	0,1247	0,1841	0,1025	0,2006
FEF	0,1481	0,0254	0,0182	0,1191	0,1957	0,2147	0,1339	0,0955	0,0639	0,0889	0,1580	0,0708	0,1301	0,2319	0,2164	-0,0710	0,0086	0,2047	0,0490	-0,0343	0,1547	0,0938	0,2298	0,0694	0,0460	0,2124	-0,1090	0,0597	0,2307	0,1831	0,1300	0,1203	-0,0797	0,0723	-0,1334	0,0875	0,1261	0,0579	0,1392	0,1713	-0,0090	0,0957	0,1225	0,0377	0,1788	0,1049	0,1473	0,1707	0,2607	0,0416	0,0603	0,1776	0,1894	0,0171	0,0339	0,0887	0,1081	-0,0254	0,1409	0,2297	0,0551	0,1619	-0,0099	0,0635
VISnet_md	0,0119	-0,0085	-0,1146	-0,1002	-0,0154	-0,0778	0,0606	0,0859	0,0435	0,1036	0,0465	-0,1097	0,0374	0,0061	0,1077	-0,2195	-0,0583	0,0223	0,0730	0,0620	0,0371	0,0241	-0,0259	0,0467	-0,0213	-0,1090	-0,0434	-0,0599	-0,0872	0,0247	0,0978	0,1175	-0,2723	0,0683	-0,2022	0,0428	0,1046	-0,1670	0,0741	-0,0668	-0,0438	0,0660	-0,1399	0,0401	0,0118	0,0022	0,0144	-0,0406	0,1737	0,1204	0,1828	0,0836	0,1013	0,0291	0,1637	-0,0511	0,0294	-0,0493	0,0082	-0,0625	-0,1075	0,0184	0,0681	0,0641
OCCTgyr_l	0,1513	0,1377	0,1356	0,1461	0,1272	0,2807	0,1961	0,2628	0,2172	0,1455	0,0575	-0,0301	0,1429	0,1870	0,2262	0,1146	0,2154	0,1207	0,0944	0,0468	0,1329	0,1339	0,0871	0,1962	0,1399	0,0597	-0,0599	0,1000	0,2377	0,0781	0,1321	0,0979	-0,0209	0,2973	0,0139	0,2861	0,0609	0,0061	0,1311	0,0667	0,0286	0,2806	0,0174	0,1431	0,2241	0,1666	0,1274	0,0515	0,1604	0,1972	0,1617	0,2426	0,1781	0,0642	0,1308	0,1518	0,0251	0,0140	0,0517	0,1643	0,1863	0,2029	0,1352	0,2290
CER6	0,1711	0,1954	0,0687	0,2045	0,1144	0,2055	0,2241	0,2585	0,2295	0,2805	0,0486	0,0681	0,2262	0,1755	0,2606	0,1587	0,2370	0,1814	0,1715	0,0199	0,1680	0,2410	0,2525	0,2198	0,1814	0,2307	-0,0872	0,2377	0,0977	0,1745	0,1975	0,2379	-0,0235	0,3197	0,0097	0,2970	0,2034	0,1440	0,2130	0,2525	0,0801	0,3123	0,0584	0,1314	0,2459	0,2742	0,2184	-0,0234	0,4187	0,2619	0,2812	0,3022	0,2220	0,3541	0,2591	0,2209	0,1936	0,1248	0,2459	0,2114	0,1514	0,2777	0,1692	0,2407
PVISnet_m	0,1510	0,2717	0,1252	0,1107	0,1269	0,1453	0,1957	0,2851	0,3222	0,1965	0,1889	0,0424	0,2154	0,2858	0,2275	0,1006	0,1405	0,2391	0,1141	0,2752	0,0317	0,2070	0,2522	0,2485	0,3138	0,1831	0,0247	0,0781	0,1745	0,0281	0,1704	0,2355	-0,0844	0,2419	0,0297	0,4039	0,3119	0,0329	0,1912	0,0975	0,0129	0,1607	0,0413	0,1548	0,2033	0,2659	0,2364	0,2275	0,3301	0,2336	0,3115	0,2169	0,2685	0,1522	0,2624	0,1818	0,0664	0,0749	-0,0165	0,2717	0,1801	0,2757	0,2131	0,2242
R_IPlob	0,1878	0,1452	0,0738	0,2436	0,1638	0,2090	0,2806	0,0972	0,2971	0,1970	0,2161	0,0878	0,1265	0,1698	0,1788	0,0328	0,2086	0,1671	-0,0258	0,0836	0,0716	0,0959	0,1214	0,1083	0,1388	0,1300	0,0978	0,1321	0,1975	0,1704	0,1210	0,1834	0,1378	0,2816	0,0729	0,1587	0,1068	0,1007	0,1362	0,0689	0,0097	0,0546	0,1398	0,1727	0,1682	0,1394	0,1286	0,1898	0,1600	0,1306	0,1820	0,2615	0,1751	0,1001	0,1901	0,1326	0,1041	0,0209	0,1100	0,1759	0,2377	0,1176	0,1881	0,0305
IMsul	0,2736	0,2173	0,0209	0,0953	0,1595	0,2034	0,3151	0,1802	0,2036	0,2605	0,1414	0,0805	0,2015	0,2554	0,1985	0,0406	0,1738	0,3224	0,0824	0,1738	0,2639	0,1010	0,3518	0,1453	0,1581	0,1203	0,1175	0,0979	0,2379	0,2355	0,1834	0,1366	-0,0148	0,2080	0,1031	0,2139	0,1710	0,1696	0,2396	0,2611	-0,0120	0,0213	0,1555	0,1031	0,0730	0,3072	0,1910	0,0530	0,3883	0,1538	0,3596	0,2339	0,3810	0,1980	0,1624	0,1181	0,2105	0,0993	0,2463	0,2746	0,0928	0,1251	0,2217	0,2191
MVISnet_p	0,0580	-0,0441	0,0040	0,0593	-0,0585	0,0000	0,0912	0,1674	0,0694	0,1910	0,0200	-0,0699	-0,0044	-0,0134	0,0423	-0,0791	0,1328	-0,0064	0,1652	0,0505	0,0566	0,0955	-0,0802	0,1262	0,1056	-0,0797	-0,2723	-0,0209	-0,0235	-0,0844	0,1378	-0,0148	-0,1377	0,1529	-0,1257	0,1186	0,0608	-0,1103	0,1752	-0,0872	0,0792	0,2086	-0,1238	0,1009	0,0241	0,0081	-0,0264	0,0698	0,1406	0,0902	0,0459	0,1733	0,0237	0,0743	0,2424	-0,0790	0,0067	0,0652	-0,0552	-0,0361	0,0290	-0,0314	0,0203	0,0446
PGACcor	0,1264	0,1159	0,1124	0,1846	0,2903	0,2550	0,0057	0,1723	0,3084	0,1291	0,3261	0,3518	0,1096	0,0914	0,3530	0,1099	0,2060	0,0205	0,1308	0,2824	0,0940	0,2697	0,0653	0,1724	0,0722	0,0723	0,0683	0,2973	0,3197	0,2419	0,2816	0,2080	0,1529	0,0663	0,1478	0,2429	0,2369	0,1728	0,1539	0,1716	0,1605	0,0705	0,1946	0,3047	0,1168	0,2051	0,0535	0,1688	0,1719	0,2141	0,1086	0,1621	0,1136	0,0975	0,1736	0,0958	0,1907	0,0465	0,1992	0,1754	0,2082	0,1880	0,2179	0,3325
MVISnet_a	0,0801	0,0555	0,0438	-0,0360	-0,0527	-0,0363	0,0672	0,2369	0,0835	0,1481	0,0526	-0,0013	0,0493	0,0195	0,1563	-0,0489	0,0748	0,0520	0,1307	0,0236	0,1737	0,1231	0,0154	0,0968	0,1427	-0,1334	-0,2022	0,0139	0,0097	0,0297	0,0729	0,1031	-0,1257	0,1478	-0,0602	0,1167	0,0446	0,0536	-0,0179	-0,0367	0,0803	0,1726	-0,0232	0,0910	-0,0205	0,0446	-0,0216	-0,0188	0,1966	0,1154	0,2105	0,0877	0,0425	0,0624	0,1495	-0,0849	-0,0078	-0,0176	0,0193	-0,0276	-0,1091	-0,0593	0,0159	0,0655
AINS_v_PIsul	0,0595	0,1514	0,1758	0,0305	0,2281	0,2816	0,1115	0,2881	0,3945	0,1613	0,2095	0,1965	0,0542	0,1632	0,3286	0,1221	0,1594	0,0558	0,1961	0,2713	0,0812	0,3634	0,0558	0,2772	0,1889	0,0875	0,0428	0,2861	0,2970	0,4039	0,1587	0,2139	0,1186	0,2429	0,1167	0,1446	0,2193	0,1629	0,1899	0,1713	0,1222	0,2032	0,2452	0,1995	0,0880	0,1528	0,1331	0,1617	0,2770	0,1353	0,1488	0,2011	0,2485	0,1230	0,2426	0,0973	0,1352	0,0267	0,2931	0,1404	0,1738	0,2793	0,2432	0,3124
PRC_d	0,2670	0,1750	0,0495	0,1807	0,0756	0,2451	0,3303	0,1335	0,1598	0,1796	0,1532	0,1036	0,2071	0,1351	0,1969	0,0314	0,1521	0,2367	0,1511	0,0503	0,1851	0,1179	0,1657	0,1512	0,0875	0,1261	0,1046	0,0609	0,2034	0,3119	0,1068	0,1710	0,0608	0,2369	0,0446	0,2193	0,2140	0,1850	0,1460	0,1876	-0,0105	0,0859	0,2215	0,1464	0,1072	0,1947	0,0348	0,1928	0,2348	0,1143	0,3277	0,1918	0,2846	0,0876	0,1100	0,0638	0,1139	0,2249	0,2538	0,1619	0,0931	0,0994	0,1423	0,1444
LVISnet_a	0,0676	0,1511	0,1542	0,0539	0,0829	0,0798	0,1318	0,2301	0,1533	0,1369	0,0830	-0,0333	0,1518	0,1177	0,1885	-0,0002	0,0784	0,1881	0,1372	0,0223	0,0878	0,1279	0,1926	0,1178	0,1870	0,0579	-0,1670	0,0061	0,1440	0,0329	0,1007	0,1696	-0,1103	0,1728	0,0536	0,1629	0,1850	-0,0853	0,0808	0,0866	0,0392	0,1876	-0,0413	0,1277	0,1287	0,1685	0,1649	0,1415	0,2943	0,1345	0,2905	0,1073	0,0800	0,1548	0,1604	0,0462	0,1133	0,0752	0,0504	0,1231	-0,0327	0,1720	0,0779	0,1599
R_MFgyr_p	0,1908	0,1390	-0,0057	0,3262	0,1601	0,2427	0,3009	0,0863	0,2136	0,0838	0,0625	0,0318	0,1015	0,2063	0,1211	0,0474	0,1617	0,1557	0,1343	-0,0446	0,1897	0,1241	0,1604	0,1815	0,1396	0,1392	0,0741	0,1311	0,2130	0,1912	0,1362	0,2396	0,1752	0,1539	-0,0179	0,1899	0,1460	0,0808	0,2424	0,1045	-0,1338	0,0230	0,2065	0,0959	0,2181	0,1854	0,1233	0,2090	0,1002	0,0083	0,0896	0,2148	0,1148	0,1183	-0,0106	0,1742	0,1068	0,0664	0,1753	0,2158	0,0678	0,1319	0,0656	0,0850
FUSgyr_l	0,1513	0,1247	0,0866	0,1369	0,1777	0,2240	0,1613	0,1833	0,1534	0,0922	0,0495	-0,0158	0,1206	0,2169	0,2327	0,1131	0,0825	0,1306	0,0760	0,0511	0,1476	0,1087	0,1714	0,1388	0,0661	0,1713	-0,0668	0,0667	0,2525	0,0975	0,0689	0,2611	-0,0872	0,1716	-0,0367	0,1713	0,1876	0,0866	0,1045	0,1659	0,0198	0,1693	0,0252	0,0509	0,2674	0,1639	0,2698	0,0546	0,3021	0,1146	0,2182	0,1751	0,2554	0,0369	0,1453	0,1790	0,1113	0,0020	0,0645	0,1763	0,0669	0,3185	0,0979	0,1319
ORBcor	-0,0369	-0,0213	0,0360	0,0210	0,0184	0,1229	0,0593	0,1588	0,0819	-0,0064	-0,0161	-0,0791	0,0832	0,0747	0,0299	0,0829	0,0729	-0,0657	0,0056	0,0248	-0,0552	0,0728	0,0374	0,1358	0,0919	-0,0090	-0,0438	0,0286	0,0801	0,0129	0,0097	-0,0120	0,0792	0,1605	0,0803	0,1222	-0,0105	0,0392	-0,1338	0,0198	0,0180	0,1484	-0,0140	-0,0267	-0,0670	0,0386	0,1157	0,1134	0,1612	0,0322	0,0714	0,0830	0,0178	-0,0037	0,0383	0,0281	-0,0103	-0,0607	0,0124	-0,1228	-0,0258	0,0257	0,0716	0,0874
VMPFcor	0,0952	0,0094	0,1862	0,1059	0,1957	0,3276	0,0232	0,3036	0,3625	0,0562	0,2278	0,2271	0,1507	0,1306	0,2426	0,1826	0,2069	-0,0454	0,0289	0,1330	0,0373	0,2487	0,0446	0,2808	0,1316	0,0957	0,0660	0,2806	0,3123	0,1607	0,0546	0,0213	0,2086	0,0705	0,1726	0,2032	0,0859	0,1876	0,0230	0,1693	0,1484	-0,0007	0,2093	0,1566	0,0469	0,1020	0,0762	0,2379	0,1514	0,1055	0,0817	0,0212	0,0659	0,0830	0,0169	0,1200	0,1345	-0,0146	0,1529	0,1343	0,1367	0,1033	0,1436	0,2151
PVISnet_l	0,0934	0,1058	0,0917	0,1071	0,0548	0,1258	0,1740	0,2234	0,2048	0,1917	0,1497	0,0008	0,1809	0,1236	0,1644	-0,0211	0,1218	0,1892	0,1894	0,1303	0,0603	0,1419	0,1355	0,2097	0,1761	0,1225	-0,1399	0,0174	0,0584	0,0413	0,1398	0,1555	-0,1238	0,1946	-0,0232	0,2452	0,2215	-0,0413	0,2065	0,0252	-0,0140	0,2093	-0,1255	0,1402	0,1751	0,1668	0,1960	0,1592	0,2676	0,1783	0,2083	0,2381	0,1407	0,1682	0,1881	0,1004	0,1101	0,1291	0,0557	0,1642	0,1370	0,1966	0,1559	0,1846
L_CERCR2	0,0963	0,1078	0,1198	0,1348	0,0449	0,2222	0,2037	0,1109	0,0776	0,1626	0,0750	0,0736	0,1157	0,0519	0,0093	0,1532	0,1150	0,0865	0,1230	-0,0434	0,1761	0,1218	0,0559	0,1144	0,1241	0,0377	0,0401	0,1431	0,1314	0,1548	0,1727	0,1031	0,1009	0,3047	0,0910	0,1995	0,1464	0,1277	0,0959	0,0509	-0,0267	0,1566	0,1402	0,0373	0,0765	0,1469	0,0642	-0,0120	0,2646	0,0769	0,1805	0,3019	0,2042	0,1678	0,2225	0,0669	0,0798	0,1093	0,1743	0,0706	0,1664	0,0481	0,0754	0,0780
MOTnet_m	0,0623	0,0772	0,0204	-0,0083	0,1453	0,2276	0,1571	0,1092	0,1783	0,2285	0,2307	0,1209	0,2017	0,2836	0,2206	0,0629	0,1139	0,1478	0,1478	0,1948	0,1369	0,1752	0,2640	0,1469	0,0891	0,1788	0,0118	0,2241	0,2459	0,2033	0,1682	0,0730	0,0241	0,1168	-0,0205	0,0880	0,1072	0,1287	0,2181	0,2674	-0,0670	0,0469	0,1751	0,0765	0,0169	0,2047	0,3289	-0,0136	0,3336	0,0851	0,1281	0,2314	0,2797	0,1511	0,1130	0,1460	0,1643	0,0184	0,2091	0,1449	0,1691	0,1501	0,2009	0,2057
AUDnet	0,2184	0,0807	0,1032	0,1380	0,2031	0,2715	0,1502	0,1367	0,2014	0,2094	0,1512	0,1301	0,1251	0,2612	0,2914	0,1321	0,1912	0,1147	0,0780	0,1347	0,0918	0,1654	0,1580	0,1689	0,0539	0,1049	0,0022	0,1666	0,2742	0,2659	0,1394	0,3072	0,0081	0,2051	0,0446	0,1528	0,1947	0,1685	0,1854	0,1639	0,0386	0,1020	0,1668	0,1469	0,2047	0,1820	0,2089	0,1453	0,3436	0,1421	0,2595	0,1896	0,2412	0,1822	0,1854	0,1805	0,1723	-0,0004	0,2181	0,1641	0,0875	0,2580	0,1312	0,2572
PCsul	0,1578	0,1584	0,1020	0,1047	0,1075	0,3006	0,1790	0,1475	0,1395	0,1260	0,0771	0,0602	0,2286	0,3013	0,2127	0,0375	0,0962	0,2757	0,0324	0,0845	0,1096	0,1846	0,3472	0,1616	0,0677	0,1473	0,0144	0,1274	0,2184	0,2364	0,1286	0,1910	-0,0264	0,0535	-0,0216	0,1331	0,0348	0,1649	0,1233	0,2698	0,1157	0,0762	0,1960	0,0642	0,3289	0,2089	0,1260	0,0757	0,3039	0,2032	0,2773	0,1340	0,2539	0,1552	0,0951	0,2230	0,0292	-0,0174	0,2571	0,2135	0,0331	0,1996	-0,0659	0,1890
CER9	0,1787	0,0094	0,1014	0,1206	-0,1139	0,0834	0,1599	0,0714	0,1140	0,1843	-0,0127	0,1875	0,1565	0,0898	-0,0562	0,0826	0,1663	0,1017	0,1190	0,0178	0,0294	0,1552	0,0904	0,1710	0,0782	0,1707	-0,0406	0,0515	-0,0234	0,2275	0,1898	0,0530	0,0698	0,1688	-0,0188	0,1617	0,1928	0,1415	0,2090	0,0546	0,1134	0,2379	0,1592	-0,0120	-0,0136	0,1453	0,0757	-0,0274	0,2204	0,1655	0,1721	0,1609	0,1285	0,2721	0,2379	0,0418	0,1925	0,0907	0,1474	0,1032	0,2296	0,0618	0,1695	0,0767
R_IPsul_PORB	0,2240	0,2796	0,2099	0,3014	0,3344	0,3731	0,2828	0,1733	0,1691	0,2303	0,1850	0,1243	0,1729	0,3919	0,3364	0,1876	0,1576	0,3644	0,1479	0,0644	0,1955	0,1927	0,4019	0,2277	0,2282	0,2607	0,1737	0,1604	0,4187	0,3301	0,1600	0,3883	0,1406	0,1719	0,1966	0,2770	0,2348	0,2943	0,1002	0,3021	0,1612	0,1514	0,2676	0,2646	0,3336	0,3436	0,3039	0,2204	0,2299	0,2299	0,2436	0,2089	0,2826	0,1825	0,2169	0,2993	0,2734	0,1912	0,4005	0,2515	0,1357	0,2836	0,1718	0,2581
VLPFcor	0,1063	0,0816	0,1136	0,1670	0,1918	0,2605	0,1608	0,1733	0,1911	0,0798	0,0793	0,0853	0,1115	0,2568	0,1983	0,1251	0,1559	0,1182	0,1264	0,2292	0,1405	0,2178	0,1457	0,1529	0,1715	0,0416	0,1204	0,1972	0,2619	0,2336	0,1306	0,1538	0,0902	0,2141	0,1154	0,1353	0,1143	0,1345	0,0083	0,1146	0,0322	0,1055	0,1783	0,0769	0,0851	0,1421	0,2032	0,1655	0,2299	0,0414	0,1321	0,1633	0,1059	0,1161	0,1030	0,0876	0,0980	0,1256	0,2017	0,0137	-0,0144	0,1633	0,0819	0,1789
AINS_d	0,2067	0,2539	0,0207	0,1271	0,2748	0,1569	0,0994	0,0898	0,1788	0,1508	0,1964	0,1528	0,0513	0,2061	0,2762	0,1198	0,1211	0,2298	0,1923	0,2128	0,1672	0,2174	0,3178	0,2198	0,0586	0,0603	0,1828	0,1617	0,2812	0,3115	0,1820	0,3596	0,0459	0,1086	0,2105	0,1488	0,3277	0,2905	0,0896	0,2182	0,0714	0,0817	0,2083	0,1805	0,1281	0,2595	0,2773	0,1721	0,2436	0,1321	0,1801	0,1771	0,1834	0,1824	0,1177	0,1432	0,2622	0,1729	0,3549	0,0923	0,0602	0,2433	0,1696	0,2993
DMPFcor_a	0,2096	0,1622	0,1177	0,2222	0,2116	0,2627	0,2024	0,1742	0,3660	0,1834	0,3237	0,3229	0,0831	0,1600	0,2962	0,0361	0,2452	0,0957	0,0209	0,2580	0,0361	0,2492	0,0779	0,1354	0,1072	0,1776	0,0836	0,2426	0,3022	0,2169	0,2615	0,2339	0,1733	0,1621	0,0877	0,2011	0,1918	0,1073	0,2148	0,1751	0,0830	0,0212	0,2381	0,3019	0,2314	0,1896	0,1340	0,1609	0,2089	0,1633	0,1771	0,2219	0,1924	0,1263	0,2093	0,1875	0,1217	-0,0516	0,1419	0,2578	0,1924	0,2038	0,2504	0,3101
MFgyr_a	0,1575	0,2271	0,0588	0,1909	0,2051	0,1933	0,3548	0,1448	0,2075	0,1661	0,2700	0,1433	0,2559	0,2128	0,2441	-0,0080	0,1343	0,2177	0,1262	0,1444	0,1503	0,1771	0,3095	0,1991	0,0652	0,1894	0,1013	0,1781	0,2220	0,2685	0,1751	0,3810	0,0237	0,1136	0,0425	0,2485	0,2846	0,0800	0,1148	0,2554	0,0178	0,0659	0,1407	0,2042	0,2797	0,2412	0,2539	0,1285	0,2826	0,1059	0,1834	0,1924	0,3289	0,1985	0,0111	0,1814	0,1831	0,0806	0,2189	0,2550	0,1383	0,2685	0,3530	0,2684
R_IFsul	0,1243	0,1863	0,1338	0,3017	0,3581	0,2702	0,1771	0,1049	0,1681	0,1276	0,1823	0,0880	0,0700	0,2350	0,3261	0,0255	0,1058	0,1971	0,1129	0,0262	0,2398	0,0757	0,2194	0,1259	0,0666	0,0171	0,0291	0,0642	0,3541	0,1522	0,1001	0,1980	0,0743	0,0975	0,0624	0,1230	0,0876	0,1548	0,1183	0,0369	-0,0037	0,0830	0,1682	0,1678	0,1511	0,1822	0,1552	0,2721	0,1825	0,1161	0,1824	0,1263	0,1985	0,1412	0,1236	0,1520	0,0998	0,0700	0,1608	0,0900	0,0336	0,1457	0,0645	0,0883
FP_l	0,1760	0,0872	0,0510	0,2705	0,1177	0,2980	0,1621	0,1626	0,2080	0,1219	0,1757	0,1233	0,1519	0,1726	0,1845	0,0901	0,1760	0,1334	0,0903	0,1111	0,1170	0,1847	0,1984	0,2281	0,1339	0,0339	0,1637	0,1308	0,2591	0,2624	0,1901	0,1624	0,2424	0,1736	0,1495	0,2426	0,1100	0,1604	-0,0106	0,1453	0,0383	0,0169	0,1881	0,2225	0,1130	0,1854	0,0951	0,2379	0,2169	0,1030	0,1177	0,2093	0,0111	0,1236	0,1791	0,0703	0,1666	0,0661	0,2216	0,0717	0,1329	0,1228	0,1277	0,2349
MOTnet_dl	0,0886	0,0461	0,0013	0,0284	0,1018	0,2226	0,1121	0,1582	0,2525	0,1132	0,1536	0,0517	0,0914	0,2691	0,2368	-0,0440	0,0750	0,1685	0,1128	0,1197	0,1261	0,2164	0,2553	0,2153	0,0467	0,0887	-0,0511	0,1518	0,2209	0,1818	0,1326	0,1181	-0,0790	0,0958	-0,0849	0,0973	0,0638	0,0462	0,1742	0,1790	0,0281	0,1200	0,1004	0,0669	0,1460	0,1805	0,2230	0,0418	0,2993	0,0876	0,1432	0,1875	0,1814	0,1520	0,0703	0,1163	0,0491	0,0098	0,1725	0,1396	0,0806	0,1831	0,0164	0,2438
DVIS	0,2143	0,1469	0,1165	0,1903	0,1812	0,1933	0,2435	0,1492	0,0660	0,1026	0,0209	-0,0842	0,2016	0,1770	0,2484	0,0153	0,0854	0,2079	0,0893	0,0417	0,1543	0,0559	0,1083	0,0974	0,0740	0,1081	0,0294	0,0251	0,1936	0,0664	0,1041	0,2105	0,0067	0,1907	-0,0078	0,1352	0,1139	0,1133	0,1068	0,1113	-0,0103	0,1345	0,1101	0,0798	0,1643	0,1723	0,0292	0,1925	0,2734	0,0980	0,2622	0,1217	0,1831	0,0998	0,1666	0,0491	0,0859	0,1103	0,0851	0,1256	0,0058	0,1059	0,0464	0,0914
POsul	0,1254	0,0154	0,0655	0,0188	0,0785	0,0578	0,1341	0,1119	0,0882	0,1265	0,0657	0,0794	0,1052	0,0399	0,1952	-0,0274	0,0666	0,0260	0,0529	0,0208	0,0559	-0,0070	0,0449	0,0299	0,0076	-0,0254	-0,0493	0,0140	0,1248	0,0749	0,0209	0,0993	0,0652	0,0465	-0,0176	0,0267	0,2249	0,0752	0,0664	0,0020	-0,0607	-0,0146	0,1291	0,1093	0,0184	-0,0004	-0,0174	0,0907	0,1912	0,1256	0,1729	-0,0516	0,0806	0,0700	0,0661	0,0098	0,1103	-0,0035	0,0630	0,0527	-0,0842	0,0300	0,0849	-0,0123
LVISnet_p	0,1697	0,2245	0,1787	0,1172	0,1933	0,2092	0,2089	0,2148	0,1900	0,1697	0,1229	-0,0043	0,2299	0,2108	0,2710	-0,0214	0,1245	0,1946	0,1184	0,1496	0,1242	0,1373	0,2103	0,1699	0,1754	0,1409	0,0082	0,0517	0,2459	-0,0165	0,1100	0,2463	-0,0552	0,1992	0,0193	0,2931	0,2538	0,0504	0,1753	0,0645	0,0124	0,1529	0,0557	0,1743	0,2091	0,2181	0,2571	0,1474	0,4005	0,2017	0,3549	0,1419	0,2189	0,1608	0,2216	0,1725	0,0851	0,0630	-0,0028	0,2278	0,0613	0,2407	0,1647	0,1752
SMOTcor	0,0963	0,0473	-0,0300	0,1089	0,2014	0,1959	0,1456	0,0974	0,1990	0,1935	0,2019	0,0663	0,1407	0,2145	0,2844	0,0119	0,1135	0,2085	0,1363	0,0750	0,2087	0,2105	0,2635	0,1847	0,0529	0,2297	-0,0625	0,1643	0,2114	0,2717	0,1759	0,2746	-0,0361	0,1754	-0,0276	0,1404	0,1619	0,1231	0,2158	0,1763	-0,1228	0,1343	0,1642	0,0706	0,1449	0,1641	0,2135	0,1032	0,2515	0,0137	0,0923	0,2578	0,2550	0,0900	0,0717	0,1396	0,1256	0,0527	0,2278	0,1900	0,0873	0,1682	0,0860	0,1603
L_SFgyr_a	0,0602	0,0785	0,0496	0,1342	0,0652	0,1980	0,1568	0,1766	0,3478	0,0438	0,1555	0,2081	0,0104	0,1189	0,1824	-0,0046	0,1440	0,0206	0,0872	0,1799	0,0877	0,2219	0,0168	0,1521	0,1247	0,0551	-0,1075	0,1863	0,1514	0,1801	0,2377	0,0928	0,0290	0,2082	-0,1091	0,1738	0,0931	-0,0327	0,0678	0,0669	-0,0258	0,1367	0,1370	0,1664	0,1691	0,0875	0,0331	0,2296	0,1357	-0,0144	0,0602	0,1924	0,1383	0,0336	0,1329	0,0806	0,0058	-0,0842	0,0613	0,0873	0,1687	0,1368	0,0952	0,1390
SPlob	0,1896	0,2168	0,0920	0,0981	0,0945	0,3036	0,1971	0,1597	0,2077	0,1754	0,1291	0,0967	0,2072	0,2957	0,1386	0,1035	0,1531	0,2371	0,1362	0,1718	0,1975	0,2018	0,2267	0,2427	0,1841	0,1619	0,0184	0,2029	0,2777	0,2757	0,1176	0,1251	-0,0314	0,1880	-0,0593	0,2793	0,0994	0,1720	0,1319	0,3185	0,0257	0,1033	0,1966	0,0481	0,1501	0,2580	0,1996	0,0618	0,2836	0,1633	0,2433	0,2038	0,2685	0,1457	0,1228	0,1831	0,1059	0,0300	0,2407	0,1682	0,1368	0,0997	0,1545	0,2158
L_IPsul_MFgyr_p	0,1505	0,0848	0,0946	0,1490	0,0687	0,2365	0,2635	0,1724	0,1785	0,1756	0,1500	0,0383	0,2347	0,1759	0,2015	-0,0159	0,1187	0,1360	0,0720	0,1102	0,1849	0,2017	0,0902	0,1917	0,1025	-0,0099	0,0681	0,1352	0,1692	0,2131	0,1881	0,2217	0,0203	0,2179	0,0159	0,2432	0,1423	0,0779	0,0656	0,0979	0,0716	0,1436	0,1559	0,0754	0,2009	0,1312	-0,0659	0,1695	0,1718	0,0819	0,1696	0,2504	0,3530	0,0645	0,1277	0,0164	0,0464	0,0849	0,1647	0,0860	0,0952	0,1545	0,0442	0,1460
MTgyr_p	0,2961	0,2062	0,1538	0,2343	0,1239	0,3133	0,2432	0,3464	0,3124	0,1881	0,0724	0,0907	0,1444	0,2987	0,2387	0,1483	0,3379	0,2009	0,0421	0,1556	0,1609	0,2660	0,1578	0,1427	0,2006	0,0635	0,0641	0,2290	0,2407	0,2242	0,0305	0,2191	0,0446	0,3325	0,0655	0,3124	0,1444	0,1599	0,0850	0,1319	0,0874	0,2151	0,1846	0,0780	0,2057	0,2572	0,1890	0,0767	0,2581	0,1789	0,2993	0,3101	0,2684	0,0883	0,2349	0,2438	0,0914	-0,0123	0,1752	0,1603	0,1390	0,2158	0,1460	0,2083

Table S1.8 Seed regions ranked by the average absolute effect size estimate in each of the 7 CWAS

Region	SZ	ASD	ADHD	16pDel	16pDup	22qDel	22qDup
1	ANTERIOR_C	MIDDLE_TEM	MIDDLE_TEMPORAL_GYRU	FRONTAL_PO	MIDDLE_TEM	TEMPORAL_P	MEDIAL_VISUAL_NETWORK_posterior
2	POSTERIOR_	TEMPORAL_P	left_INTRAPARIETAL_SULC	CAUDATE_NU	left_INTRAPA	PERIGENUAL	CEREBELLUM_I-V
3	POSTERIOR_	MIDDLE_FRO	POSTERIOR_VISUAL_NETW	PUTAMEN	POSTERIOR_	ANTERIOR_II	POSTERIOR_VISUAL_NETWORK_lateral
4	ANTERIOR_II	CEREBELLUM	CEREBELLUM_VI	MIDDLE_FRO	CEREBELLUM	ANTERIOR_C	FUSIFORM_GYRUS_lateral
5	INFERIOR_M	FUSIFORM_G	OCCIPITOTEMPORAL_GYRU	ANTERIOR_C	OCCIPITOTEM	AMYGDALA_	LATERAL_VISUAL_NETWORK_anterior
6	PARIETO_OC	right_INFERI	VISUAL_NETWORK_mediod	CEREBELLUM	VISUAL_NET	VENTRAL_M	INFERIOR_TEMPORAL_GYRUS
7	SUPRAMARG	DORSOMEDI	FRONTAL_EYE_FIELD	LATERAL_VIS	FRONTAL_EY	INFERIOR_TE	CEREBELLUM_VI
8	MEDIAL_VISU	FRONTAL_PO	AMYGDALA_and_HIPPOCA	VENTROLATE	AMYGDALA_	CEREBELLUM	ORBITOFRONTAL_CORTEX
9	ANTERIOR_II	PERIGENUAL	MIDDLE_TEMPORAL_GYRU	PERIGENUAL	MIDDLE_TEM	FUSIFORM_G	POSTERIOR_INSULA_dorsal
10	PERIGENUAL	OCCIPITOTEM	SUPRAMARGINAL_GYRUS	left_INTRAPA	SUPRAMARG	CAUDATE_NU	OCCIPITOTEMPORAL_GYRUS_lateral
11	PRE_SUPPLE	SUPERIOR_F	INFERIOR_TEMPORAL_GY	OCCIPITOTEM	INFERIOR_TE	DORSOMEDI	AUDITORY_NETWORK
12	right_INTRAF	VISUAL_NET	POSTERIOR_CINGULATE_C	CEREBELLUM	POSTERIOR_	SUPERIOR_P	SUPRAMARGINAL_GYRUS
13	CEREBELLUM	VENTRAL_MI	left_INFERIOR_PARIETAL_	CEREBELLUM	left_INFERIO	MIDDLE_TEM	POSTERIOR_CINGULATE_CORTEX_dorsal
14	DORSOMEDI	CEREBELLUM	POSTERIOR_CINGULATE_C	DORSAL_VIS	POSTERIOR_	CEREBELLUM	MIDDLE_TEMPORAL_GYRUS_anterior
15	POSTCENTRA	AMYGDALA_	POSTERIOR_INSULA_dorsa	SOMATOMO	POSTERIOR_	FRONTAL_PO	AMYGDALA_and_HIPPOCAMPUS
16	MIDDLE_TEM	AUDITORY_N	CAUDATE_NUCLEUS	POSTERIOR_	CAUDATE_NU	DORSOMEDI	left_INFERIOR_PARIETAL_LOBULE
17	TEMPORAL_P	LATERAL_VIS	FUSIFORM_GYRUS_media	VISUAL_NET	FUSIFORM_G	MIDDLE_FRO	FRONTAL_EYE_FIELD
18	CEREBELLUM	CEREBELLUM	CEREBELLUM_VIIb	AUDITORY_N	CEREBELLUM	CEREBELLUM	POSTERIOR_CINGULATE_CORTEX_and_PRECUNEUS
19	INFERIOR_TE	MEDIAL_VISU	SOMATOMOTOR_NETWO	MEDIAL_VISU	SOMATOMO	CEREBELLUM	VISUAL_NETWORK_mediodorsal
20	AMYGDALA_	POSTERIOR_	left_INFERIOR_FRONTAL_	AMYGDALA_	left_INFERIO	ORBITOFRON	MIDDLE_TEMPORAL_GYRUS_posterior
21	MIDDLE_TEM	right_INTRAF	CEREBELLUM_CRUSI	CEREBELLUM	CEREBELLUM	MEDIAL_VISU	FUSIFORM_GYRUS_medial
22	PRECUNEUS_	ANTERIOR_II	CEREBELLUM_CRUSII_righ	FRONTAL_EY	CEREBELLUM	MIDDLE_TEM	CEREBELLUM_VIIb
23	right_INFERI	SOMATOMO	DORSOMEDIAL_PREFRON	right_MIDDLI	DORSOMEDI	POSTERIOR_	SOMATOMOTOR_NETWORK_ventrolateral
24	PUTAMEN	PARIETO_OC	TEMPORAL_POLE	SUPRAMARG	TEMPORAL_P	ANTERIOR_II	left_INFERIOR_FRONTAL_SULCUS
25	AUDITORY_N	ANTERIOR_C	CAUDATE_NUCLEUS_HEAD	LATERAL_VIS	CAUDATE_NU	POSTERIOR_	CEREBELLUM_CRUSI
26	POSTERIOR_	SUPRAMARG	ANTERIOR_CINGULATE_C	INFERIOR_M	ANTERIOR_C	PRE_SUPPLE	CEREBELLUM_CRUSII_right
27	right_INFERI	POSTERIOR_	CEREBELLUM_I-V	FUSIFORM_G	CEREBELLUM	SOMATOMO	DORSOMEDIAL_PREFRONTAL_CORTEX_posterior
28	SUPERIOR_P	THALAMUS	CEREBELLUM_VIIIab	POSTCENTRA	CEREBELLUM	CEREBELLUM	TEMPORAL_POLE
29	CEREBELLUM	MIDDLE_TEM	THALAMUS	ANTERIOR_II	THALAMUS	SOMATOMO	CAUDATE_NUCLEUS_HEAD_and_NUCLEUS_ACCUMBENS
30	left_INFERIO	INFERIOR_M	CEREBELLUM_VERMIS	SUPERIOR_P	CEREBELLUM	VENTROLATE	ANTERIOR_CINGULATE_CORTEX_dorsal
31	SOMATOMO	LATERAL_VIS	POSTERIOR_INSULA_ventr	POSTERIOR_	POSTERIOR_	SOMATOMO	CEREBELLUM_VIIIab
32	FUSIFORM_G	DORSAL_VIS	right_INFERIOR_PARIETAL	INFERIOR_TE	right_INFERI	LATERAL_VIS	THALAMUS
33	VENTROLATE	SOMATOMO	INFERIOR_MARGINAL_SU	PARIETO_OC	INFERIOR_M	POSTERIOR_	CEREBELLUM_VERMIS
34	OCCIPITOTEM	ANTERIOR_II	MEDIAL_VISUAL_NETWOR	SOMATOMO	MEDIAL_VISU	LATERAL_VIS	POSTERIOR_INSULA_ventral
35	VISUAL_NET	CEREBELLUM	right_INTRAPARIETAL_SUL	left_INFERIO	right_INTRAF	POSTERIOR_	CAUDATE_NUCLEUS
36	CEREBELLUM	POSTCENTRA	SUPERIOR_PARIETAL_LOB	right_INTRAF	SUPERIOR_P	POSTERIOR_	INFERIOR_MARGINAL_SULCUS
37	VENTRAL_MI	SOMATOMO	SUPERIOR_FRONTAL_GYR	CEREBELLUM	SUPERIOR_F	POSTERIOR_	POSTERIOR_VISUAL_NETWORK_medial
38	MIDDLE_FRO	CAUDATE_NU	PRE_SUPPLEMENTARY_MO	SOMATOMO	PRE_SUPPLE	left_INFERIO	right_INFERIOR_PARIETAL_LOBULE
39	FRONTAL_EY	INFERIOR_TE	LATERAL_VISUAL_NETWO	DORSOMEDI	LATERAL_VIS	THALAMUS	SUPERIOR_PARIETAL_LOBULE
40	DORSOMEDI	CEREBELLUM	PARIETO_OCCIPITAL_SULC	CEREBELLUM	PARIETO_OC	CAUDATE_NU	SUPERIOR_FRONTAL_GYRUS_anterior
41	THALAMUS	VENTROLATE	DORSAL_VISUAL_STREAM	THALAMUS	DORSAL_VIS	CEREBELLUM	PRE_SUPPLEMENTARY_MOTOR_CORTEX
42	SOMATOMO	left_INFERIO	SOMATOMOTOR_NETWO	left_INFERIO	SOMATOMO	CEREBELLUM	LATERAL_VISUAL_NETWORK_posterior
43	SOMATOMO	PUTAMEN	FRONTAL_POLE_lateral	PRECUNEUS_	FRONTAL_PO	left_INFERIO	PARIETO_OCCIPITAL_SULCUS
44	DORSAL_VIS	POSTERIOR_	right_INFERIOR_FRONTAL	FUSIFORM_G	right_INFERI	INFERIOR_M	DORSAL_VISUAL_STREAM
45	left_INTRAPA	right_INFERI	MIDDLE_FRONTAL_GYRUS	TEMPORAL_P	MIDDLE_FRO	SUPRAMARG	SOMATOMOTOR_NETWORK_dorsolateral
46	LATERAL_VIS	PRECUNEUS_	DORSOMEDIAL_PREFRON	MIDDLE_TEM	DORSOMEDI	FRONTAL_EY	FRONTAL_POLE_lateral
47	ORBITOFRON	left_INTRAPA	ANTERIOR_INSULA_dorsal	POSTERIOR_	ANTERIOR_II	SUPERIOR_F	right_INFERIOR_FRONTAL_SULCUS
48	CEREBELLUM	POSTERIOR_	VENTROLATERAL_PREFRO	MIDDLE_TEM	VENTROLATE	PARIETO_OC	MIDDLE_FRONTAL_GYRUS_anterior
49	POSTERIOR_	ORBITOFRON	CEREBELLUM_IX	DORSOMEDI	CEREBELLUM	DORSAL_VIS	DORSOMEDIAL_PREFRONTAL_CORTEX_anterior
50	CAUDATE_NU	POSTERIOR_	PERIGENUAL_ANTERIOR_C	ANTERIOR_II	PERIGENUAL	right_INFERI	ANTERIOR_INSULA_dorsal
51	CEREBELLUM	CEREBELLUM	POSTCENTRAL_SULCUS	ORBITOFRON	POSTCENTRA	right_INTRAF	VENTROLATERAL_PREFRONTAL_CORTEX
52	POSTERIOR_	SUPERIOR_P	AUDITORY_NETWORK	right_INFERI	AUDITORY_N	CEREBELLUM	right_INTRAPARIETAL_SULCUS_and_PARS_ORBITALIS
53	FRONTAL_PO	PRE_SUPPLE	SOMATOMOTOR_NETWO	SUPERIOR_F	SOMATOMO	POSTCENTRA	CEREBELLUM_IX
54	CAUDATE_NU	CEREBELLUM	CEREBELLUM_CRUSII_left	POSTERIOR_	CEREBELLUM	AUDITORY_N	POSTCENTRAL_SULCUS
55	FUSIFORM_G	CAUDATE_NU	POSTERIOR_VISUAL_NETW	VENTRAL_MI	POSTERIOR_	CEREBELLUM	SOMATOMOTOR_NETWORK_medial
56	SUPERIOR_F	CEREBELLUM	VENTRAL_MEDIAL_PREFR	CEREBELLUM	VENTRAL_MI	FUSIFORM_G	CEREBELLUM_CRUSII_left
57	CEREBELLUM	DORSOMEDI	ORBITOFRONTAL_CORTEX	MEDIAL_VISU	ORBITOFRON	right_MIDDLI	VENTRAL_MEDIAL_PREFRONTAL_CORTEX
58	MEDIAL_VISU	left_INFERIO	FUSIFORM_GYRUS_latera	POSTERIOR_	FUSIFORM_G	PRECUNEUS_	right_MIDDLE_FRONTAL_GYRUS_posterior
59	left_INFERIO	CEREBELLUM	right_MIDDLE_FRONTAL_G	CAUDATE_NU	right_MIDDLI	MEDIAL_VISU	PRECUNEUS_dorsal
60	right_MIDDLI	FUSIFORM_G	LATERAL_VISUAL_NETWO	right_INFERI	LATERAL_VIS	left_INTRAPA	ANTERIOR_INSULA_ventral_and_PERI_INSULAR_SULCUS
61	LATERAL_VIS	right_MIDDLI	PRECUNEUS_dorsal	PRE_SUPPLE	PRECUNEUS_	right_INFERI	MEDIAL_VISUAL_NETWORK_anterior
62	POSTERIOR_	POSTERIOR_	ANTERIOR_INSULA_ventra	CEREBELLUM	ANTERIOR_II	OCCIPITOTEM	PERIGENUAL_ANTERIOR_CINGULATE_CORTEX
63	CEREBELLUM	FRONTAL_EY	MEDIAL_VISUAL_NETWOR	CEREBELLUM	MEDIAL_VISU	VISUAL_NET	left_INTRAPARIETAL_SULCUS_and_MIDDLE_FRONTAL_GYRUS_posterior
64	CEREBELLUM	MEDIAL_VISU	PUTAMEN	POSTERIOR_	PUTAMEN	PUTAMEN	PUTAMEN

Table S1.9 Region name and abbreviation legend

ROI_label_64	ROI_full_name_64	Networks_12
PUT	PUTAMEN	BASAL_GANGLIA_and_THALAMUS
PINS_v	POSTERIOR_INSULA_ventral	AUDITORY_NETWORK_and_POSTERIOR_INSULA
CERVM	CEREBELLUM_VERMIS	MESOLIMBIC_NETWORK
THAL	THALAMUS	BASAL_GANGLIA_and_THALAMUS
CER7ab	CEREBELLUM_VIIab	CEREBELLUM
CER5	CEREBELLUM_I-V	CEREBELLUM
ACcor_d	ANTERIOR_CINGULATE_CORTEX_dorsal	VENTRAL_ATTENTION_NETWORK_and_SALIENCE_NETWORK
CAUDNH_NACC	CAUDATE_NUCLEUS_HEAD_and_NUCLEU	MESOLIMBIC_NETWORK
TP	TEMPORAL_POLE	MESOLIMBIC_NETWORK
DMPFcor_p	DORSOMEDIAL_PREFRONTAL_CORTEX_	VENTRAL_ATTENTION_NETWORK_and_SALIENCE_NETWORK
R_CERCR2	CEREBELLUM_CRUSII_right	CEREBELLUM
CERCR1	CEREBELLUM_CRUSI	CEREBELLUM
L_IFsul	left_INFERIOR_FRONTAL_SULCUS	FRONTO_PARIETAL_NETWORK
MOTnet_vl	SOMATOMOTOR_NETWORK_ventrolateral	SOMATOMOTOR_NETWORK
CER7b	CEREBELLUM_VIIb	CEREBELLUM
FUSgyr_m	FUSIFORM_GYRUS_medial	VENTRAL_VISUAL_STREAM_and_DORSAL_VISUAL_STREAM
CAUDN	CAUDATE_NUCLEUS	BASAL_GANGLIA_and_THALAMUS
PINS_d	POSTERIOR_INSULA_dorsal	AUDITORY_NETWORK_and_POSTERIOR_INSULA
PCcor_PRC	POSTERIOR_CINGULATE_CORTEX_and_I	DEFAULT_MODE_NETWORK_posteromedial
L_IPlob	left_INFERIOR_PARIETAL_LOBULE	DEFAULT_MODE_NETWORK_anteromedial_and_left_ANGULAR_GYRUS
PCcor_d	POSTERIOR_CINGULATE_CORTEX_dorsa	VENTRAL_ATTENTION_NETWORK_and_SALIENCE_NETWORK
ITgyr	INFERIOR_TEMPORAL_GYRUS	MESOLIMBIC_NETWORK
SMgyr	SUPRAMARGINAL_GYRUS	VENTRAL_ATTENTION_NETWORK_and_SALIENCE_NETWORK
MTgyr_a	MIDDLE_TEMPORAL_GYRUS_anterior	DEFAULT_MODE_NETWORK_lateral
AMY_HIPP	AMYGDALA_and_HIPPOCAMPUS	MESOLIMBIC_NETWORK
FEF	FRONTAL_EYE_FIELD	VENTRAL_ATTENTION_NETWORK_and_SALIENCE_NETWORK
VISnet_md	VISUAL_NETWORK_mediodorsal	VISUAL_NETWORK
OCCTgyr_l	OCCIPITOTEMPORAL_GYRUS_lateral	VENTRAL_VISUAL_STREAM_and_DORSAL_VISUAL_STREAM
CER6	CEREBELLUM_VI	CEREBELLUM
PVISnet_m	POSTERIOR_VISUAL_NETWORK_medial	VISUAL_NETWORK
R_IPlob	right_INFERIOR_PARIETAL_LOBULE	FRONTO_PARIETAL_NETWORK
IMsul	INFERIOR_MARGINAL_SULCUS	VENTRAL_ATTENTION_NETWORK_and_SALIENCE_NETWORK
MVISnet_p	MEDIAL_VISUAL_NETWORK_posterior	VISUAL_NETWORK
PGACcor	PERIGENUAL_ANTERIOR_CINGULATE_C	DEFAULT_MODE_NETWORK_anteromedial_and_left_ANGULAR_GYRUS
MVISnet_a	MEDIAL_VISUAL_NETWORK_anterior	VISUAL_NETWORK
AINS_v_PIsul	ANTERIOR_INSULA_ventral_and_PERI_IN	MESOLIMBIC_NETWORK
PRC_d	PRECUNEUS_dorsal	VENTRAL_VISUAL_STREAM_and_DORSAL_VISUAL_STREAM
LVISnet_a	LATERAL_VISUAL_NETWORK_anterior	VISUAL_NETWORK
R_MFgyr_p	right_MIDDLE_FRONTAL_GYRUS_posterio	FRONTO_PARIETAL_NETWORK
FUSgyr_l	FUSIFORM_GYRUS_lateral	VENTRAL_VISUAL_STREAM_and_DORSAL_VISUAL_STREAM
ORBcor	ORBITOFRONTAL_CORTEX	MESOLIMBIC_NETWORK
VMPFcor	VENTRAL_MEDIAL_PREFRONTAL_CORTE	DEFAULT_MODE_NETWORK_anteromedial_and_left_ANGULAR_GYRUS
PVISnet_l	POSTERIOR_VISUAL_NETWORK_lateral	VISUAL_NETWORK
L_CERCR2	CEREBELLUM_CRUSII_left	CEREBELLUM
MOTnet_m	SOMATOMOTOR_NETWORK_medial	SOMATOMOTOR_NETWORK
AUDnet	AUDITORY_NETWORK	AUDITORY_NETWORK_and_POSTERIOR_INSULA
PCsul	POSTCENTRAL_SULCUS	VENTRAL_ATTENTION_NETWORK_and_SALIENCE_NETWORK
CER9	CEREBELLUM_IX	CEREBELLUM
R_IPsul_PORB	right_INTRAPARIETAL_SULCUS_and_PAR	FRONTO_PARIETAL_NETWORK
VLPFcor	VENTROLATERAL_PREFRONTAL_CORTE	DEFAULT_MODE_NETWORK_lateral
AINS_d	ANTERIOR_INSULA_dorsal	VENTRAL_ATTENTION_NETWORK_and_SALIENCE_NETWORK
DMPFcor_a	DORSOMEDIAL_PREFRONTAL_CORTEX_	DEFAULT_MODE_NETWORK_anteromedial_and_left_ANGULAR_GYRUS
MFgyr_a	MIDDLE_FRONTAL_GYRUS_anterior	VENTRAL_ATTENTION_NETWORK_and_SALIENCE_NETWORK
R_IFsul	right_INFERIOR_FRONTAL_SULCUS	FRONTO_PARIETAL_NETWORK
FP_l	FRONTAL_POLE_lateral	FRONTO_PARIETAL_NETWORK
MOTnet_dl	SOMATOMOTOR_NETWORK_dorsolateral	SOMATOMOTOR_NETWORK
DVIS	DORSAL_VISUAL_STREAM	VENTRAL_VISUAL_STREAM_and_DORSAL_VISUAL_STREAM
POsul	PARIETO_OCCIPITAL_SULCUS	DEFAULT_MODE_NETWORK_posteromedial
LVISnet_p	LATERAL_VISUAL_NETWORK_posterior	VISUAL_NETWORK
SMOTcor	PRE_SUPPLEMENTARY_MOTOR_CORTE	VENTRAL_ATTENTION_NETWORK_and_SALIENCE_NETWORK
L_SFgyr_a	left_SUPERIOR_FRONTAL_GYRUS_anteric	DEFAULT_MODE_NETWORK_anteromedial_and_left_ANGULAR_GYRUS
SPlob	SUPERIOR_PARIETAL_LOBULE	SOMATOMOTOR_NETWORK
L_IPsul_MFgyr_p	left_INTRAPARIETAL_SULCUS_and_MIDDI	FRONTO_PARIETAL_NETWORK
MTgyr_p	MIDDLE_TEMPORAL_GYRUS_posterior	DEFAULT_MODE_NETWORK_lateral

Table S2.1 Difference in individual similarity with 16p11.2 deletion FC-signature in individuals with idiopathic autism and controls

U	p_value	median_Autism	median_Control	rank_biserial_correlation	q_value	node_name
20996	0,0002	0,0525	-0,0282	0,2024	0,0113	putamen
24917	0,3218	0,0101	0,0058	0,0535	0,6181	post. insula v.
25832	0,7288	0,0153	0,0139	0,0187	0,8651	cereb vermis
21996	0,0023	0,0436	-0,0217	0,1644	0,0296	thalamus
24376	0,1702	-0,0052	0,0007	-0,0740	0,4539	cereb viiiab
25737	0,6792	0,0129	0,0293	-0,0223	0,8523	cereb i-v
23807	0,0764	0,0250	-0,0164	0,0957	0,2716	ant. cingulate ctx d.
26219	0,9408	0,0082	-0,0119	-0,0040	0,9408	caudate nucleus head, nucleus accumbens
25237	0,4440	-0,0079	-0,0095	-0,0413	0,6608	temporal pole
25955	0,7948	0,0127	0,0007	-0,0141	0,8678	dorsomedial PFC ctx post.
24251	0,1444	0,0345	-0,0294	0,0788	0,4401	cereb crus-II R
26005	0,8221	-0,0095	-0,0060	0,0122	0,8678	cereb crus-I
24810	0,2864	-0,0285	0,0114	-0,0575	0,6181	L inf. frontal sulcus
21795	0,0014	0,0514	0,0141	0,1721	0,0229	somatomot. net. ventrolat.
23945	0,0939	-0,0234	0,0323	-0,0904	0,3165	cereb viib
24780	0,2770	-0,0051	0,0049	0,0587	0,6181	fusiform gyr. medial
21248	0,0004	0,0615	-0,0522	0,1929	0,0113	caudate nucleus
23267	0,0314	0,0374	-0,0041	0,1162	0,1826	post. insula d.
25135	0,4024	-0,0143	-0,0019	-0,0452	0,6439	post. cingulate ctx, precuneus
26138	0,8956	0,0053	-0,0053	0,0071	0,9098	L inf. parietal lobule
23562	0,0518	0,0164	-0,0130	0,1050	0,2073	post. cingulate ctx d.
23348	0,0362	-0,0430	0,0134	-0,1131	0,1897	inf. temporal gyr.
25408	0,5188	0,0014	0,0053	-0,0348	0,6973	supramarginal gyr.
24849	0,2990	0,0021	-0,0088	0,0561	0,6181	mid. temporal gyr. ant.
25889	0,7592	-0,0044	0,0241	-0,0166	0,8676	amygdala, hippocampus
23685	0,0632	-0,0089	0,0194	-0,1003	0,2378	frontal eye field
25387	0,5093	-0,0043	0,0235	-0,0356	0,6973	visual net. mediod.
24318	0,1578	-0,0182	-0,0174	-0,0762	0,4539	occipitotemporal gyr. lat.
25196	0,4270	-0,0031	-0,0096	0,0429	0,6608	cereb vi
25485	0,5546	-0,0010	0,0008	-0,0319	0,7243	post. visual net. medial
23500	0,0468	0,0283	-0,0068	0,1073	0,1996	R inf. parietal lobule
25071	0,3776	-0,0062	0,0131	-0,0476	0,6359	inf. marginal sulcus
25881	0,7549	-0,0104	-0,0034	-0,0169	0,8676	medial visual net. post.
22107	0,0030	0,0817	-0,0241	0,1602	0,0319	perigenual ant. cingulate ctx
25417	0,5230	0,0047	0,0055	0,0345	0,6973	medial visual net. ant.
24765	0,2723	-0,0192	0,0118	-0,0593	0,6181	ant. insula v., peri insular sulcus
25974	0,8051	0,0048	0,0052	-0,0133	0,8678	precuneus d.
25051	0,3700	0,0221	0,0032	0,0484	0,6359	lat. visual net. ant.
25232	0,4419	0,0005	-0,0299	0,0415	0,6608	R mid. frontal gyr. post.
26039	0,8407	0,0035	0,0168	-0,0109	0,8678	fusiform gyr. lat.
23477	0,0450	-0,0187	0,0300	-0,1082	0,1996	orbitofrontal ctx
25100	0,3887	-0,0047	-0,0025	-0,0465	0,6379	v. medial PFC ctx
24584	0,2205	-0,0161	0,0385	-0,0661	0,5645	post. visual net. lat.
25373	0,5030	0,0248	0,0056	0,0362	0,6973	cereb crus-II L
23385	0,0385	0,0707	0,0534	0,1117	0,1897	somatomot. net. medial
22855	0,0146	0,0645	0,0016	0,1318	0,1168	auditory net.
25773	0,6979	0,0154	0,0404	0,0210	0,8589	postcentral sulcus
26012	0,8259	0,0027	0,0010	0,0119	0,8678	cereb ix
22978	0,0185	0,0163	-0,0239	0,1271	0,1186	R intraparietal sulcus, pars orbitalis
25834	0,7299	0,0228	0,0031	0,0187	0,8651	ventrolat. PFC ctx
21511	0,0007	0,0278	-0,0397	0,1829	0,0150	ant. insula d.
22701	0,0108	0,0292	-0,0367	0,1377	0,0983	dorsomedial PFC ctx ant.
24936	0,3284	0,0053	0,0062	0,0528	0,6181	mid. frontal gyr. ant.
22979	0,0185	-0,0435	0,0348	-0,1271	0,1186	R inf. frontal sulcus
25058	0,3727	-0,0122	0,0192	-0,0481	0,6359	frontal pole lat.
24088	0,1154	0,0723	0,0464	0,0850	0,3694	somatomot. net. dorsolat.
25676	0,6480	0,0034	0,0393	-0,0247	0,8295	d. visual stream
24357	0,1661	-0,0376	0,0116	-0,0748	0,4539	parieto occipital sulcus
25338	0,4874	0,0050	0,0411	-0,0375	0,6973	lat. visual net. post.
24993	0,3486	-0,0309	0,0119	-0,0506	0,6359	presupplementary mot. ctx
24886	0,3113	0,0118	-0,0244	0,0547	0,6181	sup. frontal gyr. ant.
26032	0,8369	0,0155	0,0257	0,0111	0,8678	sup. parietal lobule
24907	0,3184	0,0081	0,0458	-0,0539	0,6181	L intraparietal sulcus, mid. frontal gyr. post.
24741	0,2650	0,0113	-0,0196	0,0602	0,6181	mid. temporal gyr. post.

Table S2.2 Difference in individual similarity with 22q11.2 deletion FC-signature in individuals with idiopathic autism and controls

U	p_value	median_Autism	median_Control	rank_biserial_correlation	q_value	node_name
22959	0,0178	0,0758	0,0013	0,1279	0,0951	putamen
25558	0,5895	0,0005	0,0092	-0,0291	0,7398	post. insula v.
25730	0,6756	-0,0089	0,0203	-0,0226	0,8007	cereb vermis
21878	0,0017	0,0936	-0,0005	0,1689	0,0191	thalamus
23794	0,0749	0,0350	-0,0174	0,0961	0,2109	cereb viiiab
25871	0,7496	-0,0052	-0,0036	0,0172	0,8241	cereb i-v
25082	0,3818	0,0112	-0,0059	0,0472	0,4987	ant. cingulate ctx d.
24302	0,1545	0,0327	-0,0105	0,0768	0,3191	caudate nucleus head, nucleus accumbens
20323	0,0000	0,0359	-0,0595	0,2280	0,0012	temporal pole
25631	0,6254	0,0033	-0,0125	0,0264	0,7698	dorsomedial PFC ctx post.
23403	0,0397	0,0268	-0,0261	0,1110	0,1590	cereb crus-II R
24576	0,2184	0,0071	-0,0160	0,0664	0,3667	cereb crus-I
25857	0,7421	-0,0296	0,0033	-0,0178	0,8241	L inf. frontal sulcus
23047	0,0211	0,0505	0,0001	0,1245	0,1036	somatomot. net. ventrolat.
24595	0,2235	0,0058	-0,0168	0,0657	0,3667	cereb viib
24864	0,3039	-0,0327	-0,0030	-0,0555	0,4562	fusiform gyr. medial
26254	0,9604	0,0212	0,0221	0,0027	0,9757	caudate nucleus
24162	0,1280	0,0094	-0,0375	0,0822	0,2925	post. insula d.
21384	0,0005	0,0338	-0,0312	0,1877	0,0081	post. cingulate ctx, precuneus
25805	0,7146	-0,0152	0,0154	-0,0198	0,8167	L inf. parietal lobule
22697	0,0107	0,0276	-0,0239	0,1378	0,0759	post. cingulate ctx d.
24806	0,2851	-0,0064	-0,0072	0,0577	0,4451	inf. temporal gyr.
26321	0,9980	-0,0094	0,0079	-0,0002	0,9980	supramarginal gyr.
24209	0,1365	0,0231	-0,0177	0,0804	0,3012	mid. temporal gyr. ant.
23802	0,0758	0,0235	-0,0129	0,0958	0,2109	amygdala, hippocampus
25779	0,7010	0,0008	-0,0002	-0,0207	0,8157	frontal eye field
24339	0,1622	-0,0282	0,0478	-0,0754	0,3208	visual net. mediod.
23870	0,0840	0,0243	0,0035	0,0933	0,2151	occipitotemporal gyr. lat.
22806	0,0133	0,0221	-0,0021	0,1337	0,0793	cereb vi
25672	0,6460	0,0076	0,0090	0,0248	0,7801	post. visual net. medial
24437	0,1840	0,0190	0,0044	0,0717	0,3364	R inf. parietal lobule
24767	0,2729	-0,0090	0,0126	-0,0592	0,4367	inf. marginal sulcus
24142	0,1245	-0,0301	0,0215	-0,0829	0,2925	medial visual net. post.
20477	0,0000	0,0524	-0,0418	0,2221	0,0012	perigenual ant. cingulate ctx
26067	0,8562	-0,0069	-0,0025	-0,0098	0,8983	medial visual net. ant.
24469	0,1915	0,0224	-0,0173	0,0705	0,3405	ant. insula v., peri insular sulcus
24912	0,3201	0,0039	0,0152	-0,0537	0,4562	precuneus d.
24501	0,1993	-0,0093	0,0181	-0,0693	0,3447	lat. visual net. ant.
23862	0,0830	0,0074	-0,0231	0,0936	0,2151	R mid. frontal gyr. post.
25890	0,7597	-0,0065	0,0082	-0,0165	0,8241	fusiform gyr. lat.
22552	0,0079	0,0401	-0,0158	0,1433	0,0677	orbitofrontal ctx
21360	0,0005	0,0215	-0,0499	0,1886	0,0081	v. medial PFC ctx
24884	0,3106	-0,0229	0,0131	-0,0547	0,4562	post. visual net. lat.
21889	0,0018	0,0566	-0,0294	0,1685	0,0191	cereb crus-II L
23384	0,0385	0,0572	-0,0063	0,1117	0,1590	somatomot. net. medial
23523	0,0486	0,0248	0,0177	0,1064	0,1816	auditory net.
23391	0,0389	0,0425	-0,0021	0,1115	0,1590	postcentral sulcus
23746	0,0695	0,0394	-0,0135	0,0980	0,2109	cereb ix
24377	0,1704	0,0077	-0,0155	0,0740	0,3208	R intraparietal sulcus, pars orbitalis
24373	0,1695	0,0198	-0,0171	0,0742	0,3208	ventrolat. PFC ctx
24914	0,3208	0,0065	-0,0007	0,0536	0,4562	ant. insula d.
23749	0,0698	0,0139	-0,0235	0,0979	0,2109	dorsomedial PFC ctx ant.
22584	0,0085	0,0339	-0,0456	0,1421	0,0677	mid. frontal gyr. ant.
22820	0,0136	-0,0395	0,0281	-0,1331	0,0793	R inf. frontal sulcus
23553	0,0511	0,0172	-0,0074	0,1053	0,1816	frontal pole lat.
23762	0,0713	0,0406	0,0076	0,0974	0,2109	somatomot. net. dorsolat.
23951	0,0948	-0,0340	0,0192	-0,0902	0,2333	d. visual stream
25034	0,3637	0,0097	-0,0084	0,0490	0,4987	parieto occipital sulcus
25080	0,3810	0,0117	-0,0280	0,0473	0,4987	lat. visual net. post.
26042	0,8424	-0,0243	-0,0056	0,0108	0,8983	presupplementary mot. ctx
24244	0,1431	0,0197	-0,0087	0,0791	0,3052	sup. frontal gyr. ant.
26126	0,8889	0,0263	0,0300	-0,0076	0,9176	sup. parietal lobule
25069	0,3768	0,0057	-0,0044	0,0477	0,4987	L intraparietal sulcus, mid. frontal gyr. post.
25265	0,4558	0,0080	0,0060	0,0403	0,5834	mid. temporal gyr. post.

Table S2.3 Difference in individual similarity with 16p11.2 deletion FC-signature in individuals with idiopathic schizophrenia and controls

U	p_value	median_SZ	median_Control	rank_biserial_correlation	q_value	node_name
25036	0,0058	0,0163	-0,0212	0,1450	0,0180	putamen
23452	0,0002	0,0554	-0,0335	0,1991	0,0008	post. insula v.
28680	0,6958	0,0089	-0,0093	0,0206	0,7300	cereb vermis
21892	0,0000	0,0584	-0,0396	0,2524	0,0000	thalamus
25991	0,0325	0,0232	-0,0178	0,1124	0,0716	cereb viiiab
26994	0,1371	0,0188	-0,0278	0,0781	0,2249	cereb i-v
23022	0,0000	0,0723	-0,0595	0,2138	0,0003	ant. cingulate ctx d.
25444	0,0126	0,0213	-0,0363	0,1311	0,0323	caudate nucleus head, nucleus accumbens
27860	0,3555	-0,0076	-0,0477	0,0486	0,4551	temporal pole
26342	0,0561	0,0284	-0,0394	0,1004	0,1123	dorsomedial PFC ctx post.
26769	0,1024	0,0135	-0,0045	0,0858	0,1772	cereb crus-II R
22133	0,0000	0,0436	-0,0396	0,2441	0,0000	cereb crus-I
27243	0,1852	-0,0082	-0,0185	0,0696	0,2811	L inf. frontal sulcus
20238	0,0000	0,1119	-0,0381	0,3089	0,0000	somatomot. net. ventrolat.
28391	0,5627	0,0174	0,0011	0,0304	0,6209	cereb viib
28076	0,4333	0,0060	-0,0064	0,0412	0,5118	fusiform gyr. medial
25045	0,0059	0,0472	-0,0327	0,1447	0,0180	caudate nucleus
19196	0,0000	0,0863	-0,0483	0,3444	0,0000	post. insula d.
23113	0,0001	0,0271	-0,0521	0,2107	0,0004	post. cingulate ctx, precuneus
27042	0,1455	0,0047	-0,0301	0,0765	0,2328	L inf. parietal lobule
24425	0,0016	0,0254	-0,0457	0,1659	0,0064	post. cingulate ctx d.
25692	0,0196	0,0185	-0,0500	0,1226	0,0466	inf. temporal gyr.
24852	0,0040	0,0548	-0,0433	0,1513	0,0142	supramarginal gyr.
24776	0,0034	0,0174	-0,0401	0,1539	0,0128	mid. temporal gyr. ant.
24960	0,0050	0,0334	-0,0502	0,1476	0,0167	amygdala, hippocampus
25150	0,0072	0,0122	-0,0429	0,1411	0,0211	frontal eye field
28183	0,4752	0,0072	-0,0136	0,0375	0,5431	visual net. mediod.
27724	0,3114	0,0074	-0,0150	0,0532	0,4152	occipitotemporal gyr. lat.
25714	0,0204	0,0237	-0,0118	0,1218	0,0466	cereb vi
28427	0,5786	0,0006	-0,0308	0,0292	0,6276	post. visual net. medial
28222	0,4910	0,0075	-0,0213	0,0362	0,5513	R inf. parietal lobule
28615	0,6649	-0,0126	-0,0071	0,0228	0,7092	inf. marginal sulcus
26604	0,0818	0,0145	-0,0128	0,0915	0,1496	medial visual net. post.
27697	0,3031	-0,0241	0,0007	-0,0541	0,4127	perigenual ant. cingulate ctx
29195	0,9552	0,0203	0,0303	0,0030	0,9552	medial visual net. ant.
22755	0,0000	0,0464	-0,0618	0,2229	0,0002	ant. insula v., peri insular sulcus
28031	0,4163	-0,0097	0,0218	-0,0427	0,5118	precuneus d.
27756	0,3214	-0,0043	0,0385	-0,0521	0,4198	lat. visual net. ant.
27911	0,3730	0,0177	-0,0170	0,0468	0,4681	R mid. frontal gyr. post.
27159	0,1677	0,0368	0,0055	0,0725	0,2618	fusiform gyr. lat.
26343	0,0561	0,0227	-0,0304	0,1004	0,1123	orbitofrontal ctx
22036	0,0000	0,0505	-0,0531	0,2475	0,0000	v. medial PFC ctx
27677	0,2970	-0,0065	0,0185	-0,0548	0,4127	post. visual net. lat.
25407	0,0118	0,0326	-0,0310	0,1323	0,0314	cereb crus-II L
24268	0,0011	0,0730	-0,0056	0,1712	0,0048	somatomot. net. medial
20523	0,0000	0,0738	-0,0632	0,2991	0,0000	auditory net.
22810	0,0000	0,0682	-0,0325	0,2210	0,0002	postcentral sulcus
25628	0,0176	0,0278	-0,0136	0,1248	0,0432	cereb ix
28093	0,4398	0,0346	-0,0130	0,0406	0,5118	R intraparietal sulcus, pars orbitalis
26136	0,0409	0,0089	0,0393	-0,1074	0,0873	ventrolat. PFC ctx
22299	0,0000	0,0685	-0,0367	0,2385	0,0001	ant. insula d.
26537	0,0744	-0,0451	0,0214	-0,0937	0,1401	dorsomedial PFC ctx ant.
27456	0,2354	0,0115	0,0013	0,0624	0,3348	mid. frontal gyr. ant.
26472	0,0678	0,0176	-0,0170	0,0960	0,1315	R inf. frontal sulcus
28065	0,4291	-0,0062	0,0219	-0,0416	0,5118	frontal pole lat.
24158	0,0009	0,1053	0,0026	0,1750	0,0040	somatomot. net. dorsolat.
27358	0,2112	0,0468	-0,0128	0,0657	0,3072	d. visual stream
25336	0,0103	0,0335	-0,0648	0,1348	0,0287	parieto occipital sulcus
26791	0,1055	0,0331	-0,0011	0,0851	0,1777	lat. visual net. post.
27260	0,1889	-0,0121	-0,0303	0,0691	0,2811	presupplementary mot. ctx
29179	0,9469	0,0046	-0,0157	-0,0035	0,9552	sup. frontal gyr. ant.
23573	0,0002	0,0985	-0,0279	0,1950	0,0010	sup. parietal lobule
26726	0,0967	0,0216	-0,0239	0,0873	0,1719	L intraparietal sulcus, mid. frontal gyr. post.
28927	0,8178	0,0026	0,0067	-0,0121	0,8441	mid. temporal gyr. post.

Table S2.4 Difference in individual similarity with 22q11.2 deletion FC-signature in individuals with idiopathic schizophrenia and controls

U	p_value	median_SZ	media_Control	rank_biserial_correlation	q_value	node_name
28309	0,5273	0,0113	0,0478	-0,0332	0,7970	putamen
25145	0,0072	0,0710	0,0053	0,1413	0,0343	post. insula v.
27687	0,3000	0,0027	-0,0044	0,0545	0,5818	cereb vermis
21358	0,0000	0,0801	-0,0067	0,2706	0,0000	thalamus
28826	0,7672	0,0188	0,0153	0,0156	0,8768	cereb viiiab
26752	0,1001	-0,0064	-0,0247	0,0864	0,2465	cereb i-v
24415	0,0016	0,0562	-0,0445	0,1662	0,0125	ant. cingulate ctx d.
27328	0,2042	0,0166	-0,0182	0,0667	0,4667	caudate nucleus head, nucleus accumbens
27901	0,3696	0,0101	-0,0136	0,0472	0,6224	temporal pole
26317	0,0540	0,0193	-0,0308	0,1013	0,1440	dorsomedial PFC ctx post.
28745	0,7273	-0,0051	0,0009	-0,0183	0,8768	cereb crus-II R
28740	0,7249	-0,0123	-0,0141	0,0185	0,8768	cereb crus-I
28404	0,5684	-0,0152	0,0039	-0,0300	0,7970	L inf. frontal sulcus
21329	0,0000	0,0716	-0,0368	0,2716	0,0000	somatomot. net. ventrolat.
29123	0,9179	0,0119	0,0200	-0,0054	0,9476	cereb viib
28076	0,4333	0,0037	-0,0201	0,0412	0,6782	fusiform gyr. medial
28397	0,5654	0,0105	0,0068	0,0302	0,7970	caudate nucleus
22715	0,0000	0,0723	-0,0248	0,2243	0,0002	post. insula d.
26092	0,0382	0,0269	-0,0250	0,1089	0,1110	post. cingulate ctx, precuneus
25308	0,0098	0,0199	-0,0457	0,1357	0,0369	L inf. parietal lobule
25173	0,0076	0,0186	-0,0427	0,1403	0,0343	post. cingulate ctx d.
28575	0,6461	0,0118	0,0171	-0,0241	0,8614	inf. temporal gyr.
25188	0,0078	0,0109	-0,0448	0,1398	0,0343	supramarginal gyr.
26258	0,0494	0,0214	-0,0338	0,1033	0,1374	mid. temporal gyr. ant.
22054	0,0000	0,0379	-0,0482	0,2468	0,0000	amygdala, hippocampus
27725	0,3117	0,0233	-0,0173	0,0532	0,5860	frontal eye field
27753	0,3205	0,0199	-0,0190	0,0522	0,5860	visual net. mediod.
28414	0,5728	0,0207	0,0226	-0,0296	0,7970	occipitotemporal gyr. lat.
28660	0,6862	-0,0133	-0,0074	0,0212	0,8768	cereb vi
25224	0,0084	0,0262	-0,0236	0,1386	0,0343	post. visual net. medial
28797	0,7528	0,0024	0,0086	-0,0166	0,8768	R inf. parietal lobule
27456	0,2354	0,0082	-0,0005	0,0624	0,5022	inf. marginal sulcus
28606	0,6606	-0,0223	0,0127	-0,0231	0,8628	medial visual net. post.
27934	0,3811	0,0195	0,0235	-0,0460	0,6254	perigenual ant. cingulate ctx
28079	0,4344	-0,0025	-0,0056	0,0411	0,6782	medial visual net. ant.
28821	0,7647	-0,0026	0,0256	0,0157	0,8768	ant. insula v., peri insular sulcus
26409	0,0619	-0,0412	0,0045	-0,0981	0,1584	precuneus d.
28373	0,5548	0,0137	-0,0106	0,0310	0,7970	lat. visual net. ant.
27892	0,3664	0,0038	-0,0005	0,0475	0,6224	R mid. frontal gyr. post.
28942	0,8253	0,0015	-0,0148	-0,0116	0,9152	fusiform gyr. lat.
27323	0,2030	0,0140	0,0013	0,0669	0,4667	orbitofrontal ctx
24770	0,0034	0,0321	-0,0328	0,1541	0,0215	v. medial PFC ctx
28950	0,8294	0,0054	0,0075	0,0113	0,9152	post. visual net. lat.
25238	0,0086	0,0178	-0,0288	0,1381	0,0343	cereb crus-II L
26080	0,0374	0,0356	-0,0027	0,1094	0,1110	somatomot. net. medial
21051	0,0000	0,0779	-0,0302	0,2811	0,0000	auditory net.
25621	0,0173	0,0443	-0,0077	0,1250	0,0584	postcentral sulcus
22710	0,0000	0,0296	-0,0575	0,2244	0,0002	cereb ix
28447	0,5875	0,0138	0,0030	0,0285	0,8000	R intraparietal sulcus, pars orbitalis
25798	0,0236	0,0196	-0,0248	0,1190	0,0754	ventrolat. PFC ctx
24693	0,0029	0,0669	-0,0166	0,1567	0,0203	ant. insula d.
29214	0,9650	0,0032	-0,0011	0,0023	0,9803	dorsomedial PFC ctx ant.
27576	0,2676	0,0191	-0,0080	0,0583	0,5352	mid. frontal gyr. ant.
27512	0,2501	0,0101	-0,0142	0,0604	0,5163	R inf. frontal sulcus
29251	0,9842	-0,0039	0,0094	-0,0011	0,9842	frontal pole lat.
23770	0,0003	0,0782	-0,0217	0,1882	0,0031	somatomot. net. dorsolat.
28990	0,8497	-0,0080	-0,0037	-0,0100	0,9217	d. visual stream
25124	0,0069	0,0529	-0,0436	0,1420	0,0343	parieto occipital sulcus
28707	0,7088	-0,0213	0,0109	-0,0196	0,8768	lat. visual net. post.
25371	0,0110	-0,0067	-0,0534	0,1336	0,0392	presupplementary mot. ctx
29108	0,9102	0,0046	0,0083	-0,0059	0,9476	sup. frontal gyr. ant.
27853	0,3531	0,0389	0,0105	0,0488	0,6224	sup. parietal lobule
27380	0,2165	0,0031	0,0292	-0,0650	0,4777	L intraparietal sulcus, mid. frontal gyr. post.
29078	0,8948	-0,0080	0,0064	-0,0070	0,9476	mid. temporal gyr. post.

Table S2.5 Difference in individual similarity with 16p11.2 deletion FC-signature in individuals with idiopathic ADHD and controls

U	p_value	median_ADHD	median_Control	rank_biserial_correlation	q_value	node_name
9780	0,7393	-0,0019	0,0189	-0,0230	0,9725	putamen
9893	0,8658	0,0218	0,0185	0,0117	0,9734	post. insula v.
9662	0,6143	-0,0066	0,0081	0,0348	0,9725	cereb vermis
9877	0,8476	0,0350	0,0020	0,0133	0,9734	thalamus
9267	0,2816	0,0284	-0,0133	0,0742	0,9725	cereb viiiab
9862	0,8306	-0,0108	-0,0017	0,0148	0,9734	cereb i-v
9185	0,2318	0,0520	-0,0070	0,0824	0,9725	ant. cingulate ctx d.
9299	0,3028	0,0257	-0,0169	0,0710	0,9725	caudate nucleus head, nucleus accumbens
9850	0,8171	0,0069	-0,0006	0,0160	0,9734	temporal pole
9487	0,4486	0,0181	0,0086	0,0522	0,9725	dorsomedial PFC ctx post.
9914	0,8898	0,0202	0,0314	0,0096	0,9734	cereb crus-II R
9264	0,2796	-0,0182	-0,0042	-0,0745	0,9725	cereb crus-I
9791	0,7513	0,0163	0,0002	0,0219	0,9725	L inf. frontal sulcus
9481	0,4434	0,0444	0,0937	-0,0528	0,9725	somatomot. net. ventrolat.
9274	0,2861	0,0259	0,0148	0,0735	0,9725	cereb viib
9739	0,6948	0,0019	0,0131	-0,0271	0,9725	fusiform gyr. medial
9284	0,2927	-0,0139	-0,0365	0,0725	0,9725	caudate nucleus
9382	0,3628	0,0725	0,0263	0,0627	0,9725	post. insula d.
10003	0,9925	0,0061	0,0148	0,0007	0,9925	post. cingulate ctx, precuneus
9139	0,2068	-0,0224	0,0056	-0,0870	0,9725	L inf. parietal lobule
9818	0,7812	-0,0100	0,0121	-0,0192	0,9725	post. cingulate ctx d.
9147	0,2110	0,0112	-0,0412	0,0862	0,9725	inf. temporal gyr.
8785	0,0758	0,0394	-0,0190	0,1224	0,9725	supramarginal gyr.
9570	0,5239	0,0008	0,0013	0,0440	0,9725	mid. temporal gyr. ant.
9267	0,2816	0,0174	-0,0081	0,0742	0,9725	amygdala, hippocampus
9926	0,9036	-0,0396	0,0142	0,0084	0,9734	frontal eye field
9248	0,2694	0,0194	-0,0309	0,0761	0,9725	visual net. mediod.
9805	0,7668	-0,0010	-0,0058	0,0205	0,9725	occipitotemporal gyr. lat.
9097	0,1857	0,0343	-0,0126	0,0912	0,9725	cereb vi
9080	0,1777	-0,0249	0,0163	-0,0929	0,9725	post. visual net. medial
9664	0,6163	-0,0271	-0,0289	-0,0346	0,9725	R inf. parietal lobule
9182	0,2301	0,0792	-0,0139	0,0827	0,9725	inf. marginal sulcus
8751	0,0680	0,0297	-0,0237	0,1258	0,9725	medial visual net. post.
9809	0,7712	0,0048	-0,0134	0,0201	0,9725	perigenual ant. cingulate ctx
9380	0,3613	0,0182	-0,0229	0,0629	0,9725	medial visual net. ant.
9324	0,3202	0,0162	0,0010	0,0685	0,9725	ant. insula v., peri insular sulcus
9748	0,7045	-0,0080	0,0009	-0,0262	0,9725	precuneus d.
9736	0,6916	0,0144	0,0274	-0,0274	0,9725	lat. visual net. ant.
9316	0,3145	0,0373	0,0155	0,0693	0,9725	R mid. frontal gyr. post.
9533	0,4895	0,0097	0,0276	-0,0477	0,9725	fusiform gyr. lat.
9539	0,4950	0,0204	-0,0088	0,0471	0,9725	orbitofrontal ctx
9971	0,9555	0,0065	-0,0144	0,0039	0,9765	v. medial PFC ctx
9474	0,4374	0,0102	-0,0147	0,0535	0,9725	post. visual net. lat.
9738	0,6938	0,0087	0,0136	-0,0272	0,9725	cereb crus-II L
9976	0,9613	0,0962	0,0216	-0,0034	0,9765	somatomot. net. medial
9674	0,6266	0,0846	0,0640	0,0336	0,9725	auditory net.
9826	0,7901	0,0712	0,0296	-0,0184	0,9725	postcentral sulcus
9734	0,6895	0,0231	-0,0031	0,0276	0,9725	cereb ix
9509	0,4679	0,0036	-0,0200	0,0500	0,9725	R intraparietal sulcus, pars orbitalis
9670	0,6225	0,0445	0,0301	0,0340	0,9725	ventrolat. PFC ctx
9576	0,5296	-0,0358	-0,0011	-0,0434	0,9725	ant. insula d.
9310	0,3104	0,0232	-0,0051	0,0699	0,9725	dorsomedial PFC ctx ant.
9153	0,2142	-0,0003	-0,0230	0,0856	0,9725	mid. frontal gyr. ant.
9667	0,6194	-0,0018	0,0152	-0,0343	0,9725	R inf. frontal sulcus
9663	0,6153	0,0141	-0,0211	0,0347	0,9725	frontal pole lat.
9573	0,5267	0,0028	0,0897	-0,0437	0,9725	somatomot. net. dorsolat.
9787	0,7469	0,0337	-0,0104	0,0223	0,9725	d. visual stream
9350	0,3389	-0,0133	0,0314	-0,0659	0,9725	parieto occipital sulcus
9453	0,4196	-0,0176	0,0345	-0,0556	0,9725	lat. visual net. post.
9641	0,5931	-0,0300	-0,0216	0,0369	0,9725	presupplementary mot. ctx
9947	0,9278	0,0092	-0,0227	0,0063	0,9734	sup. frontal gyr. ant.
9899	0,8727	0,0573	0,0463	-0,0111	0,9734	sup. parietal lobule
9509	0,4679	0,0347	-0,0419	0,0500	0,9725	L intraparietal sulcus, mid. frontal gyr. post.
9937	0,9163	0,0213	0,0135	-0,0073	0,9734	mid. temporal gyr. post.

Table S2.6 Difference in individual similarity with 22q11.2 deletion FC-signature in individuals with idiopathic ADHD and controls

U	p_value	median_ADHD	median_Control	rank_biserial_correlation	q_value	node_name
9665	0,6174	-0,0189	-0,0048	0,0345	0,8781	putamen
9816	0,7790	0,0092	0,0003	0,0194	0,8781	post. insula v.
9099	0,1867	0,0323	-0,0168	0,0910	0,8725	cereb vermis
9572	0,5258	-0,0030	0,0652	-0,0438	0,8781	thalamus
8770	0,0722	-0,0392	0,0456	-0,1239	0,6669	cereb viiiab
9970	0,9543	-0,0170	-0,0083	-0,0040	0,9695	cereb i-v
8552	0,0345	0,0742	-0,0120	0,1457	0,6063	ant. cingulate ctx d.
9765	0,7229	-0,0175	0,0083	-0,0245	0,8781	caudate nucleus head, nucleus accumbens
9215	0,2492	-0,0205	0,0221	-0,0794	0,8725	temporal pole
9664	0,6163	0,0171	-0,0053	0,0346	0,8781	dorsomedial PFC ctx post.
9334	0,3273	0,0038	0,0395	-0,0675	0,8725	cereb crus-II R
8773	0,0729	-0,0327	0,0229	-0,1236	0,6669	cereb crus-I
10005	0,9948	0,0294	0,0195	0,0005	0,9948	L inf. frontal sulcus
9831	0,7957	-0,0074	0,0009	0,0179	0,8781	somatomot. net. ventrolat.
8578	0,0379	-0,0253	0,0256	-0,1431	0,6063	cereb viib
9424	0,3958	-0,0148	0,0011	-0,0585	0,8781	fusiform gyr. medial
9693	0,6462	-0,0052	0,0227	-0,0317	0,8781	caudate nucleus
9362	0,3477	-0,0193	-0,0230	0,0647	0,8725	post. insula d.
9627	0,5791	0,0056	-0,0057	0,0383	0,8781	post. cingulate ctx, precuneus
9085	0,1800	-0,0149	0,0284	-0,0924	0,8725	L inf. parietal lobule
9346	0,3359	0,0280	0,0124	0,0663	0,8725	post. cingulate ctx d.
9371	0,3545	-0,0269	0,0009	-0,0638	0,8725	inf. temporal gyr.
9695	0,6483	-0,0117	-0,0033	0,0315	0,8781	supramarginal gyr.
9566	0,5201	0,0376	-0,0096	0,0444	0,8781	mid. temporal gyr. ant.
9590	0,5429	0,0005	-0,0001	-0,0420	0,8781	amygdala, hippocampus
9864	0,8329	-0,0225	0,0060	-0,0146	0,9035	frontal eye field
9591	0,5439	-0,0155	-0,0006	-0,0419	0,8781	visual net. mediod.
9487	0,4486	0,0007	0,0130	-0,0522	0,8781	occipitotemporal gyr. lat.
8297	0,0130	-0,0262	0,0371	-0,1711	0,6063	cereb vi
8742	0,0660	-0,0271	0,0182	-0,1267	0,6669	post. visual net. medial
9898	0,8715	-0,0008	0,0014	-0,0112	0,9144	R inf. parietal lobule
9276	0,2874	0,0065	-0,0256	0,0733	0,8725	inf. marginal sulcus
9298	0,3021	-0,0164	0,0049	-0,0711	0,8725	medial visual net. post.
9653	0,6052	0,0132	0,0116	0,0357	0,8781	perigenual ant. cingulate ctx
9643	0,5951	0,0063	0,0117	-0,0367	0,8781	medial visual net. ant.
9552	0,5070	-0,0065	-0,0048	-0,0458	0,8781	ant. insula v., peri insular sulcus
9485	0,4469	-0,0378	0,0128	-0,0524	0,8781	precuneus d.
9252	0,2720	-0,0189	0,0154	-0,0757	0,8725	lat. visual net. ant.
8956	0,1266	0,0050	-0,0187	0,1053	0,8148	R mid. frontal gyr. post.
8960	0,1280	-0,0250	-0,0015	-0,1049	0,8148	fusiform gyr. lat.
9882	0,8533	0,0174	-0,0081	-0,0128	0,9102	orbitofrontal ctx
9725	0,6799	-0,0096	0,0225	-0,0285	0,8781	v. medial PFC ctx
8578	0,0379	-0,0595	0,0081	-0,1431	0,6063	post. visual net. lat.
9205	0,2433	-0,0085	0,0430	-0,0804	0,8725	cereb crus-II L
9922	0,8990	0,0026	0,0212	0,0088	0,9280	somatomot. net. medial
9809	0,7712	-0,0016	0,0047	-0,0201	0,8781	auditory net.
9770	0,7283	-0,0118	0,0096	-0,0240	0,8781	postcentral sulcus
9181	0,2296	-0,0101	0,0251	-0,0828	0,8725	cereb ix
9234	0,2607	-0,0099	-0,0353	0,0775	0,8725	R intraparietal sulcus, pars orbitalis
9708	0,6619	-0,0056	-0,0181	0,0302	0,8781	ventrolat. PFC ctx
9802	0,7635	-0,0009	-0,0088	-0,0208	0,8781	ant. insula d.
9537	0,4932	0,0138	-0,0028	0,0473	0,8781	dorsomedial PFC ctx ant.
9336	0,3287	0,0157	-0,0278	0,0673	0,8725	mid. frontal gyr. ant.
9770	0,7283	-0,0117	-0,0090	0,0240	0,8781	R inf. frontal sulcus
9823	0,7868	-0,0124	-0,0346	-0,0187	0,8781	frontal pole lat.
9636	0,5881	0,0083	0,0104	0,0374	0,8781	somatomot. net. dorsolat.
9729	0,6842	0,0012	0,0124	-0,0281	0,8781	d. visual stream
9427	0,3982	-0,0082	-0,0303	0,0582	0,8781	parieto occipital sulcus
8837	0,0891	-0,0316	-0,0100	-0,1172	0,7125	lat. visual net. post.
9302	0,3049	-0,0005	-0,0205	0,0707	0,8725	presupplementary mot. ctx
9824	0,7879	0,0286	-0,0227	0,0186	0,8781	sup. frontal gyr. ant.
8992	0,1400	0,0014	0,0435	-0,1017	0,8148	sup. parietal lobule
9710	0,6640	0,0149	0,0000	0,0300	0,8781	L intraparietal sulcus, mid. frontal gyr. post.
9791	0,7513	0,0157	-0,0070	-0,0219	0,8781	mid. temporal gyr. post.

Table S3.1 Correlation of individual similarity
with 16p11.2 deletion FC-signature and FSIQ in ASD

pearson_r	p_value	q_value	node_name
-0,0811	0,0839	0,1411	putamen
-0,0163	0,7292	0,8102	thalamus
-0,0554	0,2381	0,3401	temporal pole
-0,0866	0,0649	0,1411	somatomot. net. ventrolat.
-0,1112	0,0177	0,1217	caudate nucleus
0,0470	0,3172	0,3965	post. cingulate ctx, precuneus
-0,1005	0,0322	0,1217	perigenual ant. cingulate ctx
0,0035	0,9400	0,9400	v. medial PFC ctx
-0,0981	0,0365	0,1217	cereb crus-II L
-0,0809	0,0847	0,1411	ant. insula d.

Table S3.2 Correlation of individual similarity
with 22q11.2 deletion FC-signature and FSIQ in ASD

pearson_r	p_value	q_value	node_name
-0,1033	0,0276	0,0829	putamen
-0,0518	0,2700	0,3375	thalamus
-0,1068	0,0226	0,0829	temporal pole
-0,0742	0,1139	0,1898	somatomot. net. ventrolat.
-0,0344	0,4648	0,5164	caudate nucleus
-0,0654	0,1639	0,2341	post. cingulate ctx, precuneus
-0,1263	0,0070	0,0697	perigenual ant. cingulate ctx
-0,0999	0,0332	0,0829	v. medial PFC ctx
-0,0891	0,0575	0,1150	cereb crus-II L
0,0014	0,9754	0,9754	ant. insula d.

Table S3.3 Correlation of individual similarity
with 16p11.2 deletion FC-signature and ADOS severity in ASD

pearson_r	p_value	q_value	node_name
0,1559	0,0175	0,0584	putamen
0,1006	0,1266	0,2110	thalamus
-0,0283	0,6684	0,7427	temporal pole
0,1437	0,0287	0,0717	somatomot. net. ventrolat.
0,1896	0,0038	0,0375	caudate nucleus
-0,0934	0,1563	0,2233	post. cingulate ctx, precuneus
0,1623	0,0133	0,0584	perigenual ant. cingulate ctx
-0,0804	0,2225	0,2782	v. medial PFC ctx
-0,0193	0,7695	0,7695	cereb crus-II L
0,1206	0,0667	0,1335	ant. insula d.

Table S3.4 Correlation of individual similarity
with 22q11.2 deletion FC-signature and ADOS severity in ASD

pearson_r	p_value	q_value	node_name
0,1315	0,0455	0,0910	putamen
0,1481	0,0241	0,0601	thalamus
0,1859	0,0045	0,0450	temporal pole
0,0562	0,3940	0,4378	somatomot. net. ventrolat.
0,0809	0,2197	0,3139	caudate nucleus
0,1572	0,0165	0,0551	post. cingulate ctx, precuneus
0,1633	0,0127	0,0551	perigenual ant. cingulate ctx
0,1231	0,0613	0,1021	v. medial PFC ctx
0,0650	0,3244	0,4055	cereb crus-II L
0,0295	0,6551	0,6551	ant. insula d.

Table S4.1 Expression values per gene per brain region and differential stability scores

Gene	CortexDS	CNV	Paracentral	Medial.orbitofront	Superior.temporal	Parahippocampal	Precuneus	Inferior.temporal	Isthmus.of.cingulate	Entorhinal	Superior.parietal	Pars.orbitalis	Fusiform	Superior.frontal	Rostral.anterior.cin	Precentral	Cuneus	Pars.opercularis
AIFM3	0,219	CNV22q11_2	1,00038174	-1,368258244	-0,971719996	-1,387563323	0,687444603	-0,719158874	0,510640883	-0,097212307	0,772262347	0,972566408	-0,647400149	0,189443587	-1,458916566	0,6857397	1,205513764	-1,535687761
ALDOA	0,076	CNV16p11_2	0,977709151	0,170022674	0,448932148	0,00806174	-0,173664308	-0,431401567	-0,056986706	0,998215095	-0,096177115	1,391437449	1,176639637	-0,722277936	0,022991334	0,881205931	-0,654428215	0,260794468
ARVCF	0,024	CNV22q11_2	1,355269866	0,770874346	-0,317298215	0,197636018	-0,582845487	0,019505415	1,136201677	1,420071803	-0,203535315	-0,472369344	0,365232171	-0,521071961	1,417246954	-0,525079757	-1,542544337	0,730047656
ASPHD1	0,056	CNV16p11_2	-0,389940624	-1,338389097	0,36964872	-0,814996709	0,61112355	0,339997818	0,23637987	0,203925481	-0,418734433	1,944533617	0,328145904	0,177961081	-1,303810238	1,625853379	0,325258292	0,294070091
C16orf54	0,055	CNV16p11_2	-0,742841091	0,145232375	-1,07390059	-0,773028687	0,625401938	-0,666152563	-0,069967808	-1,442815494	-0,248501709	0,295637724	0,582224693	-0,113680792	0,217323389	-0,083932995	-0,593722099	-0,019741408
C16orf92	-0,035	CNV16p11_2	0,816458544	-1,62661436	0,313325484	-0,439410966	-0,478418948	0,916561225	0,785041356	0,178617151	-0,327384445	-0,176857937	0,447800832	-0,874863037	0,072469329	0,53214197	-0,082314385	3,04480685
C22orf29	0,084	CNV22q11_2	-0,818441235	0,923665101	0,951135673	-0,206406433	-0,068881866	0,436085653	0,324261995	-0,183989256	-0,211940694	2,134462861	0,947210112	-0,275086313	0,215955772	-0,214987868	-1,706118434	-0,346173549
C22orf39	0,178	CNV22q11_2	-0,014307975	0,546947717	0,609830485	1,541056726	-0,872608149	1,041308346	-0,560435362	1,75967364	-0,046475799	-0,097475352	1,134210611	-0,329569797	1,878700209	0,345012169	-1,807004915	0,46204275
CDIPT	0,023	CNV16p11_2	0,090578912	0,451600348	0,668650939	0,110163319	-0,475763576	0,804942647	-0,912411234	-1,280506828	0,202739595	2,617439011	0,586964715	0,306783979	-0,207721596	1,156573958	-1,323639829	1,198277575
CLDN5	0,173	CNV22q11_2	0,712576047	-1,008640216	0,116286029	-0,547936672	0,944887475	-1,394020378	1,041449465	-1,350365746	-0,811132885	2,157454298	-0,903694888	-0,26072393	-0,749677442	0,624875775	1,524671887	-0,679253621
CLTCL1	0,151	CNV22q11_2	-0,301847299	0,810684341	0,057197901	-0,596064348	0,22377436	0,451612714	0,197988248	-0,736658445	-0,336827298	0,273161922	-0,248773504	0,122093129	1,889995961	-0,378221278	-1,809336588	1,955502488
COMT	0,023	CNV22q11_2	-0,060121475	0,162431151	-0,46316309	0,012927756	-0,027289073	0,260823935	0,36896304	0,100164324	-0,385485022	1,289356288	0,146726259	0,030186923	1,165651564	1,199295205	-0,674010499	-0,096752346
CRKL	0,069	CNV22q11_2	0,594842916	-1,318830861	0,011127915	-1,040331344	0,84912399	0,154004512	2,312725768	-1,314945381	0,83246821	2,109674394	-0,322610393	-0,633058156	-0,015789441	0,563325895	-0,82327075	-0,847481248
DGCR14	0,006	CNV22q11_2	-0,419677448	-0,269305335	0,041168859	0,634072604	-0,482211956	0,719796395	-0,649954035	0,145544976	0,813977853	2,174342959	0,288973718	1,201627095	0,830900065	0,334213466	-0,466122035	-2,610193761
DGCR2	0,005	CNV22q11_2	0,195666972	-1,105053949	0,083776087	-1,024553101	0,578684773	0,058435146	0,140378797	-1,566709995	0,144455519	1,507955728	0,929344297	0,214021566	-1,034523029	1,065428724	0,60578163	-0,341174057
DGCR6	0,055	CNV22q11_2	-1,357583844	1,084838929	0,335638634	1,488367086	0,19988982	-0,483882789	0,899708572	2,339247731	-0,75361333	0,577418257	-0,094048894	0,13322134	1,016540311	0,128995446	-0,241051606	-1,885224959
DGCR6L	0,049	CNV22q11_2	-0,821560573	1,716242764	0,234387582	1,561305835	-0,456329347	-0,392210043	0,080897658	1,831449193	-0,5437577	2,190698075	0,65201202	0,882420994	0,798565325	0,045083898	-1,274781744	-1,980116457
DGCR8	0,323	CNV22q11_2	-0,608955345	-0,459712693	0,002348369	-1,338693196	0,906946762	0,103550523	0,029852827	-1,743453868	0,125538993	-0,372592185	-0,599677006	-0,429992204	-1,172360793	-0,836756661	2,226425871	-0,260762993
DOC2A	0,418	CNV16p11_2	-0,508194209	0,108276187	0,9241457	0,949904522	-0,201754109	1,07050287	0,142957809	1,085246215	-0,436957131	1,835106437	1,39579302	0,046216375	0,055381007	-0,136790229	-1,505509033	0,313063516
FAM57B	0,285	CNV16p11_2	1,840854863	-1,176540709	-0,526812918	-1,327252832	0,301232422	-0,966461193	0,724243128	-0,761960249	0,488433235	-0,555360715	-0,524416776	0,23238912	-0,920183572	1,546341127	1,323038158	0,03857883
GDPD3	0,007	CNV16p11_2	0,133990663	-0,539572938	-0,553210732	1,096087613	-0,113255246	0,604677565	0,577075084	-1,403631619	0,802005962	-0,896661353	0,541011392	-0,452907088	-1,059934055	-0,156410426	0,806732946	0,887752495
GP1BB	0,171	CNV22q11_2	-0,991690713	1,292230798	0,948636171	0,083396198	-0,345441787	0,388429639	0,286408468	2,383227944	-0,738683622	0,621804343	0,140064836	-0,022226894	1,343789445	-0,710551535	-0,860581758	-0,213169728
GSC2	0,017	CNV22q11_2	0,356740488	-0,495144982	-0,803007667	-0,190423478	-1,790417956	-0,390389385	-0,056853571	-0,189426177	-0,581327978	0,569175609	0,330756573	-0,31325606	1,00426777	-0,013633593	-0,075435076	0,802154804
HIRA	0,039	CNV22q11_2	-0,880766413	-0,864594825	-0,20357717	-0,034724926	-0,077466239	-0,077851015	0,048031439	1,914667865	-0,284607288	1,365582053	-0,600138018	-1,15602114	0,280222302	0,137527399	1,014777001	-0,197447999
HIRIP3	-0,003	CNV16p11_2	-0,65266041	0,87882855	0,781912825	-1,125678847	1,111950097	0,691029859	-1,620082426	-2,142254829	1,760901169	1,660732543	-0,13481599	0,22452962	-1,311872483	-0,554436181	1,280146918	-0,349837329
INO80E	0,005	CNV16p11_2	-0,523766437	-0,008122756	0,270997068	-0,856628649	0,052325051	-0,343930132	-1,573667064	0,121965878	0,522961843	0,681062266	-1,063716766	-0,089912108	-0,845371481	0,071003994	-0,145789744	0,96890137
KCTD13	0,055	CNV16p11_2	-0,741530577	0,07837395	0,755928074	0,118348858	0,326582524	0,74370072	1,431382561	1,083559461	-0,72657409	-0,813059011	0,78847903	-0,442365341	1,162553478	-0,996987469	0,077324288	1,253939783
KIF22	0,11	CNV16p11_2	-1,779553409	1,586208314	-0,05898522	1,242542663	0,105879107	-0,124904802	-0,324429346	2,04713384	-0,885493039	1,623834843	0,285903602	-0,271374465	0,592157984	-0,012639241	-0,846744566	-0,552634805
KLHL22	0,019	CNV22q11_2	-0,594937952	1,718961009	1,663696447	0,565122524	-1,0674374	0,549203558	-1,041907301	0,330551847	0,316316047	0,314458782	0,261770144	-0,660037293	0,013936597	-0,26511642	-1,172131563	-0,143547066
LZTR1	0,044	CNV22q11_2	0,837866192	0,52903503	-0,148629092	-1,385078196	-0,062445274	-0,046350788	0,598519011	-1,449207191	-0,868791368	0,274045349	0,392224576	0,503327902	0,917984591	-0,093317103	-1,899070508	1,178750703
MAPK3	0,411	CNV16p11_2	-0,538769173	0,515205474	0,431530573	1,144825263	-0,498092536	0,564518066	0,210697739	1,496041447	-0,356334661	0,780069865	1,018594571	0,311402356	1,364139605	-0,030745952	-1,826597547	-0,030341802
MAZ	0,037	CNV16p11_2	-0,983448298	0,486197914	0,297383444	0,90066818	-0,671970099	0,419114694	0,3019804	3,19161272	-0,621723966	1,187972499	0,128363119	0,121617061	0,881568332	-1,22905923	-0,726216227	1,046387516
MED15	0,04	CNV22q11_2	-0,925665258	1,388986257	-0,352939707	-1,664346442	0,041143162	0,592500702	2,103436175	1,036766069	-0,254365678	2,246642474	0,07652969	0,226248927	0,026831423	-0,88307451	0,937004276	-1,620708591
MRPL40	-0,02	CNV22q11_2	0,718975422	0,825778973	0,374695583	0,263864675	-0,354428937	0,445721676	-0,897964959	0,232700687	0,218186984	0,87278159	-0,060433313	0,007908398	1,447556731	1,664103374	-0,761369051	0,451143377
MVP	0,09	CNV16p11_2	0,022021014	-0,610793321	-0,510894008	-1,048246321	0,700687025	0,518019124	0,019209163	0,010980192	0,539617989	-0,19453848	-0,096921519	-0,043761563	-1,560569338	0,924754287	0,097182691	-0,180564619
P2RX6	0,237	CNV22q11_2	1,211078034	-0,292206917	-0,346535932	-1,585180562	0,643007145	-0,956326611	0,192171429	-2,187291307	0,558060928	0,633891725	-0,972939619	0,448229754	-0,693521329	1,001514074	1,082934453	-0,150954506
PI4KA	0,147	CNV22q11_2	-0,959423075	0,303893403	0,984487437	0,069107541	0,521014524	0,361634281	0,188283417	-0,658484725	-0,713466431	2,480537737	1,940548232	0,723782301	-0,241632549	0,372142493	-0,352317511	-0,386105411
PPP4C	0,004	CNV16p11_2	1,055178797	0,300175573	-0,837741883	0,54225806	-0,060878951	0,60437419	0,288409419	1,985216111	0,112977708	-1,872340452	-0,022989981	-1,079228675	-0,587170066	0,43386693	0,820896336	-0,556309517
PRODH	0,095	CNV22q11_2	-1,328186559	0,146635911	0,237622805	1,060378544	-0,393948766	0,634064337	-0,37906983	1,294842117	0,191530826	1,045037913	1,008803032	0,717881571	1,138461713	-0,477205654	-1,123501759	0,702814937
PRRT2	0,052	CNV16p11_2	-0,264252966	-0,603583105	0,833537799	-0,726784065	0,997339973	0,803049258	0,490150407	-0,909764221	0,800056764	-0,454100175	-0,086425089	-0,278093664	-0,79665468	-0,823348512	1,255302523	0,265417137
QPRT	0,134	CNV16p11_2	1,17244292	-0,841748532	0,084104237	-0,683736167	-0,508803727	0,088055558	0,326380319	1,611517363	0,283827265	0,677847518	-0,365278097	0,241716893	0,339874535	1,269515286	-1,090129985	-0,073313551
RANBP1	-0,01	CNV22q11_2	1,227783657	0,82572553	0,435867117	-0,929538152	0,7541311	0,337268467	0,068916132	1,111865824	0,208593827	-1,115240871	-1,070125674	0,425875986	0,924849007	0,773800918	0,027363711	-1,002216921
RTN4R	-0,038	CNV22q11_2	0,062348243	1,169257717	0,560730808	0,855013061	-0,20386008	0,694242841	0,581845784	0,396670305	-1,583464004	0,251369138	0,123680658	0,784986363	0,043275626	-1,020990618	-0,381461856	0,371816916
SERPIND1	0,029	CNV22q11_2	1,053805231	-0,214133032	-0,958739393	0,492399821	0,582431893	0,199755107	0,460912772	0,72893952	0,139634768	-1,048195066	-0,249265531	-0,506945991	-0,83704263	-0,563317408	1,416347119	-1,678213786
SEZ6L2	0,038	CNV16p11_2	-0,032338546	-0,250297114	0,412370089	-0,922176354	0,710021699	-0,746506276	-0,150361459	-2,023418356	0,033381348	1,756224764	-0,30379428	-0,300236064	-1,431307117	0,480807484	1,429050636	0,057499782
SLC25A1	0,059	CNV22q11_2	-1,162295238	-0,104749779	-0,672047322	1,566695497	-0,908662936	0,220745624	-0,280237078	0,904506785	0,195579668	0,854670745	1,247042723	0,275717178	0,76964054	1,004414865	-0,651002123	-0,997742213
SLC7A4	0,482	CNV22q11_2	0,013414526	1,295338139	0,926536001	1,152191959	-0,88066493	0,406344752	-0,358899923	0,70948249	-1,198889618	0,200066468	0,53491089	0,342714045	1,618254061	-0,561212949	-1,829841115	0,478378649
SNAP29	0,147	CNV22q11_2	0,613423243	0,250691902	0,970824793	0,781041286	-1,193550593	0,40956395	0,045997285	1,686611283	-0,695094961	1,593865817	0,508362522	0,267661239	0,752572785	0,208761467	-1,902325278	-0,218150702
TAOK2	-0,003	CNV16p11_2	0,34436458	-0,173628291	-0,089632228	0,456802964	1,171271984	0,602873905	1,031977078	1,0516595	0,551584016	-0,127137011	-1,31942038	-0,805476715	-0,073505331	-0,529326918	-0,538957402	-0,236626408
THAP7	0,022	CNV22q11_2	-0,205637954	0,147210136	-0,454224055	-0,251510811	0,486808033	-0,168993601	0,22896547	-2,284542153	0,986156672	0,378553496	-1,337813544	0,220427088	0,098189386	0,270463242	0,90433768	-1,138325677
TMEM219	0,064	CNV16p11_2	-0,645223652	0,596037843	0,172714629	0,445728607	0,088052489	1,055048037	-0,201745433	2,00196442	-0,30281178	1,344163286	0,434987945	0,497159065	0,306435887	0,003116111	-1,185045475	-0,290473503
TRMT2A	0,029	CNV22q11_2	0,549432864	0,759900238	0,968476909	0,156001307	-0,553641281	0,544573449	1,535429849	-0,332763799	0,31854916	-2,016305672	-0,07923115	-0,782080556	-0,892635507	0,59211388	1,017085012	1,364372608
TXNRD2	0,076	CNV22q11_2	-0,291068479	0,694158178	-0,629652422	-2,393807778	0,465125981	-0,39891018	0,419856977	-2,496170216	0,631580392	0,004497937	-0,579874627	-0,317953268	0,766681182	0,14798869	0,677212003	-0,539355777
UFD1L	0,088	CNV22q11_2	0,422195843	0,326977797	0,333744328	-0,633212342	0,037505043	0,344143339	0,38653118	1,156808669	-0,415852191	-0,292641968	-0,070173504	-0,375994201	1,904145222	0,896278483	-0,608872544	-0,313164259
YPEL3	-0,002	CNV16p11_2	-0,933876615	0,134340362	0,410909566	-0,6667158	0,124281222	0,275346447	-0,012987787	-1,757398544	0,892120286	2,120905366	0,014870657	-0,00396094	-1,47969208	0,66337406	0,346974063	1,038840285
ZDHHC8	-0,05	CNV22q11_2	0,284713161	-0,322494652	0,873626414	0,27188223	-1,847432691	0,446109815	1,119800311	-0,213210459	-0,584334477	-0,168130234	0,655997737	-0,493603801	-0,707975247	0,029560096	-0,955120553	0,867506544
ZNF74	0,02	CNV22q11_2	0,109915311	-0,716645515	1,101923085	0,125291805	-0,53857819	0,487565024	1,826419993	-2,282291608	-0,606559176	1,191915341	-0,091575582	-1,318297116	-0,556505782	0,120035104	1,021670082	1,35855688

Gene	Insula	Transverse.tempor	Inferior.parietal	Pericalcarine	Postcentral	Supramarginal	Rostral.middle.front	Frontal.pole	Lingual	Lateral.orbital	Banks.of.superior.te	Caudal.anterior.cin	Lateral.occipital	Posterior.cingulate	Pars.triangularis	Middle.temporal	Caudal.middle.front	Temporal.pole
AIFM3	-1,157577524	0,307338693	0,359209261	2,508204758	1,995589829	0,756430013	-0,098714286	-1,034312245	0,459539321	-1,259807811	0,151512468	0,200357873	1,316449213	-0,245788974	-0,389894637	-0,167612502	-0,566887999	-0,972111265
ALDOA	0,338219252	-3,022660477	-1,602682625	-0,607589373	0,924264946	0,825115823	-0,049130106	2,077811794	-0,540610567	-0,637796523	-0,503936025	1,166564414	0,190997771	0,879217135	-1,977081182	-0,648531978	-0,025376522	-0,987869538
ARVCF	0,736379968	-1,465246524	-0,448365289	-1,036059129	0,045643109	0,921119899	-0,097606188	-2,863453779	1,260163196	-0,874411646	-1,072708333	1,541451628	-0,000103967	0,418315384	-0,211051643	0,528162953	-1,39095658	0,761385451
ASPHD1	-0,587988802	-0,694974013	0,051201525	-0,206409833	0,535488909	0,517276455	-1,977623082	1,6943881	-1,017477603	-1,671386164	1,550710694	0,325408677	-1,241225494	-0,953425609	-1,246545457	0,785120493	1,671044082	0,275390418
C16orf54	-0,436302486	-0,725890271	-1,246346593	-0,435073997	-0,875503302	-0,335917875	0,820253688	1,643862683	-0,254746227	0,557267224	3,335166186	-0,453640742	0,485667968	-0,550177915	2,20406432	-1,280896794	-0,035016705	1,545695955
C16orf92	-0,685124204	-0,450189333	-0,099457758	-1,437697584	0,559608406	0,323899537	0,142187751	0,775651557	0,848502467	-1,67191867	1,408980882	-0,363949191	1,033766242	0,548640377	-1,510388044	0,384102687	-1,983245071	-0,924728713
C22orf29	0,695725717	-0,312432691	-1,136193929	-1,738851083	0,765942899	1,247152424	-0,26424833	1,733568679	-2,433316804	-0,289118899	1,448556383	0,113306845	-0,871378903	-0,213569375	-0,081942498	1,11563114	-1,473309403	-0,206273689
C22orf39	1,103987434	-0,810717656	-0,971592066	-2,208111061	0,216106422	0,598301292	-0,592060123	0,097089017	-1,731161723	-0,212767698	-1,000444844	1,318513975	-1,251365549	-0,054595925	-0,527739106	0,370948252	-0,651201893	0,715905949
CDIPT	0,042127997	-0,162867451	0,15210757	1,172018808	0,814097104	1,338911965	0,455694064	0,100690413	-1,693890162	0,091455688	0,088775263	-0,678967095	-2,333613556	-0,671335856	-0,024022523	-0,013763236	-0,570977427	-2,1011135
CLDN5	-0,381321514	1,550536267	0,161960473	2,148273911	0,341760606	-0,382554122	0,105473499	-1,648214881	0,797333309	-0,916257857	-1,419828007	-0,087288515	0,911882807	-0,786381053	-0,044434384	-0,858821159	0,634765291	0,45636013
CLTCL1	0,228303345	0,854631619	-1,08250553	-1,064102603	-0,72813986	-0,521891598	1,283139466	-2,643082324	-0,918256824	1,978835691	0,227936174	0,93158293	-0,987123606	0,08199664	1,115481498	0,442743347	-0,216124471	-0,557706199
COMT	-0,628071986	-0,481686478	-0,522023071	-0,927631623	0,786844639	0,494597528	0,288779625	-4,431966548	-0,709721701	-0,493881445	0,245360965	1,572696301	-0,565491487	-0,287163815	0,839936515	1,195573436	0,070821265	0,523322939
CRKL	-1,602862532	0,047594459	0,696909382	-0,374480285	-0,055880506	0,363705888	-0,814856223	1,366995731	-0,493221618	-1,527703463	-1,173492681	0,821777234	0,149542098	1,602871846	0,669566249	0,071294411	0,500986732	-1,359722748
DGCR14	-0,259350875	-0,428928413	-0,076120553	1,865429542	-1,164447272	0,089928775	0,964698465	0,995459129	0,033437282	0,170132553	0,384402198	-1,565685669	-0,024306058	0,38302815	-1,986168698	0,720862603	-0,817447168	-1,572077411
DGCR2	-0,863995905	-0,167850378	0,645061941	2,071220421	0,18368646	0,001725765	-0,196457966	-2,071208557	0,405412456	0,363424537	2,633944851	-0,590198846	-0,173004106	-1,608713895	-1,668738239	0,338631923	0,175174095	0,069970336
DGCR6	0,088654394	-0,807515884	-0,204360316	-0,230733391	0,147920538	1,266125961	0,228074725	2,585726315	-1,605081714	-0,378251381	0,182402105	-0,277401711	-1,267923768	-0,243004111	-0,704422186	0,018248327	-1,14048924	-1,046429367
DGCR6L	0,411401438	-0,989315661	-0,223021703	-1,234839811	-0,129165472	0,936139423	0,365831974	0,975617144	-1,647862838	0,107901595	-0,710953786	-0,172153877	-1,615407556	-0,680322155	0,532579247	0,19061001	-0,563947456	-0,077397992
DGCR8	-0,267477425	1,356625607	0,677528727	2,867339153	0,168190542	0,071007735	0,087354524	-0,90572766	1,649736896	-0,053774977	0,948081903	-1,189619197	1,243562964	-0,775628292	-0,847171822	0,083270124	0,07788321	-0,762888415
DOC2A	1,075045497	-0,335063018	-0,133072273	-3,240310864	-0,390359134	0,984807758	-0,507268911	0,858649848	-1,657787437	0,484283227	-0,007400582	-1,058000606	-0,933714273	-0,238312372	-0,399275999	0,936213153	-1,170759095	0,594936135
FAM57B	-0,659368919	0,404728609	-0,122120684	2,043058632	2,03198121	0,097717857	-0,122806863	-0,621511546	1,738299579	-0,9759556	-0,747805178	-1,552100754	0,431766563	0,410032605	-0,200227268	-1,024241132	0,308595178	-1,176164206
GDPD3	-0,096197335	-0,037301233	-0,606403754	1,311035631	0,819176169	0,129937345	-0,809494499	-1,999812333	0,600463214	-0,407251711	1,600786123	-0,612428275	1,002936322	-1,498537051	1,146920394	-1,388987565	-1,638719535	2,210127829
GP1BB	1,430369089	-1,702394114	-0,635574841	-0,453376616	-1,059628298	-0,29548495	-0,803184776	1,532352956	-0,993162552	0,35965292	-0,215622783	1,895840025	-0,746119945	-0,485631471	-1,887409733	0,63609281	-0,822360963	0,640001437
GSC2	0,951927312	-0,777779464	-0,237343199	-2,289845746	0,023437553	0,328250925	-0,223858256	2,607611828	-0,701788478	0,668039747	0,802869476	1,374738746	-0,678306864	1,100730227	1,99575076	-0,379980655	-1,004157135	-1,7240761
HIRA	0,118124641	0,094280977	0,854159149	1,967209478	0,167064405	1,919303793	-1,366457301	-2,052141805	0,774910365	-0,773549217	0,071566082	0,201292068	0,052326606	-1,185837256	-2,25918007	0,277910812	1,218184261	-0,462780014
HIRIP3	-1,160075965	0,743916753	-0,957791954	1,356941458	0,988910647	0,924067958	0,312911849	-0,287443102	1,4028079	-0,403336918	-0,599783799	-0,432097915	0,210363078	-1,03530025	-0,654005875	0,290945935	-0,059663564	-1,139759324
INO80E	-0,51932033	0,32656413	0,181376389	2,347047465	1,287356414	1,368742258	0,430060604	3,139078196	0,254642098	-0,551726874	-1,413678618	-1,500411248	-0,03882912	-1,39608614	-0,588893751	-0,476674869	0,195634633	-0,283193569
KCTD13	-0,603462925	-0,716623976	-0,165913387	-0,460732924	-0,930494862	0,017078716	-0,385653048	3,788679104	-0,259961064	-0,258939358	-0,819169314	0,338582223	-1,33193545	-1,651058347	-0,809519294	-0,265651733	-0,196653844	0,611773246
KIF22	0,912194285	0,521236088	-0,674430615	-0,995834239	-0,113294713	1,171680825	0,268788376	0,528419667	-0,745578764	1,571786204	-0,757867474	0,655624104	-0,89828989	-1,581002815	-0,178804493	0,792820312	-1,108437342	-1,995910975
KLHL22	1,318780995	-0,113342321	-0,439162932	1,248125048	0,748027945	2,014353133	0,312404765	1,479769987	-1,059134253	0,550091013	0,363888763	-0,338766574	-1,552073791	-1,699743908	-0,967105358	0,306086969	-1,551821456	-1,409279984
LZTR1	1,10374354	0,685313372	-0,640685983	-0,976351098	0,050181748	0,442103377	0,765828467	2,893670681	-1,35601719	0,413843786	0,474163978	0,705274988	-1,185030327	-1,454970083	-0,377593068	-1,327842852	0,971156692	-0,465653861
MAPK3	0,405080125	-1,205101656	-0,596796261	-2,766246397	-0,704254215	0,580028509	-0,108282843	0,523089714	-2,083299847	-0,317388647	-0,095417428	1,594358078	-0,995837798	0,087764603	-0,394196688	0,43275241	-0,542725572	1,630330625
MAZ	0,829385101	-0,803564697	0,472941525	-1,66157008	-1,564872755	0,518714371	-0,171335842	0,637166246	-1,609954952	0,027337457	-0,186551722	1,06028018	0,084477356	-0,012760156	-1,940327644	-0,494538056	-0,026645757	0,111371364
MED15	0,025703732	0,117336709	-0,364858979	-0,227419359	-0,476137599	0,425582252	0,188164968	1,598645904	-1,350909115	1,07232794	-0,778376388	-0,889463998	0,833184928	-0,864907426	-1,974170382	0,100416782	-0,272079388	-0,13802955
MRPL40	0,521870563	-0,248279008	-1,41370499	1,668967796	1,763990201	1,02316836	-0,696347493	1,404840426	-1,766127106	-0,866255628	-0,169405288	0,147681274	-2,208253184	-0,676898762	-1,007538308	-0,749123618	-1,02574404	-1,152062405
MVP	-0,077875678	1,748251152	0,081756785	-0,587786727	0,822926631	0,139665895	-0,028620022	-3,76241437	0,913513796	-0,958799794	1,701498257	0,620998327	-0,167592974	-0,620354366	1,680160787	0,265068089	0,583852366	-0,940430473
P2RX6	-0,830758649	0,475156527	0,77713659	2,156237035	0,945345321	0,278923141	0,5038743	0,780472308	0,671692548	-0,512621548	-0,173566226	-0,395568217	0,435630858	-0,226760838	-0,412456208	-0,89226866	0,742606171	-2,909005212
PI4KA	1,03270623	-1,447608442	0,117115524	-1,23199923	0,318082511	1,513209278	-0,948085842	0,033883661	-0,968241312	-0,318240731	0,992101971	-0,601978081	-1,289610717	0,919159101	-1,433325666	1,16546177	-0,832361368	-1,654270324
PPP4C	-0,378740327	-1,785019945	-0,776463919	0,243891912	0,988864647	0,866768609	0,170863879	-0,588836533	-0,631213959	-0,116313698	-2,075371955	0,093127262	0,613704492	-1,196693387	2,454659423	0,129747822	-0,609398041	1,469730119
PRODH	-0,210529311	-1,268356736	0,292284742	-2,06315892	-0,251434614	-0,079330788	0,437218413	-2,014643442	-1,684755992	-0,104286361	-1,21992649	2,197912838	-0,593292715	0,13909591	-0,399328368	0,743404544	0,144572948	1,458393205
PRRT2	0,57365456	-0,024026562	0,477032979	1,653525775	-0,224226646	0,212440508	-0,073059963	-0,750519574	1,759194654	-0,202741372	0,142973642	-2,949283268	0,88053578	-0,529505443	-2,580636787	1,382757422	-0,497023491	0,247060404
QPRT	0,493736932	-0,96541953	0,590455379	-1,375954764	-0,125036195	0,228613222	-0,511662339	-0,987326523	-2,35408396	-1,382609138	0,809036228	1,143195724	-1,263199457	0,204043683	-1,221386245	0,582805075	1,199390098	2,403129976
RANBP1	-0,43406547	-0,410961595	0,454099417	0,600341744	0,872797237	0,866895196	0,172625409	-3,245921551	-0,286452057	-0,891174197	-1,511600068	0,486702083	-0,432422483	-1,193987648	-1,381491782	0,914957346	1,413911767	1,000826997
RTN4R	1,258713411	-0,432469557	0,381074283	-2,458987429	-1,230912014	0,415205765	0,904821027	1,78689284	-0,073312396	0,141044909	-2,539140372	-0,341037072	0,320408307	-0,451242639	-1,05955317	1,209948501	0,90321794	-1,440133233
SERPIND1	-0,054540829	-0,328815644	-0,437560705	3,25693351	0,48358252	1,088374646	-1,173780182	-1,656434543	0,912274238	-0,42151138	1,591818466	0,019861716	-0,28904418	0,102672097	-1,209954136	-0,238479166	-1,183875765	0,520105942
SEZ6L2	0,021579156	0,598525918	0,728410623	1,325000324	0,943516851	0,57587393	0,117882505	1,6500679	1,379216606	-0,467212027	0,506952874	-2,658908083	-0,181393642	-0,764767206	-0,384761398	-0,103666982	-0,194323171	-1,810914413
SLC25A1	-0,294564991	-0,020852224	-0,958350342	-0,637245461	-0,094432404	0,748880287	0,586736689	-0,414785617	-0,985606059	-1,145314256	1,746507724	3,057873175	-1,941418336	0,138611635	-1,116844872	-0,16958693	-0,335935391	-0,425949561
SLC7A4	1,216916427	-0,874242467	-0,802629841	-2,908291603	-1,155978604	-0,215702034	0,030237959	0,595298894	-1,780916871	0,458301466	-0,00198776	1,01923904	-0,977370635	0,525592267	0,378099359	0,615606824	0,078146805	0,951557326
SNAP29	0,108126716	-0,48291572	-0,314556715	-2,220460704	-0,761784857	0,037852224	-0,40163081	-0,356721966	-1,373948855	0,560719318	-0,873420652	1,073893616	-1,094504258	1,05957008	-2,044397435	0,806437906	0,862747702	1,334738373
TAOK2	0,129748941	-2,099608973	-0,045447253	-1,628066907	0,242498236	0,220609111	-0,468552112	-2,252429276	-0,534345546	-0,413165117	-1,111143844	1,71826943	2,47208253	0,388863271	-0,229103067	1,28684995	-0,124431609	1,130548889
THAP7	-0,804588313	-0,348030075	0,668875907	1,023758682	-0,025677709	0,177765298	1,02798744	2,633841685	0,403960589	0,459052781	-0,360349799	-2,230798626	0,195280704	-0,97956075	1,780981046	0,260796434	-0,040195426	-1,723163275
TMEM219	-0,556841604	-1,13297337	-0,329615952	-1,926051729	-0,504110397	0,402914313	0,02175147	-1,179790509	-2,168262376	0,074597515	0,146249436	1,716383179	-0,779935136	-0,977488148	-0,612678647	-0,143855548	1,329513528	2,3000855
TRMT2A	0,300308868	-0,296664346	0,119949964	1,099082704	0,117255829	1,145887567	0,831702273	-1,656452129	-0,71798071	-1,699177514	-0,346891885	1,427460649	-1,411190326	0,412664068	0,268334873	0,593018832	-1,230495833	-2,106090193
TXNRD2	0,032808582	1,549778148	1,159589815	1,559443676	0,874958579	-0,076137933	1,145577167	-1,542832169	-0,056653969	1,558208855	-0,427722636	-0,680601114	1,185041204	-0,977105645	0,642638315	-0,588230355	-0,34972777	-1,169341342
UFD1L	0,49939841	-0,711499598	-1,021549946	0,066531918	1,203777186	0,583818618	-0,56788612	-3,153732278	-0,321025171	-0,355751422	-0,74120988	2,428704691	-1,382775037	0,348061031	-1,574718189	0,738978285	0,030199141	0,832259466
YPEL3	-0,453408947	1,259586129	-0,105977228	1,001682168	1,230093988	0,845808659	0,471715168	0,392923977	0,76408337	0,308959771	0,110270676	-3,063173457	0,025822312	-1,325439246	-0,157333898	-0,333110807	-0,558129524	-1,58170366
ZDHHC8	0,294458675	1,438201359	-0,683537095	-0,747969099	0,175381159	0,651088658	-0,817681111	2,088540013	0,306247713	-0,806586373	0,370386646	1,149639344	1,779410778	0,530064313	-2,750538143	-0,095364991	-0,487630184	-1,651005855
ZNF74	-0,247452644	0,655321706	-0,706187786	1,516266359	0,334014609	1,056746022	0,485823107	0,026879043	0,333973281	-0,218164787	0,572969616	-1,835859337	1,306081173	-0,628140194	-1,735702559	0,154468425	-1,255284237	-1,048591453

Table S4.2 PCA values per gene per PCA dimension

Gene	Dim.1	Dim.2	Dim.3	Dim.4	Dim.5	Dim.6	Dim.7	Dim.8	Dim.9	Dim.10	Dim.11	Dim.12	Dim.13	Dim.14	Dim.15	Dim.16	Dim.17	Dim.18	Dim.19	Dim.20	Dim.21	Dim.22	Dim.23	Dim.24	Dim.25	Dim.26	Dim.27	Dim.28	Dim.29	Dim.30	Dim.31	Dim.32	Dim.33	Dim.34
AIFM3	5,593980978	1,111708396	0,316953303	1,588629027	0,005861347	0,403872318	4,10E-05	2,528471759	1,081544208	0,121829101	0,004574013	0,227908028	1,531494462	0,14110676	0,091779476	0,030384209	0,236776696	1,206321705	1,165790246	0,088722615	2,984177301	1,809684959	1,395456032	1,65009628	0,022619742	5,923357274	1,536862386	3,624070256	2,045637469	0,55273702	3,867714288	1,561540138	0,047637429	2,25791471
ALDOA	0,356774646	1,730740676	2,728272761	0,463820633	0,759898333	0,861325141	1,719155453	2,206452732	0,227792014	0,556807552	4,207366992	12,13682557	0,056769411	1,527006155	0,283362211	2,877013366	3,009243011	0,066709023	0,33031604	10,57737795	1,2019256	2,317715376	1,594914327	5,461878705	0,050598823	6,495619205	1,052304085	0,550431874	0,043379236	0,586545756	0,268970813	0,514026663	0,395401105	0,400636334
ARVCF	0,607424641	4,344340484	0,000213729	1,953142257	3,209373198	0,909788099	0,161487123	0,020321484	1,911640702	0,958987359	1,03E-06	0,035338398	0,092149382	2,205617582	0,290950272	1,707631823	0,694210636	3,837019386	1,134139965	1,286920782	0,000182463	2,028086831	1,78200671	12,70644542	1,277116811	0,789770418	6,797202307	7,23706115	0,38112487	1,198086361	3,359163796	0,002146372	0,181002546	0,945731992
ASPHD1	0,178148078	2,195536175	1,619188911	2,859862588	9,415628967	1,07493469	0,259174096	0,003363431	6,434204269	5,433624804	0,840721608	0,405804189	1,678178475	0,006510718	0,29912271	1,885467634	1,956178449	0,555736535	0,788612852	0,244426754	2,853548538	0,014249617	1,198010218	0,004346639	0,798322819	0,893505388	0,568439776	2,041436273	2,177501313	2,391757832	0,075353552	0,356342006	0,567898948	10,1845087
C16orf54	0,144783283	0,644311743	7,009846473	0,734911268	5,221115068	5,614394684	2,034454729	4,537600993	2,371921353	0,554735101	0,128702138	1,33535258	0,298111251	0,019583279	0,043351739	0,760925748	3,581010184	0,634528004	0,222735226	8,90277943	0,186315709	0,761855771	3,017867726	0,723031624	0,217320185	2,188133975	0,843967237	0,65547677	1,319253675	4,001458719	0,777990005	0,998628859	0,37468198	0,454189802
C16orf92	0,15170643	3,294404746	1,327361258	5,795853374	0,120107251	8,493767519	0,012915094	2,042688338	0,984113746	0,159958551	0,571111082	0,683832392	0,340648641	0,041825073	0,01720291	0,961853206	0,311573673	3,62101045	2,857240119	2,368940588	0,091153851	11,09041367	0,852441989	5,001569122	0,146409764	0,674233656	0,413755319	0,612815104	8,626498044	1,410829866	0,050333931	3,205468081	0,371861137	0,023895249
C22orf29	1,654276846	0,753099491	2,241315775	0,003090413	0,027728525	0,373284201	0,639269575	0,251768152	0,87107904	1,788704744	5,690111224	3,18896301	0,853266591	0,053315937	0,67731829	1,821959322	0,313413198	0,000768538	0,360614156	0,179302163	7,845622913	0,001972882	1,04248249	1,845586918	0,964644202	1,656124006	0,328247381	1,170005503	0,108787641	0,830826537	1,045868878	0,251626327	6,112806114	0,158158393
C22orf39	4,196085724	0,776998691	0,724401495	0,001961314	0,863201779	0,017775445	0,413311818	0,725053468	0,047568226	0,122927641	0,745200498	0,107984665	0,058221561	0,069646841	0,253196441	0,17891475	0,314373246	0,325098249	0,002361681	5,285979189	0,490352335	0,393570859	0,263011408	2,398487587	2,570667351	1,216392382	0,072690495	3,447343538	1,024506137	0,523751967	0,000342277	0,532388706	1,455079383	5,162277275
CDIPT	0,13405883	2,56527724	4,2384763	3,298740869	0,070374217	0,443828415	0,044344956	5,007634886	0,385567865	0,883434627	0,024463967	1,08553124	0,075372778	0,000631638	0,025218332	0,074182875	3,510169013	0,006301499	0,15583025	0,677667506	2,330640563	0,030827685	4,74E-08	0,17494667	8,181052361	2,319484425	1,439607296	0,236136545	0,108269165	3,507277343	0,000130241	2,57172343	0,643267707	0,173967383
CLDN5	3,74185422	0,292319362	1,023298238	0,321549647	0,011793372	0,157252768	6,11643198	0,772336757	2,489966483	0,297653587	1,886910437	0,472214804	1,163652515	1,744516082	8,174822418	3,23646367	1,664476941	1,485610899	12,89968715	3,879134839	1,282567475	0,900739021	0,014349344	0,149457657	0,087920475	0,5484561	0,112588896	10,38296504	0,640436222	1,021599785	2,568544478	0,07834176	2,936573228	0,09188469
CLTCL1	0,632686757	0,950684234	6,980330181	0,022474271	4,65736419	0,19422169	0,021545154	9,165264258	0,192763044	0,488048534	5,217761301	1,410318357	0,029443465	0,073403225	1,661187931	0,73115865	0,387645884	1,370579139	0,44827363	0,071423562	1,522147092	0,592715607	0,429813091	0,514168526	9,507881045	0,313563722	0,067896824	0,133602854	5,971536663	0,000269905	3,88939596	4,488157808	0,151919677	3,64E-05
COMT	0,062171754	1,631246095	0,239472096	2,358447931	0,308329158	0,607877583	1,097115023	1,202764142	0,936858124	0,016727273	7,383453748	0,052183776	0,442669951	0,364679167	1,215946261	2,771173395	0,588233964	1,628235923	0,765888543	0,315840825	0,468267028	0,127682517	0,009698679	1,612718365	1,05819409	2,864383222	1,565888082	2,742853636	0,567882061	0,17635812	0,002605324	0,001722279	1,367328525	0,014933137
CRKL	1,266988003	3,879340939	0,090954506	0,100646481	1,577214366	0,19110398	1,726041208	0,360599659	7,13470833	15,12948902	0,795458017	0,033997175	2,494533618	4,54515209	4,735914315	7,53E-05	0,627702555	0,449328394	2,318677423	3,555193138	0,572349286	0,079740529	11,44365027	0,953216005	0,017851932	1,026645846	2,896000496	0,119873011	0,752563143	1,660186741	0,228090726	1,65E-05	0,32094708	0,005090112
DGCR14	0,009174093	2,691155181	0,617407304	1,114890181	3,573111772	0,024882643	0,43173211	0,109684161	7,681458093	6,240317949	5,53939305	2,019723089	3,595194526	2,402542404	1,548332382	0,804454489	3,028605629	3,609637996	0,201854875	0,416631282	6,593041685	0,150634126	0,394108373	1,479793184	1,589047105	0,072475323	0,134514863	2,251579413	0,421082568	5,867873293	3,853742234	0,001431979	2,863495545	0,626863005
DGCR2	1,697030406	0,043727897	0,088856005	0,688963958	2,6384232	1,412627482	2,809698664	0,335781174	2,036485532	0,344991502	1,525805232	0,100573275	0,756547572	0,03367174	2,342903327	0,837792761	3,246908284	0,669887308	0,032260413	4,659620539	1,524757017	1,243596937	2,723414085	0,971646561	1,288190559	1,402008749	15,4135372	0,297988867	0,059833702	1,355724185	0,313320396	1,146317015	0,691686941	0,615616467
DGCR6	0,792153809	0,857241874	0,216702664	0,29626793	0,073442545	0,773297686	0,804468382	10,88022877	0,756009044	0,265013658	0,016825981	2,664739072	1,233792189	3,045619568	0,278633894	0,844984158	1,491286795	1,483759018	0,027282083	0,008939299	4,040865594	1,919663523	2,770160462	1,26816716	0,478371533	0,030769916	1,127957128	0,344104327	0,09301685	3,083864304	4,379588496	2,204611313	0,062380981	0,435643455
DGCR6L	2,178807921	2,088246584	0,058701252	3,442954275	0,012564773	1,408442703	0,164755174	4,349199421	0,822897652	0,021985876	0,002312249	0,613620894	0,001461326	0,195403811	5,285999842	0,000152711	0,000216796	0,0606407	0,475309068	0,345877293	1,143721688	0,000522739	0,197771792	0,508858218	0,039371148	0,008865179	0,539596482	3,80923453	0,347619424	0,82156538	0,513151452	0,807083012	0,668197424	1,908126119
DGCR8	4,103397066	0,805398359	0,658418851	3,288061811	0,40779718	0,100336548	0,208117326	0,032351491	1,388000487	1,728885977	0,141382074	0,116961081	0,001636952	0,037414752	0,873696535	0,135213974	0,574190482	0,7925673	1,257778278	0,000163162	0,099575243	0,725569975	0,034910223	0,015712897	0,129562129	0,997918238	2,682460018	3,209473941	1,229113638	0,07616309	3,129920983	1,414798788	3,252009796	2,293791299
DOC2A	2,755075184	0,424953039	0,336307659	0,686414646	1,204702043	0,42474552	0,909921407	0,120986968	0,120912346	1,731755309	0,560575033	0,037787915	0,073907098	3,024050512	0,960633078	1,435366552	2,310570046	0,008674706	0,972520964	1,987407008	0,188331242	0,440587471	1,160767769	0,022001665	0,820053223	2,171304288	0,721912629	4,580406869	0,257113568	2,135201897	1,07151253	1,094494435	3,344094929	0,914680233
FAM57B	5,869288873	1,921721855	0,189037108	1,59749222	1,210168693	0,310207852	2,641210206	0,004768859	0,166381458	0,232497492	2,658731674	0,473274155	0,790875962	1,267479557	2,867768089	0,247445237	0,08236243	0,428535867	0,078489974	3,475362087	0,024553188	0,99089984	0,603842005	0,010533809	0,27849084	5,641866662	1,255175499	2,1063216	2,648776841	0,9486344	6,424712425	0,179984633	0,377171908	1,905599971
GDPD3	0,897749257	0,53765431	0,048938318	1,953024718	5,419747574	1,103622546	9,512947765	0,946119377	4,596251951	0,006240853	0,152674903	0,03590642	1,457690906	0,029455264	6,123869788	2,807818339	2,459500615	0,355804084	4,04559179	1,961652961	0,122848681	1,460349231	0,007264711	3,317618033	0,001087767	1,834290392	0,044642874	4,394939998	0,523773458	0,057561779	0,702532798	0,18046175	0,941723933	0,088696593
GP1BB	3,352381188	5,59E-07	0,546809907	1,296594087	0,561646596	0,432854849	0,28228224	0,978932258	1,226154566	0,864334501	0,042996799	2,463793399	2,699809935	0,307243806	3,065916081	0,240137583	0,163917322	0,816756755	4,85941607	0,150294031	0,052902227	0,57404212	10,21806476	0,021498259	1,00296856	0,224133747	1,727011168	1,33481063	0,061869032	6,954957841	0,068623905	4,42502692	2,193846746	0,0036444
GSC2	0,436407425	0,110345447	0,271956764	0,072652978	4,882223982	5,63113639	2,216453597	1,982919237	1,692116542	0,059574596	0,088812633	2,804614363	0,076998635	5,602285482	8,358650838	3,582242814	1,457416481	0,079863285	0,008704492	0,291715353	5,494251204	1,018830248	4,026807258	1,384909161	0,386446491	1,908840887	3,244227696	0,005284071	0,008365625	6,876278307	0,160032945	0,394896594	6,480749724	4,288357562
HIRA	0,415875663	0,793042718	2,352195987	0,306734541	2,866552558	2,982850448	0,139498769	1,525796325	7,812591331	1,246395156	1,748386282	6,215772186	3,779652904	2,138840907	6,929730934	3,488971512	1,344688758	0,099506715	0,006332627	1,293928272	4,018198377	0,461105342	3,66408799	0,256508078	0,396710434	1,384828201	1,612899143	0,790470939	0,776335645	0,15681002	0,426415222	2,136050076	0,265514708	3,159496262
HIRIP3	1,722524617	3,909720113	1,201966505	0,026436964	0,101124363	1,957989737	4,459809296	2,954995372	0,030905552	0,146023317	2,011675317	9,431318218	2,919444787	0,410828165	2,233766947	0,073469914	11,04634235	5,945320265	0,661521588	0,530361757	0,423688696	0,820449031	0,000215303	1,50948985	0,015097692	0,240935607	0,110474184	0,275656882	3,628974323	5,002580162	6,084499157	4,812461373	1,443548284	0,051125207
INO80E	1,120252266	2,394380833	1,945474256	0,354999735	0,305430334	1,0800371	0,325565979	0,216430812	2,728196702	0,863487195	9,985501844	0,96706017	1,009984634	1,148248817	4,639446943	0,392492434	0,718376087	0,489398028	0,602695264	0,006561691	4,539182663	0,000829138	0,116091292	6,767048082	0,522504115	0,352316785	0,417403216	0,492631222	4,317732716	5,66957055	0,511104026	0,016662674	0,049635874	0,361849347
KCTD13	0,556581879	0,002834928	0,594881265	4,207374692	0,001219003	0,058389455	0,077027172	0,260232254	5,665679947	5,482371997	1,601698683	1,813656321	3,119008328	11,46875179	0,048559657	3,012335438	0,655663054	0,000236851	0,528013073	2,491409972	3,802869049	1,515504769	0,132187839	0,265206859	1,331281206	0,004906691	3,959693129	0,049477392	0,063217893	5,848381443	2,527362038	0,803204257	0,1484556	1,782402792
KIF22	1,537257424	5,205052447	0,044199808	0,000793344	0,3429863	1,966783849	0,118257459	1,786071511	0,075331663	1,564976887	6,106506683	0,853327272	0,393676711	1,744140389	0,47219585	1,296564231	3,035150099	1,029782588	4,216275846	1,679752611	0,960016647	0,995669328	0,064072273	0,969756577	0,133262252	0,529844019	8,494839984	0,188103425	3,460440025	0,196019956	4,718644223	1,563730153	0,561946605	0,749354997
KLHL22	1,136817596	5,655891686	8,728036551	0,530213762	1,113518921	1,119322694	0,097508522	0,352062157	0,22413542	1,642001014	0,038949857	0,213402851	0,624365736	0,176097654	1,620402627	0,941473481	0,948307438	0,149944381	0,069226253	0,650582761	3,493577948	6,709066503	0,233817401	0,108895482	0,846169584	0,04625336	5,122521918	0,032522628	0,021418484	0,699806085	1,50228087	0,895371822	4,059724274	0,904212874
LZTR1	0,180327174	0,921975776	0,973436883	1,1713563	3,30341861	1,709728	6,149027623	1,144654004	7,021495511	0,76291578	0,074471246	0,368034739	2,117679278	1,638227664	0,151848019	0,822299029	0,878428892	7,42389144	1,335604523	2,348044611	0,015491419	1,163729776	2,998392564	0,725781848	0,899726082	0,187816692	1,053889318	4,273557483	3,698240851	8,24E-05	0,115987726	0,099633499	3,232176782	0,087664456
MAPK3	3,84771108	0,358228144	0,309302674	0,158122732	0,009327668	0,050208333	0,407933807	0,061924102	0,032718249	0,340532427	0,136791218	0,007012858	0,116897432	0,23481588	0,143645265	0,003507932	7,83E-05	0,0028119	0,100340876	0,012433945	1,488389007	0,072708585	0,535078387	0,016885618	0,378923659	0,051726275	0,019689092	0,175633653	0,002479082	0,049317957	1,323272232	2,852575642	1,646976069	1,410441761
MAZ	2,354556935	0,001976393	1,133388677	1,417752648	0,784932039	0,000410205	1,30574947	0,679987425	2,054227199	0,15663142	1,093453941	2,161163778	5,208040777	0,000306063	1,70109806	0,022779876	0,934961214	0,929991075	1,494802579	2,380054805	0,477827844	2,519337637	0,617258095	0,189364051	10,53437766	0,523585888	0,078884924	0,142378879	1,991023109	0,041726386	0,305137127	0,347301229	0,079442451	11,79537528
MED15	0,010857401	2,108673893	1,959467661	1,332295957	1,021559012	1,544518239	1,004109901	4,045850791	0,01931092	0,93833658	2,154234526	6,592840552	0,403902979	6,470417954	0,395850307	0,001034102	6,231762769	2,209578739	7,930266874	0,060649301	0,02296843	0,321253317	6,017394751	0,563606745	0,70105795	1,827898655	6,184476071	0,617131938	0,292928256	0,142096791	3,53626329	0,016030322	0,844675006	0,208511876
MRPL40	0,244003702	0,001086385	8,218744252	4,665045909	2,654105739	0,016180111	0,125178653	0,195305567	0,669697917	0,492543904	0,818718195	2,296347414	1,733787794	2,281742726	0,423362485	0,029261405	0,558866125	1,892474576	0,161774581	3,751550029	0,886130217	6,883904673	0,00652213	0,583967821	1,124333406	1,568231937	2,170799042	0,081798599	1,935541835	2,462276095	2,205312188	0,050440216	1,777662464	6,104521485
MVP	1,830437151	0,613975907	0,123268313	0,763651083	0,099314303	0,008816062	2,336934961	2,774400399	0,1085434	0,540141095	6,507843217	2,189127973	0,789905967	0,150857255	0,079069806	8,608995073	3,559608684	2,755834259	0,609967876	1,121983993	3,47E-05	0,561218865	0,015966192	0,022562669	0,105947459	10,14213291	1,312648031	0,277761203	2,360507434	0,584641246	4,76116852	5,828792768	1,545276312	0,124139703
P2RX6	5,169334077	0,114949239	0,064545486	2,754482546	0,102114207	0,031796006	5,212421976	0,137759079	0,288029048	0,008597542	1,26881349	0,044742245	0,016199428	0,009293888	0,191526031	0,007307571	0,006040485	1,291213665	0,310094015	1,085613864	0,113522214	0,158370235	0,079068276	2,620053795	0,176577624	1,602378586	1,161578188	1,732368177	0,1632285	0,269622701	0,276125885	1,879227927	0,32063254	2,120431617
PI4KA	0,988259103	0,401598574	2,475427246	0,198076696	7,004151401	1,255852531	0,296713127	0,269214475	3,106788092	0,124302802	2,148285096	0,097984276	5,387132689	5,107812747	0,264566635	0,393180094	0,00279666	10,06963008	0,194424283	0,909230922	0,700871237	1,036443966	0,254015345	3,577495506	0,114590977	0,804787163	3,275497795	0,017997324	0,156438057	0,403731341	1,591919338	1,469703382	2,735200513	0,906301527
PPP4C	0,045619801	2,094051119	0,028917763	0,483166917	8,816861548	5,898203832	1,991099776	1,612415552	0,002459171	2,211211895	1,675869437	0,906015907	0,150952332	0,563490296	2,63311235	0,854985425	0,036402143	1,998171332	10,77650404	0,355134349	2,123577929	3,809137969	1,889934401	0,572342679	0,129855438	0,429663854	0,014270949	4,015436316	1,158888885	1,462267316	0,710972854	2,646648413	0,399894075	0,475138174
PRODH	2,13995966	0,171835184	2,53161223	0,345334789	0,359465921	0,340172793	1,852737875	1,78860841	0,323404158	0,32417348	1,102149928	0,848107738	5,434255506	0,250636527	0,02648999	2,575006324	0,064195944	0,96194068	2,327848605	0,000619812	0,541129486	0,639623301	5,422636604	0,593212198	0,250795611	1,857597721	0,914669944	0,413499733	4,084338159	2,987900441	2,874613589	0,000986189	3,05464902	0,410890718
PRRT2	1,222777965	0,269235824	0,002144573	9,223750745	3,916123075	0,518416832	1,479084538	1,919608466	0,002235453	0,574323471	1,276439501	1,004386114	2,128823071	0,393933874	0,147720486	0,398496811	0,434166504	0,177224186	1,475585266	0,497484392	0,269448818	1,223808064	0,483475867	0,116860247	1,993981451	6,691365427	1,259458757	1,59287638	6,019844854	0,256695345	0,132015223	0,191699428	1,508401226	1,324455912
QPRT	0,165321447	6,339657046	0,130127355	3,67857578	1,630203517	0,005037921	0,122872577	1,099729416	0,584349329	0,178013101	0,154236669	0,789591433	0,394506341	0,010117757	0,066366851	5,397631076	6,344544015	2,026661338	0,537310586	2,858109064	5,556650871	0,410577505	0,280348569	1,657209967	0,10117105	3,076949195	1,012033292	0,786874652	1,704961528	0,049365807	5,294656677	0,570645954	0,182889052	0,039906479
RANBP1	0,241260594	1,524232348	0,066385971	1,275975603	0,309175235	12,70802781	0,102448505	4,716204693	0,37835577	0,566808708	0,800500115	0,036015625	3,396977418	0,729010317	0,89604267	0,240218848	0,04941965	0,014464787	1,650208415	0,330786227	1,645298325	0,005854458	1,35309725	0,059679279	0,843000095	0,351369761	0,039004967	2,118472688	4,712973439	0,932865512	0,134347759	2,426545253	0,630417579	1,92687162
RTN4R	1,356112373	1,138545717	2,376712497	2,543572852	1,313287195	1,478232309	7,469169134	1,72357931	0,212733038	0,091420158	1,383701525	1,978870747	0,08760449	1,875150382	7,449275261	1,16091505	3,196019922	3,823352572	3,429728141	0,217333811	4,716066748	0,009253184	0,153193083	0,044364635	0,336831499	2,331478097	0,331989335	0,91045534	0,184040012	1,321524293	1,00488086	2,669830296	0,269557088	0,012864162
SERPIND1	1,003402793	1,735861058	0,477626999	0,801288831	0,147612731	0,593960265	2,509208578	8,019546218	0,280893356	8,163786086	0,006708646	0,179584812	1,842379473	0,214805803	0,012692782	1,584348619	1,357005864	3,199540187	0,296087747	0,100627193	3,04586389	0,460212471	5,169051565	0,79098164	10,92134108	1,987180132	0,046243578	0,841735712	0,793529265	0,298984813	0,446303491	0,281557325	5,652918792	0,32077465
SEZ6L2	3,142405449	2,233625656	0,878972579	0,00065766	0,41318254	0,335306441	0,961429137	0,070404054	0,04226676	0,392256256	3,52E-05	0,459760529	1,189747092	4,536350225	0,03424042	0,000220054	0,531457041	0,203495542	1,951798366	0,033687309	0,019096054	0,026867315	0,012835373	0,077825739	0,243852836	1,155931285	0,003228641	0,027987968	1,097771934	2,932406427	3,444292921	8,245214328	3,898943903	3,211409507
SLC25A1	0,885524088	0,269137964	0,123534682	5,018392511	0,135665404	1,529714366	1,631901697	0,987359133	0,201867116	5,295545186	0,183239199	1,891132277	6,827637832	8,218066481	0,103335284	0,659219547	3,060572681	0,753479273	0,037912695	0,863185352	0,628947352	0,204674682	0,002671407	0,016403486	4,162001354	0,895118666	0,612579185	2,907763297	4,076838773	1,273796119	5,921781812	2,574888081	0,300927875	0,01686999
SLC7A4	5,0579988	5,36E-05	2,322827961	0,02302536	0,204479324	0,269230171	0,62126676	0,802036695	0,011077943	0,176985933	0,103408596	0,178753377	1,196904777	1,340348344	0,095773314	2,771969375	1,076134429	0,381210268	2,053028221	0,864870577	0,008961849	2,906392053	0,413377581	0,076139918	0,031525632	1,53180544	1,635908261	0,528616346	2,937345011	0,008353283	1,153889064	0,009883195	2,765156435	0,409016647
SNAP29	2,785808224	1,048522213	0,68142049	0,306529284	2,071419022	0,063514835	1,309756144	1,284430174	0,012519464	0,217961511	0,410402201	1,487960099	0,420189092	0,57432043	0,089904727	0,074074235	1,631359951	0,782729746	0,008098622	3,512299703	0,000239911	14,8306579	0,037753745	0,774814106	2,798640819	0,72133399	0,700215213	0,997268903	0,498637722	3,077447433	0,022628777	1,167907222	3,055451123	0,265377096
TAOK2	0,004989627	5,577473916	1,252145243	3,469000701	0,037867611	6,052757351	0,501973969	0,029342716	1,542771626	1,488180225	0,004504845	2,755090261	1,262391514	2,570500507	2,569236385	2,562251315	1,287313853	1,987599036	0,101647148	2,657782645	1,08190941	1,905844445	1,176826348	9,114328192	0,317265282	3,043978096	0,726506543	0,088366047	4,25065609	0,083154659	0,904312307	2,810664231	1,08549776	3,487220898
THAP7	2,181274315	3,445639162	1,716387357	0,223264927	0,426872573	0,877843709	0,050182428	0,117303422	3,115177576	1,633002621	1,959433272	1,692144554	0,051691554	0,257266282	0,149035742	3,293016748	0,051082678	6,402070769	0,028386333	0,118835986	3,219813812	0,009884732	1,919396004	0,494969391	4,068801512	0,675037315	0,369610093	4,496220552	0,942946144	1,39767203	1,228505805	0,014935448	0,365757063	4,812617828
TMEM219	1,567800528	0,203620631	1,725046803	1,693351563	0,526011578	0,867001574	1,808532348	0,251766423	4,362671854	1,512000835	0,101081395	0,036887186	2,077860326	1,392718961	0,340350789	0,021260449	0,015504654	0,276614976	1,282684658	1,061463337	0,045799977	1,127634045	0,044727751	0,389686433	4,90578748	0,130570907	0,001674751	0,226499888	2,75206089	0,434441297	0,441625129	4,586382381	3,373245569	4,040503035
TRMT2A	0,020836573	1,05065422	2,926027669	2,398261692	1,871622426	0,188090282	0,407911518	2,88400803	5,456967325	0,120626791	0,384736028	10,96168656	1,612935626	9,82747495	0,972036214	0,305954768	2,082353147	1,347572166	4,059139258	2,910411381	0,50753462	3,431872877	2,913062467	2,630680723	1,865345728	1,433792515	0,820213101	0,034350496	0,563777309	2,283462059	1,098064753	2,791476044	0,014356716	0,453204041
TXNRD2	2,966788459	2,971868843	3,653468339	0,000105314	3,219136802	0,802440557	0,551212528	0,75075174	0,133743594	0,304386969	2,326292476	0,000106759	0,005069202	0,085306301	3,049373296	1,13728235	10,07555009	0,244190289	0,039128016	6,36E-05	3,187656643	0,078074608	1,30426196	8,884129762	5,288117257	0,038515605	0,242178559	1,295921025	4,829039095	0,098993641	0,095874106	0,099175286	2,828123007	0,045811009
UFD1L	0,423798261	4,287700093	0,263566888	0,455120743	0,257728837	1,801326836	0,021201123	0,949250799	0,012661181	2,735170918	1,783604362	3,053092308	3,285314396	0,126602421	1,322077882	5,122090445	0,011673478	0,017532912	0,002400522	1,311435774	0,231717583	0,005551113	0,054005131	0,033978476	0,901673604	0,05725719	3,094679725	0,136802435	0,493106914	0,011648002	0,198077626	4,336779772	7,082081894	9,380215394
YPEL3	1,726595292	5,392280755	1,655904166	0,001540919	0,049616819	0,344005618	0,31854597	1,475390778	0,053132401	1,454135563	0,075889391	0,097363784	2,34047749	0,3120282	0,683847549	0,100050097	0,203735717	0,140665834	0,39221163	0,773070557	0,117097984	0,951510476	0,111913244	0,016359243	0,717732837	7,029914185	0,504623131	7,53670922	2,043715104	0,019419018	0,120077503	2,055874615	0,03301158	1,391387808
ZDHHC8	0,066717748	0,89298497	1,800056479	4,722599651	0,094931661	5,304568796	4,472150401	0,050485108	0,16110743	2,017430026	0,004675546	0,765303072	6,645436826	0,897539042	0,005530203	0,967303296	0,034297591	2,43926891	4,556167907	4,740769373	2,253649693	3,914080493	1,76E-05	0,388277603	5,25455225	1,685904828	0,518077224	4,791790386	0,479362819	3,35910024	1,590948128	0,202501184	0,931075944	1,767779011
ZNF74	0,615796039	0,141555277	2,638569764	9,416570502	0,116987303	1,663861694	0,994207027	0,189778586	0,006176068	0,282151704	2,868309383	0,826308217	1,177868713	1,051341185	4,917932195	3,178890435	0,22814648	7,47736247	0,100793033	1,772078073	0,017693781	3,423972626	1,776390444	0,000415761	0,194610201	1,85098433	4,155331169	0,002808191	0,23061421	0,551216506	0,002133013	0,054071564	4,157996914	1,438387915